

# Glavni i izvedbeni projekt armiranobetonske stambene kuće u Krilu Jesenice

---

**Matas, Antea**

**Master's thesis / Diplomski rad**

**2023**

*Degree Grantor / Ustanova koja je dodijelila akademski / stručni stupanj:*

**University of Split, Faculty of Civil Engineering, Architecture and Geodesy / Sveučilište u Splitu, Fakultet građevinarstva, arhitekture i geodezije**

*Permanent link / Trajna poveznica:* <https://urn.nsk.hr/urn:nbn:hr:123:905155>

*Rights / Prava:* [In copyright](#)/[Zaštićeno autorskim pravom.](#)

*Download date / Datum preuzimanja:* **2024-07-11**



*Repository / Repozitorij:*

[FCEAG Repository - Repository of the Faculty of Civil Engineering, Architecture and Geodesy, University of Split](#)



**SVEUČILIŠTE U SPLITU  
FAKULTET GRAĐEVINARSTVA, ARHITEKTURE I  
GEODEZIJE**

# **DIPLOMSKI RAD**

**Antea Matas**

**Split, 2023.**

**SVEUČILIŠTE U SPLITU  
FAKULTET GRAĐEVINARSTVA ARHITEKTURE I GEODEZIJE**

**Antea Matas**

**Glavni i izvedbeni projekt armiranobetonske  
stambene kuće  
u Krilu Jesenice**

**Diplomski rad**

**Split, 2023.**

# **Glavni i izvedbeni projekt armiranobetonske stambene kuće u Krilu Jesenice**

## ***Sažetak:***

U radu je prikazan glavni i izvedbeni projekt stambene kuće koja se nalazi u Krilu Jesenice. Građevina se sastoji od dva dijela. Prvi dio je kuća koja sadrži suteran, prizemlje i kat, a drugi dio je pomoćni objekt koji sadrži prizemlje.

Građevina je izvedena u armiranom betonu monolitnom izvedbom. Proračun nosivih elemenata konstrukcije proveden je u računalnom programu SCIA Engineer 22.0. Prikazane su dobivene rezne sile za kritične kombinacije na temelju kojih se izvršilo dimenzioniranje, te je za proračunate konstruktivne elemente prikazan armaturni plan.

Projekt sadrži: tehnički opis konstrukcije, proračun nosivih konstrukcijskih elemenata te karakteristične građevinske nacрте

***Glavne riječi:*** stambena zgrada, izvedbeni projekt, armirano-betonska konstrukcija, armatura

# **Main and detailed design of a reinforced concrete residential building in Krilo Jesenice**

## ***Abstract:***

Main and detailed design of a reinforced concrete residential building, which is positioned in Krilo Jesenice, is presented in this work.

The building has two parts. First part is the house consisting of basement, ground floor and first floor, and second part is additional object consisting of ground floor.

Building is made of reinforced concrete in monolithic construction. The calculation of load-bearing elements of the structure was carried out in the computer program SCIA Engineer 22.0. Shear forces are shown in this work, on the basis of which dimensioning was carried out. A reinforcement plan is shown for the calculated structural elements.

The project includes: a technical description of the construction, calculation of the bearing structural elements and characteristic construction design.

***Keywords:*** residential building, detailed design, reinforced concrete structure



STUDIJ: **DIPLOMSKI SVEUČILIŠNI STUDIJ  
GRAĐEVINARSTVA**

SMJER: **KONSTRUKCIJE**

KANDIDAT: **Antea Matas**

MATIČNI BROJ (JMBAG): **0083223366**

KATEDRA: **Katedra za Betonske konstrukcije i mostove**

PREDMET: **Betonske konstrukcije**

## ZADATAK ZA DIPLOMSKI RAD

Tema: **Glavni i izvedbeni projekt armiranobetonske stambene kuće u Krilu Jesenice**

Opis zadatka: Na temelju zadanih arhitektonskih podloga potrebno je izraditi glavni i izvedbeni projekt armiranobetonske kuće.

Izrađeni projekt mora sadržavati:

- tehnički opis
- plan kontrole i osiguranja kvalitete
- proračun nosivih elemenata konstrukcije
- građevinske nacрте
- armaturne planove

U Splitu, rujan 2023.

Voditelj Diplomskog rada:

Doc. dr. sc. Marina Sunara

Predsjednik Povjerenstva  
za završne i diplomske ispите:

Izv. prof. dr. sc. Ivan Balić

**SADRŽAJ**

|                                                                 |    |
|-----------------------------------------------------------------|----|
| 1. TEHNIČKI OPIS KONSTRUKCIJE .....                             | 1  |
| 1.1. Općenito .....                                             | 1  |
| 1.2. Opis nosive konstrukcije .....                             | 1  |
| 1.2.1. Temelji.....                                             | 1  |
| 1.2.2. Zidovi .....                                             | 1  |
| 1.2.3. Grede .....                                              | 1  |
| 1.2.4. Međukatne konstrukcije .....                             | 2  |
| 1.3. Osnovna djelovanja i kombinacije .....                     | 2  |
| 1.3.1. Osnovna djelovanja .....                                 | 2  |
| 1.3.2. Osnovne kombinacije djelovanja .....                     | 2  |
| 1.4. Konstruktivni materijali.....                              | 2  |
| 1.4.1. Beton.....                                               | 2  |
| 1.4.2. Betonski čelik .....                                     | 3  |
| 1.4.3. Pravilnici i norme .....                                 | 4  |
| 1.5. Plan kontrole i osiguranja kvalitete .....                 | 4  |
| 1.5.1. Opće napomene .....                                      | 4  |
| 1.5.2. Betonski i armiranobetonski radovi.....                  | 5  |
| 1.5.3. Ostali radovi i materijali .....                         | 7  |
| 1.5.4. Norme koje tretiraju radove u ovom program kontrole..... | 7  |
| 1.6. Posebni tehnički uvjeti .....                              | 10 |
| 1.6.1. Oplate i skele .....                                     | 10 |
| 1.6.2. Transport i ugradnja betona.....                         | 11 |
| 1.6.3. Betoniranje pri visokim vanjskim temperaturama.....      | 12 |
| 1.6.4. Betoniranje pri niskim vanjskim temperaturama.....       | 12 |
| 1.7. Obaveze izvođača .....                                     | 12 |
| 1.8. Održavanja i projektirani vijek trajanja .....             | 13 |
| 2. ANALIZA OPTEREĆENJA .....                                    | 14 |
| 2.1. Stalno opterećenje.....                                    | 14 |
| 2.1.1. Vlastita težina .....                                    | 14 |
| 2.1.2. Dodatno stalno opterećenje .....                         | 14 |
| 2.2. Promjenjivo opterećenje .....                              | 16 |
| 2.2.1. Korisno opterećenje .....                                | 16 |
| 2.3. Izvanredno opterećenje.....                                | 16 |
| 2.3.1. Seizmičko opterećenje .....                              | 16 |

|                                                              |    |
|--------------------------------------------------------------|----|
| 3. NUMERIČKI MODEL I KOMBINACIJE OPTEREĆENJA .....           | 22 |
| 3.1. Numerički model .....                                   | 22 |
| 3.2. Kombinacije opterećenja .....                           | 23 |
| 3.2.1. Granično stanje nosivosti.....                        | 23 |
| 3.2.2. Granično stanje uporabljivosti.....                   | 23 |
| 4. DIMENZIONIRANJE HORIZONTALNIH ELEMENATA KONSTRUKCIJE..... | 24 |
| 4.1. Proračun krovne ploče pozicije 300 .....                | 24 |
| 4.1.1. Prikaz opterećenja.....                               | 24 |
| 4.1.2. Dimenzioniranje na savijanje .....                    | 26 |
| 4.1.3. Kontrola pukotina .....                               | 28 |
| 4.1.4. Kontrola progiba.....                                 | 30 |
| 4.2. Proračun međukatne ploče pozicije 200.....              | 31 |
| 4.2.1. Prikaz opterećenja.....                               | 31 |
| 4.2.2. Rezultati proračuna.....                              | 33 |
| 4.2.3. Dimenzioniranje na savijanje .....                    | 34 |
| 4.2.4. Kontrola pukotina .....                               | 37 |
| 4.2.5. Kontrola progiba.....                                 | 39 |
| 4.3. Proračun međukatne ploče pozicije 100.....              | 40 |
| 4.3.1. Prikaz opterećenja.....                               | 40 |
| 4.3.2. Rezultati proračuna:.....                             | 41 |
| 4.3.3. Dimenzioniranje na savijanje .....                    | 42 |
| 4.3.4. Kontrola pukotina - ploča .....                       | 43 |
| 4.3.5. Kontrola progiba.....                                 | 45 |
| 4.4. Proračun međukatne ploče pomoćnog objekta.....          | 46 |
| 4.4.1. Prikaz opterećenja.....                               | 46 |
| 4.4.2. Rezultati proračuna.....                              | 47 |
| 4.4.3. Dimenzioniranje na savijanje .....                    | 48 |
| 4.4.4. Kontrola pukotina - ploča .....                       | 49 |
| 4.4.5. Kontrola progiba.....                                 | 50 |
| 5. PRORAČUN AB GREDA .....                                   | 51 |
| 5.1. Plan pozicija greda 300.....                            | 51 |
| 5.1.1. Dimenzioniranje grede 301 .....                       | 51 |
| 5.1.2. Kontrola pukotina grede G301: .....                   | 54 |
| 5.2. Plan pozicija greda pozicija 200.....                   | 55 |
| 5.2.1. Dimenzioniranje greda pozicija 200.....               | 56 |
| 5.2.2. Kontrola pukotina grede G202 .....                    | 59 |
| 5.3. Plan pozicija greda pozicije 100.....                   | 60 |

|                                                                        |    |
|------------------------------------------------------------------------|----|
| 5.3.1. Dimenzioniranje grede G101.....                                 | 60 |
| 5.3.2. Kontrola pukotina grede G101 .....                              | 63 |
| 5.4. Plan pozicija greda pomoćnog objekta.....                         | 64 |
| 5.4.1. Dimenzioniranje greda pomoćnog objekta.....                     | 65 |
| 5.4.2. Kontrola pukotina greda pomoćnog objekta .....                  | 67 |
| 6. PRORAČUN STUBIŠTA .....                                             | 68 |
| 7. REZULTATI PRORAČUNA KARAKTERISTIČNOG ZIDA OBJEKTA.....              | 70 |
| 7.1. Proračun zasutog zida (Z1).....                                   | 70 |
| 7.1.1. Dimenzioniranje na moment savijanja: .....                      | 71 |
| 7.1.2. Dimenzioniranje na poprečnu silu : .....                        | 71 |
| 7.2. Proračun unutarnjeg zida u osi x (Z2) .....                       | 72 |
| 7.2.1. Proračun nosivosti na uzdužnu silu i moment .....               | 74 |
| 7.2.2. Proračun armature na poprečnu silu .....                        | 75 |
| 7.2.3. Nosivost betona .....                                           | 76 |
| 8. DIMENZIONIRANJE VISOKOSTIJEENOG NOSAČA .....                        | 77 |
| 8.1. Rezultati proračuna.....                                          | 77 |
| 8.1.1. Visokostijeni nosač promatran kao zid u 3d modelu: .....        | 77 |
| 8.1.2. Visokostijeni nosač promatran kao greda u 2d modelu ploče:..... | 79 |
| 8.2. Dimenzioniranje visokostijeenog nosača .....                      | 80 |
| 9. PRORAČUN TEMELJNIH PLOČA .....                                      | 83 |
| 9.1. Rezultati proračuna temeljne ploče 1 .....                        | 83 |
| 9.1.1. Kontaktna naprezanja .....                                      | 83 |
| 9.1.2. Rezultati proračuna.....                                        | 84 |
| 9.1.3. Postupak dimenzioniranja: .....                                 | 85 |
| 9.1.4. Kontrola graničnog stanja deformacija.....                      | 86 |
| 9.2. Rezultati proračuna temeljne ploče 2 .....                        | 87 |
| 9.2.1. Kontaktna naprezanja .....                                      | 87 |
| 9.2.2. Rezultati proračuna.....                                        | 87 |
| 9.2.3. Postupak dimenzioniranja: .....                                 | 88 |
| 9.2.4. Kontrola graničnog stanja deformacija.....                      | 89 |
| 9.3. Rezultati proračuna temeljne ploče 3 (pomoćni objekt).....        | 90 |
| 9.3.1. Kontaktna naprezanja .....                                      | 90 |
| 9.3.2. Rezultati proračuna.....                                        | 90 |
| 9.3.3. Postupak dimenzioniranja: .....                                 | 91 |
| 9.3.4. Kontrola graničnog stanja deformacija.....                      | 92 |
| 10. PRORAČUN BAZENA .....                                              | 93 |
| 10.1. Dimenzioniranje .....                                            | 94 |



|                            |    |
|----------------------------|----|
| 11. GRAFIČKI PRILOZI ..... | 95 |
| 12. ARMATURNI NACRTI ..... | 96 |
| 12. LITERATURA .....       | 97 |

## 1. TEHNIČKI OPIS KONSTRUKCIJE

### 1.1. Općenito

Predmet ovog diplomskog rada bila je izrada glavnog i izvedbenog projekta nosive armiranobetonske konstrukcije. Građevina se sastoji od 2 dijela, glavnog objekta i pomoćnog objekta. Glavni objekt se sastoji od 3 etaže (suteren, prizemlje i kat) gdje visina etaža suterena i prizemlja iznosi 2,85 m a visina kata 3 m. Ukupna visina objekta je 10,25 m. Pomoćni objekt se sastoji od jedne etaže (prizemlje), te je visina etaže 2,85 m.

Vertikalnu nosivu konstrukciju čine armirano-betonski zidovi dok horizontalnu nosivu konstrukciju čine armirano-betonske ploče i grede. Vertikalna komunikacija kroz objekt ostvaruje se jednokrakim stubištem. Konstruktivni elementi izvode se od klase betona C 30/37 i armiraju armaturom B500B.

Građevina se nalazi u IX. potresnoj zoni gdje je moguće ubrzanje tla 0.22g za povratni period od 475 godina.

U proračunu su dane osnovne dimenzije armatura za pojedine konstruktivne elemente. Elementi koji nisu računati armiraju se konstruktivno  $> 0.1\%$  površine betonskog presjeka.

### 1.2. Opis nosive konstrukcije

#### 1.2.1. Temelji

Računska granična nosivnost tla iznosi 0.5 Mpa, što je nakon iskopa potrebno utvrditi ispitivanjem. Objekt se temelji na armirano-betonskoj ploči debljine 40 cm. Za izradu temelja predviđen je beton klase C 30/37 s aditivima za vodonepropusnost te se ploča armira armaturom B500B. Projektom je predviđeno sa minimalni zaštitni sloj bude 5 cm.

#### 1.2.2. Zidovi

Zidovi se izvode od armiranog betona klase C 30/37 u debljini 20 i 25 cm. Minimalni zaštitni sloj iznosi 3.0 cm. Zidovi se armiraju armaturom B500B.

#### 1.2.3. Grede

Grede se izvode od armiranog betona klase C 30/37 te se armiraju armaturom B500B. Minimalni zaštitni sloj iznosi 4.0 cm. Grede se oslanjaju na AB zidove te zajedno čine cjelinu koja preuzima horizontalna i vertikalna opterećenja.

### 1.2.4. Međukatne konstrukcije

Međukatne nosive konstrukcije čine armirano-betonske ploče debljine 20 cm te se armiraju armaturom B500B. Minimalni zaštitni sloj za ploče oznosi 5.0 cm.

## 1.3. Osnovna djelovanja i kombinacije

### 1.3.1. Osnovna djelovanja

G – stalno djelovanje (vlastita težina elemenata nosive konstrukcije)

Q1 – promjenjivo djelovanje:

- |                             |                            |
|-----------------------------|----------------------------|
| - stanovi                   | $q_1 = 2.0 \text{ kN/m}^2$ |
| - stubište                  | $q_2 = 3.0 \text{ kN/m}^2$ |
| - balkoni, prohodni krovovi | $q_3 = 4.0 \text{ kN/m}^2$ |

S – potres:

- seizmička zona IX.
- računsko ubrzanje tla  $a_g = 0.22g$
- faktor ponašanja  $q = 3.0$
- faktor važnosti građevine  $\gamma = 1.0$

### 1.3.2. Osnovne kombinacije djelovanja

Granično stanje uporabljivosti:

(g – vlastita težina konstrukcije,  $\Delta g$  – dodatno stalno opterećenje, q – pokretno opterećenje, S – potres)

GSU:  $1.0g + 1.0\Delta + 1.0q$

Granično stanje nosivosti:

GSN:  $1.35g + 1.35\Delta g + 1.5q$

K1:  $1.0g + 1.0\Delta g + 0.3q + 1.0S_x$

K2:  $1.0g + 1.0\Delta g + 0.3q + 1.0S_y$

## 1.4. Konstruktivni materijali

### 1.4.1. Beton

Beton za sve konstruktivne elemente, odnosno za sve betone, treba izraditi Izvoditelj i dostaviti ga na suglasnost Projektantu. Projekt betona treba izraditi stručna osoba, detaljno i sveobuhvatno. U njemu treba precizno definirati za svaki element, odnosno za svaki različiti beton:

- fizikalno-mehanička svojstva

- sastav
- vodocementni faktor
- dodatke (superplastifikatori, ubrzivači, dadaci za prionjivost...)
- način proizvodnje, transport i ugradnje
- način zbijanja
- njegu
- obradu spojnica
- posebne zahtjeve, specifičnosti i sl.

U nastavku će se dati okvirne smjernice i zahtjevi koje treba uvažiti projekt betona odnosno koje treba poštivati Izvoditelj.

Ivice elementa trebaju biti precizno izvedene, ravne i u funkciji njihovog estetskog izgleda. U svemu treba poštivati predviđenu geometriju elementa, te njihov projektirani prostorni položaj. Osobito voditi računa o izgledu vanjskih ploha betona. Sve vidljive plohe betona trebaju biti ravne, glatke i ujednačene boje. Nije dopuštena pojava segregacije u betonu. U slučaju eventualne segregacije, nisu dopuštena „krpanja“ cementnim mortom. Sanacije takvih ploha treba obaviti stručno, prema posebnim rješenjima. Voditi računa o adekvatnoj ugradnji i njezi betona.

Osobito treba voditi računa o njezi betona prvih 2-3 dana da se ne pojave štetne pukotine od skupljanja. Nisu propisani posebni zahtjevi na otpornost betona na mraz i vodo/zrak propusnost. Oni su posebno obuhvaćeni kroz zahtjevanu kakvoću betona. U načelu se koristi uobičajeni beton C 30/37. Za sve podbetone koristi se beton C 12/15.

#### **1.4.2. Betonski čelik**

Kao armatura koristi se betonski čelik B500B (prema TPBK) za sve elemente, u obliku šipki ili mreža. Zaštitni slojevi betona do armature iznose 3.0 – 5.0 cm.

Veličinu zaštitnog sloja osigurati kvalitetnom oplatom i ugradnjom betona, te dodacimabetonu i ostalim rješenjima prema projektu beton. Veličina i kvaliteta zaštitnog sloja betona presudni su za trajnost objekta. U potpunosti poštivati projektirani raspored i položaj armaturnih šipki, koje trebaju biti nepomične kod betoniranja. Sva uporabljena armatura treba imati odgovarajuće ateste o kakvoći.

### 1.4.3. Pravilnici i norme

Prilikom izrade predmetne projektne dokumentacije primjenjeni su sljedeći pravilnici i normativi:

- Zakon o prostornom uređenju i gradnji (N.N. 76/07) –
- Tehnički propis za betonske konstrukcije (N.N. 101/05; 74/06; 85/06; 64/07)
- Pravilnik o tehničkim normativima za temeljenje građevinskih objekata (Sl. list 15/90)
- Zakon o zaštiti od požara (N.N. 58/93; 107/07)
- Zakon o zaštiti na radu (N.N. 59/96; 94/96; 114/03; 86/08)
- EN 1991 Eurokod 1 Osnove proračuna i djelovanja na konstrukcije
- EN 1992 Eurokod 2 Proračun betonskih konstrukcija
- EN 1998 Eurokod 8 Projektiranje konstrukcija na potresno opterećenje

Sva opterećenja uzeta prema:

- HRN ENV 1991-2-1 stalno i uporabno opterećenje
- HRN ENV 1991-2-4 opterećenje vjetrom
- HRN ENV 1998-1-1 potresno opterećenje

Svi ostali podaci i detalji relevantni za predmetni objekt dani su kroz projektna rješenja. Na osnovi ovog projekta potrebno je izraditi izvedbeni projekt sa svim relevantnim detaljima i dati ga na usvajanje projektantu ovog projekta. Također, za sve izmjene i dopune konzultirati projektanta.

## 1.5. Plan kontrole i osiguranja kvalitete

### 1.5.1. Opće napomene

Predmetni je projekt izrađen sukladno Zakonu o građenju (N.N. br. 173/03), kojim su propisana tehnička svojstva bitna za građevinu.

Sve radove trebaju obavljati za to stručno osposobljene osobe, uz stalni stručni nadzor. Prije prelaska na iduću fazu radova, nužno je odobrenje nadzornog inženjera. Za svako odstupanje od projekta, te u slučaju nepredviđenih okolnosti, potrebna je konzultacija Projektanta. Izvoditelj je dužan u potpunosti poštivati sve mjere osiguranja i kontrole kvalitete. Svi upotrijebljeni materijali i svi izvedeni radovi trebaju udovoljavati zahtjevima važećih normi, propisa i pravila struke. Za vrijeme izvođenja radova potrebna je stalna nazočnost nadzornog inženjera, kontinuirani geodetski nadzor, te povremeni projektantski nadzor.

## **1.5.2. Betonski i armiranobetonski radovi**

### **1.5.2.1 Beton**

Sve komponente betona (agregat, cement, voda, dodaci), te beton kao materijal, trebaju udovoljavati zahtjevima važećih normi, propisa i pravila struke. Izvoditelj je dužan izraditi projekt betona u skladu s projektom konstrukcije i dostaviti ga na suglasnost projektantu objekta.

Kontrola kvalitete betona sastoji se od kontrole proizvodnje i kontrole suglasnosti s uvjetima projekta konstrukcije i projekta betona.

Betonski radovi moraju se izvoditi prema projektu konstrukcije i projektu betona, a u svemu sukladno s: Tehnički propis za betonske konstrukcije, te svim pratećim normativima. Kod projektiranog betona u projektu mora biti specificiran razred tlačne čvrstoće (marka betona) i to kao karakteristična vrijednost 95%-tne vjerojatnosti s kriterijima sukladnosti prema normi HRN EN 206-1.

Sastavni materijali od kojih se beton proizvodi, ili koji mu se pri proizvodnji dodaju, moraju ispunjavati zahtjeve normi na koje upućuje norma HRN EN 206-1 i zahtjeve prema Tehničkom propisu za betonske konstrukcije.

Zahtjevi za isporuku betona i informacije proizvođača betona korisniku moraju sadržavati podatke prema normi HRN EN 206-1.

Uzimanje uzoraka, priprema ispitnih uzoraka i ispitivanje svojstava svježeg betona provodi se prema normama niza HRN EN 12350, a ispitivanje svojstava očvrstelog betona prema normama niza HRN EN 12390.

Eventualna vremenski ubrzana proizvodnja betonskih elemenata, u cilju ubrzanja građenja, dopuštena je samo uz poseban projekt tehnologije izvođenja i dokaz zahtijevanih svojstava prethodnim ispitivanjima.

Za svako odstupanje od projekta, nadzorni inženjer je dužan izvijestiti Projektanta i Investitora. Nužna je njega ugrađenog betona da se ne pojave štetne pukotine, a u svemu prema projektu betona, važećim propisima i pravilima struke.

### 1.5.2.2 Betonski čelik

Betonski čelik treba udovoljavati zahtjevima važećih propisa. Za čelik za armiranje primjenjuju se norme:

- nHRN EN 10080-1 čelik za armiranje betona – Zavarljivi armaturni čelik – 1. dio:  
Opći zahtjevi (prEN 10080-1:1999)
- nHRN EN 10080-2 čelik za armiranje betona – Zavarljivi armaturni čelik – 2. dio:  
Tehnički uvjeti isporuke čelika razreda A (prEN 10080-2:1999)
- nHRN EN 10080-3 čelik za armiranje betona – Zavarljivi armaturni čelik – 3. dio:  
Tehnički uvjeti isporuke čelika razreda B (prEN 10080-3:1999)
- nHRN EN 10080-4 čelik za armiranje betona – Zavarljivi armaturni čelik – 4. dio:  
Tehnički uvjeti isporuke čelika razreda C (prEN 10080-4:1999) –
- nHRN EN 10080-5 čelik za armiranje betona – Zavarljivi armaturni čelik – 5. dio:  
Tehnički uvjeti isporuke zavarenih armaturnih mreža (prEN 10080-5:1999)
- nHRN EN 10080-6 čelik za armiranje betona – Zavarljivi armaturni čelik – 6. dio:  
Tehnički uvjeti isporuke zavarenih rešetki za gredice (prEN 10080-6:1999).

Potvrđivanje sukladnosti čelika za armiranje provodi se prema odredbama Dodataka Za norme nHRN EN 10080-1 i odredbama posebnog propisa.

Uzimanje uzoraka, priprema ispitnih uzoraka i ispitivanje svojstava čelika za armiranje, odnosno čelika za prednapinjanje, provodi se prema normama nizova nHRN EN 10080, odnosno nHRN EN 10138, i prema normama niza HRN EN ISO 15630 i prema normi HRN EN 10002-1. Preklopi se izvode prema odredbama priznatim tehničkim pravilima iz Priloga H Tehničkog propisa za betonske konstrukcije, odnosno prema normi HRN ENV 1992-1-1:2004.

Sva armatura je iz čelika B 500B u obliku šipki ili mreža. Osobito poštivati projektom predviđene razmake i zaštitne slojeve armature. Ni jedno betoniranje elementa ne može započeti bez prethodnog detaljnog pregleda armature od strane nadzornog inženjera i njegove dozvole.

### 1.5.2.3 Prekid betoniranja

Prekid i nastavci betoniranja konstrukcija moraju biti obrađeni projektom betona.

### 1.5.3. Ostali radovi i materijali

Svi materijali i proizvodi koji se ugrađuju u objekt trebaju biti kvalitetni i trajni, uz zadovoljenje svih važećih normi, propisa i pravila struke. Za sve se upotrijebljene materijale provode tekuća i kontrolna ispitivanja, odnosno prilažu atesti isporučitelja. Izvedba svih radova treba biti ispravna, kvalitetna i pod stalnim stručnim nadzorom. Za svako odstupanje primijenjenog gradiva ili gotovog proizvoda od projekta, potrebna je suglasnost Projektanta i Investitora.

Za vrijeme izvođenja radova potreban je stalni tehnički nadzor. Preporuča se stalni kvalificirani nadzor građevinske struke koji će moći realizirati sve postavke iz ovog proračuna.

### 1.5.4. Norme koje tretiraju radove u ovom program kontrole

#### 1.5.4.1. Norme za beton – osnovne norme

HRN EN 206-1:2002 HRN EN 206-1/A1:2004 nHRN EN 206-1/A2

Beton – 1. dio: Specifikacije, svojstva, proizvodnja i sukladnost (EN 206-1:2000)

Beton – 1. dio: Specifikacija, svojstva, proizvodnja i sukladnost (EN 206-1:2000/A1:2004)

Beton – 1. dio: Specifikacija, svojstva, proizvodnja i sukladnost (EN 206-1:2000/prA2:2004)

#### 1.5.4.2. Norme za beton – ostale norme

HRN EN 12350-1 Ispitivanje svježeg betona – 1. dio: Uzorkovanje

HRN EN 12350-2 Ispitivanje svježeg betona – 2. dio: Ispitivanje slijeganjem

HRN EN 12350-3 Ispitivanje svježeg betona – 3. dio: VeBe ispitivanje

HRN EN 12350-4 Ispitivanje svježeg betona – 4. dio: Stupanj zbijenosti

HRN EN 12350-5 Ispitivanje svježeg betona – 5. dio: Ispitivanje rasprostiranjem

HRN EN 12350-6 Ispitivanje svježeg betona – 6. dio: Gustoća

HRN EN 12350-7 Ispitivanje svježeg betona – 7. dio: Sadržaj pora – Tlačne metode

HRN EN 12390-1 Ispitivanje očvrsnulog betona – 1. dio: Oblik, dimenzije i drugi zahtjevi za uzorke i kalupe

HRN EN 12390-2 Ispitivanje očvrsnulog betona – 2. dio: Izradba i njegovanje uzoraka za ispitivanje čvrstoće

HRN EN 12390-3 Ispitivanje očvrsnulog betona – 3. dio: Tlačna čvrstoća uzoraka

HRN EN 12390-6 Ispitivanje očvrsnulog betona – 6. dio: Vlačna čvrstoća cijepanjem



- uzoraka
- HRN EN 12390-7 Ispitivanje očvrtnulog betona – 7. dio: Gustoća očvrtnulog betona
- HRN EN 12390-8 Ispitivanje očvrtnulog betona – 8. dio: Dubina prodiranja vode pod tlakom
- prCEN/TS 12390-9 Ispitivanje očvrtnulog betona – 9. dio: otpornost na smrzavanje ljuštenjem
- ISO 2859-1 Plan uzorkovanja za atributni nadzor – 1. dio: Plan uzorkovanja indeksiran prihvatljivim nivoom kvalitete (AQL) za nadzor količine po količine
- ISO 3951 Postupci uzorkovanja i karta nadzora s varijablama nesukladnosti
- HRN U.M1.057 Granulometrijski sastav mješavina agregata za beton
- HRN U.M1.016 Beton. Ispitivanje otpornosti na djelovanje mraza
- HRN EN 480-11 Dodaci betonu, mortu i injekcijskim smjesama – Metode ispitivanja – 11. dio: Utvrđivanje karakteristika zračnih pora u očvrtnulom betonu
- HRN EN 12504-1 Ispitivanje betona u konstrukcijama – 1. dio: Izvađeni uzorci – Uzimanje, pregled i ispitivanje tlačne čvrstoće
- HRN EN 12504-2 Ispitivanje betona u konstrukcijama – 2. dio: Nerazorno ispitivanje – Određivanje veličine odskoka
- HRN EN 12504-3 Ispitivanje betona u konstrukciji – 3. dio: Određivanje sile čupanja
- HRN EN 12504-4 Ispitivanje betona u konstrukciji – 4. dio: Određivanje brzine ultrazvuka
- prEN 13791:2003 Ocjena tlačne čvrstoće betona u konstrukcijama ili u konstrukcijskim elementima.

#### 1.5.4.3. Norme čelika za armiranje – osnovne norme

- nHRN EN 10080-1 Čelik za armiranje -betona – Zavarljivi armaturni čelik – 1. dio: Opći zahtjevi (prEN 10080-1:1999)
- nHRN EN 10080-2 Čelik za armiranje betona – Zavarljivi armaturni čelik – 2. dio: Tehnički uvjeti isporuke čelika razreda A (Pren 10080-2:1999)
- nHRN EN 10080-3 Čelik za armiranje betona – Zavarljivi armaturni čelik – 3. dio: Tehnički uvjeti isporuke čelika razreda B (prEN 10080-3:1999)
- nHRN EN 10080-4 Čelik za armiranje betona – Zavarljivi armaturni čelik – 4. dio: Tehnički uvjeti isporuke čelika razreda C (prEN 10080-4:1999)
- nHRN EN 10080-5 Čelik za armiranje betona – Zavarljivi armaturni čelik – 5. dio:

Tehnički uvjeti isporuke zavarenih armaturnih mreža (prEN 10080- 5:1999)

nHRN EN 10080-6 Čelik za armiranje betona – Zavarljivi armaturni čelik – 6. dio:  
Tehnički uvjeti isporuke zavarenih rešetki za gredice (prEN 10080-6:1999)

#### 1.5.4.4. Norme čelika za armiranje – ostale norme

- |                    |                                                                                                                      |
|--------------------|----------------------------------------------------------------------------------------------------------------------|
| HRN EN 10020       | Definicije i razredba vrsta čelika                                                                                   |
| HRN EN 10025       | Toplovaljani proizvodi od nelegiranih konstrukcijskih čelika – Tehnički uvjeti isporuke                              |
| HRN EN 10027-1     | Sustavi označivanja čelika – 1. dio: Nazivi čelika, glavni simboli                                                   |
| HRN EN 10027-2     | Sustavi označivanja čelika – 2. dio: Brojčani sustav                                                                 |
| EN 10079           | Definicije čeličnih proizvoda                                                                                        |
| HRN EN 10204       | Metalni proizvodi – Vrste dokumenata o ispitivanju (uključuje dopunu A1:1995)                                        |
| prEN ISO 17660     | Zavarivanje čelika za armiranje                                                                                      |
| HRN EN 287-1       | Provjera osposobljenosti zavarivača – Zavarivanje taljenjem – 1. dio: čelici                                         |
| HRN EN 719         | Koordinacija zavarivanja – Zadaci i odgovornosti                                                                     |
| HRN EN 729-3       | Zahtjevi za kakvoću zavarivanja – Zavarivanje taljenjem metalnih materijala – 3. dio: Standardni zahtjevi za kakvoću |
| HRN EN ISO 4063    | Zavarivanje i srodni postupci – Nomenklatura postupaka i referentni brojevi                                          |
| HRN EN ISO 377     | Čelik i čelični proizvodi – Položaj i priprema uzoraka i ispitnih uzoraka za mehanička ispitivanja                   |
| HRN EN 10002-1     | Metalni materijali – Vlačni pokus – 1. dio: Metoda ispitivanja (pri sobnoj temperaturi)                              |
| HRN EN ISO 15630-1 | Čelik za armiranje i prednapinjanje betona – Ispitne metode – 1. dio: Armaturne šipke i žice                         |
| HRN EN ISO 15630-2 | Čelik za armiranje i prednapinjanje betona – Ispitne metode – 2. dio: Zavarene mreže.                                |

## 1.6. Posebni tehnički uvjeti

### 1.6.1. Oplate i skele

Skele i oplate moraju imati takvu sigurnost i krutost da bez slijeganja i štetnih deformacija mogu primiti opterećenja i utjecaje koji nastaju tijekom izvedbe radova. Skela i oplata moraju biti izvedeni tako da se osigurava puna sigurnost radnika i sredstava rada kao i sigurnost prolaznika, prometa, susjednih objekata i okoline uopće.

Materijali za izradu skela i oplata moraju biti propisane kvalitete. Nadzorni inženjer treba odobriti oplatu prije početka betoniranja. Kod izrade projekta oplate mora se uzeti u obzir kompaktiranje pomoću vibratora na oplati tamo gdje je to potrebno. Oplata mora sadržavati sve otvore i detalje prikazane u nacrtima, odnosno tražene od nadzornog inženjera. Oplata odnosno skela treba osigurati da se beton ne onečisti. Obje moraju biti dovoljno čvrste i krute da odole pritiscima kod ugradnje i vibriranja i da spriječe ispupčenja. Nadzorni inženjer će, tamo gdje mu se čini potrebno, tražiti proračunski dokaz stabilnosti i progibanja. Nadvišenja oplate dokazuju se računski i geodetski se provjeravaju prije betoniranja. Oplata mora biti toliko vodotijesna da spriječi istjecanje cementnog mlijeka. Ukoliko se za učvršćenje oplate rabe metalne šipke od kojih dio ostaje ugrađen u betonu, kraj stalno ugrađenog dijela ne smije biti bliži površini od 5 cm. Šupljina koja ostaje nakon uklanjanja šipke mora se dobro ispuniti, naročito ako se radi o plohamo koje će biti izložene protjecanju vode. Ovakav način učvršćenja ne smije se upotrijebiti za vidljive plohe betona.

Žičane spojnice za pridržavanje oplate ne smiju prolaziti kroz vanjske plohe gdje bi bile vidljive.

Radne reške moraju biti, gdje god je moguće, horizontalne ili vertikalne i moraju biti na istoj visini zadržavajući kontinuitet. Pristup oplati i skeli radi čišćenja, kontrole i preuzimanja, mora biti osiguran. Oplata mora biti tako izrađena, naročito za nosače i konstrukcije izložene proticanju vode, da se skidanje može obaviti lako i bez oštećenja rubova i površine.

Površina oplate mora biti očišćena od inkrustacija i sveg materijala koji bi mogao štetno djelovati na izložene vanjske plohe. Kad se oplata premazuje uljem, mora se spriječiti prljanje betona i armature. Oplata, ukoliko je drvena, mora prije betoniranja biti natopljena vodom na svim površinama koje će doći u dodir s betonom i zaštićena od prijanjanja za beton premazom vapnom.

Skidanje oplate se mora izvršiti čim je to provedivo, naročito tamo gdje oplata ne dozvoljava polijevanje betona, ali nakon što je beton dovoljno očvrstnuo. Svi popravci

betona trebaju se izvršiti na predviđen način i to što je prije moguće. Oplata se mora skidati prema određenom redosljedju, pažljivo i stručno, da se izbjegnu oštećenja. Moraju se poduzeti mjere predostrožnosti za slučaj neplaniranog kolapsa. Nadzorni inženjer će odrediti kad se mora, odnosno može, skidati oplata. Sve skele (za oplatu, pomoćne i fasadne) moraju se izvesti od zdravoga drva ili čeličnih cijevi potrebnih dimenzija.

Sve skele moraju biti stabilne, ukružene dijagonalno u poprečnom i uzdužnom smislu, te solidno vezane sponama i kliještima. Mosnice i ograde trebaju biti također dovoljno ukružene. Skelama treba dati nadvišenje koje se određuje iskustveno u ovisnosti o građevini ili proračunski.

Nadzorni inženjer mora zabraniti izradu i primjenu oplata i skela koje prema njegovom mišljenju ne bi mogle osigurati traženu kvalitetu lica gotovog betona ili su neprihvatljive kvalitete ili sigurnosti. Prijem gotove skele ili oplate vrši se vizualno, geodetskom kontrolom i ostalom izmjerom. Pregled i prijem gotove skele, oplate i armature vrši nadzorni inženjer. Bez obzira na odobrenu primjenu skela, oplate i armature, izvođač snosi punu odgovornost za sigurnost i kvalitetu radova.

### **1.6.2. Transport i ugradnja betona**

S betoniranjem se može početi samo na osnovi pismene potvrde o preuzimanju podloge, skele, oplate i armature te po odobrenju programa betoniranja od nadzornog inženjera. Beton se mora ugrađivati prema unaprijed izrađenom programu i izabranom sistemu. Vrijeme transporta i drugih manipulacija sa svježim betonom ne smije biti duže od onog koje je utvrđeno u toku prethodnih ispitivanja (promjena konzistencije s vremenom pri raznim temperaturama). Transportna sredstva ne smiju izazivati segregaciju smjese betona. U slučaju transporta betona auto-miješalicama, poslije pražnjenja auto-miješalice treba oprati bubanj, a prije punjenja treba provjeriti je li ispražnjena sva voda iz bubnja. Zabranjeno je korigiranje sadržaja vode u gotovom svježem betonu bez prisustva tehnologa za beton. Dozvoljena visina slobodnog pada betona je 1,0 m. Nije dozvoljeno transportiranje betona po kosinama. Sloj betona koji se ugrađuje mora vibriranjem biti dobro spojen s prethodnim donjim slojem betona. Ako dođe do prekida betoniranja, prije nastavka betoniranja površina donjeg sloja betona mora biti dobro očišćena ispuhivanjem i ispiranjem. Beton treba ubaciti što bliže njegovom konačnom položaju u konstrukciji da bi se izbjegla segregacija. Smije se vibrirati samo oplatom ukliješten beton. Nije dozvoljeno transportiranje betona pomoću pervibratora.

Ugrađeni beton ne smije imati temperaturu veću od 45 °C u periodu od 3 dana nakon ugradnje.

### **1.6.3. Betoniranje pri visokim vanjskim temperaturama**

Za vrijeme visokih dnevnih temperatura (oko 30 °C), kada postoje poteškoće s održavanjem dozvoljene temperature svježeg betona, početak radova na betoniranju treba pomaknuti prema hladnijem dijelu dana (noć, jutro). Vrijeme od spravljanja betona do ugradnje treba biti što kraće, kako bi se izbjegli problemi pri pražnjenju transportnih sredstava i ugradnji zbog smanjenja obradivosti. U uvjetima vrućeg vremena najpogodnije je njegovanje vodom. Njegovanje treba početi čim beton počne očvršćivati. Ako je intenzitet isparavanja blizu kritične granice, površina se može finim raspršivanjem vode održavati vlažnom, bez opasnosti od ispiranja. Ukoliko se u svježem betonu pojave pukotine, treba ih zatvoriti revibriranjem. Voda koja se upotrebljava za njegovanje ne smije biti mnogo hladnija od betona, kako razlike između temperature betona na površini i unutar jezgre ne bi prouzročile pojavu pukotina. Stoga je efikasan način njegovanja pokrivanje betona materijalima koji vodu upijaju i zadržavaju (juta, spužvasti materijal i sl.) te dodatno prekrivanje plastičnom folijom. Prekrivanje povoljno djeluje i na utjecaj razlika temperatura noć – dan.

### **1.6.4. Betoniranje pri niskim vanjskim temperaturama**

Betoniranje pri temperaturama nižim od +5 °C moguće je uz pridržavanje mjera za zimsko betoniranje. Da bi se omogućio normalni tok procesa stvrdnjavanja i spriječilo smrzavanje, odmah poslije ugradnje, beton se toplinski zaštićuje prekrivanjem otvorenih površina izolacijskim materijalima i izolacijom čeličnih oplata. Toplinska izolacija betona mora biti takva da osigura postizanje najmanje 50 % projektirane čvrstoće na pritisak prije nego što beton bude izložen djelovanju mraza. Pri temperaturama zraka nižim od +5 °C, temperatura svježeg betona mjeri se najmanje jedanput u toku 2h .

## **1.7. Obaveze izvođača**

Izvođač je dužan na svoj trošak otkloniti sve nedostatke koji se ukažu u dogovorenom roku. Investitor može priznati samo količine materijala koje su ugrađene. Sav neispravan ili nepropisan materijal ne smije se ugrađivati i mora se ukloniti s gradilišta. Po završetku svih radova izvođenja, treba izvršiti tehnički pregled i sastaviti zapisnik o nedostacima. Garantni rok za ispravnost ugrađenih materijala i izvršenih radova regulira se ugovorom o

izvođenju radova. Za vrijeme garantnog roka izvođač je dužan da na poziv investitora otkloni sve nedostatke koje se u toku garantnog roka pojave. Izvođač ne smije vršiti bušenja armirano betonskih konstrukcija bez prethodnog odobrenja i uputa nadzornog organa, što treba unijeti u građevinski dnevnik. Izvođač je dužan nabaviti sve ateste za sav ugrađeni materijal. Uvjeti Izvođač radova je obavezan da korisniku preda upute za rukovanje ugrađenom opremom.

### **1.8. Održavanja i projektirani vijek trajanja**

Građevina ne zahtijeva poseban tretman održavanja. Tehnološkim mjerama, koje su navedene u ovom projektu pokušalo se dobiti što kvalitetniju i trajniju konstrukciju. U tom smislu neophodno je poštovati mjere za postizanje kvalitete materijala i konstrukcija, kao i posebne tehničke uvjete. U cilju održavanja konstrukcije te povećanja njenog vijeka trajanja, potrebno je povremeno vršiti vizualne kontrole (najmanje jednom godišnje).

Posebnu pažnju obratiti na:

- Pukotine u ab konstrukciji
- Veće deformacije (progibe) ab elemenata
- Moguće otpadanje dijelova konstrukcije (raspucavanje i otpadanje komada betona)
  - koroziju armature
- Raspucavanje, nadizanje i otpadanje boje s metalnih elemenata

Očekivani vijek trajanja građevine je 50 godina. Preduvjet za postizanje očekivanog vijeka trajanja je pravilno održavanje u skladu s prethodno navedenim zahtjevima i pravilima struke

## 2. ANALIZA OPTEREĆENJA

### 2.1. Stalno opterećenje

#### 2.1.1. Vlastita težina

Vlastita težina svih konstruktivnih elementa je automatski uključena u programskom paketu Scia Engineer 22.0.

#### 2.1.2. Dodatno stalno opterećenje

##### a) Ploča krova

| Sloj:               | d(m)    | g(kN/m <sup>3</sup> ) | d x g(kN/m <sup>2</sup> ) |
|---------------------|---------|-----------------------|---------------------------|
| Betonska ploča      | 0,027   | 25                    | 0,68                      |
| Podmetači           | 0,003   |                       |                           |
| PE folija           | -       | -                     | -                         |
| Hidroizolacija      | 0,025x2 | 5,90                  | 0,30                      |
| Toplinska izolacija | 0,14    | 1,5                   | 0,21                      |
| Beton za pad        | 0,13    | 24                    | 3,12                      |
| AB ploča            | 0,20    | uključena             | kroz program              |

Tablica 1.1 – karakteristični iznos opterećenja slojeva ravnog krova

Ukupno dodatno stalno opterećenje:  $\Delta g = 4,31$  (kN/m<sup>2</sup>)

##### b) Pod između stanova

| Sloj:                 | d(m) | g(kN/m <sup>3</sup> ) | d x g(kN/m <sup>2</sup> ) |
|-----------------------|------|-----------------------|---------------------------|
| Keramičke pločice     | 0,02 | 24                    | 0,48                      |
| Cementni estrih       | 0,06 | 24                    | 1,44                      |
| PE folija             | -    | -                     | -                         |
| Topl.-zvuč. izolacija | 0,22 | 2,0                   | 0,44                      |
| AB ploča              | 0,20 | Uključenakroz program |                           |

Tablica 1.2 – karakteristični iznos opterećenja slojeva katova

Ukupno dodatno stalno opterećenje:  $\Delta g = 2,36$  (kN/m<sup>2</sup>)

c) Pod između stanova - balkon

| Sloj:           | d(m) | g(kN/m <sup>3</sup> ) | d x g(kN/m <sup>2</sup> ) |
|-----------------|------|-----------------------|---------------------------|
| Ker.pločice     | 0,02 | 24                    | 0,48                      |
| Cementni estrih | 0,05 | 24                    | 1,20                      |
| PE folija       | -    | -                     | -                         |
| Termoizolacija  | 0,14 | 2,0                   | 0,28                      |
| Hidroizolacija  | 0,09 | 5,9                   | 0,53                      |
| AB ploča        | 0,20 | Uključenakroz program |                           |

Tablica 1.3 – karakteristični iznos opterećenja slojeva balkona

Ukupno dodatno stalno opterećenje:  $\Delta g = 2,49$  (kN/m<sup>2</sup>)

d) Ploča iznad pomoćnog objekta

| Sloj:            | d(m)    | g(kN/m <sup>3</sup> )  | d x g(kN/m <sup>2</sup> ) |
|------------------|---------|------------------------|---------------------------|
| Zemlja           | 0,12    | 18                     | 2,16                      |
| Drenaža          | 0,06    | 0,01                   | 0,0006                    |
| Termoizolacija   | 0,14    | 1,5                    | 0,21                      |
| Hidroizolacija   | 0,023x2 | 5,90                   | 0,27                      |
| Cementna glazura | 0,075   | 23                     | 1,73                      |
| AB ploča         | 0,20    | Uključena kroz program |                           |

Tablica 1.4 – karakteristični iznos opterećenja slojeva poda iznad pomoćnog objekta

Ukupno dodatno stalno opterećenje:  $\Delta g = 4,37$  (kN/m<sup>2</sup>)

e) Stubište

| Sloj:         | d(m)  | g(kN/m <sup>3</sup> )  | d x g(kN/m <sup>2</sup> ) |
|---------------|-------|------------------------|---------------------------|
| Kamene ploče  | 0,02  | 28                     | 0,56                      |
| Cementni mort | 0,02  | 21                     | 0,42                      |
| Stepenik      | 0,075 | Uključen kroz program  |                           |
| AB ploča      | 0,18  | Uključena kroz program |                           |
| Žbuka         | 0,02  | 19                     | 0,38                      |

Tablica 1.5- karakteristični iznos opterećenja slojeva stubišta

Ukupno dodatno stalno opterećenje:  $\Delta g = 1,36$ (kN/m<sup>2</sup>)



## 2.2. Promjenjivo opterećenje

### 2.2.1. Korisno opterećenje

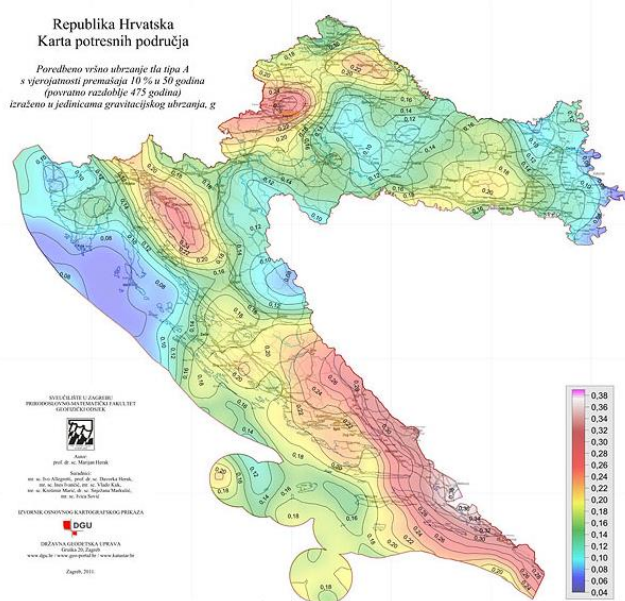
Za potrebe proračuna, a prema EC1991-1-1 korištena su sljedeća opterećenja:

- Ravni krov:  $q = 1,0 \text{ kN/m}^2$
- Stambeni prostori:  $q = 2,0 \text{ kN/m}^2$
- Stubišta i poslovni prostori:  $q = 3,0 \text{ kN/m}^2$
- Pod iznad garaže:  $q = 2,0 \text{ kN/m}^2$
- Balkoni:  $q = 4,0 \text{ kN/m}^2$

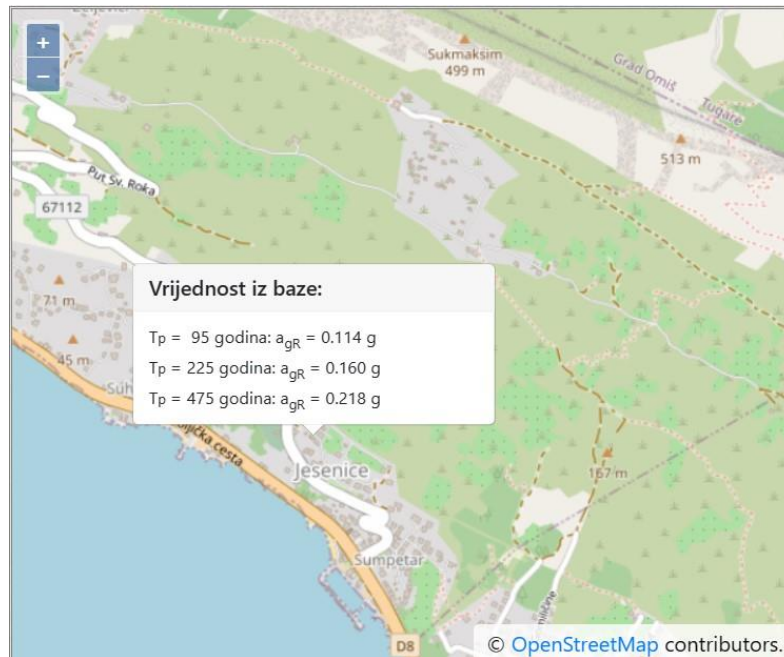
## 2.3. Izvanredno opterećenje

### 2.3.1. Seizmičko opterećenje

Potresne sile proračunate su pojednostavljenim postupkom. Za proračun potresnog opterećenja korištena je modalna analiza. Građevina se nalazi na području Splita gdje poredbeno vršno ubrzanje tla iznosi  $a_{gR} = 0,22g$  prema seizmološkoj karti Republike Hrvatske. Računsko ubrzanje je očitano za povratni period 475 godina.



Slika 2.1 Seizmološka karta Republike Hrvatske



Slika 2.2 Parametar vršnog ubrzanja tla za promatranu lokaciju

Građevina je temeljena na tlu klase A, a pretpostavlja se srednja klasa (DCM) duktilnog ponašanja građevine.

|                                                               |                                          |
|---------------------------------------------------------------|------------------------------------------|
| Klasa tla                                                     | A                                        |
| Računsko ubrzanje tla $a_g$                                   | 0,22g                                    |
| Koeficijent računskog ubrzanja tla $\alpha = a_{gR}/g$        | 0,22                                     |
| Faktor tla S za klasu tla A                                   | 1                                        |
| Donja vrijednost faktora horizontalnog spektra odziva $\beta$ | 0,2                                      |
| Granični periodi osciliranja za klasu tla A                   | $T_B=0,15s$<br>$T_C=0,40s$<br>$T_D=2,0s$ |

Tablica 2.1 Parametri elastičnog spektra ubrzanja poglove tipa I.

**Proračun faktora ponašanja**

- faktor ponašanja za klasu DCM

$$q = q_0 \cdot k_w \geq 1,5$$

- osnovni faktor ponašanja:  $q_0 = 3 \cdot \frac{\alpha_u}{\alpha_1} \rightarrow$  za zidni sustav

$$\frac{\alpha_u}{\alpha_1} = 1,0 \rightarrow \text{za tlocrtno nepravilne sustave}$$

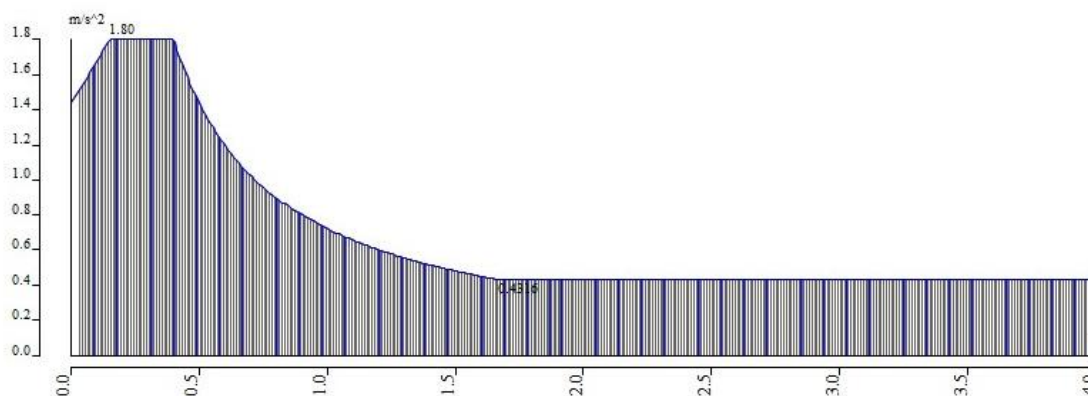
$$q_0 = 3 \cdot 1 = 3,0$$

- faktor prevladavajućeg sloma:  $k_w = \frac{1+\alpha_0}{3}$  uz uvjet  $0,5 \leq k_w \leq 1$ ;  $\alpha_0 = \frac{\sum h_{wi}}{\sum l_{wi}}$

$$k_w = 1 \text{ za smjer } x \text{ i } y$$

- za zgrade nepravilne po visini faktor ponašanja se umanjuje za 20%

$$q = 0,8 \cdot q_0 \cdot k_w = 0,8 \cdot 3 \cdot 1 = 2,4$$



Slika 2.3 Normirani računski spektar odgovora

Potresno opterećenje je automatski generirano na temelju sudjelujućih masa generiranih iz opterećenja vlastitom težinom, dodatnog stalnog opterećenja i jednog dijela korisnog opterećenja: 1,0 MG(vlastita težina) + 1,0 MG1(dodatno stalno krov)+1,0 MG2( dodatno stalno stan)+1,0MG3(dodatno stalno balkon)+0,3MQ1(korisno krov)+0,3MQ2(korisno stan) + 0,3 MQ3(korisno balkon).

Na temelju tih ulaznih podataka napravljena je modalna analiza iz koje su dobiveni vlastiti oblici konstrukcije i njima pripadajući periodi sa sudjelujućim masama.

U nastavku su prikazani rezultati dinamičke analize.

## Rezultati dinamičke analize

### Calculation protocol

#### Solution of Free vibration

|                            |                                              |
|----------------------------|----------------------------------------------|
| Number of 2D elements      | 3012                                         |
| Number of 1D elements      | 70                                           |
| Number of mesh nodes       | 3011                                         |
| Number of equations        | 18066                                        |
| Combination of mass groups | MC1 CM1                                      |
| Modification group         | None                                         |
| Number of frequencies      | 23                                           |
| Method                     | Lanczos                                      |
| Bending theory             | Mindlin                                      |
| Type of analysis model     | Standard using improved reduced system (IRS) |
| Start of calculation       | 8.7.2023. 8:43                               |
| End of calculation         | 8.7.2023. 8:44                               |

#### Sum of masses

|   | Mass type   | X [kg]    | Y [kg]    | Z [kg]    |
|---|-------------|-----------|-----------|-----------|
| 1 | Moving mass | 632108,09 | 632108,09 | 632108,09 |
| 1 | Total mass  | 638106,51 | 638106,51 | 638106,51 |

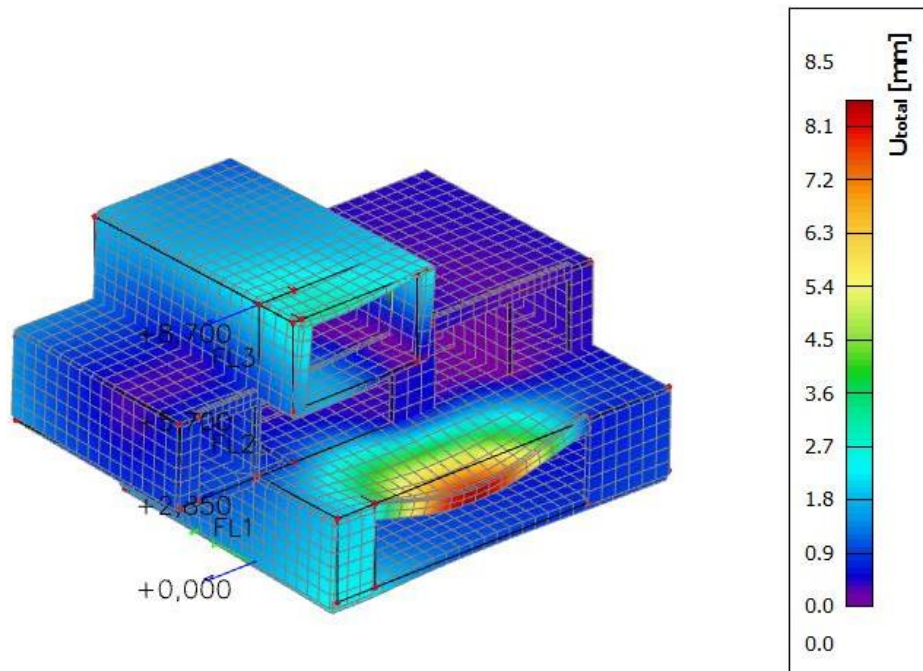
#### Relative modal masses

| Mode | mega [rad/s] | Period [s] | Freq. [Hz] | $W_x / W_{xtot}$ | $W_y / W_{ytot}$ | $W_z / W_{ztot}$ | $N_{x,R} / W_{xtot,R}$ | $N_{y,R} / W_{ytot,R}$ | $N_{z,R} / W_{ztot,R}$ |
|------|--------------|------------|------------|------------------|------------------|------------------|------------------------|------------------------|------------------------|
| 1    | 20.0209      | 0,31       | 3,19       | 0,0185           | 0,0060           | 0,0541           | 0,0001                 | 0,0072                 | 0,0003                 |
| 2    | 36.3344      | 0,17       | 5,78       | 0,0351           | 0,0338           | 0,0067           | 0,0487                 | 0,0381                 | 0,0003                 |
| 3    | 50.7297      | 0,12       | 8,07       | 0,0750           | 0,2281           | 0,0034           | 0,2873                 | 0,0179                 | 0,1395                 |
| 4    | 57.0475      | 0,11       | 9,08       | 0,0231           | 0,0407           | 0,1934           | 0,0172                 | 0,0305                 | 0,0255                 |
| 5    | 70.2127      | 0,09       | 11,17      | 0,0000           | 0,1707           | 0,0634           | 0,1788                 | 0,1617                 | 0,2413                 |
| 6    | 81.8158      | 0,08       | 13,02      | 0,0008           | 0,0187           | 0,0287           | 0,0065                 | 0,0153                 | 0,0377                 |
| 7    | 89.6707      | 0,07       | 14,27      | 0,0009           | 0,0081           | 0,1026           | 0,0061                 | 0,3131                 | 0,0003                 |
| 8    | 113.057      | 0,06       | 17,99      | 0,0013           | 0,0049           | 0,0097           | 0,0097                 | 0,0004                 | 0,0000                 |
| 9    | 120.958      | 0,05       | 19,25      | 0,0053           | 0,0009           | 0,0038           | 0,0004                 | 0,1367                 | 0,0026                 |
| 10   | 126.923      | 0,05       | 20,20      | 0,0215           | 0,0588           | 0,0182           | 0,2064                 | 0,0037                 | 0,0489                 |
| 11   | 144.389      | 0,04       | 22,98      | 0,2997           | 0,0724           | 0,0089           | 0,0231                 | 0,0303                 | 0,0095                 |
| 12   | 160.098      | 0,04       | 25,48      | 0,0602           | 0,0009           | 0,0143           | 0,0110                 | 0,0017                 | 0,0151                 |
| 13   | 167.382      | 0,04       | 26,64      | 0,0038           | 0,0000           | 0,0584           | 0,0363                 | 0,0169                 | 0,0139                 |
| 14   | 181.914      | 0,03       | 28,95      | 0,0016           | 0,0016           | 0,1429           | 0,0038                 | 0,0315                 | 0,0095                 |
| 15   | 193.919      | 0,03       | 30,86      | 0,0579           | 0,0069           | 0,0498           | 0,0032                 | 0,0061                 | 0,0220                 |
| 16   | 196.202      | 0,03       | 31,23      | 0,0564           | 0,0012           | 0,0561           | 0,0364                 | 0,0173                 | 0,0299                 |
| 17   | 215.605      | 0,03       | 34,31      | 0,0343           | 0,0039           | 0,0308           | 0,0023                 | 0,0271                 | 0,0014                 |
| 18   | 244.296      | 0,03       | 38,88      | 0,0000           | 0,0653           | 0,0223           | 0,0235                 | 0,0205                 | 0,0958                 |
| 19   | 255.03       | 0,02       | 40,59      | 0,0760           | 0,0276           | 0,0008           | 0,0054                 | 0,0021                 | 0,0320                 |
| 20   | 275.784      | 0,02       | 43,89      | 0,0339           | 0,0314           | 0,0060           | 0,0046                 | 0,0024                 | 0,0317                 |
| 21   | 301.747      | 0,02       | 48,02      | 0,0232           | 0,0000           | 0,0000           | 0,0051                 | 0,0007                 | 0,0001                 |
| 22   | 329.361      | 0,02       | 52,42      | 0,0087           | 0,0152           | 0,0065           | 0,0037                 | 0,0111                 | 0,0007                 |
| 23   | 374.986      | 0,02       | 59,68      | 0,0002           | 0,1086           | 0,0000           | 0,0047                 | 0,0000                 | 0,1133                 |
|      |              |            |            | 0,8393           | 0,9058           | 0,8809           | 0,9245                 | 0,8924                 | 0,8712                 |

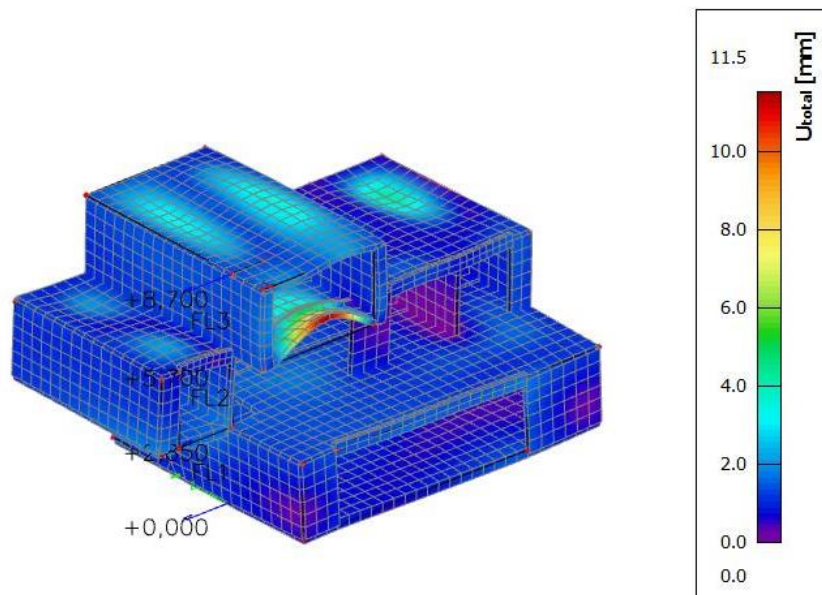
Skupljeno je prosječno 90 % mase u tri glavna smjera deformacija ( $W_x$ ,  $W_y$ ,  $W_z$  - Rotation) koja promatramo za 23 moda.

Većina mase angažira se tek u višim modovima osciliranja, npr. za y smjer 3. mod, za x smjer 11. mod. Razlog je velika krutost u tim smjerovima te ploče prvo osciliraju u z smjeru.

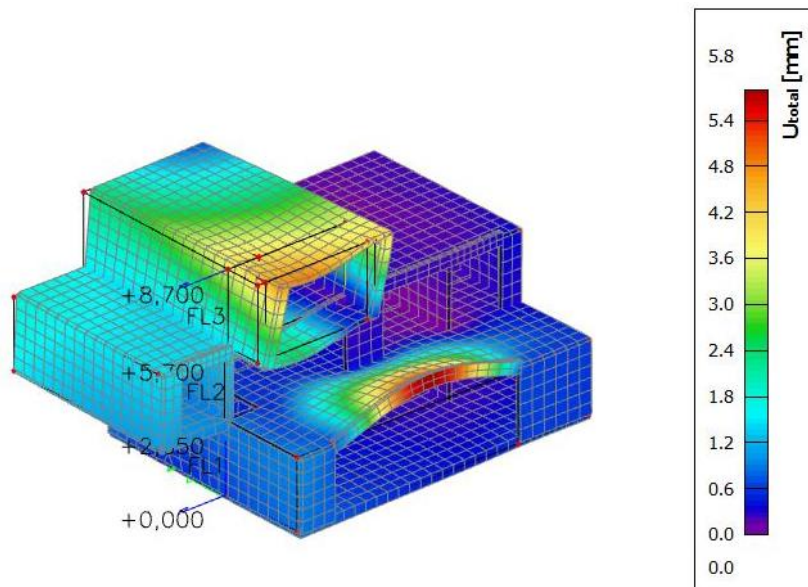
a) Grafički prikaz deformacija uslijed nekoliko karakterističnih modova osciliranja



Slika 2.4. 1.mod(3D prikaz)



Slika 2.5. -2.mod



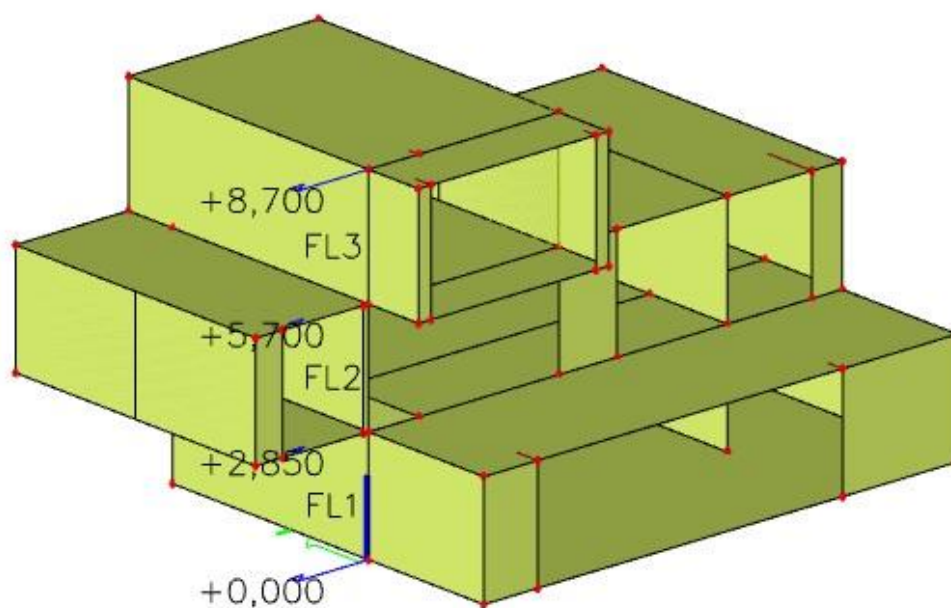
Slika 2.6. -3.mod

### 3. NUMERIČKI MODEL I KOMBINACIJE OPTEREĆENJA

#### 3.1. Numerički model

Numerički model je izrađen u računalnom programu SciaEngineer 22.0. Modelom su obuhvaćene sve ploče, grede i zidovi. Model je opterećen stalnim opterećenjem (vlastita težina konstrukcije), dodatnim stalnim opterećenjem (nekonstruktivni slojevi konstrukcije), korisnim opterećenjem te seizmičkim opterećenjem (potresom) u dva glavna smjera pri čemu su sva opterećenja, osim seizmičkog koje je generirano kroz računalni program, zadana kao raspodijeljena opterećenja po pločama i zidovima.

Zidovi su armirano-betonski debljine 20 i 25 cm, modelirani kao 2D elementi. Međukatne konstrukcije su pune armirano-betonske ploče debljine 20 cm, a temeljne ploče debljine 40 cm i modelirane kao pločasti elementi. Svi nosivi elementi su klase betona C 30/37.



Slika 3.1. Prikaz numeričkog modela

### 3.2. Kombinacije opterećenja

Rezultati numeričkog proračuna su prikazani za računsko granično opterećenje koje se dobiva kao kombinacija stalnog, dodatno stalnog, korisnog, vjetra i potresnog opterećenja, prema izrazima navedenim u nastavku.

#### 3.2.1. Granično stanje nosivosti

Osnovne kombinacije djelovanja:

$$CO 1 : 1,35 (g+\Delta g) + 1,5q$$

Seizmičke kombinacije djelovanja:

$$GSN - KS_x : 1,0 (g+\Delta g) + 0,3q + 1,0S_x$$

$$GSN - KS_y : 1,0 (g+\Delta g) + 0,3q + 1,0S_y$$

U potresnom opterećenju  $S_x$  je uključeno 30% potresnog opterećenja iz suprotnog smjera, tj.  $y$  smjera. Isto vrijedi i za potresno opterećenje  $S_y$ .

#### 3.2.2. Granično stanje uporabljivosti

$$GSU 1 : 1,0 (g+\Delta g) + 1,0q$$



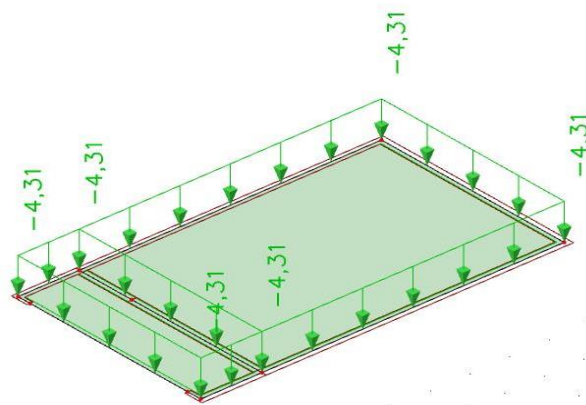
#### 4. DIMENZIONIRANJE HORIZONTALNIH ELEMENATA KONSTRUKCIJE

Za dimenzioniranje ploče upotrijebljene su mjerodavne kombinacije za granično stanje nosivosti dok su za kontrolu pukotina i progiba korištene kombinacije graničnog stanja uporabljivosti.

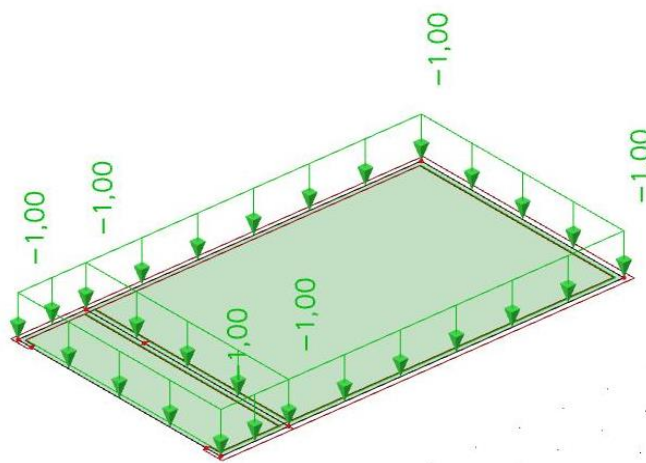
U nastavku su prikazani ulazni podaci, podaci o opterećenjima, podaci o materijalima, te relevantni rezultati proračuna, i na kraju dimenzioniranje promatranog nosivog elementa. Međukatne ploče predmetne konstrukcije projektirane su debljine 20 cm, izrađene od betona klase C 30/37.

##### 4.1. Proračun krovne ploče pozicije 300

###### 4.1.1. Prikaz opterećenja

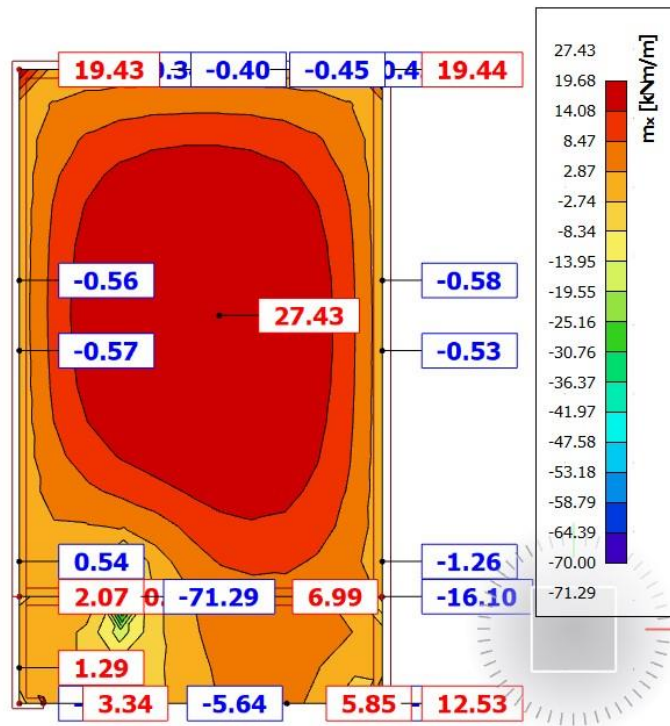


Slika 4.1. Dodatno stalno opterećenje

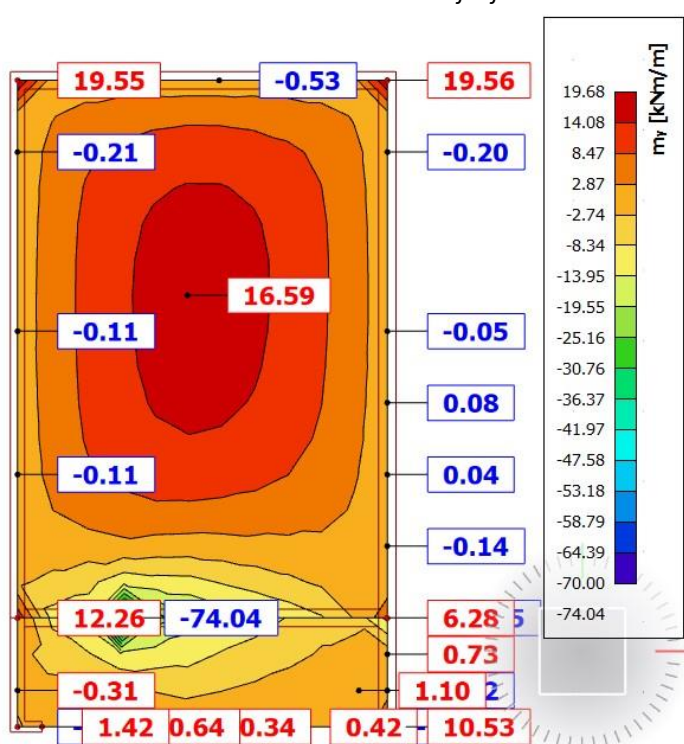


Slika 4.2. Pokretno opterećenje

Kombinacija GSN

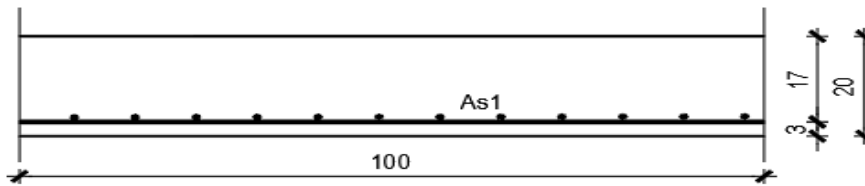


Slika 4.3. Prikaz momenata savijanja  $-m_x$



Slika 4.3. Prikaz momenata savijanja  $-m_y$

#### 4.1.2. Dimenzioniranje na savijanje



Slika 4.4 Skica armature ploče u polju

Postupak dimenzioniranja:

$$C\ 30/37 \quad f_{cd} = \frac{f_{ck}}{\gamma_c} = \frac{30}{1,5} = 20\ MPa; \quad f_{cd} = 2,0 \frac{kN}{cm^2}$$

$$B\ 500\ B \quad f_{yd} = \frac{f_{yk}}{\gamma_c} = \frac{500}{1,5} = 434,78\ MPa; \quad f_{yd} = 43,5 \frac{kN}{cm^2}$$

$$b = 100\ cm, \quad h = 20\ cm, \quad d = 17\ cm$$

$$A_{s1,min} = 0,26 \frac{f_{ctm}}{f_{yk}} \cdot b \cdot d = 0,26 \cdot \frac{2,9}{500} \cdot 100 \cdot 17 = 2,56\ cm^2$$

**-odabrano minimalno Q-257**

**Donja zona ploče (polje) :**

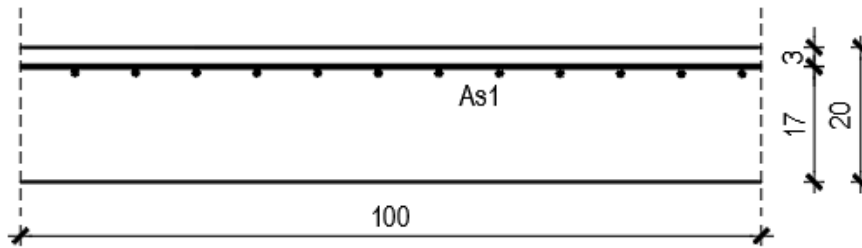
$$M_{Ed,max} = 27,43\ kNm$$

$$\mu_{Ed} = \frac{M_{Ed}}{bd^2 f_{cd}} = \frac{27,43 \cdot 100}{100 \cdot 17^2 \cdot 2,0} = 0,0475$$

$$\text{Za } \varepsilon_{s1} = 10\text{‰}, \quad \varepsilon_{c2} = 1,3\text{‰}, \quad \zeta = 0,959, \quad \xi = 0,115$$

$$A_{s1} = \frac{M_{Ed}}{\zeta \cdot d \cdot f_{yd}} = \frac{27,43 \cdot 100}{0,95965 \cdot 17 \cdot 43,5} = 3,87\ cm^2$$

**Odabrana armatura: Q -424**



Slika 4.5 Skica armature ploče na ležaju

**Gornja zona ploče (ležajevi):**

$M_{Ed,min} = 25,16 \text{ kNm}$  (otprilike 1/3 najvećih rezultata)

$$\mu_{Ed} = \frac{M_{Ed}}{bd^2 f_{cd}} = \frac{25,16 \cdot 100}{100 \cdot 17^2 \cdot 2,0} = 0,0435$$

Za  $\varepsilon_{s1} = 10\text{‰}$ ,  $\varepsilon_{c2} = 1,3\text{‰}$ ,  $\zeta = 0,959$ ,  $\xi = 0,115$

$$A_{s2} = \frac{M_{Ed}}{\zeta \cdot d \cdot f_{yd}} = \frac{25,16 \cdot 100}{0,959 \cdot 17 \cdot 43,5} = 3,55 \text{ cm}^2$$

**Odabrana armatura: Q - 385**

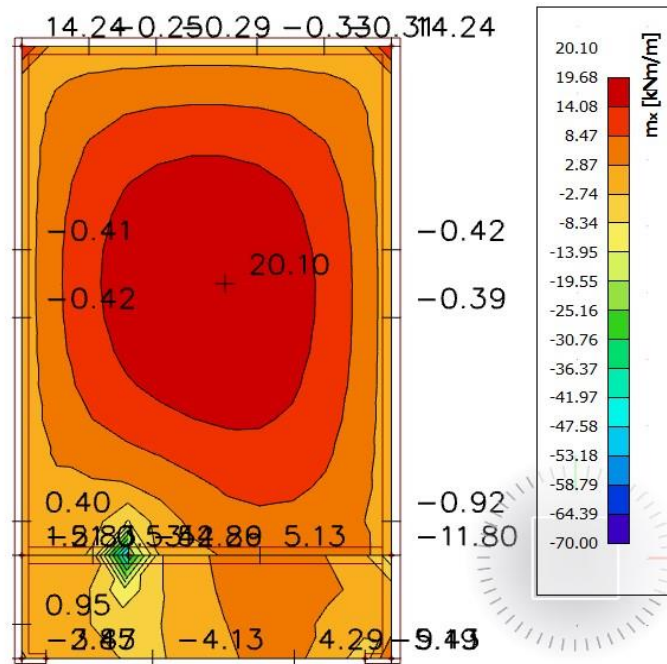
NAPOMENA: Vrijednost momenta savijanja uzeta iz skale na slikama rezultata nije mjerodavna zbog toga što računalni program numerički daje rezultate u beskonačno maloj točki. Mjerodavna i realna vrijednost momenta savijanja je otprilike na 1/3 najvećih prikazanih rezultata što se vidi i prema boji iz slika ploče.

### 4.1.3. Kontrola pukotina

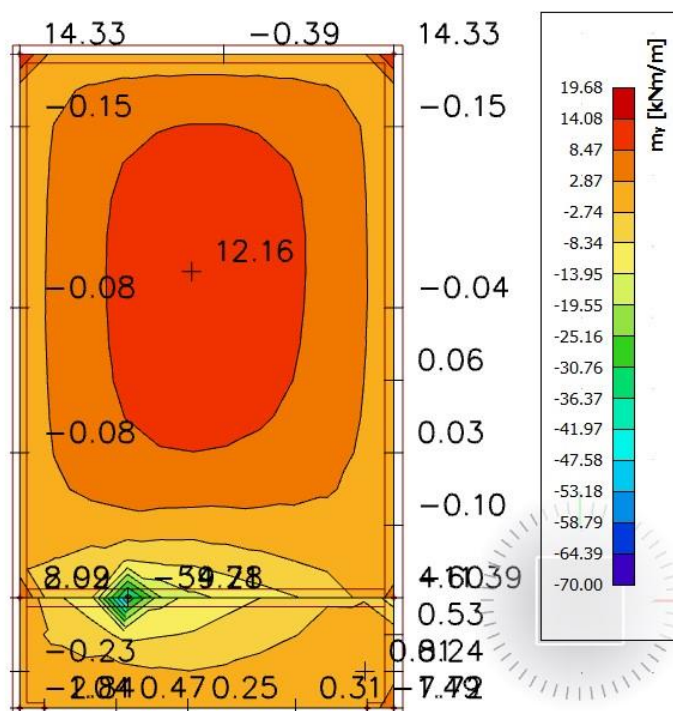
Mjerodavni moment za kontrolu pukotina su dobiveni iz numeričkog modela za kombinaciju **GSU:1,0 G+1,0 Dg+1,0 Q**.

Granična vrijednost širine pukotina : $w_g=0,3$  mm(EC2)

Proračunska vrijednost širine pukotine: (EC-2):  $S_{r,max}(\epsilon_{sm}-\epsilon_{cm}) < W_g$



Slika 4.6. Prikaz momenata  $M_x$ -GSU



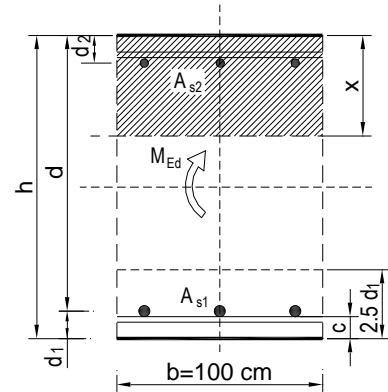
Slika 4.7. Prikaz momenata  $M_y$ -GSU

Maksimalna vrijednost momenta u polju za mjerodavnu kombinaciju iznosi :

$$M_{Ed,max}=20,10 \text{ kNm.}$$

Odabrana armatura: Q -424

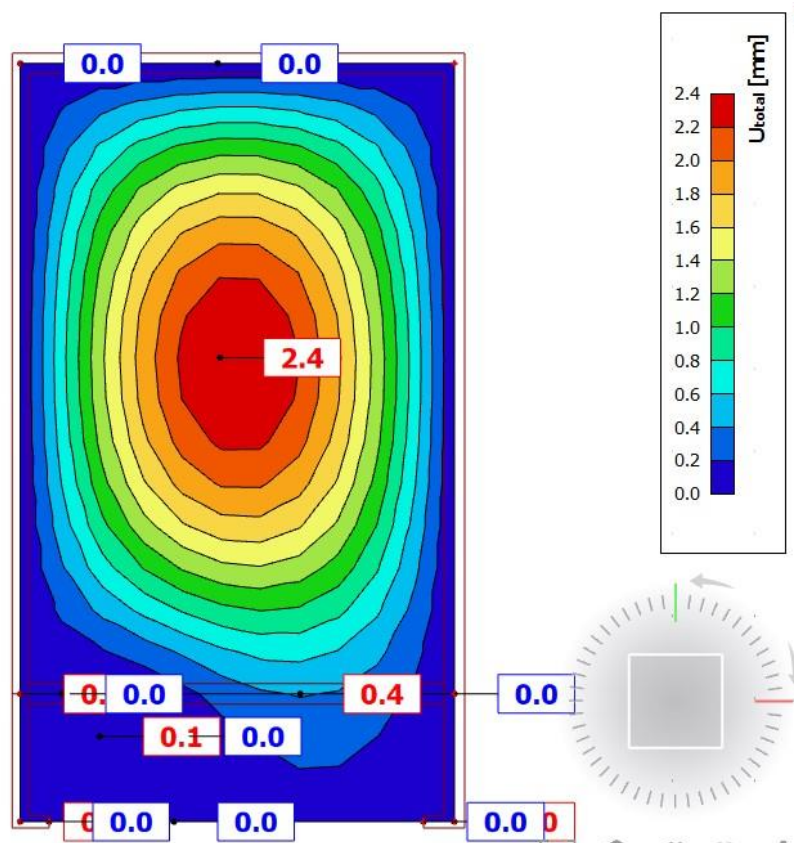
|                                                                 |                          |                              |                         |                           |         |
|-----------------------------------------------------------------|--------------------------|------------------------------|-------------------------|---------------------------|---------|
| $b =$                                                           | 100,0 cm                 | $d =$                        | 17,0 cm                 | $h =$                     | 20,0 cm |
| $f_{ck} =$                                                      | 30,0 MN/m <sup>2</sup>   | $f_{ctm} =$                  | 2,90 MN/m <sup>2</sup>  | $w_g =$                   | 0,30 mm |
| $A_{s1} =$                                                      | 4,24 cm <sup>2</sup>     | $A_{s2} =$                   | 0,00 cm <sup>2</sup>    | $d_1 = d_2 =$             | 3,0 cm  |
| $E_s =$                                                         | 200,00 GN/m <sup>2</sup> | $E_{cm} =$                   | 32,80 GN/m <sup>2</sup> | $\alpha_e = E_s/E_{cm} =$ | 6,10    |
| $M_{Ed} =$                                                      | 20,1 kNm                 | $k_t =$                      | 0,40                    |                           |         |
| $\sigma_s =$                                                    | 215,31 MN/m <sup>2</sup> |                              |                         |                           |         |
| $x =$                                                           | 2,72 cm                  | $\rho_{p,eff} =$             | 0,0057                  |                           |         |
| $(\varepsilon_{sm} - \varepsilon_{cm}) =$                       | 0,000015 <               | $0,6 \cdot \sigma_s / E_s =$ | 0,000646                |                           |         |
| $\varnothing =$                                                 | 9,0 mm                   | $c =$                        | 2,00 cm                 |                           |         |
| $k_1 =$                                                         | 0,8                      | $k_2 =$                      | 0,50                    |                           |         |
| $k_3 =$                                                         | 3,4                      | $k_4 =$                      | 0,43                    |                           |         |
| $s_{r,max} =$                                                   | 338,64 mm                |                              |                         |                           |         |
| $w_k = s_{r,max} \cdot (\varepsilon_{sm} - \varepsilon_{cm}) =$ | 0,219 mm                 | <                            | $w_g$                   |                           |         |



-Odabrana armatura zadovoljava uvjet dozvoljene širine pukotina.

#### 4.1.4. Kontrola progiba

Mjerodavni progibi ploče su dobiveni kroz numerički model. Koriste se rezultati od kratkotrajnog djelovanja i radne kombinacije opterećenja: **GSU : 1,0 (G+ΔG) + 1,0Q**



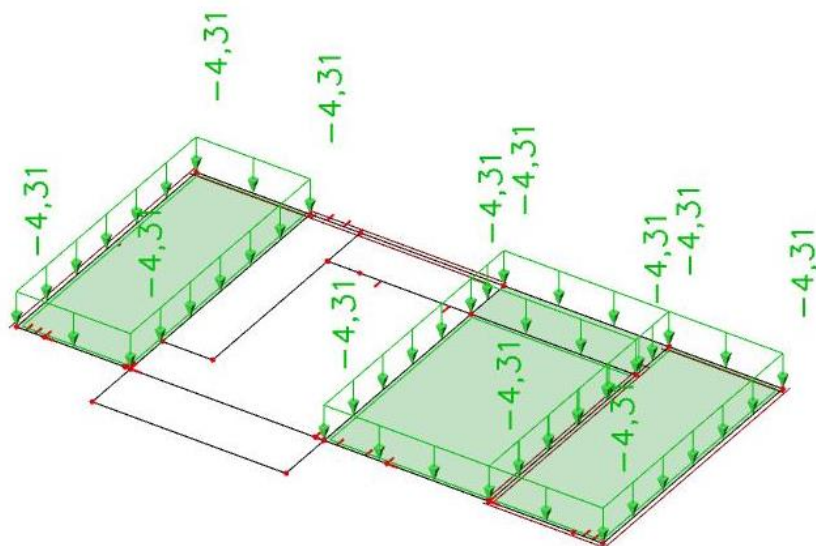
Slika 4.8. Prikaz progiba za ploču za kombinaciju GSU

Granični progib:  $f_{p,dop} = \frac{l}{500} = \frac{7650}{500} = 15,3 \text{ mm} > 2,4 \text{ mm}$

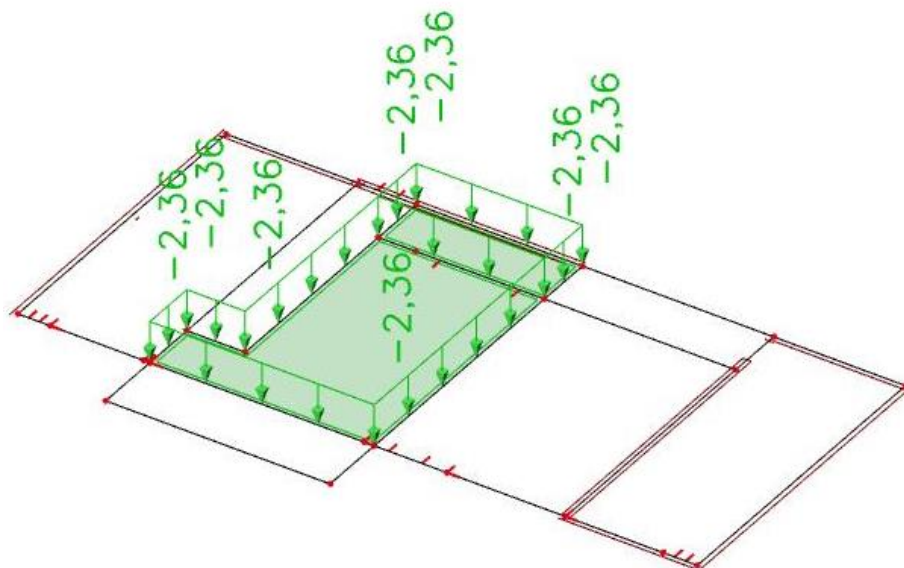
Dimenzija ploče i odabrana armatura zadovoljavaju u pogledu progiba.

## 4.2. Proračun međukatne ploče pozicije 200

### 4.2.1. Prikaz opterećenja

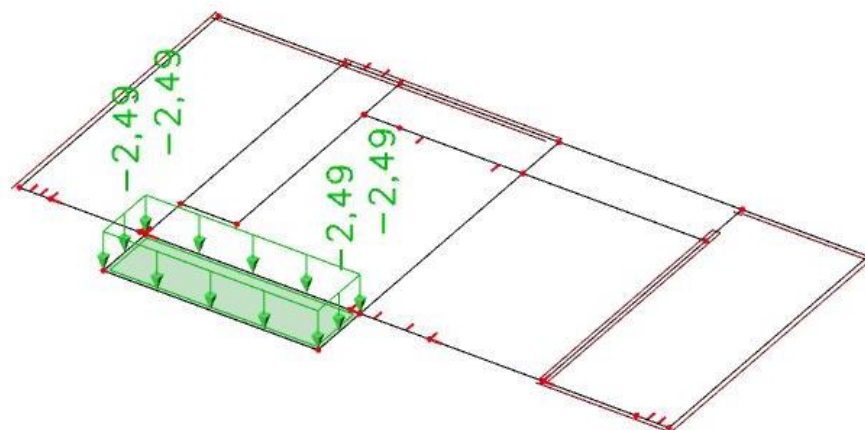


Slika 4.9. Dodatno stalno opterećenje (neprohodni krov)

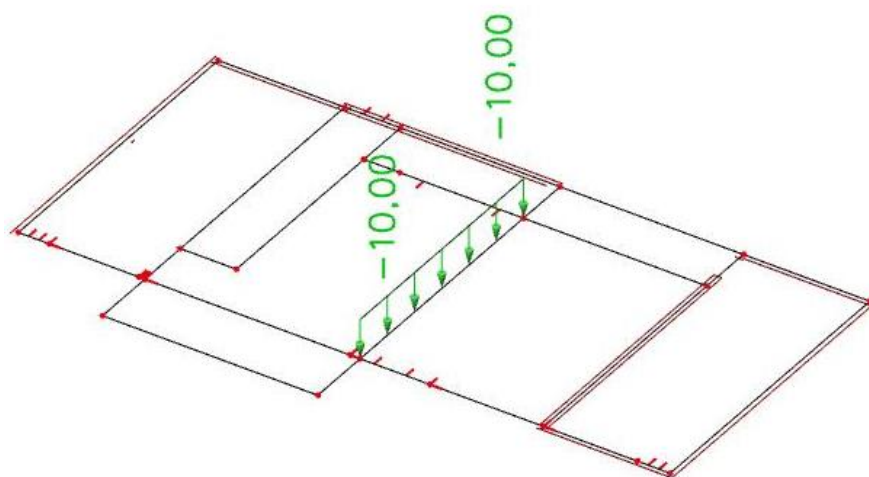


Slika 4.10. Dodatno stalno opterećenje (stan)

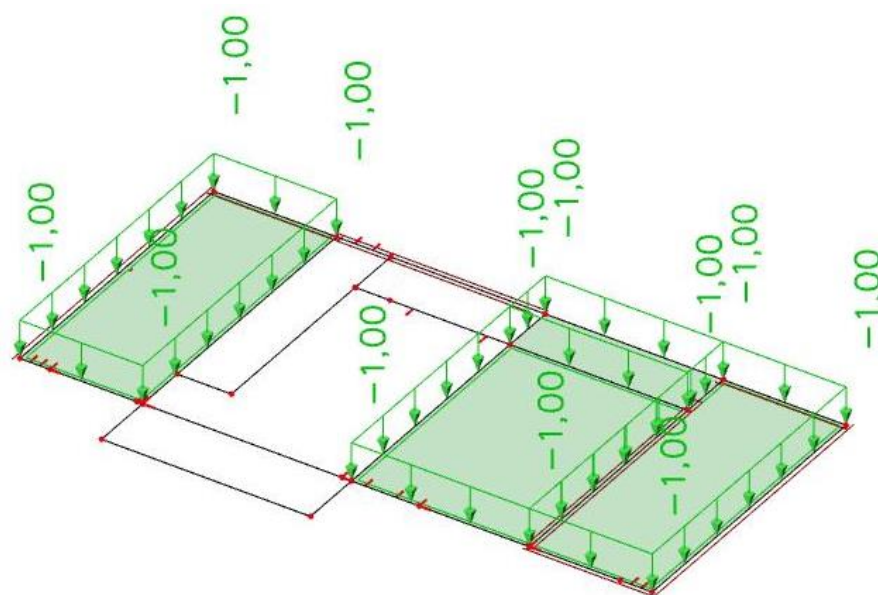




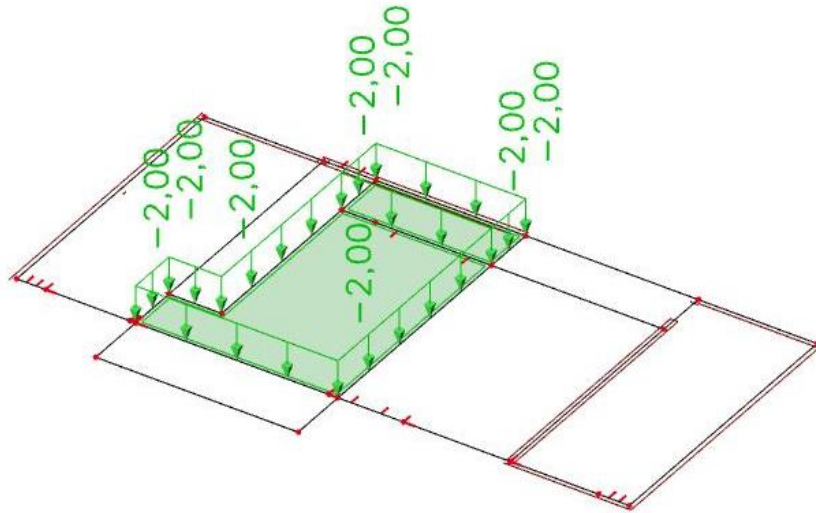
Slika 4.11. Dodatno stalno opterećenje (balkon)



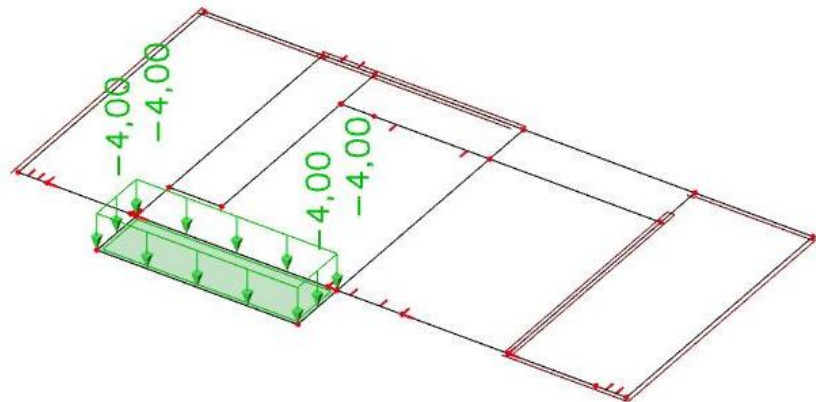
Slika 4.12. Dodatno stalno opterećenje (visokostijeni nosači)



Slika 4.13. Pokretno opterećenje (krov)

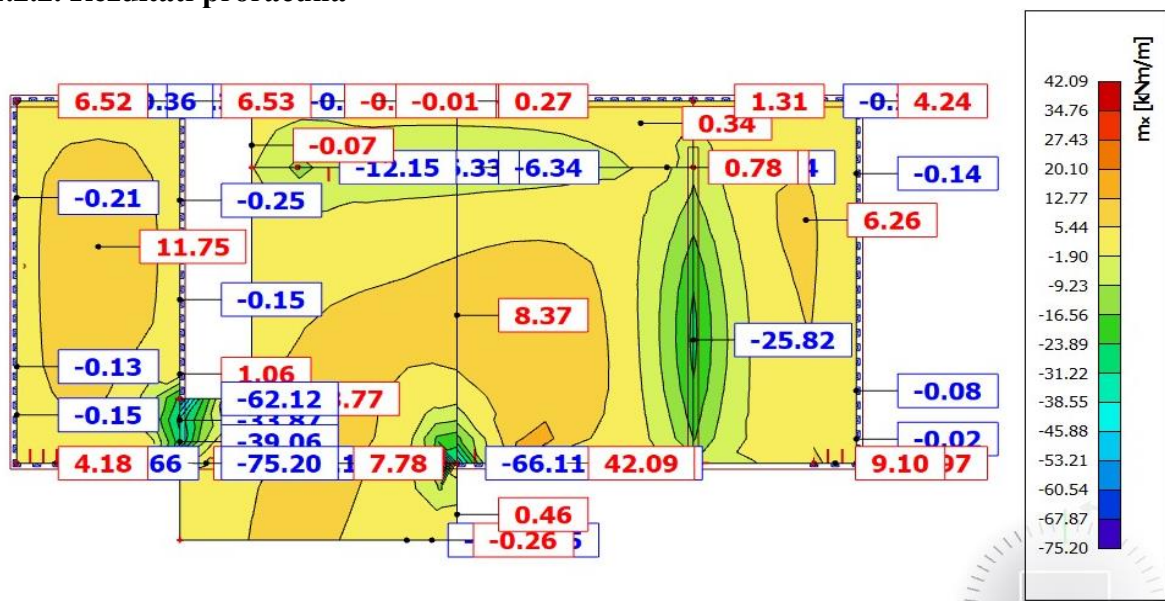


Slika 4.14. Pokretno opterećenje (stan)

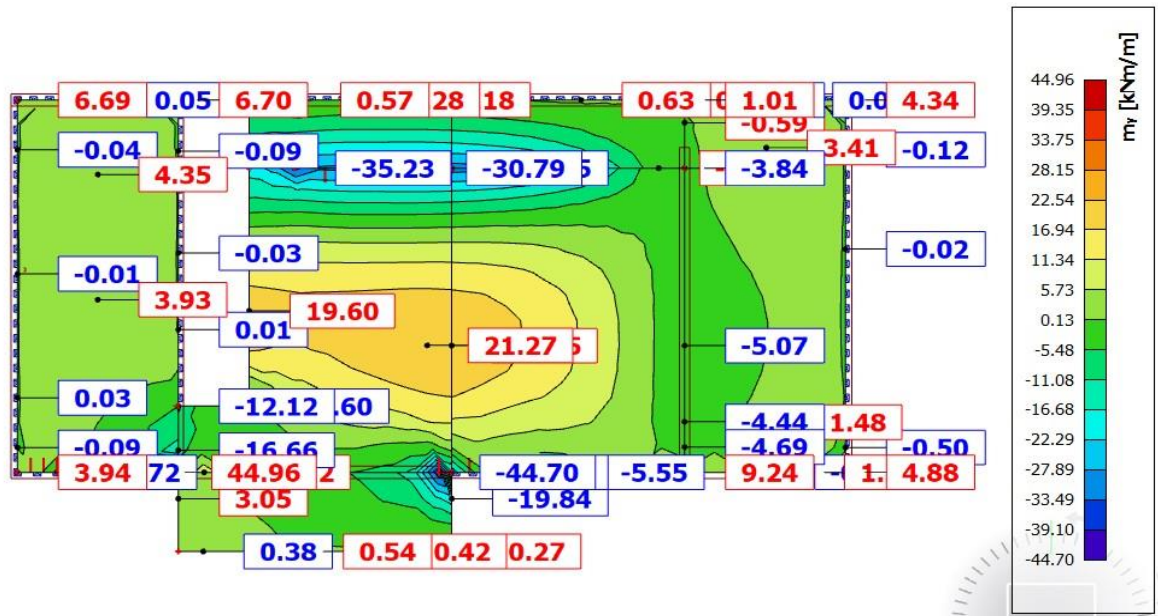


Slika 4.15. Pokretno opterećenje (balkon)

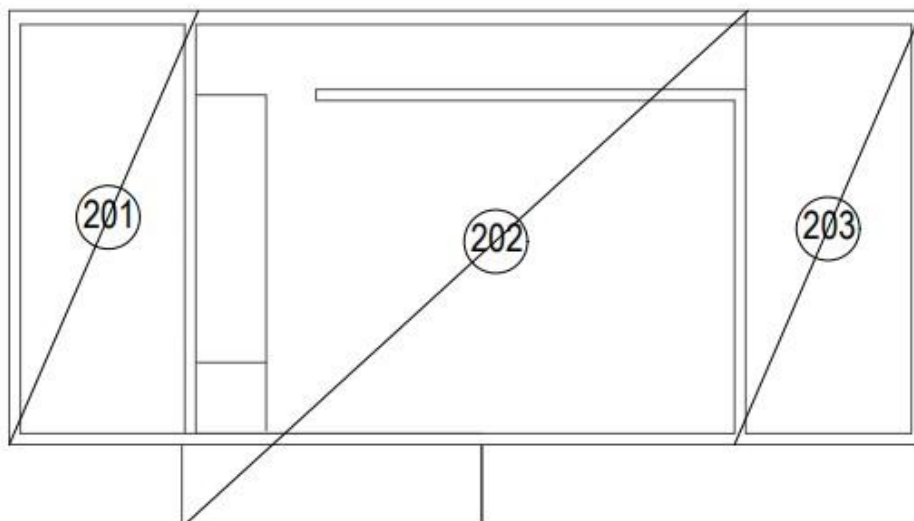
#### 4.2.2. Rezultati proračuna



Slika 4.16. Prikaz momenata savijanja -mx

Slika 4.17.. Prikaz momenata savijanja  $-m_y$ 

### 4.2.3. Dimenzioniranje na savijanje



Slika 4.18.. Prikaz pozicija ploče pozicije 200

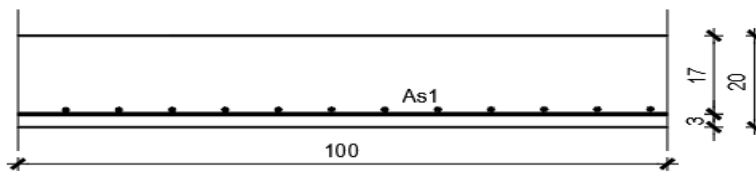
Postupak dimenzioniranja:

$$C\ 30/37 \quad f_{cd} = \frac{f_{ck}}{\gamma_c} = \frac{30}{1,5} = 20\ MPa; \quad f_{cd} = 2,0 \frac{kN}{cm^2}$$

$$B\ 500\ B \quad f_{yd} = \frac{f_{yk}}{\gamma_c} = \frac{500}{1,5} = 434,78\ MPa; \quad f_{yd} = 43,5 \frac{kN}{cm^2}$$

$$b = 100\text{cm}, h = 20\text{cm}, d = 17\text{cm}$$

$$A_{s1,min} = 0,26 \frac{f_{ctm}}{f_{yk}} \cdot b \cdot d = 0,26 \cdot \frac{2,9}{500} \cdot 100 \cdot 17 = 2,56\text{cm}^2 - \text{odabrano minimalno Q-257}$$



Slika 4.19 Skica armature ploče u polju

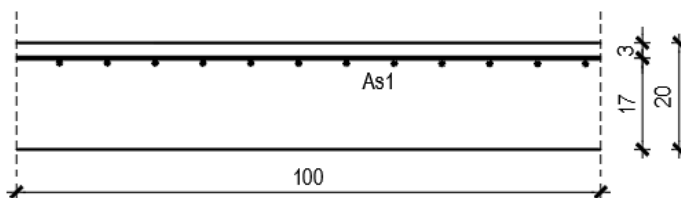
**Donja zona ploče:**

$$M_{Ed,max} = 21,27\text{ kNm}$$

$$\mu_{Ed} = \frac{M_{Ed}}{bd^2 f_{cd}} = \frac{21,27 \cdot 100}{100 \cdot 17^2 \cdot 2,0} = 0,037$$

$$\text{Za } \varepsilon_{s1} = 10\text{‰}, \quad \varepsilon_{c2} = 1,2\text{‰}, \quad \zeta = 0,962, \quad \xi = 0,107$$

$$A_{s1} = \frac{M_{Ed}}{\zeta \cdot d \cdot f_{yd}} = \frac{21,27 \cdot 100}{0,962 \cdot 17 \cdot 43,5} = 3,00\text{cm}^2$$

**Odabrana armatura: Q -335**

Slika 4.19 Skica armature ploče na ležaju

**Gornja zona ploče (ležajevi 201-202):**

$$M_{Ed,min} = 75,20 \cdot (1/3) = 25,06\text{ kNm}$$

$$\mu_{Ed} = \frac{M_{Ed}}{bd^2 f_{cd}} = \frac{25,06 \cdot 100}{100 \cdot 17^2 \cdot 2,0} = 0,0433$$

$$\text{Za } \varepsilon_{s1} = 10\text{‰}, \quad \varepsilon_{c2} = 1,3\text{‰}, \quad \zeta = 0,959, \quad \xi = 0,115$$

$$A_{S2} = \frac{M_{Ed}}{\zeta \cdot d \cdot f_{yd}} = \frac{25,06 \cdot 100}{0,959 \cdot 17 \cdot 43,5} = 3,54 \text{ cm}^2$$

### **Odabrana armatura: Q-385**

Gornja zona ploče (ležajevi 202 dolje) -> negativni moment savijanja:

$$M_{Ed, \min} = (1/3) \cdot 66,11 = 22,56 \text{ kNm}$$

$$\mu_{Ed} = \frac{M_{Ed}}{bd^2 f_{cd}} = \frac{22,56 \cdot 100}{100 \cdot 17^2 \cdot 2,0} = 0,039$$

$$\text{Za } \varepsilon_{s1} = 10\text{‰}, \quad \varepsilon_{c2} = 1,2\text{‰}, \quad \zeta = 0,962, \quad \xi = 0,107$$

$$A_{S2} = \frac{M_{Ed}}{\zeta \cdot d \cdot f_{yd}} = \frac{22,56 \cdot 100}{0,962 \cdot 17 \cdot 43,5} = 3,17 \text{ cm}^2$$

### **Odabrana armatura: Q-385**

Gornja zona ploče (ležajevi 202 gore) -> negativni moment savijanja:

$$M_{Ed, \min} = 35,23 \text{ kNm}$$

$$\mu_{Ed} = \frac{M_{Ed}}{bd^2 f_{cd}} = \frac{35,23 \cdot 100}{100 \cdot 17^2 \cdot 2,0} = 0,061$$

$$\text{Za } \varepsilon_{s1} = 10\text{‰}, \quad \varepsilon_{c2} = 1,6\text{‰}, \quad \zeta = 0,950, \quad \xi = 0,138$$

$$A_{S2} = \frac{M_{Ed}}{\zeta \cdot d \cdot f_{yd}} = \frac{35,23 \cdot 100}{0,950 \cdot 17 \cdot 43,5} = 5,01 \text{ cm}^2$$

### **Odabrana armatura: Q-503**

Gornja zona ploče (ležajevi 202-203) -> negativni moment savijanja:

$$M_{Ed, \min} = 25,82 \text{ kNm}$$

$$\mu_{Ed} = \frac{M_{Ed}}{bd^2 f_{cd}} = \frac{25,82 \cdot 100}{100 \cdot 17^2 \cdot 2,0} = 0,045$$

$$\text{Za } \varepsilon_{s1} = 10\text{‰}, \quad \varepsilon_{c2} = 1,3\text{‰}, \quad \zeta = 0,959, \quad \xi = 0,115$$

$$A_{S2} = \frac{M_{Ed}}{\zeta \cdot d \cdot f_{yd}} = \frac{25,82 \cdot 100}{0,959 \cdot 17 \cdot 43,5} = 3,64 \text{ cm}^2$$

### **Odabrana armatura: Q-385**

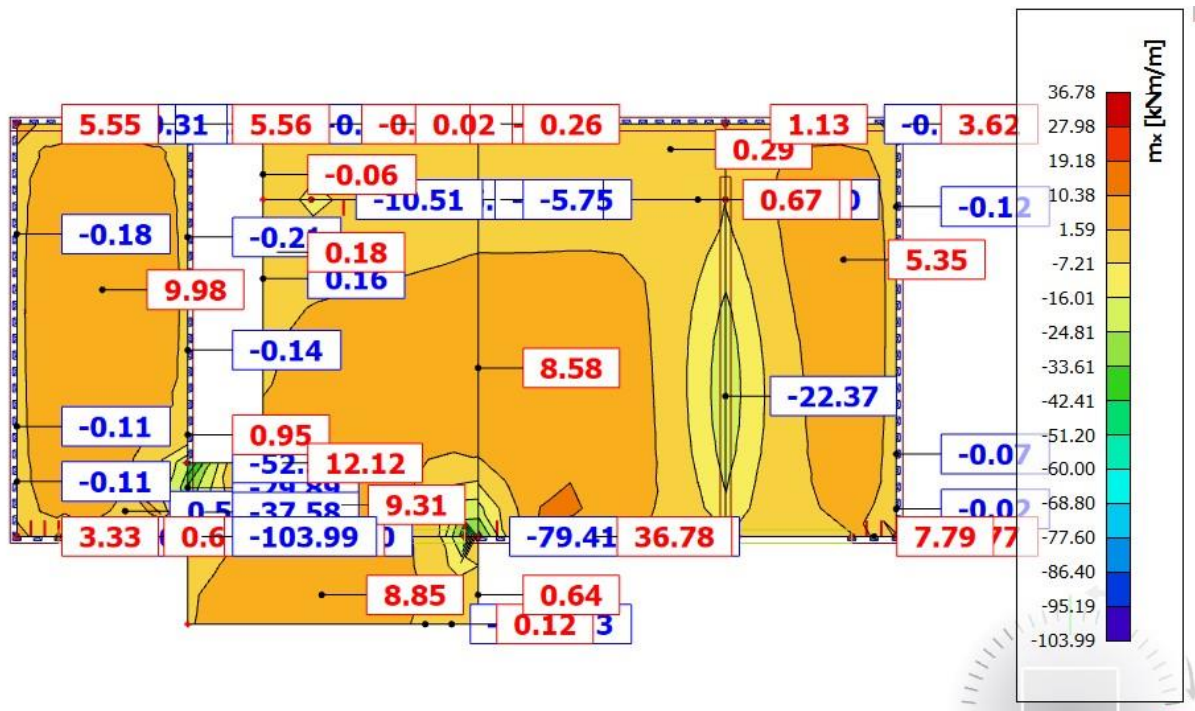
Napomena: Vrijednost momenta savijanja uzeta iz skale na slikama rezultata nije mjerodavna zbog toga što računalni program numerički daje rezultate u beskonačno maloj točki. Mjerodavna i realna vrijednost momenta savijanja je otprilike na 1/3 najvećih prikazanih rezultata što se vidi i prema boji iz slika ploče.

#### 4.2.4 Kontrola pukotina

Mjerodavni moment za kontrolu pukotina su dobiveni iz numeričkog modela za kombinaciju GSU:1,0 G+1,0 Dg+1,0 Q.

Granična vrijednost širine pukotina :  $w_g=0,3$  mm(EC2)

Proračunska vrijednost širine pukotine: (EC-2):  $S_{r,max}(\epsilon_{sm}-\epsilon_{cm}) < w_g$

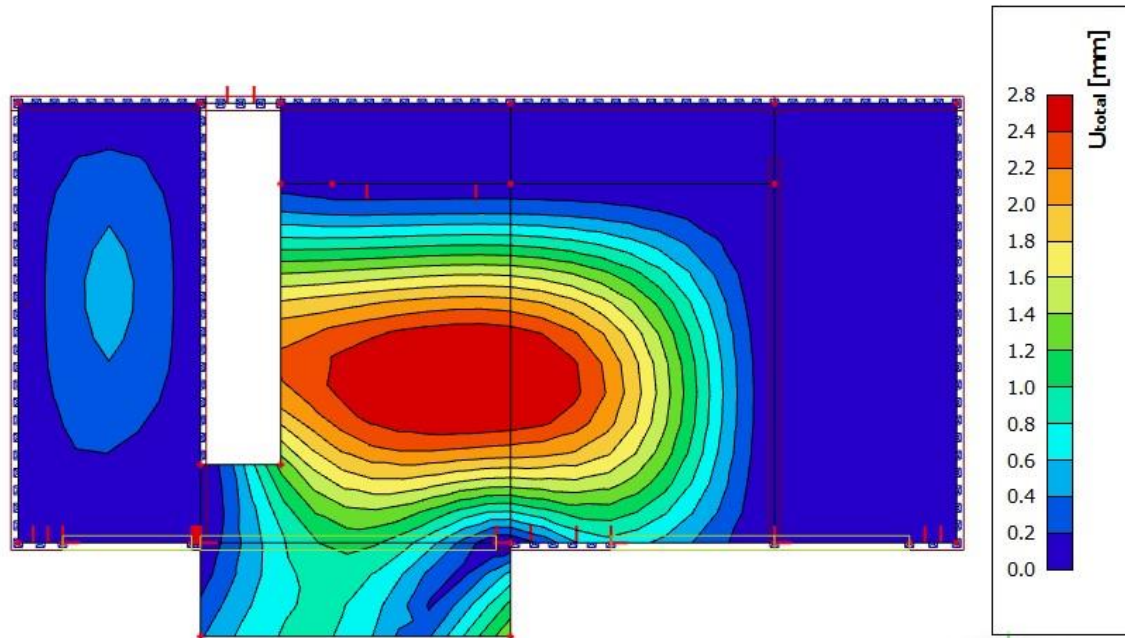


Slika 4.20. Prikaz momenata Mx-GSU



#### 4.2.5. Kontrola progiba

Mjerodavni progibi ploče su dobiveni kroz numerički model. Koriste se rezultati od kratkotrajnog djelovanja i radne kombinacije opterećenja: GSU : 1,0 (G+ΔG) + 1,0Q



Slika 4.22. Prikaz progiba za ploču za kombinaciju GSU

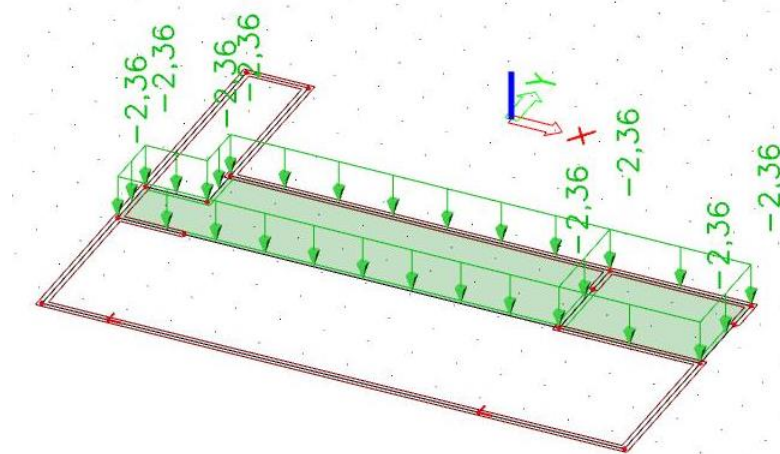
Granična vrijednost progiba ploče u polju:  $f_{p,dop} = \frac{l}{500} = \frac{7650}{500} = 15,3 \text{ mm} > 2,8 \text{ mm}$

Dimenzija ploče i odabrana armatura zadovoljavaju u pogledu progiba.

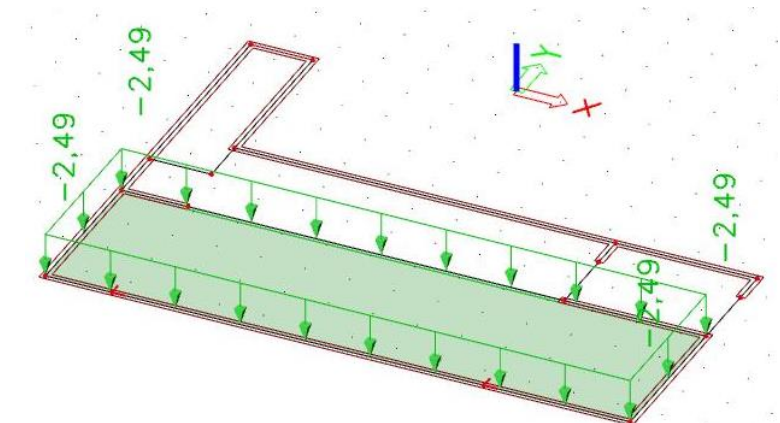


### 4.3. Proračun međukatne ploče pozicije 100

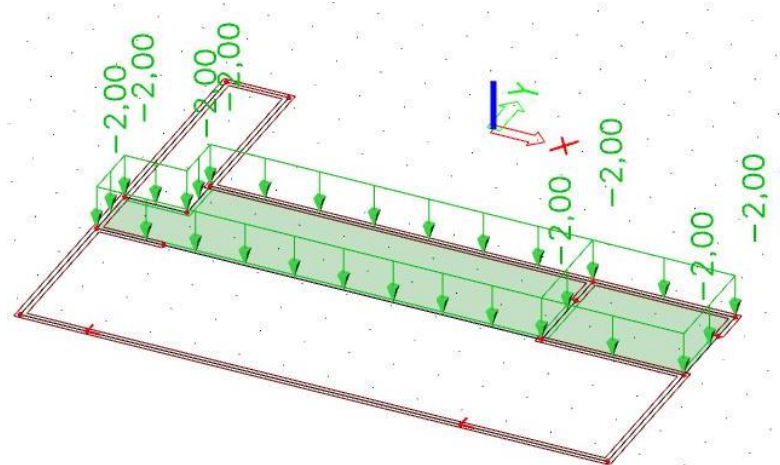
#### 4.3.1. Prikaz opterećenja



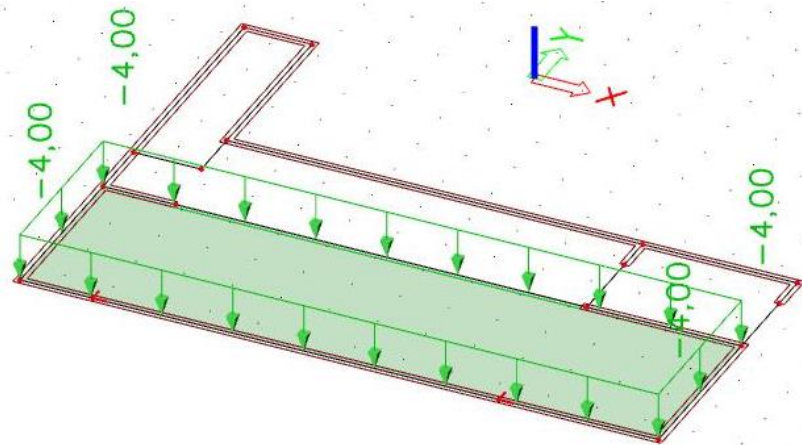
Slika 4.23. Dodatno stalno opterećenje (stan)



Slika 4.24. Dodatno stalno opterećenje (balkon)



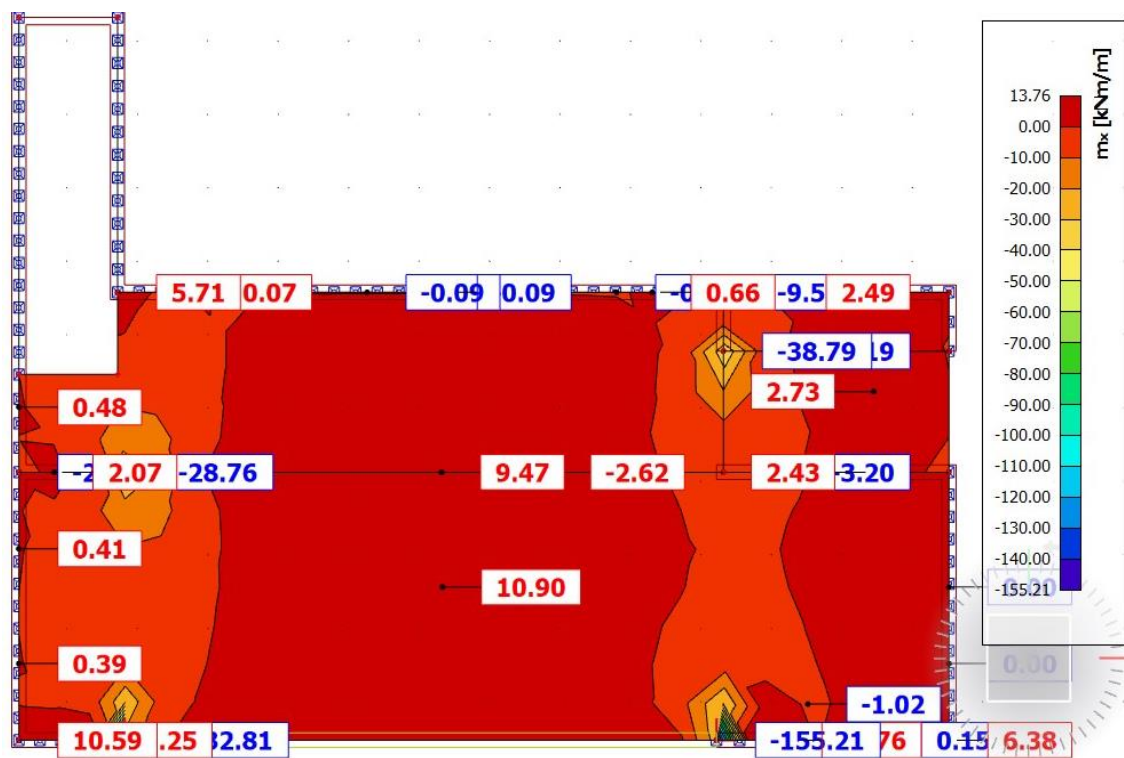
Slika 4.25. Pokretno opterećenje (stan)



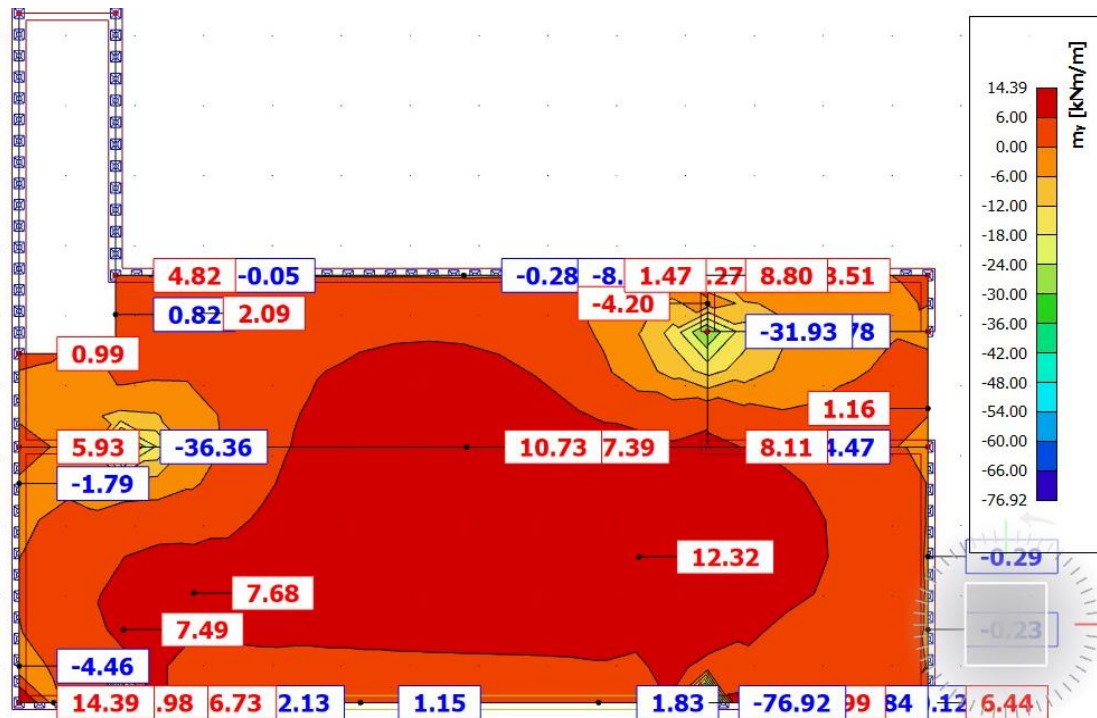
Slika 4.26. Pokretno opterećenje (balkon)

### 4.3.2. Rezultati proračuna:

#### -Kombinacija GSN



Slika 4.27. Prikaz momenata savijanja -mx



Slika 4.28. Prikaz momenata savijanja -my

### 4.3.3. Dimenzioniranje na savijanje

Postupak dimenzioniranja:

$$C 30/37 \quad f_{cd} = \frac{f_{ck}}{\gamma_c} = \frac{30}{1,5} = 20 \text{ MPa}; \quad f_{cd} = 2,0 \frac{\text{kN}}{\text{cm}^2}$$

$$B 500 B \quad f_{yd} = \frac{f_{yk}}{\gamma_c} = \frac{500}{1,5} = 333,33 \text{ MPa}; \quad f_{yd} = 33,3 \frac{\text{kN}}{\text{cm}^2}$$

$$b = 100 \text{ cm}, h = 20 \text{ cm}, d = 17 \text{ cm}$$

$$A_{s1, \min} = 0,26 \frac{f_{ctm}}{f_{yk}} \cdot b \cdot d = 0,26 \cdot \frac{2,9}{500} \cdot 100 \cdot 17 = 2,56 \text{ cm}^2 - \text{odabrano minimalno } Q-257$$

Donja zona ploče (polje) :

$$M_{Ed, \max} = 12,32 \text{ kNm}$$

$$\mu_{Ed} = \frac{M_{Ed}}{bd^2 f_{cd}} = \frac{12,32 \cdot 100}{100 \cdot 17^2 \cdot 2,0} = 0,021$$

$$\text{Za } \varepsilon_{s1} = 10\text{‰}, \quad \varepsilon_{c2} = 0,8\text{‰}, \quad \zeta = 0,974 \quad \xi = 0,074$$

$$A_{S1} = \frac{M_{Ed}}{\zeta \cdot d \cdot f_{yd}} = \frac{12,32 \cdot 100}{0,974 \cdot 17 \cdot 43,5} = 1,71 \text{ cm}^2$$

### Odabrana armatura: Q -257

#### Gornja zona ploče (ležajevi):

$$M_{Ed, \min} = 38,79 \cdot (1/3) = 11,63 \text{ kNm}$$

$$\mu_{Ed} = \frac{M_{Ed}}{bd^2 f_{cd}} = \frac{22,56 \cdot 100}{100 \cdot 17^2 \cdot 2,0} = 0,039$$

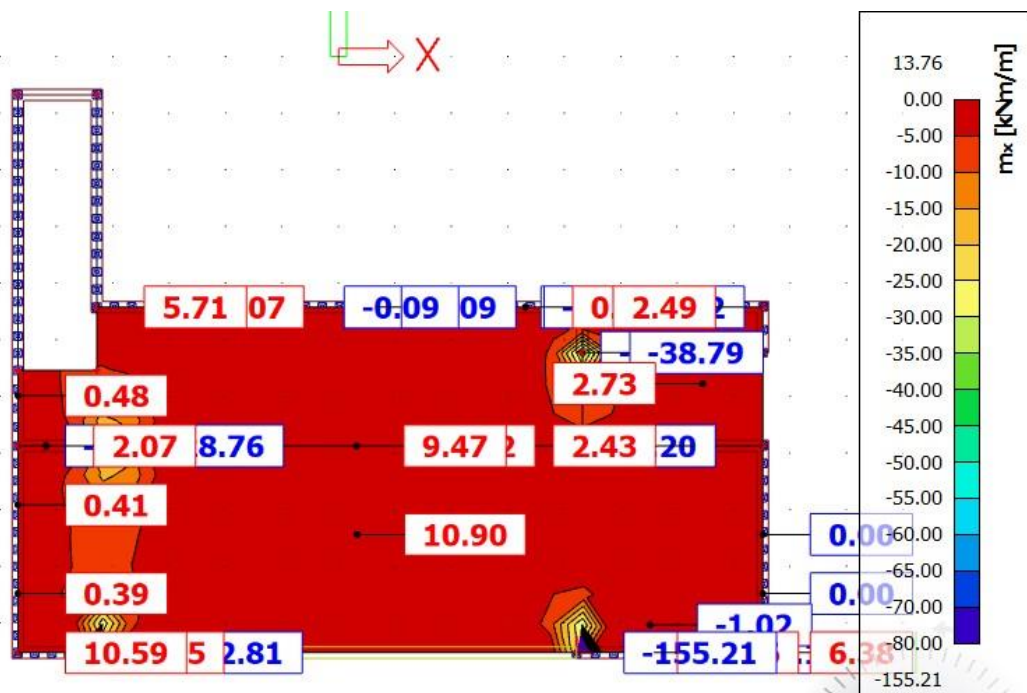
$$\text{Za } \varepsilon_{s1} = 10\text{‰}, \quad \varepsilon_{c2} = 1,2\text{‰}, \quad \zeta = 0,962, \quad \xi = 0,107$$

$$A_{S2} = \frac{M_{Ed}}{\zeta \cdot d \cdot f_{yd}} = \frac{22,56 \cdot 100}{0,962 \cdot 17 \cdot 43,5} = 3,17 \text{ cm}^2$$

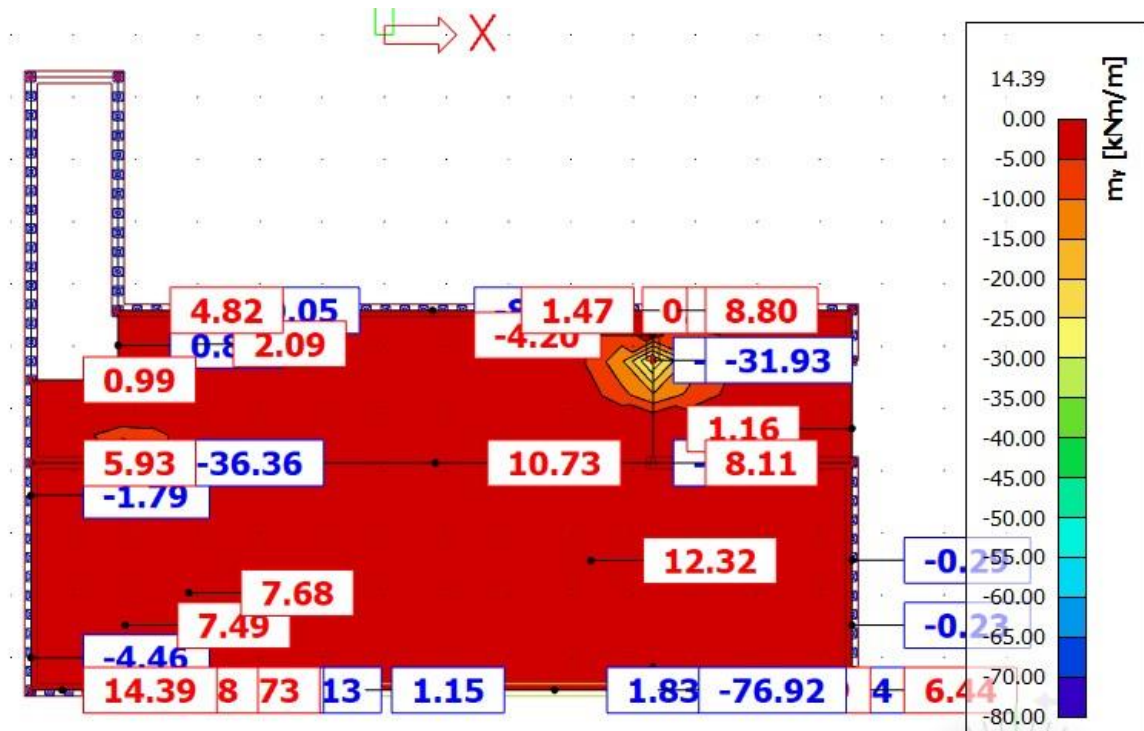
### Odabrana armatura: Q-335

Napomena: Vrijednost momenta savijanja uzeta iz skale na slikama rezultata nije mjerodavna zbog toga što računalni program numerički daje rezultate u beskonačno maloju točki. Mjerodavna i realna vrijednost momenta savijanja je otprilike na 1/3 najvećih prikazanih rezultata što se vidi i prema boji iz slika ploče.

#### 4.3.4. Kontrola pukotina - ploča



Slika 4.29. Prikaz momenata  $M_x$ -GSU

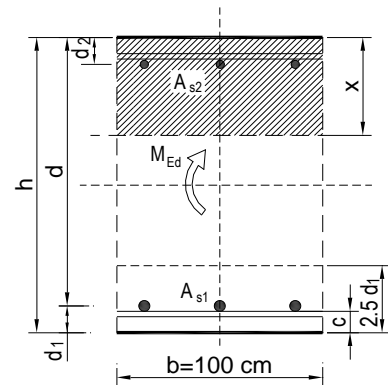
Slika 4.30. Prikaz momenata  $M_y$ -GSU

Maksimalna vrijednost momenta u polju za mjerodavnu kombinaciju

iznosi :  $M_{Ed,max}=12,32\text{kNm}$ .

Odabrana armatura Q-257

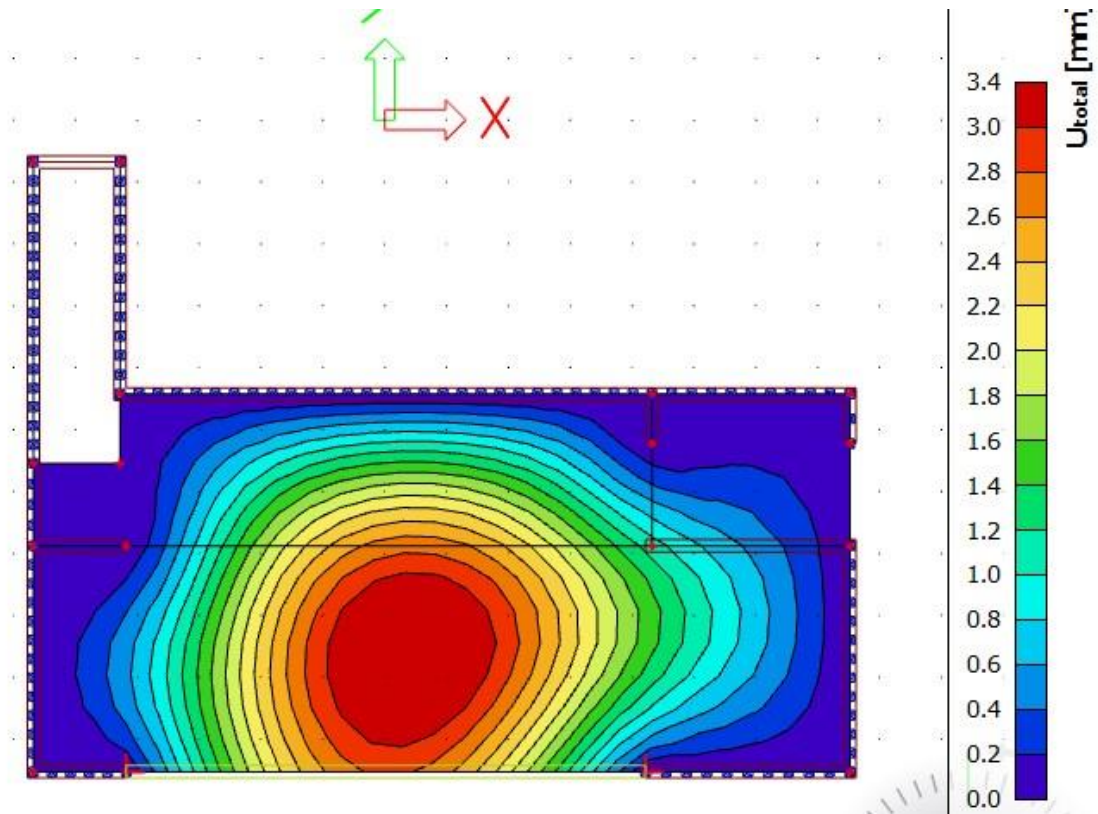
|                                                           |                          |                              |                         |                           |         |
|-----------------------------------------------------------|--------------------------|------------------------------|-------------------------|---------------------------|---------|
| $b =$                                                     | 100,0 cm                 | $d =$                        | 17,0 cm                 | $h =$                     | 20,0 cm |
| $f_{ck} =$                                                | 30,0 MN/m <sup>2</sup>   | $f_{ctm} =$                  | 2,90 MN/m <sup>2</sup>  | $w_g =$                   | 0,30 mm |
| $A_{s1} =$                                                | 2,57 cm <sup>2</sup>     | $A_{s2} =$                   | 0,00 cm <sup>2</sup>    | $d_1 = d_2 =$             | 3,0 cm  |
| $E_s =$                                                   | 200,00 GN/m <sup>2</sup> | $E_{cm} =$                   | 32,80 GN/m <sup>2</sup> | $\alpha_e = E_s/E_{cm} =$ | 6,10    |
| $M_{Ed} =$                                                | 12,3 kNm                 | $k_t =$                      | 0,40                    |                           |         |
| $\sigma_s =$                                              | 109,56 MN/m <sup>2</sup> |                              |                         |                           |         |
| $x =$                                                     | 2,16 cm                  | $\rho_{p,eff} =$             | 0,0034                  |                           |         |
| $(\epsilon_{sm} - \epsilon_{cm}) =$                       | -0,001178                | $< 0,6 \cdot \sigma_s/E_s =$ | 0,000329                |                           |         |
| $\emptyset =$                                             | 9,0 mm                   | $c =$                        | 3,00 cm                 |                           |         |
| $k_1 =$                                                   | 0,8                      | $k_2 =$                      | 0,50                    |                           |         |
| $k_3 =$                                                   | 3,4                      | $k_4 =$                      | 0,43                    |                           |         |
| $s_{r,max} =$                                             | 548,50 mm                |                              |                         |                           |         |
| $w_k = s_{r,max} \cdot (\epsilon_{sm} - \epsilon_{cm}) =$ | 0,180 mm                 | $<$                          | $w_g$                   |                           |         |



-Odabrana armatura zadovoljava uvjet dozvoljene širine pukotina.

### 4.3.5. Kontrola progiba

Mjerodavni progibi ploče su dobiveni kroz numerički model. Koriste se rezultati od kratkotrajnog djelovanja i radne kombinacije opterećenja: **GSU : 1,0 (G+ΔG) + 1,0Q**.



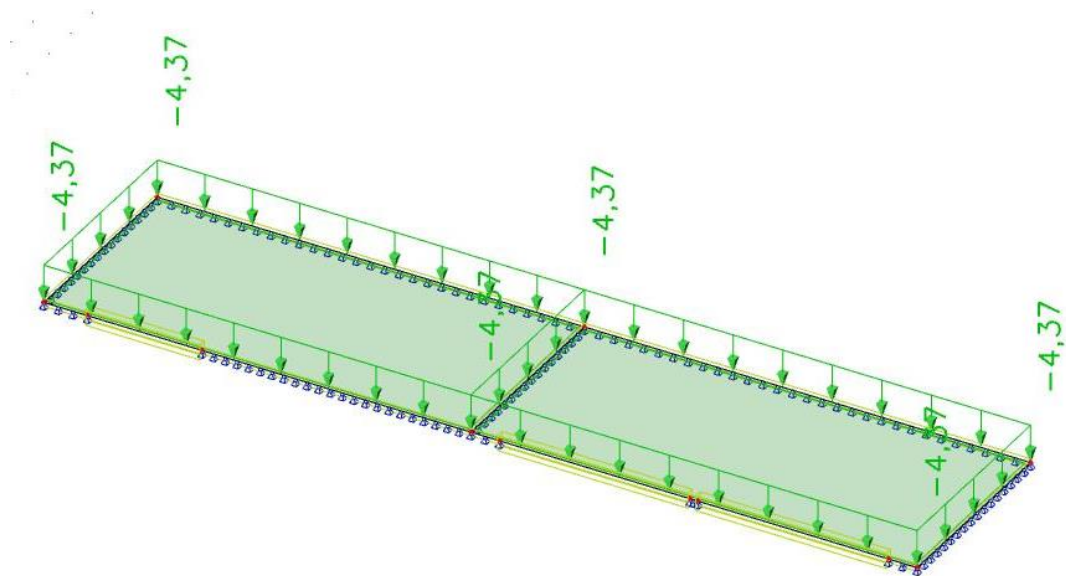
Slika 4.31. Prikaz progiba za ploču za kombinaciju GSU

Granična vrijednost progiba ploče u polju:  $f_{p,dop} = \frac{l}{500} = \frac{6100}{5000} = 24,4mm > 3,4 mm$

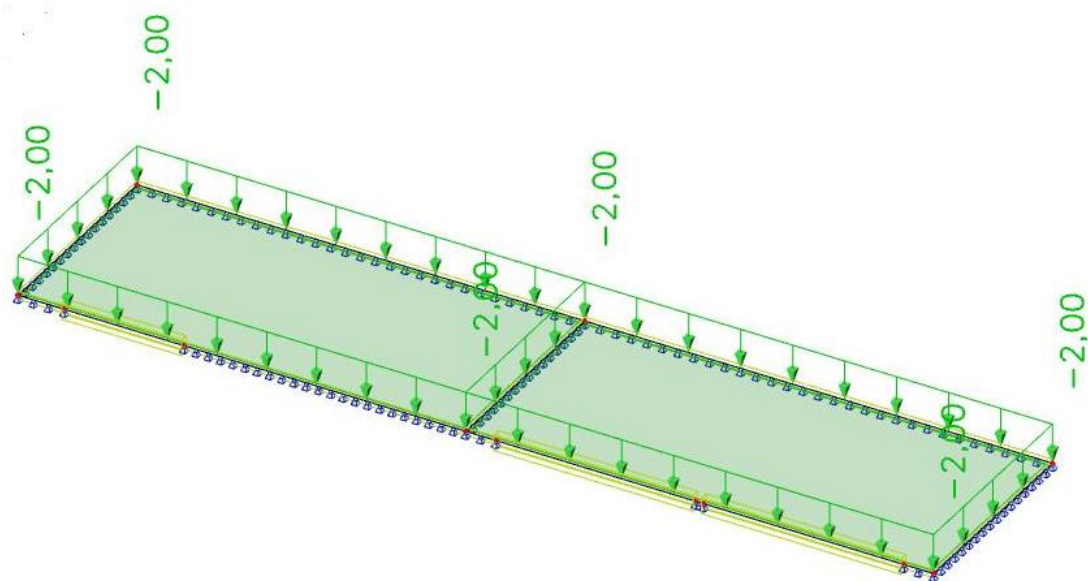
Dimenzija ploče i odabrana armatura zadovoljavaju u pogledu progiba.

#### 4.4. Proračun međukatne ploče pomoćnog objekta

##### 4.4.1. Prikaz opterećenja

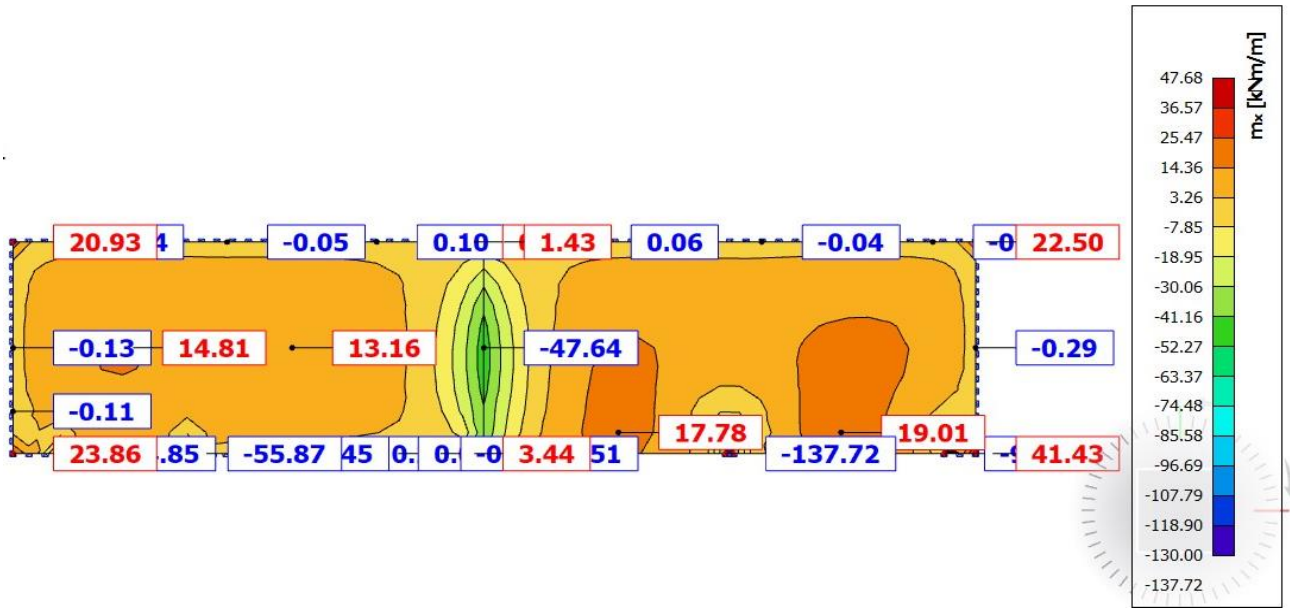


Slika 4.32. Stalno opterećenje (stan)

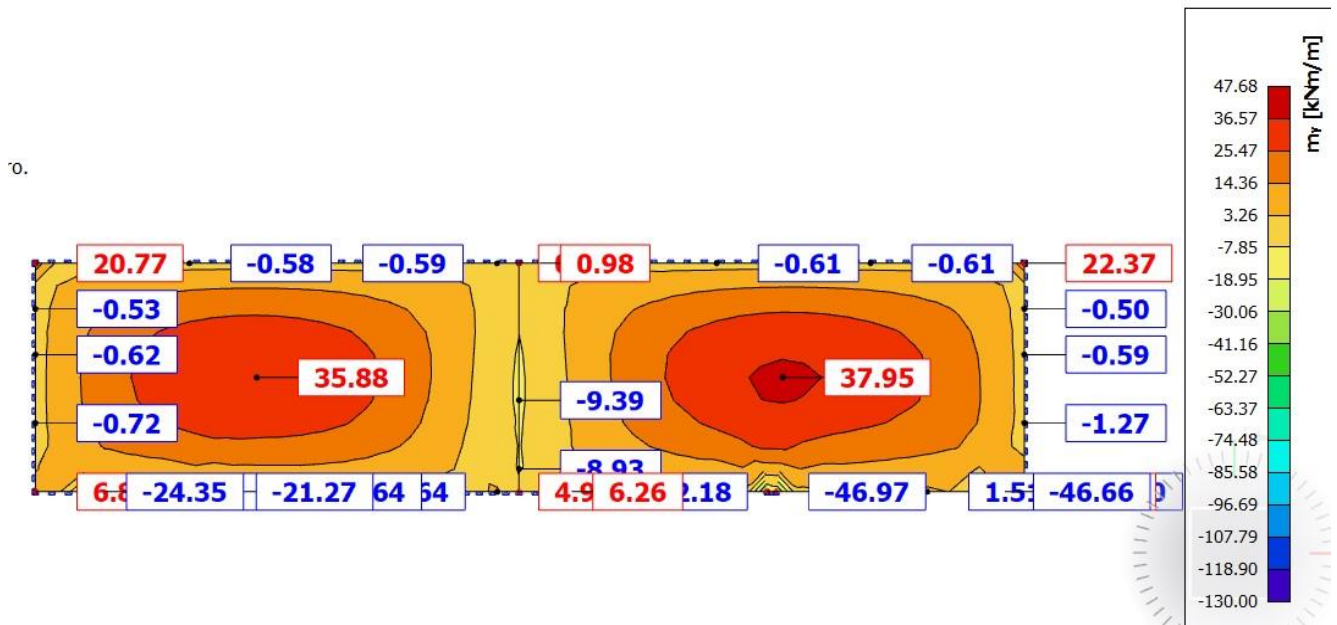


Slika 4.33. Pokretno opterećenje (stan)

### 4.4.2. Rezultati proračuna



Slika 4.34.. Prikaz momenata savijanja  $-m_x$



Slika 4.35. Prikaz momenata savijanja  $-m_y$



### 4.4.3. Dimenzioniranje na savijanje

Postupak dimenzioniranja:

$$C\ 30/37 \quad f_{cd} = \frac{f_{ck}}{\gamma_c} = \frac{30}{1,5} = 20\ MPa; \quad f_{cd} = 2,0 \frac{kN}{cm^2}$$

$$B\ 500\ B \quad f_{yd} = \frac{f_{yk}}{\gamma_c} = \frac{500}{1,5} = 434,78\ MPa; \quad f_{yd} = 43,5 \frac{kN}{cm^2}$$

$$b = 100\text{cm}, \quad h = 20\text{cm}, \quad d = 17\text{cm}$$

$$A_{s1,min} = 0,26 \frac{f_{ctm}}{f_{yk}} \cdot b \cdot d = 0,26 \cdot \frac{2,9}{500} \cdot 100 \cdot 17 = 2,56\text{cm}^2 \quad \text{odabrano minimalno Q-257}$$

Donja zona ploče:

$$M_{Ed,max} = 37,95\text{ kNm}$$

$$\mu_{Ed} = \frac{M_{Ed}}{bd^2 f_{cd}} = \frac{37,95 \cdot 100}{100 \cdot 17^2 \cdot 2,0} = 0,066$$

$$\text{Za } \varepsilon_{s1} = 10\text{‰}, \quad \varepsilon_{c2} = 1,7\text{‰}, \quad \zeta = 0,947 \quad \xi = 0,145$$

$$A_{s1} = \frac{M_{Ed}}{\zeta \cdot d \cdot f_{yd}} = \frac{37,95 \cdot 100}{0,947 \cdot 17 \cdot 43,5} = 5,42\text{cm}^2$$

**Odabrana armatura: Q -785**

Gornja zona ploče :

$$M_{Ed,min} = 47,64\text{ kNm}$$

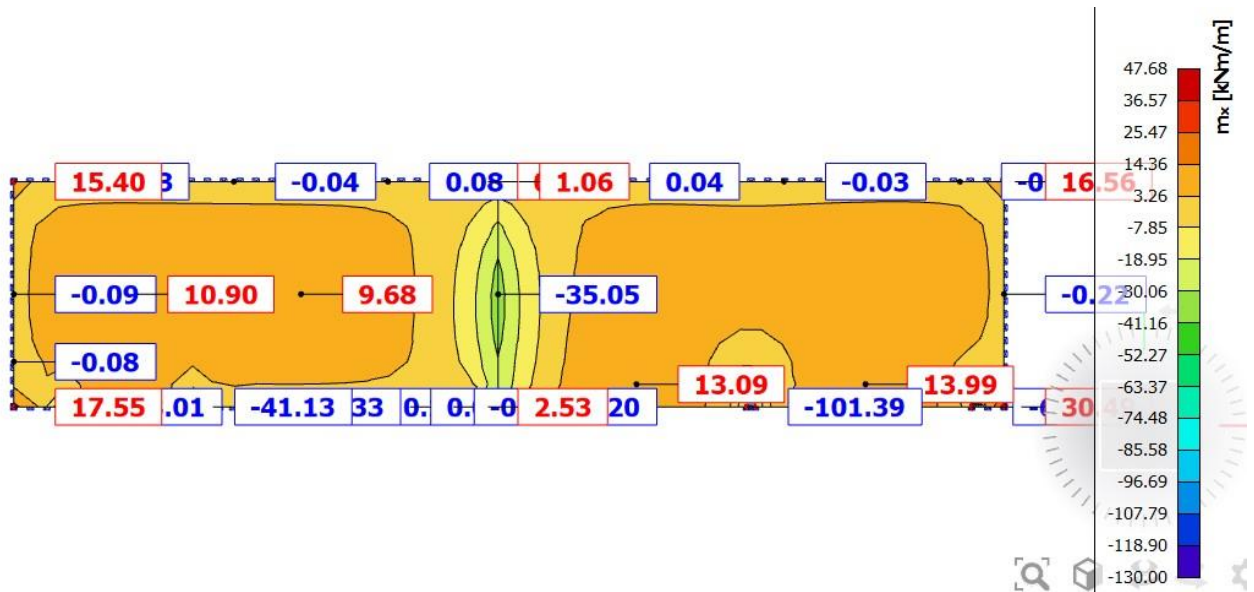
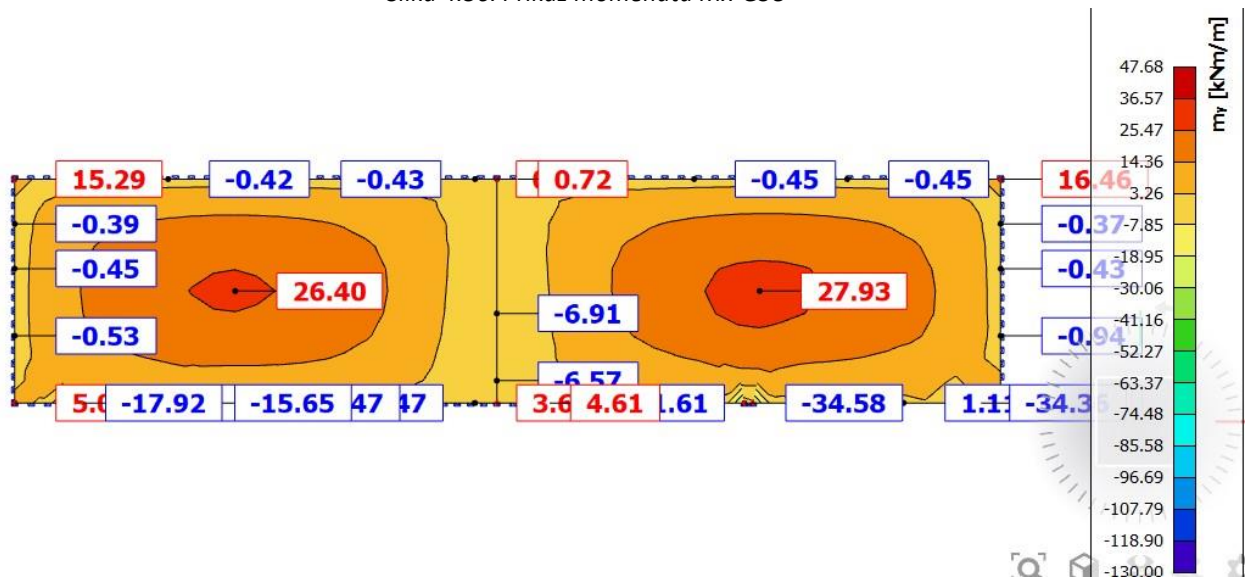
$$\mu_{Ed} = \frac{M_{Ed}}{bd^2 f_{cd}} = \frac{47,64 \cdot 100}{100 \cdot 17^2 \cdot 2,0} = 0,082$$

$$\text{Za } \varepsilon_{s1} = 10\text{‰}, \quad \varepsilon_{c2} = 2,0\text{‰}, \quad \zeta = 0,938, \quad \xi = 0,167$$

$$A_{s2} = \frac{M_{Ed}}{\zeta \cdot d \cdot f_{yd}} = \frac{47,64 \cdot 100}{0,938 \cdot 17 \cdot 43,5} = 6,87\text{ cm}^2$$

**Odabrana armatura: Q-785**

## 4.4.4. Kontrola pukotina - ploča

Slika 4.36. Prikaz momenata  $M_x$ -GSUSlika 4.37. Prikaz momenata  $M_y$ -GSU

Maksimalna vrijednost momenta u polju za mjerodavnu kombinaciju

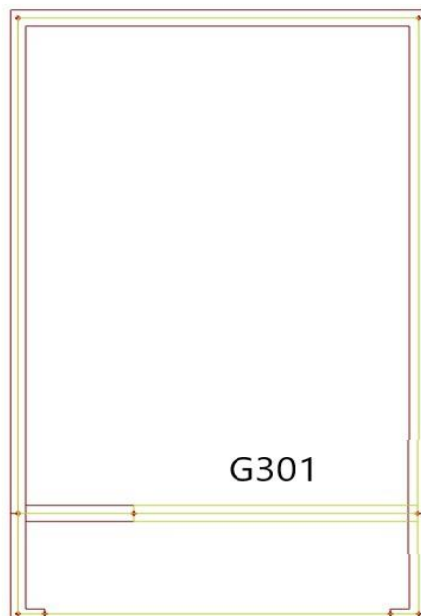
iznosi :  $M_{Ed,max}=27,93\text{kNm}$ .

Odabrana armatura Q-785



## 5. PRORAČUN AB GREDA

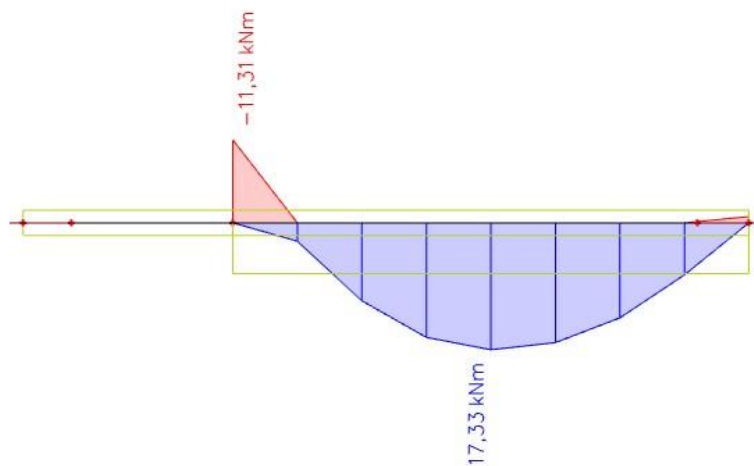
### 5.1. Plan pozicija greda 300



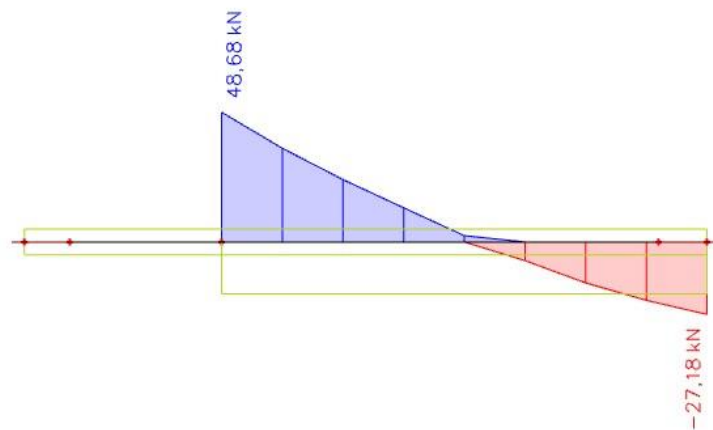
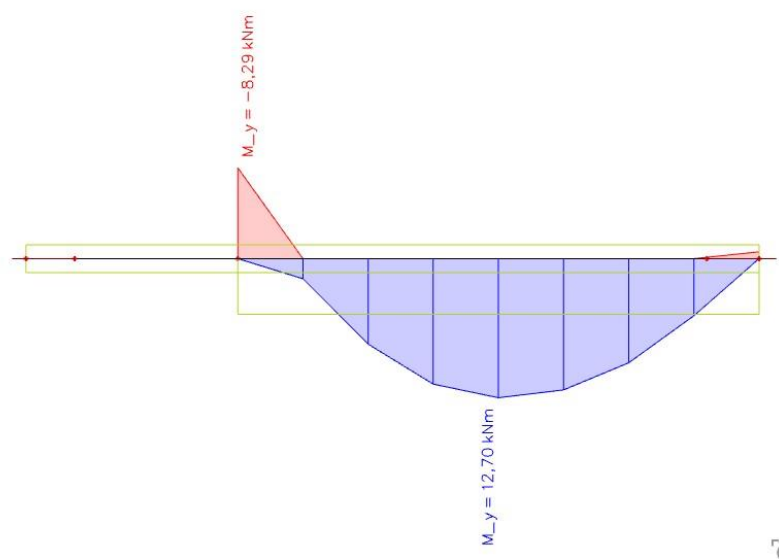
Slika 5.1. Pozicije greda na poziciji 300

#### 5.1.1. Dimenzioniranje grede 301

**SAVOJNI MOMENTI ZA GSN ( mjerodavna kombinacija:  $1.35 \cdot (g + \Delta q) + 1.5 \cdot q$  )**



Slika 5.2.  $M_y$  (kNm)

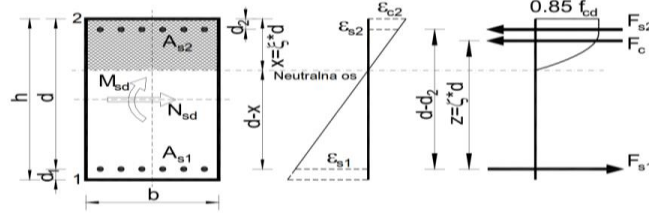
**POPREČNE SILE ZA GSN**Slika 5.3.  $V_z$  (kN)**SAVOJNI MOMENTI ZA GSU**Slika 5.4.  $M_y$  (kNm)**Grede poz G301, b/h=20/50**

Minimalna površina armature :

$$A_{S1,min} = 0,0015 \cdot 20 \cdot 50 = 1,50 \text{ cm}^2$$

Odabrana armatura :  $3\varnothing 10$  (  **$A_{S1} = 2,36 \text{ cm}^2$**  )

Dimenzioniranje na savijanje – maksimalni moment u polju



|                             |
|-----------------------------|
| Uobičajena kombinacija      |
| C 30/37                     |
| $f_{cd}=30/1.5=20.00$ MPa   |
| B 500B                      |
| $f_{yd}=500/1.15=434.8$ MPa |
| $M_{Ed}= 72,18$ kNm         |
| $N_{Ed}= 0$ kN              |

|                                     |        |     |                              |   |                          |
|-------------------------------------|--------|-----|------------------------------|---|--------------------------|
| <b>b</b>                            | 20     | cm  |                              | C | 30 37                    |
| <b>h</b>                            | 50     | cm  | <b>f<sub>cd</sub></b>        |   | 2,00 kN/cm <sup>2</sup>  |
| <b>d<sub>1</sub>(d<sub>2</sub>)</b> | 5      | cm  | <b>f<sub>yd</sub></b>        |   | 43,48 kN/cm <sup>2</sup> |
| <b>d</b>                            | 45     | cm  | <b>Jednostruko armiranje</b> |   |                          |
| <b>M<sub>Ed</sub></b>               | 17,33  | kNm | <b>ω</b>                     |   | 5,701 %                  |
| <b>N<sub>Ed</sub></b>               | 0      | kN  | <b>ρ</b>                     |   | 0,262 %                  |
| <b>ε<sub>s1</sub></b>               | 10     | ‰   | <b>ξ</b>                     |   | 0,074                    |
| <b>ε<sub>c2</sub></b>               | 0,8    | ‰   | <b>ζ</b>                     |   | 0,974                    |
| <b>M<sub>sds</sub></b>              | 17,33  | kNm | <b>A<sub>s1</sub></b>        |   | 0,91 cm <sup>2</sup>     |
| <b>M<sub>Rd,lim</sub></b>           | 128,79 | kNm | <b>A<sub>s2</sub></b>        |   | 0,00 cm <sup>2</sup>     |
| <b>μ<sub>sd</sub></b>               | 0,021  |     | <b>A<sub>s,min</sub></b>     |   | 2,36 cm <sup>2</sup>     |

Odabrana armatura: 3Φ10                      **As1=**                      **2,36 cm<sup>2</sup>**

Dimenzioniranje na savijanje – maksimalni moment na ležaju

|                             |
|-----------------------------|
| Uobičajena kombinacija      |
| C 30/37                     |
| $f_{cd}=30/1.5=20.00$ MPa   |
| B 500B                      |
| $f_{yd}=500/1.15=434.8$ MPa |
| $M_{Ed}= 107,54$ kNm        |
| $N_{Ed}= 0$ kN              |

|                                     |        |     |                              |   |                          |
|-------------------------------------|--------|-----|------------------------------|---|--------------------------|
| <b>b</b>                            | 20     | cm  |                              | C | 30 37                    |
| <b>h</b>                            | 50     | cm  | <b>f<sub>cd</sub></b>        |   | 2,00 kN/cm <sup>2</sup>  |
| <b>d<sub>1</sub>(d<sub>2</sub>)</b> | 5      | cm  | <b>f<sub>yd</sub></b>        |   | 43,48 kN/cm <sup>2</sup> |
| <b>d</b>                            | 45     | cm  | <b>Jednostruko armiranje</b> |   |                          |
| <b>M<sub>Ed</sub></b>               | 11,31  | kNm | <b>ω</b>                     |   | 5,701 %                  |
| <b>N<sub>Ed</sub></b>               | 0      | kN  | <b>ρ</b>                     |   | 0,262 %                  |
| <b>ε<sub>s1</sub></b>               | 10     | ‰   | <b>ξ</b>                     |   | 0,065                    |
| <b>ε<sub>c2</sub></b>               | 0,7    | ‰   | <b>ζ</b>                     |   | 0,977                    |
| <b>M<sub>sds</sub></b>              | 11,31  | kNm | <b>A<sub>s1</sub></b>        |   | 0,59 cm <sup>2</sup>     |
| <b>M<sub>Rd,lim</sub></b>           | 128,79 | kNm | <b>A<sub>s2</sub></b>        |   | 0,00 cm <sup>2</sup>     |
| <b>μ<sub>sd</sub></b>               | 0,014  |     | <b>A<sub>s,min</sub></b>     |   | 2,36 cm <sup>2</sup>     |

Odabrana armatura: 3Φ10                      **As1=**                      **2,36 cm<sup>2</sup>**

$$V_{Ed} \leq V_{Rd,c} = \left[ C_{Rdc} \cdot k \cdot (100 \cdot \rho_l \cdot f_{ck})^{1/3} + k_1 \cdot \sigma_{cp} \right] \cdot b_w \cdot d$$

$$V_{Rd,c,min} \geq \left[ v_{min} + k_1 \cdot \sigma_{cp} \right] \cdot b_w \cdot d$$

$$V_{Rd,c,mjer} = \max(V_{Rd,c}, V_{Rd,c,min})$$

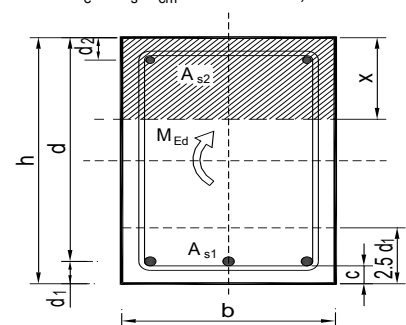
$$V_{Ed} \leq V_{Rd,max} = 0.5 \cdot v \cdot b_w \cdot d \cdot f_{cd}$$

Dimenzioniranje na poprečnu silu

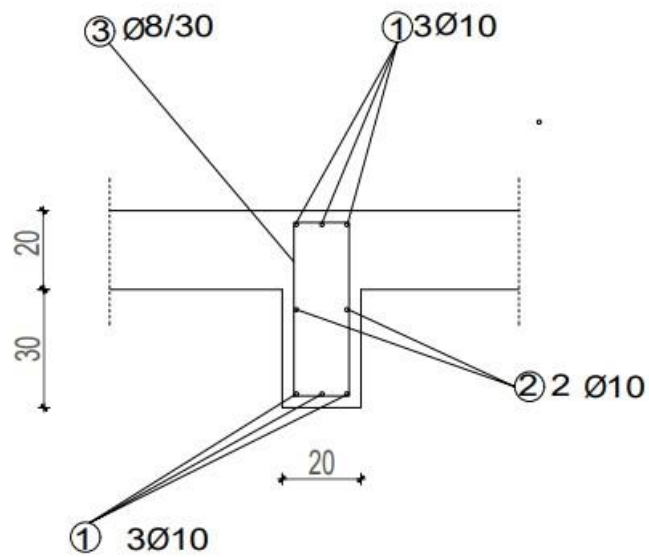
|                                                                                                                                       |                                                                                                                                                                                                                                                                                                                                                                                                                                                                                                                                                                                                              |                                                                                                                                                                                                                                                                                                                                                                                                                                                                                                                                                                                   |  |
|---------------------------------------------------------------------------------------------------------------------------------------|--------------------------------------------------------------------------------------------------------------------------------------------------------------------------------------------------------------------------------------------------------------------------------------------------------------------------------------------------------------------------------------------------------------------------------------------------------------------------------------------------------------------------------------------------------------------------------------------------------------|-----------------------------------------------------------------------------------------------------------------------------------------------------------------------------------------------------------------------------------------------------------------------------------------------------------------------------------------------------------------------------------------------------------------------------------------------------------------------------------------------------------------------------------------------------------------------------------|--|
| $V_{wd} = \frac{m \cdot A_{sw} \cdot f_{yw,d} \cdot z}{s_w}$                                                                          |                                                                                                                                                                                                                                                                                                                                                                                                                                                                                                                                                                                                              |                                                                                                                                                                                                                                                                                                                                                                                                                                                                                                                                                                                   |  |
| <p>C 30/37</p> <p><math>f_{cd}=30/1.5=20.0</math> MPa</p> <p><math>V_{sd,y,max}=48,68</math> kN</p> <p><math>N_{sd}=0.0</math> kN</p> | <p><math>b_w</math> 20,00 cm</p> <p><math>h</math> 50,00 cm</p> <p><math>d_1 (d_2)</math> 5,00 cm</p> <p><math>d</math> 45,00 cm</p> <p><math>A_{s1}</math> 1,51 cm<sup>2</sup></p> <p><math>V_{Ed,max}</math> 48,68 kN</p> <p><math>N_{sd}</math> 0,00 kN</p> <p><math>k</math> 1,67</p> <p><math>\rho_l</math> 0,0017</p> <p><math>v_{min}</math> 0,41</p> <p><math>\sigma_{cp}</math> 0,00 kN/cm<sup>2</sup></p> <p><math>V_{Rd,c}</math> 30,8 kN</p> <p><math>V_{Rd,c,min}</math> 37,1 kN</p> <p><math>V_{Rd,c,mjer}</math> 37,1 kN</p> <p><math>v</math> 0,528</p> <p><math>V_{Rd2}</math> 475,2 kN</p> | <p>C 30/37</p> <p><math>f_{ck}</math> 30,00 Mpa</p> <p><math>f_{cd}</math> 2,00 kN/cm<sup>2</sup></p> <p><math>f_{yd}, f_{yw,d}</math> 43,48 kN/cm<sup>2</sup></p> <p><math>\tau_{Rd}</math> 0,30 kN/cm<sup>2</sup></p> <p><b>Računska armatura</b></p> <p><math>\rho_{min}</math> 0,0011</p> <p><math>m</math> 2</p> <p><math>V_{Ed,max}/V_{Rd2}</math> 0,10</p> <p><math>s_{w,max}</math> 30,0 cm</p> <p><math>A_{sw,min}</math> 0,330 cm<sup>2</sup></p> <p>Odabrano: <b>Ø8 / 30</b></p> <p><math>A_{sw,od}</math> 0,50 cm<sup>2</sup></p> <p><math>V_{wd}</math> 58,70 kN</p> |  |

### 5.1.2. Kontrola pukotina grede G301:

|                                                                      |                                     |                                |
|----------------------------------------------------------------------|-------------------------------------|--------------------------------|
| $b =$ 20,0 cm                                                        | $d =$ 45,0 cm                       | $h =$ 50,0 cm                  |
| $f_{ck} =$ 30,0 MN/m <sup>2</sup>                                    | $f_{ctm} =$ 2,90 MN/m <sup>2</sup>  | $w_g =$ 0,30 mm                |
| $A_{s1} =$ 2,36 cm <sup>2</sup>                                      | $A_{s2} =$ 2,36 cm <sup>2</sup>     | $d_1 = d_2 =$ 5,0 cm           |
| $E_s =$ 200,00 GN/m <sup>2</sup>                                     | $E_{cm} =$ 32,80 GN/m <sup>2</sup>  | $\alpha_e = E_s/E_{cm} =$ 6,10 |
| $M_{Ed} =$ 12,7 kNm                                                  | $k_t =$ 0,40                        |                                |
| $\sigma_s =$ 126,73 MN/m <sup>2</sup>                                | $\rho_{p,eff} =$ 0,0094             |                                |
| $x =$ 7,16 cm                                                        | $0.6 \cdot \sigma_s/E_s =$ 0,000380 |                                |
| $(\epsilon_{sm} - \epsilon_{cm}) =$ -0,000015 <                      | $c =$ 2,50 cm                       |                                |
| $\varnothing =$ 10,0 mm                                              | $k_2 =$ 0,50                        |                                |
| $k_1 =$ 0,8                                                          | $k_4 =$ 0,43                        |                                |
| $k_3 =$ 3,4                                                          |                                     |                                |
| $s_{r,max} =$ 403,26 mm                                              |                                     |                                |
| $w_k = s_{r,max} \cdot (\epsilon_{sm} - \epsilon_{cm}) =$ 0,153 mm < |                                     | $w_g$                          |

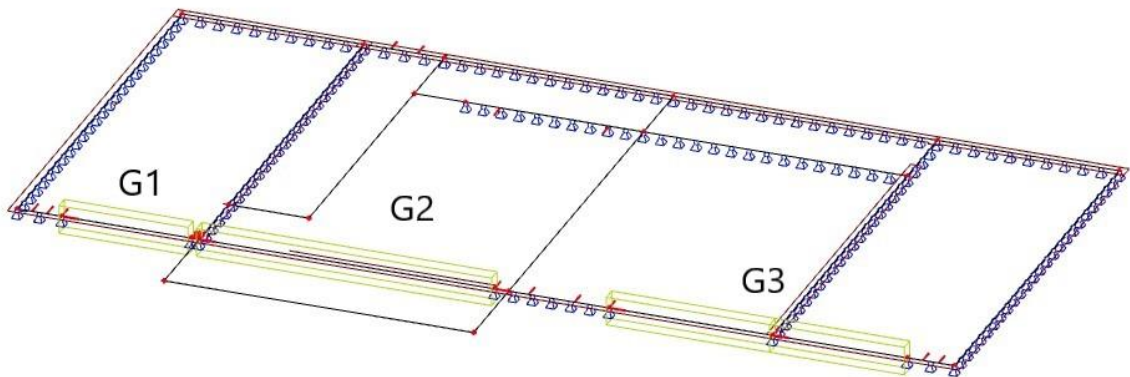


Poziciju G301, b/h = 20/50: Armirati sa 3 $\varnothing$ 10 u donjoj i 3 $\varnothing$ 10 u gornjoj zoni. Razdjelna armatura 2 $\varnothing$ 10. Postaviti vilice  $\varnothing$ 8/30.



Slika 5.5. Detalj armiranja grede G301 b/h=20/50

## 5.2. Plan pozicija greda pozicija 200



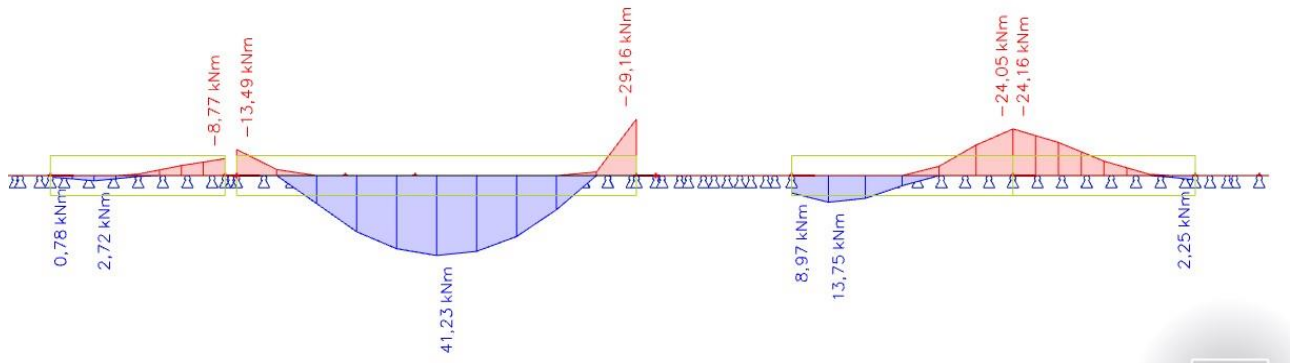
Slika 5.6. Pozicije greda na poziciji 200



### 5.2.1. Dimenzioniranje greda pozicija 200

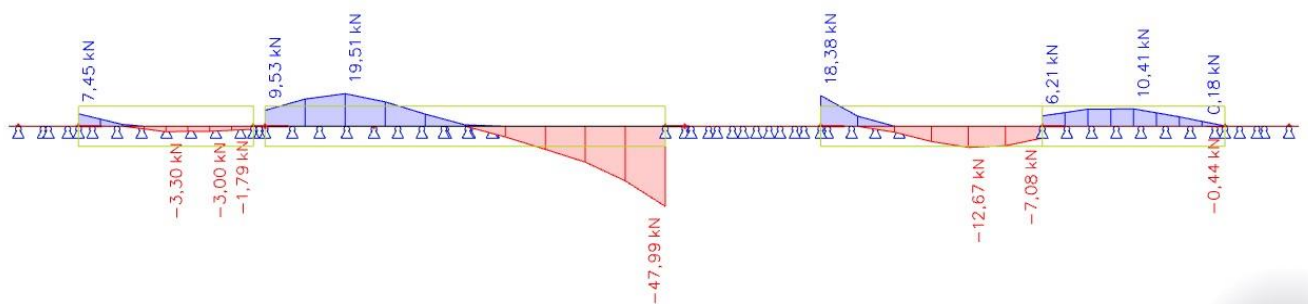
Grede pozicije G200,  $b/h=20/50$

#### SAVOJNI MOMENTI ZA GSN



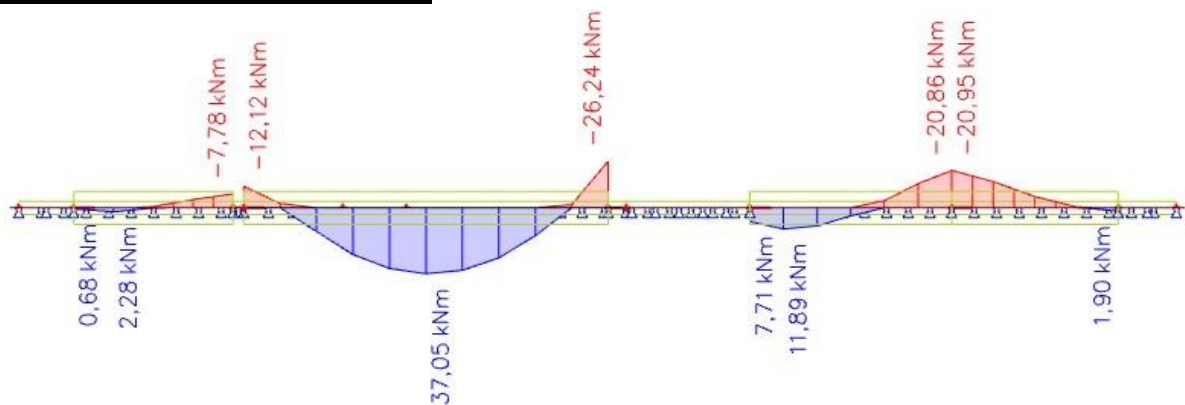
Slika 5.7.  $M_y$  (kNm)

#### POPREČNE SILE ZA GSN

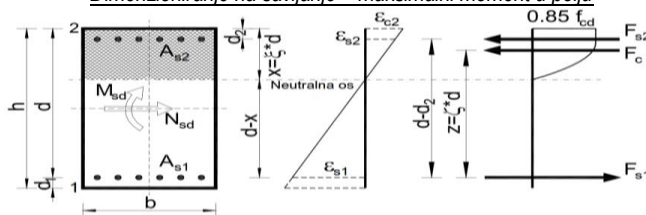


Slika 5.8.  $V_z$  (kN)

#### SAVOJNI MOMENTI ZA GSU



Slika 5.9.  $M_y$  (kNm)

**Greda poz. 202***Dimenzioniranje na savijanje – maksimalni moment u polju*

|                             |
|-----------------------------|
| Uobičajena kombinacija      |
| C 30/37                     |
| $f_{cd}=30/1.5=20.00$ MPa   |
| B 500B                      |
| $f_{yd}=500/1.15=434.8$ MPa |
| $M_{Ed}= 41,23$ kNm         |
| $N_{Ed}= 0$ kN              |

|                                     |        |     |                              |                          |
|-------------------------------------|--------|-----|------------------------------|--------------------------|
| <b>b</b>                            | 20     | cm  | C                            | 30 37                    |
| <b>h</b>                            | 50     | cm  | $f_{cd}$                     | 2,00 kN/cm <sup>2</sup>  |
| <b>d<sub>1</sub>(d<sub>2</sub>)</b> | 5      | cm  | $f_{yd}$                     | 43,48 kN/cm <sup>2</sup> |
| <b>d</b>                            | 45     | cm  | <b>Jednostruko armiranje</b> |                          |
| <b>M<sub>Ed</sub></b>               | 41,23  | kNm | $\omega$                     | 8,189 %                  |
| <b>N<sub>Ed</sub></b>               | 0      | kN  | $\rho$                       | 0,377 %                  |
| <b>ε<sub>s1</sub></b>               | 10     | ‰   | $\xi$                        | 0,123                    |
| <b>ε<sub>c2</sub></b>               | 1,4    | ‰   | $\zeta$                      | 0,956                    |
| <b>M<sub>sds</sub></b>              | 41,23  | kNm | <b>A<sub>s1</sub></b>        | 2,20 cm <sup>2</sup>     |
| <b>M<sub>Rd,lim</sub></b>           | 128,79 | kNm | <b>A<sub>s2</sub></b>        | 0,00 cm <sup>2</sup>     |
| <b>μ<sub>sd</sub></b>               | 0,051  |     | <b>A<sub>s,min</sub></b>     | 2,36 cm <sup>2</sup>     |

Odabrana armatura: 3Φ12

**As1=****3,39 cm<sup>2</sup>***Dimenzioniranje na savijanje – maksimalni moment na ležaju*

|                             |
|-----------------------------|
| Uobičajena kombinacija      |
| C 30/37                     |
| $f_{cd}=30/1.5=20.00$ MPa   |
| B 500B                      |
| $f_{yd}=500/1.15=434.8$ MPa |
| $M_{Ed}= 93,88$ kNm         |
| $N_{Ed}= 0$ kN              |

|                                     |        |     |                              |                          |
|-------------------------------------|--------|-----|------------------------------|--------------------------|
| <b>b</b>                            | 20     | cm  | C                            | 30 37                    |
| <b>h</b>                            | 50     | cm  | $f_{cd}$                     | 2,00 kN/cm <sup>2</sup>  |
| <b>d<sub>1</sub>(d<sub>2</sub>)</b> | 5      | cm  | $f_{yd}$                     | 43,48 kN/cm <sup>2</sup> |
| <b>d</b>                            | 45     | cm  | <b>Jednostruko armiranje</b> |                          |
| <b>M<sub>Ed</sub></b>               | 29,16  | kNm | $\omega$                     | 5,701 %                  |
| <b>N<sub>Ed</sub></b>               | 0      | kN  | $\rho$                       | 0,262 %                  |
| <b>ε<sub>s1</sub></b>               | 10     | ‰   | $\xi$                        | 0,099                    |
| <b>ε<sub>c2</sub></b>               | 1,1    | ‰   | $\zeta$                      | 0,965                    |
| <b>M<sub>sds</sub></b>              | 29,16  | kNm | <b>A<sub>s1</sub></b>        | 1,54 cm <sup>2</sup>     |
| <b>M<sub>Rd,lim</sub></b>           | 128,79 | kNm | <b>A<sub>s2</sub></b>        | 0,00 cm <sup>2</sup>     |
| <b>μ<sub>sd</sub></b>               | 0,036  |     | <b>A<sub>s,min</sub></b>     | 2,36 cm <sup>2</sup>     |

Odabrana armatura: 3Φ10

**As1=****2,36 cm<sup>2</sup>**

$$V_{Ed} \leq V_{Rd,c} = \left[ C_{Rdc} \cdot k \cdot (100 \cdot \rho_1 \cdot f_{ck})^{1/3} + k_1 \cdot \sigma_{cp} \right] \cdot b_w \cdot d$$

$$V_{Rd,c,min} \geq \left[ v_{min} + k_1 \cdot \sigma_{cp} \right] \cdot b_w \cdot d$$

$$V_{Rd,c,mjer} = \max(V_{Rd,c}, V_{Rd,c,min})$$

$$V_{Ed} \leq V_{Rd,max} = 0.5 \cdot v \cdot b_w \cdot d \cdot f_{cd}$$

*Dimenzioniranje na poprečnu silu*

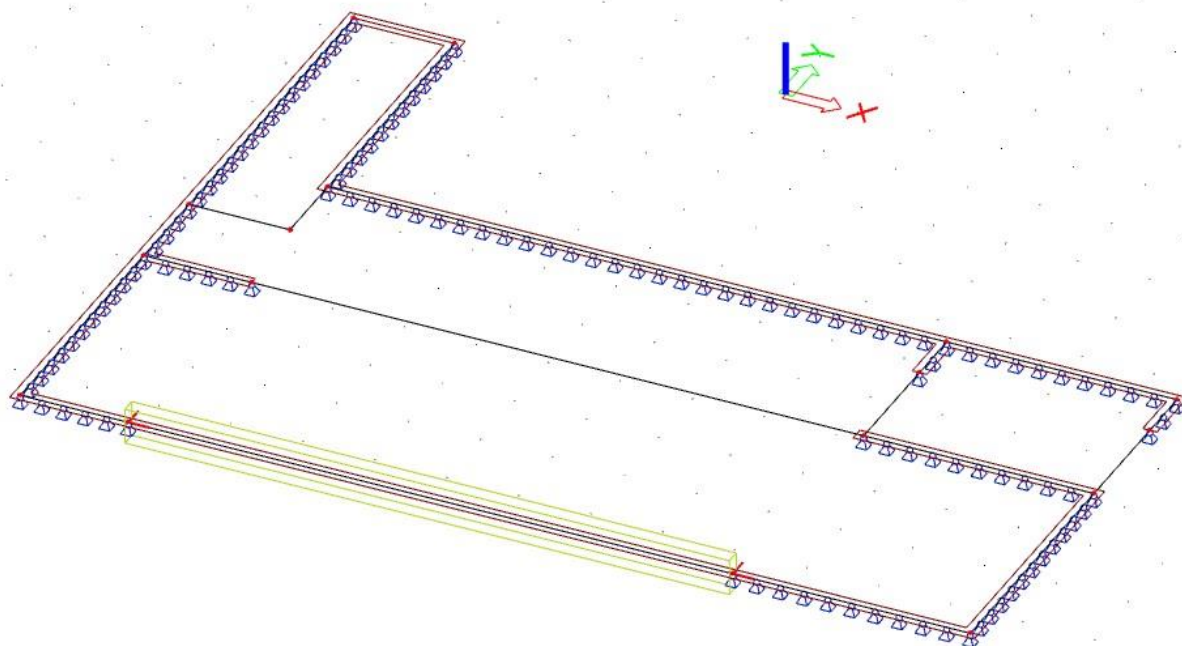
$$V_{wd} = \frac{m \cdot A_{sw} \cdot f_{yw,d} \cdot z}{s_w}$$

|                          |                 |        |                  |                          |                |                  |     |
|--------------------------|-----------------|--------|------------------|--------------------------|----------------|------------------|-----|
| C 30/37                  | $b_w$           | 20,00  | cm               | C 30/37                  | $f_{ck}$       | 30,00            | Mpa |
| $f_{cd}=30/1.5=20.0$ MPa | $h$             | 60,00  | cm               | $f_{cd}$                 | 2,00           | $\text{kN/cm}^2$ |     |
|                          | $d_1 (d_2)$     | 4,50   | cm               | $f_{yd}, f_{yw,d}$       | 43,48          | $\text{kN/cm}^2$ |     |
|                          | $d$             | 55,50  | cm               | $\tau_{Rd}$              | 0,30           | $\text{kN/cm}^2$ |     |
|                          | $A_{sl}$        | 2,51   | $\text{cm}^2$    | <b>Računska armatura</b> |                |                  |     |
| $V_{sd,y,max}=47,99$ kN  | $V_{Ed,max}$    | 47,99  | kN               | $\rho_{min}$             | 0,0011         |                  |     |
|                          | $N_{sd}$        | 0,00   | kN               | $m$                      | 2              |                  |     |
| $N_{sd}=0.0$ kN          | $k$             | 1,60   |                  | $V_{Ed,max}/V_{Rd2}$     | 0,08           |                  |     |
|                          | $\rho_l$        | 0,0023 |                  | $s_{w,max}$              | 0,0            | cm               |     |
|                          | $v_{min}$       | 0,39   |                  | $A_{sw,min}$             | 0,000          | $\text{cm}^2$    |     |
|                          | $\sigma_{cp}$   | 0,00   | $\text{kN/cm}^2$ | Odabrano:                | <b>Ø8 / 30</b> |                  |     |
|                          | $V_{Rd,c}$      | 40,4   | kN               | $A_{sw,od}$              | 0,50           | $\text{cm}^2$    |     |
|                          | $V_{Rd,c,min}$  | 43,1   | kN               | $V_{wd}$                 | 72,78          | kN               |     |
|                          | $V_{Rd,c,mjer}$ | 43,1   | kN               |                          |                |                  |     |
|                          | $v$             | 0,528  |                  |                          |                |                  |     |
|                          | $V_{Rd2}$       | 586,1  | kN               |                          |                |                  |     |



### 5.3. Plan pozicija greda pozicije 100

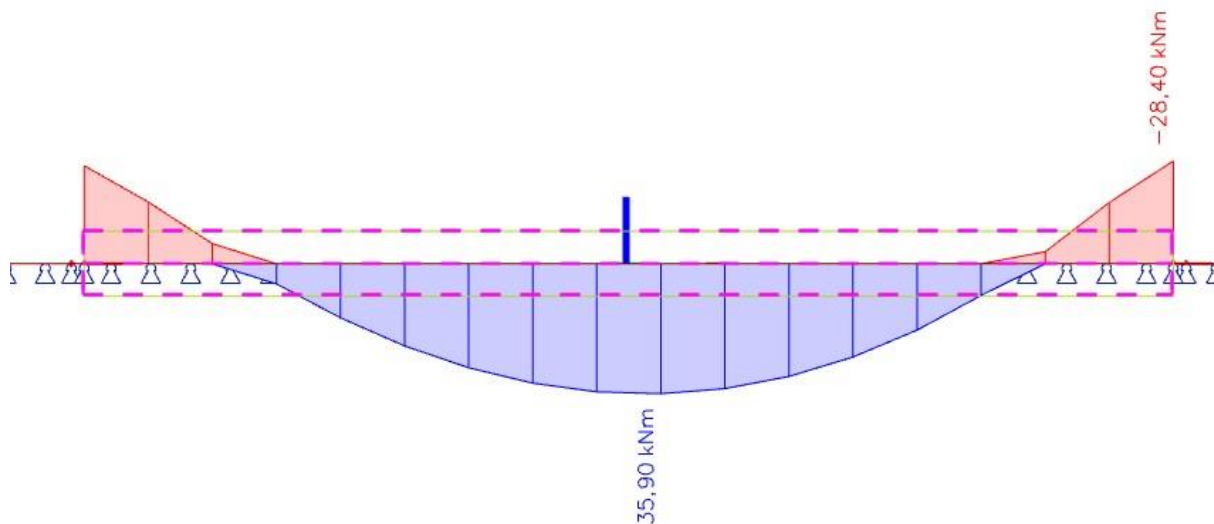
-G101, b/h=20/50



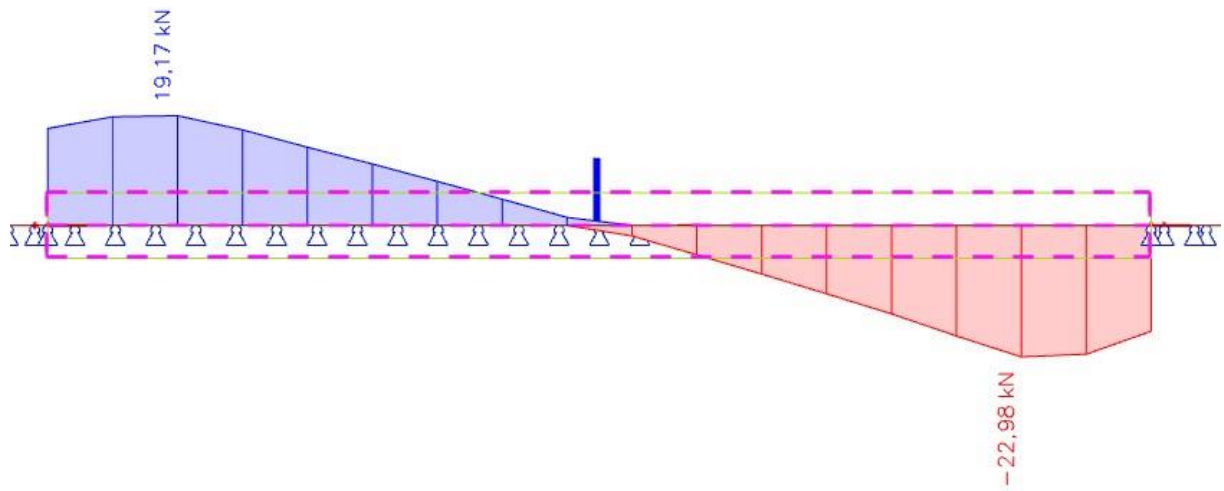
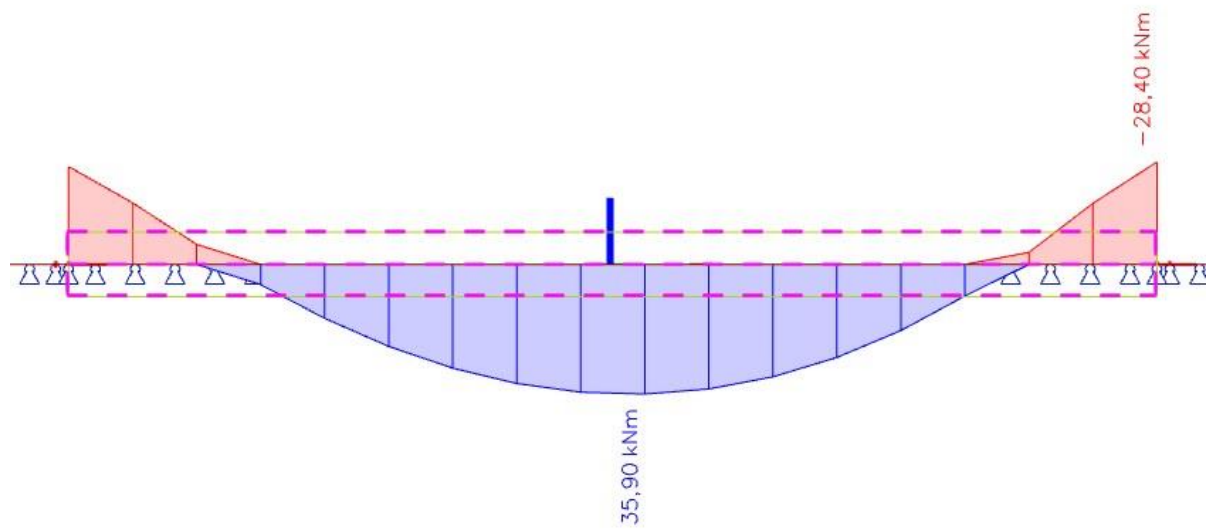
Slika 5.11. Pozicije greda na poziciji 100

#### 5.3.1. Dimenzioniranje grede G101

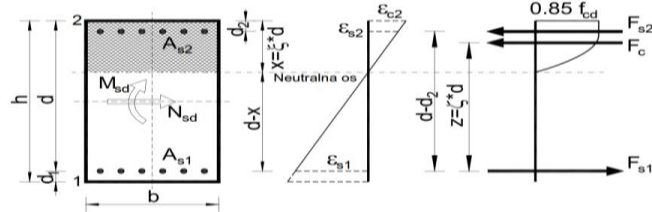
##### SAVOJNI MOMENTI ZA GSN



Slika 5.12.  $M_y$  (kNm)

**POPREČNE SILE ZA GSN**Slika 5.13.  $V_z$  (kN)**SAVOJNI MOMENTI ZA GSN**Slika 5.14.  $M_y$  (kNm)

## Dimenzioniranje na savijanje – maksimalni moment u polju



|                             |
|-----------------------------|
| Uobičajena kombinacija      |
| C 30/37                     |
| $f_{cd}=30/1.5=20.00$ MPa   |
| B 500B                      |
| $f_{yd}=500/1.15=434.8$ MPa |
| $M_{Ed}= 35,90$ kNm         |
| $N_{Ed}= 0$ kN              |

|                                     |        |     |                              |                          |
|-------------------------------------|--------|-----|------------------------------|--------------------------|
| <b>b</b>                            | 20     | cm  | C                            | 30 37                    |
| <b>h</b>                            | 50     | cm  | $f_{cd}$                     | 2,00 kN/cm <sup>2</sup>  |
| <b>d<sub>1</sub>(d<sub>2</sub>)</b> | 5      | cm  | $f_{yd}$                     | 43,48 kN/cm <sup>2</sup> |
| <b>d</b>                            | 45     | cm  | <b>Jednostruko armiranje</b> |                          |
| <b>M<sub>Ed</sub></b>               | 35,9   | kNm | <b>ω</b>                     | 11,160 %                 |
| <b>N<sub>Ed</sub></b>               | 0      | kN  | <b>ρ</b>                     | 0,513 %                  |
| <b>ε<sub>s1</sub></b>               | 10     | ‰   | <b>ξ</b>                     | 0,153                    |
| <b>ε<sub>c2</sub></b>               | 1,8    | ‰   | <b>ζ</b>                     | 0,944                    |
| <b>M<sub>sds</sub></b>              | 35,9   | kNm | <b>A<sub>s1</sub></b>        | 1,94 cm <sup>2</sup>     |
| <b>M<sub>Rd,lim</sub></b>           | 128,79 | kNm | <b>A<sub>s2</sub></b>        | 0,00 cm <sup>2</sup>     |
| <b>μ<sub>sd</sub></b>               | 0,044  |     | <b>A<sub>s,min</sub></b>     | 2,36 cm <sup>2</sup>     |

Odabrana armatura: 3Φ14

4,62 cm<sup>2</sup>

## Dimenzioniranje na savijanje – maksimalni moment na ležaju

|                             |
|-----------------------------|
| Uobičajena kombinacija      |
| C 30/37                     |
| $f_{cd}=30/1.5=20.00$ MPa   |
| B 500B                      |
| $f_{yd}=500/1.15=434.8$ MPa |
| $M_{Ed}= 28,40$ kNm         |
| $N_{Ed}= 0$ kN              |

|                                     |        |     |                              |                          |
|-------------------------------------|--------|-----|------------------------------|--------------------------|
| <b>b</b>                            | 20     | cm  | C                            | 30 37                    |
| <b>h</b>                            | 50     | cm  | $f_{cd}$                     | 2,00 kN/cm <sup>2</sup>  |
| <b>d<sub>1</sub>(d<sub>2</sub>)</b> | 5      | cm  | $f_{yd}$                     | 43,48 kN/cm <sup>2</sup> |
| <b>d</b>                            | 45     | cm  | <b>Jednostruko armiranje</b> |                          |
| <b>M<sub>Ed</sub></b>               | 28,4   | kNm | <b>ω</b>                     | 5,701 %                  |
| <b>N<sub>Ed</sub></b>               | 0      | kN  | <b>ρ</b>                     | 0,262 %                  |
| <b>ε<sub>s1</sub></b>               | 10     | ‰   | <b>ξ</b>                     | 0,18                     |
| <b>ε<sub>c2</sub></b>               | 2,2    | ‰   | <b>ζ</b>                     | 0,931                    |
| <b>M<sub>sds</sub></b>              | 28,4   | kNm | <b>A<sub>s1</sub></b>        | 1,56 cm <sup>2</sup>     |
| <b>M<sub>Rd,lim</sub></b>           | 128,79 | kNm | <b>A<sub>s2</sub></b>        | 0,00 cm <sup>2</sup>     |
| <b>μ<sub>sd</sub></b>               | 0,035  |     | <b>A<sub>s,min</sub></b>     | 2,36 cm <sup>2</sup>     |

Odabrana armatura: 3Φ10

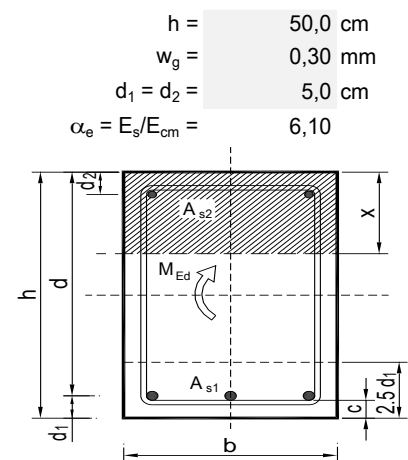
As1=

2,36 cm<sup>2</sup>

|                                                                                                                                  |                                           | <i>Dimenzioniranje na poprečnu silu</i> |                    |
|----------------------------------------------------------------------------------------------------------------------------------|-------------------------------------------|-----------------------------------------|--------------------|
| $V_{Ed} \leq V_{Rd,c} = [C_{Rdc} \cdot k \cdot (100 \cdot \rho_l \cdot f_{ck})^{1/3} + k_1 \cdot \sigma_{cp}] \cdot b_w \cdot d$ |                                           |                                         |                    |
| $V_{Rd,c,min} \geq [v_{min} + k_1 \cdot \sigma_{cp}] \cdot b_w \cdot d$                                                          |                                           |                                         |                    |
| $V_{Rd,c,mjer} = \max(V_{Rd,c}, V_{Rd,c,min})$                                                                                   |                                           |                                         |                    |
| $V_{Ed} \leq V_{Rd,max} = 0.5 \cdot v \cdot b_w \cdot d \cdot f_{cd}$                                                            |                                           |                                         |                    |
| $V_{wd} = \frac{m \cdot A_{sw} \cdot f_{yw,d} \cdot z}{s_w}$                                                                     |                                           |                                         |                    |
| <b>C 30/37</b>                                                                                                                   | <b>b<sub>w</sub></b>                      | 20,00                                   | cm                 |
| $f_{cd}=30/1.5=20.0$ MPa                                                                                                         | <b>h</b>                                  | 50,00                                   | cm                 |
|                                                                                                                                  | <b>d<sub>1</sub> (d<sub>2</sub>)</b>      | 5,00                                    | cm                 |
|                                                                                                                                  | <b>d</b>                                  | 45,00                                   | cm                 |
|                                                                                                                                  | <b>A<sub>s1</sub></b>                     | 2,01                                    | cm <sup>2</sup>    |
| $V_{sd,y,max}=22,98$ kN                                                                                                          | <b>V<sub>Ed,max</sub></b>                 | 22,98                                   | kN                 |
| $N_{sd}=0.0$ kN                                                                                                                  | <b>N<sub>sd</sub></b>                     | 0,00                                    | kN                 |
|                                                                                                                                  | <b>k</b>                                  | 1,67                                    |                    |
|                                                                                                                                  | <b>ρ<sub>l</sub></b>                      | 0,0022                                  |                    |
|                                                                                                                                  | <b>v<sub>min</sub></b>                    | 0,41                                    |                    |
|                                                                                                                                  | <b>σ<sub>cp</sub></b>                     | 0,00                                    | kN/cm <sup>2</sup> |
|                                                                                                                                  | <b>V<sub>Rd,c</sub></b>                   | 33,9                                    | kN                 |
|                                                                                                                                  | <b>V<sub>Rd,c,min</sub></b>               | 37,1                                    | kN                 |
|                                                                                                                                  | <b>V<sub>Rd,c,mjer</sub></b>              | 37,1                                    | kN                 |
|                                                                                                                                  | <b>v</b>                                  | 0,528                                   |                    |
|                                                                                                                                  | <b>V<sub>Rd2</sub></b>                    | 475,2                                   | kN                 |
|                                                                                                                                  | <b>C 30/37</b>                            |                                         |                    |
|                                                                                                                                  | <b>f<sub>ck</sub></b>                     | 30,00                                   | Mpa                |
|                                                                                                                                  | <b>f<sub>cd</sub></b>                     | 2,00                                    | kN/cm <sup>2</sup> |
|                                                                                                                                  | <b>f<sub>yd</sub>, f<sub>yw,d</sub></b>   | 43,48                                   | kN/cm <sup>2</sup> |
|                                                                                                                                  | <b>τ<sub>Rd</sub></b>                     | 0,30                                    | kN/cm <sup>2</sup> |
|                                                                                                                                  | <b>Konstruktivna armatura</b>             |                                         |                    |
|                                                                                                                                  | <b>ρ<sub>min</sub></b>                    | 0,0011                                  |                    |
|                                                                                                                                  | <b>m</b>                                  | 2                                       |                    |
|                                                                                                                                  | <b>V<sub>Ed,max</sub>/V<sub>Rd2</sub></b> | 0,05                                    |                    |
|                                                                                                                                  | <b>s<sub>w,max</sub></b>                  | 30,0                                    | cm                 |
|                                                                                                                                  | <b>A<sub>sw,min</sub></b>                 | 0,330                                   | cm <sup>2</sup>    |
|                                                                                                                                  | <b>Odabrano:</b>                          | <b>Ø8 / 30</b>                          |                    |
|                                                                                                                                  | <b>A<sub>sw,od</sub></b>                  | 0,50                                    | cm <sup>2</sup>    |
|                                                                                                                                  | <b>V<sub>wd</sub></b>                     | 59,01                                   | kN                 |

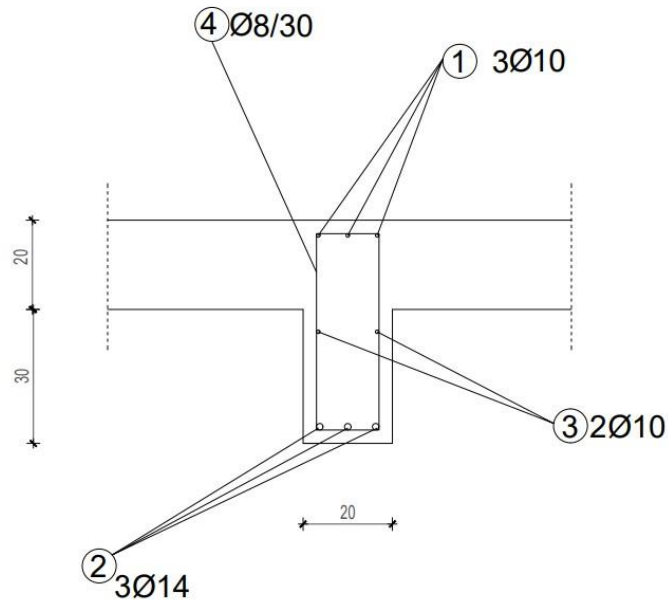
### 5.3.2. Kontrola pukotina grede G101

|                                                                                |          |                   |                                            |                      |                   |
|--------------------------------------------------------------------------------|----------|-------------------|--------------------------------------------|----------------------|-------------------|
| <b>b</b> =                                                                     | 20,0     | cm                | <b>d</b> =                                 | 45,0                 | cm                |
| <b>f<sub>ck</sub></b> =                                                        | 30,0     | MN/m <sup>2</sup> | <b>f<sub>ctm</sub></b> =                   | 2,90                 | MN/m <sup>2</sup> |
| <b>A<sub>s1</sub></b> =                                                        | 4,62     | cm <sup>2</sup>   | <b>A<sub>s2</sub></b> =                    | 2,36                 | cm <sup>2</sup>   |
| <b>E<sub>s</sub></b> =                                                         | 200,00   | GN/m <sup>2</sup> | <b>E<sub>cm</sub></b> =                    | 32,80                | GN/m <sup>2</sup> |
| <b>M<sub>Ed</sub></b> =                                                        | 35,9     | kNm               | <b>k<sub>t</sub></b> =                     | 0,40                 |                   |
| <b>σ<sub>s</sub></b> =                                                         | 256,20   | MN/m <sup>2</sup> | <b>ρ<sub>p,eff</sub></b> =                 | 0,0185               |                   |
| <b>x</b> =                                                                     | 9,64     | cm                | <b>0.6 · σ<sub>s</sub>/E<sub>s</sub></b> = | 0,000769             |                   |
| <b>(ε<sub>sm</sub> - ε<sub>cm</sub>)</b> =                                     | 0,000932 | >                 | <b>c</b> =                                 | 2,50                 | cm                |
| <b>Ø</b> =                                                                     | 14,0     | mm                | <b>k<sub>2</sub></b> =                     | 0,50                 |                   |
| <b>k<sub>1</sub></b> =                                                         | 0,8      |                   | <b>k<sub>4</sub></b> =                     | 0,43                 |                   |
| <b>k<sub>3</sub></b> =                                                         | 3,4      |                   |                                            |                      |                   |
| <b>s<sub>r,max</sub></b> =                                                     | 213,79   | mm                |                                            |                      |                   |
| <b>w<sub>k</sub> = s<sub>r,max</sub> · (ε<sub>sm</sub> - ε<sub>cm</sub>) =</b> | 0,199    | mm                | <b>&lt;</b>                                | <b>w<sub>g</sub></b> |                   |



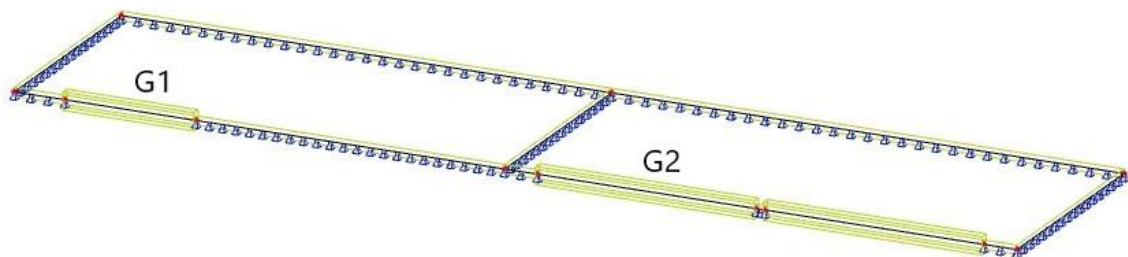


**Poziciju G101, b/h = 20/60: Armirati sa 3Ø14 u donjoj i 3Ø10 u gornjoj zoni. Razdjelna armatura 2Ø10. Postaviti vilice Ø8/30.**



Slika 5.15. Detalj armiranja grede G101, b/h=20/50

#### 5.4. Plan pozicija greda pomoćnog objekta



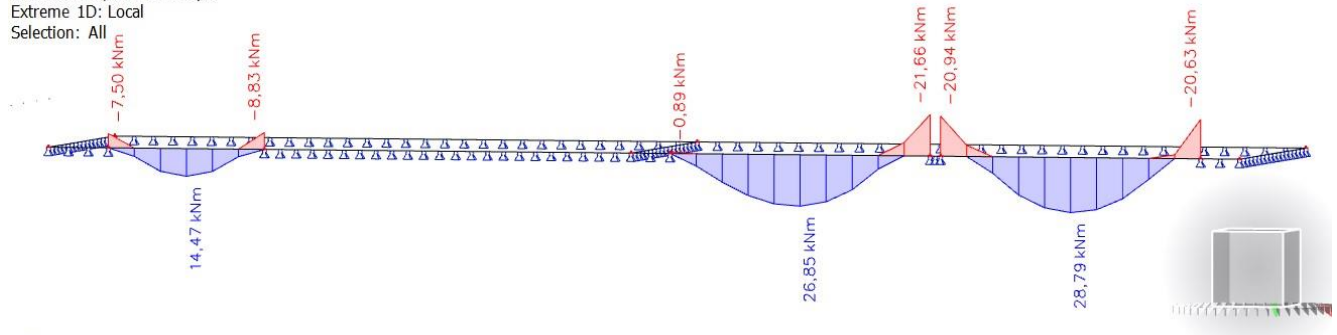
Slika 5.16. Pozicije greda pomoćnog objekta

### 5.4.1. Dimenzioniranje greda pomoćnog objekta

#### SAVOJNI MOMENTI ZA GSN

##### 1D internal forces

Values:  $M_y$   
 Linear calculation  
 Combination: GSN  
 Coordinate system: Principal  
 Extreme 1D: Local  
 Selection: All

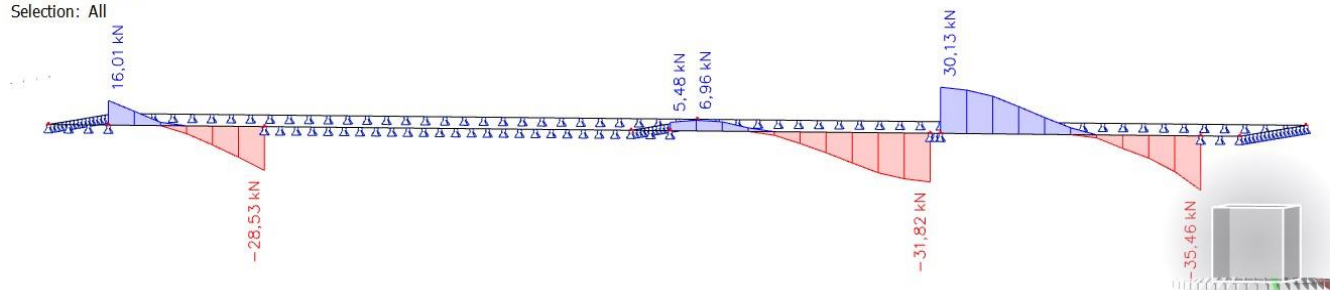


Slika 5.17.  $M_y$  (kNm)

#### POPREČNE SILE ZA GSN

##### 1D internal forces

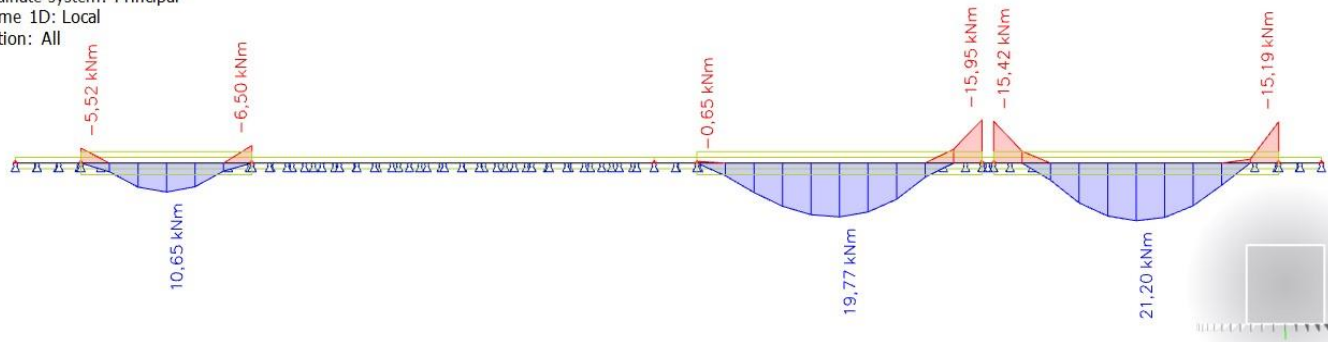
Values:  $V_z$   
 Linear calculation  
 Combination: GSN  
 Coordinate system: Principal  
 Extreme 1D: Local  
 Selection: All



Slika 5.18.  $V_z$  (kN)

**SAVOJNI MOMENTI ZA GSU**

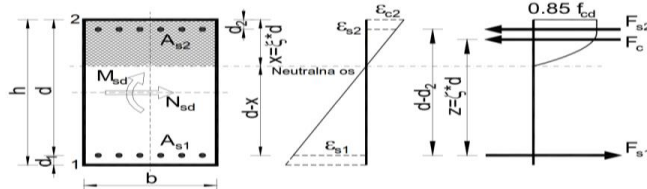
ombination: GSU  
 rdinate system: Principal  
 ume 1D: Local  
 ction: All



Slika 5.19. My (kNm)

**Greda pomoćnog objekta G2**

Dimenzioniranje na savijanje – maksimalni moment u polju



|                             |
|-----------------------------|
| Uobičajena kombinacija      |
| C 30/37                     |
| $f_{cd}=30/1.5=20.00$ MPa   |
| B 500B                      |
| $f_{yd}=500/1.15=434.8$ MPa |
| 28,79                       |
| $N_{Ed}= 0$ kN              |

|                                     |        |     |                              |                          |
|-------------------------------------|--------|-----|------------------------------|--------------------------|
| <b>b</b>                            | 20     | cm  | <b>C</b>                     | 30 37                    |
| <b>h</b>                            | 50     | cm  | <b>f<sub>cd</sub></b>        | 2,00 kN/cm <sup>2</sup>  |
| <b>d<sub>1</sub>(d<sub>2</sub>)</b> | 5      | cm  | <b>f<sub>yd</sub></b>        | 43,48 kN/cm <sup>2</sup> |
| <b>d</b>                            | 45     | cm  | <b>Jednostruko armiranje</b> |                          |
| <b>M<sub>Ed</sub></b>               | 28,79  | kNm | <b>ω</b>                     | 8,189 %                  |
| <b>N<sub>Ed</sub></b>               | 0      | kN  | <b>ρ</b>                     | 0,377 %                  |
| <b>ε<sub>s1</sub></b>               | 10     | ‰   | <b>ξ</b>                     | 0,153                    |
| <b>ε<sub>c2</sub></b>               | 1,8    | ‰   | <b>ζ</b>                     | 0,944                    |
| <b>M<sub>sds</sub></b>              | 28,79  | kNm | <b>A<sub>s1</sub></b>        | 1,56 cm <sup>2</sup>     |
| <b>M<sub>Rd,lim</sub></b>           | 128,79 | kNm | <b>A<sub>s2</sub></b>        | 0,00 cm <sup>2</sup>     |
| <b>μ<sub>sd</sub></b>               | 0,036  |     | <b>A<sub>s,min</sub></b>     | 2,36 cm <sup>2</sup>     |

Odabrana armatura: 3Φ12      **As1= 3,39 cm<sup>2</sup>**

Dimenzioniranje na savijanje – maksimalni moment na ležaju

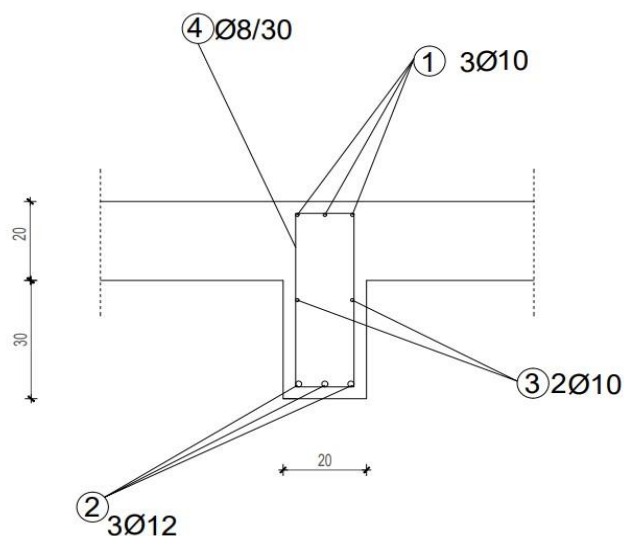
|                             |
|-----------------------------|
| Uobičajena kombinacija      |
| C 30/37                     |
| $f_{cd}=30/1.5=20.00$ MPa   |
| B 500B                      |
| $f_{yd}=500/1.15=434.8$ MPa |
| $M_{Ed}= 21,66$ kNm         |
| $N_{Ed}= 0$ kN              |

|                                     |        |     |                              |                          |
|-------------------------------------|--------|-----|------------------------------|--------------------------|
| <b>b</b>                            | 20     | cm  | <b>C</b>                     | 30 37                    |
| <b>h</b>                            | 50     | cm  | <b>f<sub>cd</sub></b>        | 2,00 kN/cm <sup>2</sup>  |
| <b>d<sub>1</sub>(d<sub>2</sub>)</b> | 5      | cm  | <b>f<sub>yd</sub></b>        | 43,48 kN/cm <sup>2</sup> |
| <b>d</b>                            | 45     | cm  | <b>Jednostruko armiranje</b> |                          |
| <b>M<sub>Ed</sub></b>               | 21,66  | kNm | <b>ω</b>                     | 5,701 %                  |
| <b>N<sub>Ed</sub></b>               | 0      | kN  | <b>ρ</b>                     | 0,262 %                  |
| <b>ε<sub>s1</sub></b>               | 10     | ‰   | <b>ξ</b>                     | 0,18                     |
| <b>ε<sub>c2</sub></b>               | 2,2    | ‰   | <b>ζ</b>                     | 0,931                    |
| <b>M<sub>sds</sub></b>              | 21,66  | kNm | <b>A<sub>s1</sub></b>        | 1,19 cm <sup>2</sup>     |
| <b>M<sub>Rd,lim</sub></b>           | 128,79 | kNm | <b>A<sub>s2</sub></b>        | 0,00 cm <sup>2</sup>     |
| <b>μ<sub>sd</sub></b>               | 0,027  |     | <b>A<sub>s,min</sub></b>     | 2,36 cm <sup>2</sup>     |

Odabrana armatura: 3Φ10      **As1= 2,36 cm<sup>2</sup>**



**Grede pomoćnog objekta, b/h = 20/50: Armirati sa 3Ø12 u donjoj i 3Ø10 u gornjoj zoni. Razdjelna armatura 2Ø10. Postaviti vilice Ø8/30.**



Slika 5.20. Detalj armiranja grede opmoćnog objekta, b/h=20/50

## 6. PRORAČUN STUBIŠTA

Beton C 30/37

Armatura B500B

d = 15 cm

|                      |                           |                                    |
|----------------------|---------------------------|------------------------------------|
| <b>Opterećenja :</b> | -Završna obrada           | = 1.30 kN/m <sup>2</sup>           |
|                      | -AB ploča (krak i podest) | = 20·0.15 = 3.00 kN/m <sup>2</sup> |
|                      | -Žbuka                    | = 0.30 kN/m <sup>2</sup>           |
|                      | <hr/>                     |                                    |

**Stalno opterećenje :** = **4,60 kN/m<sup>2</sup>**

**Promjenjivo opterećenje: q = 3.0 kN/m<sup>2</sup>**

$$q_{rač} = 1.35 \cdot 4,60 + 1.5 \cdot 3.0 = 10,71 \text{ kN/m}^2$$

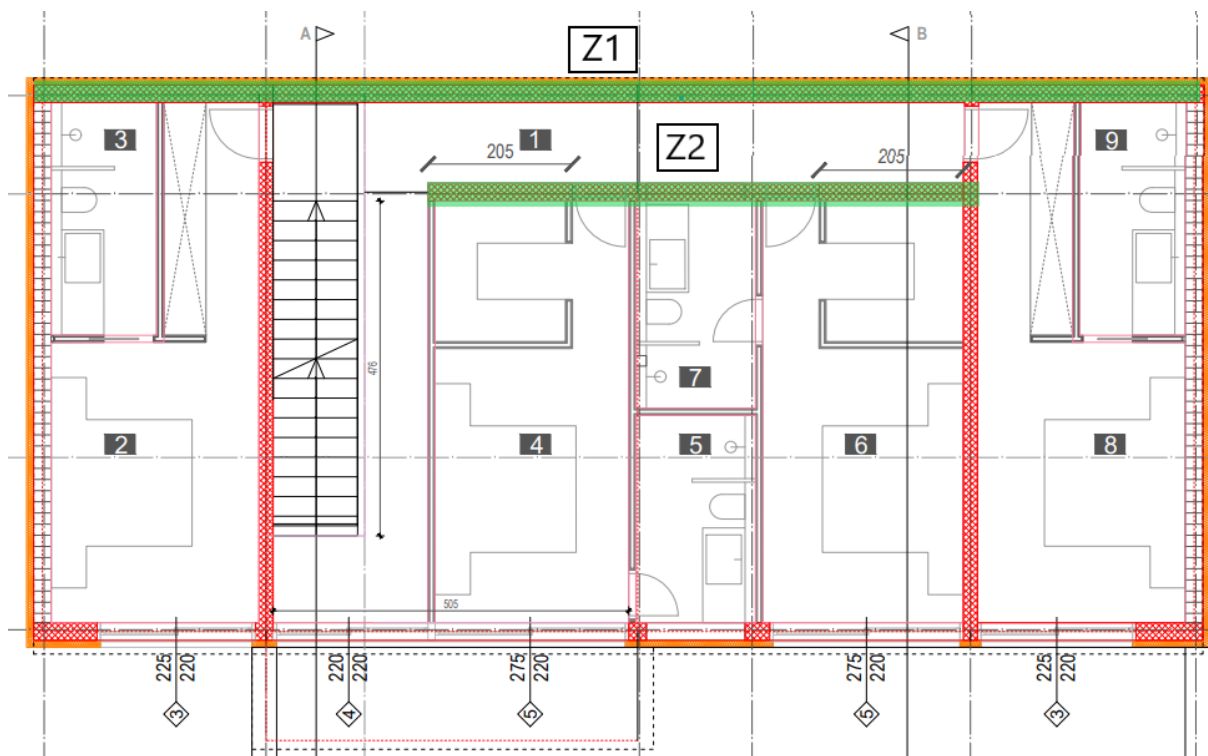
$$\text{Stubišni krak: } M_{sd,max} = \frac{10,71 \cdot 4,76^2}{8} = 30,33 \text{ kN/m'}$$



## 7. REZULTATI PRORAČUNA KARATERISTIČNOG ZIDA OBJEKTA

Glavni nosivi sustav objekta za prijenos horizontalnih opterećenja (vjetar i potres) tvore zidovi. Zidovi su analizirani na zadane kombinacije opterećenja. Prikazani su rezultati za najkritičniju osnovnu kombinaciju i za seizmičku kombinaciju u smjeru zida.

Rezultati reznih sila za svaki zid proračunati su računalnim programom Scia Engineer 22.0 te su prikazani u nastavku.



Slika 7.1. Plan pozicija zidova

### 7.1. Proračun zasutog zida (Z1)

#### Zid u prizemlju, h=285 cm, d=25cm

Tlak nasipa tla na zidove suterena zadan je preko parametara tla :

$$\gamma = 22,0 \text{ kN/m}^3$$

$$h = 2,85 \text{ m} - \text{visina zasipa}$$

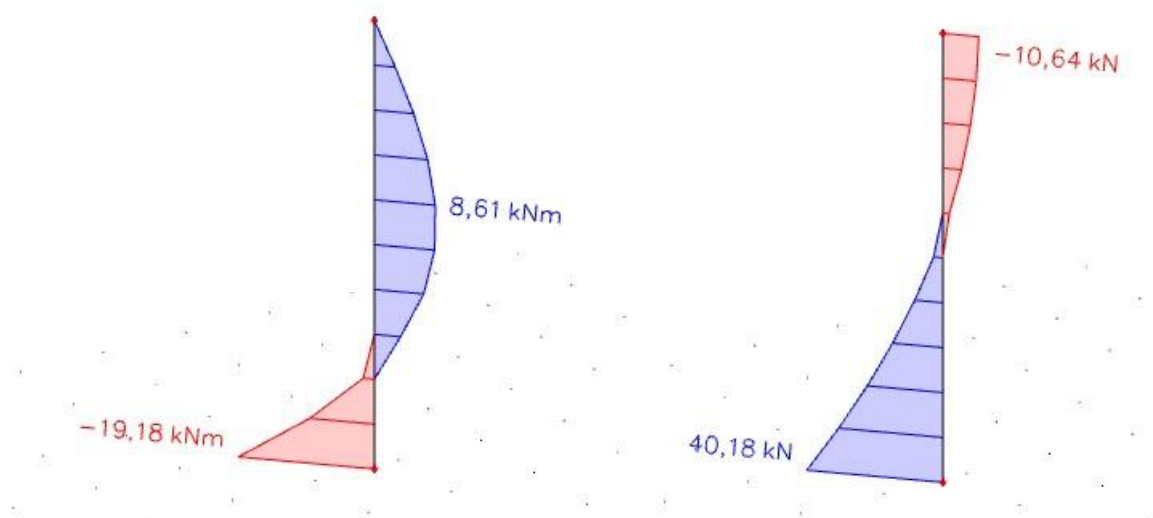
$$KA \approx 0,40 - \text{koef. aktivnog tlaka}$$

$$\rho_{zasip} = \gamma \cdot h \cdot b \cdot KA - \text{horizontalni tlak zasipa}$$

$$\rho_{zasip} = 22,0 \cdot 2,85 \cdot 1,0 \cdot 0,40 = 25,08 - \text{horizontalni tlak zasipa}$$

$$\rho_{zasip} = q \cdot KA - \text{pokretno opterećenje}$$

$$\rho_{zasip} = 22,0 \cdot 2,85 \cdot 1,0 \cdot 0,40 = 25,08 - \text{pokretno opterećenje}$$

Slika 7.2. Momenti savijanja  $M_y$  (kNm)

### 7.1.1. Dimenzioniranje na moment savijanja:

Debljina zida : 25 cm

Beton : C 30/37 Armatura : B500B

Limitirajući moment savijanja :

$$MRd,lim = \mu_{sd,lim} \cdot b_w \cdot d^2 \cdot f_{cd} = 0,159 \cdot 1,0 \cdot 0,21^2 \cdot 20 \cdot 1000 = 140,23 \text{ kNm}$$

Minimalna površina armature za zidove :  $AS1,min = 0,0015 \cdot 100 \cdot 21 = 3,15 \text{ cm}^2$

Potrebna površina armature :

$$As1 = \frac{M_{Ed}}{\zeta \cdot d \cdot f_{yd}} = \frac{19,18 \cdot 100}{0,892 \cdot 21 \cdot 43,48} = 2,35 \text{ cm}^2 / m'$$

**Odabrana armatura : Q-335 ( $As = 3,35 \text{ cm}^2 / m$ )**

### 7.1.2. Dimenzioniranje na poprečnu silu :

$$VEd = 40,18 \text{ kN}$$

Koeficijent armiranja vertikalnom i horizontalnom armaturom :

$$\rho_V = \rho_h = As / (b \cdot d) = 3,35 / (100 \cdot 22) = 0,00152$$

$$V_{wd} = \rho_V \cdot f_{yk} \cdot b \cdot 0,8 \cdot d$$

$$V_{wd} = 0,00152 \cdot 50,0 \cdot 100 \cdot 0,8 \cdot 22 = 133,76 \text{ kN}$$



Računska nosivost na poprečnu silu:

$$V_{cd} = \tau_{Rd} \cdot (1,20 + 40 \cdot \rho_v) \cdot b_w \cdot z = 0,034 \cdot (1,20 + 40 \cdot 0,00152) \cdot 100 \cdot 22 = 94,31 \text{ kN}$$

Ukupna nosivost vlačnih dijagonala hrpta :

$$VR_{d2} = V_{wd} + V_{cd} = 133,76 + 94,31 = 228,08 \text{ VR}_{d2} > V_{Ed}$$

**- odabrana armatura zadovoljava.**

## 7.2. Proračun unutarnjeg zida u osi x (Z2)

Geometrijske karakteristike zida:

Dimenzije elementa :

$$b = 20 \text{ cm}$$

$$L_w = 760 \text{ cm}$$

$$H_w = 2,85 \text{ m}$$

$$C_{nom} = C_{min} + \Delta C = 3,0 \text{ cm}$$

$$dz = C_{nom} + \varnothing_{sh} + \varnothing_{sv}/2 \approx 4,0 \text{ cm}$$

$$dy = C_{nom} + \varnothing_v + \varnothing_2 + 15 \approx 40 \text{ cm}$$

$$d = L_w - dy = 720 \text{ cm}$$

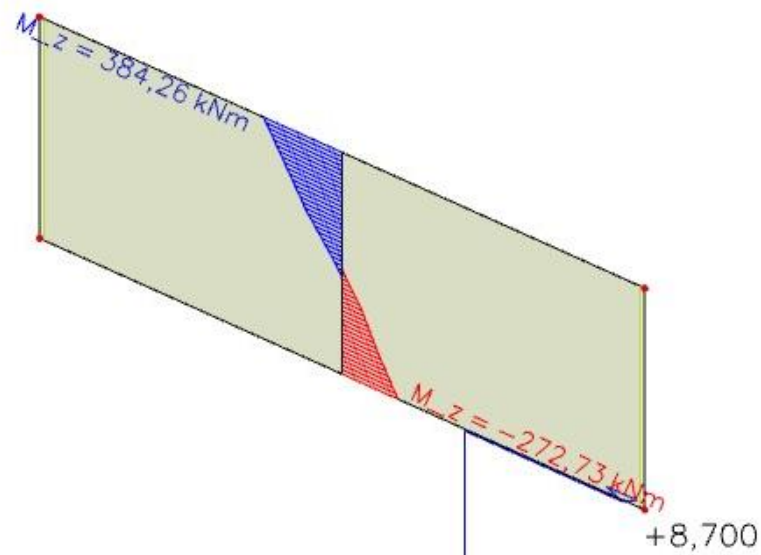
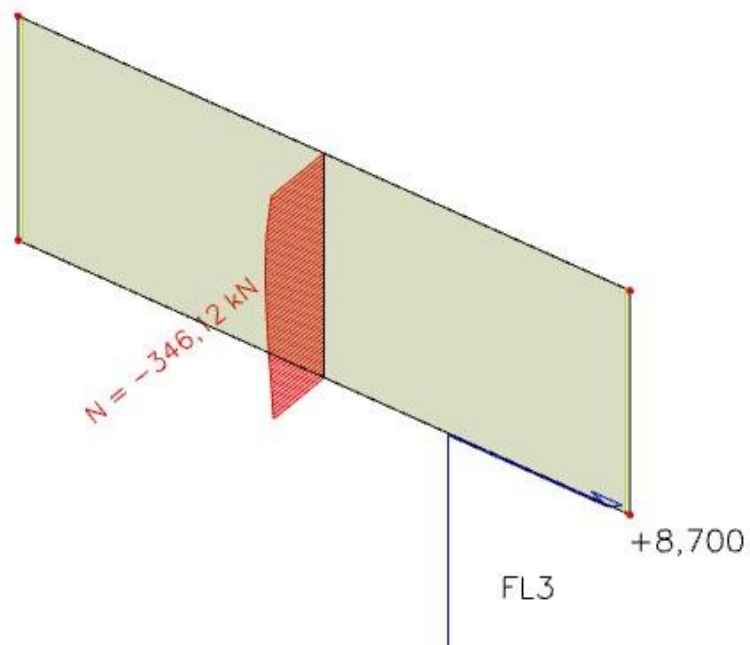
Vitkost zida :  $H_w/L_w = 2,85/7,60 = 0,38 < 2$  – zid je nizak

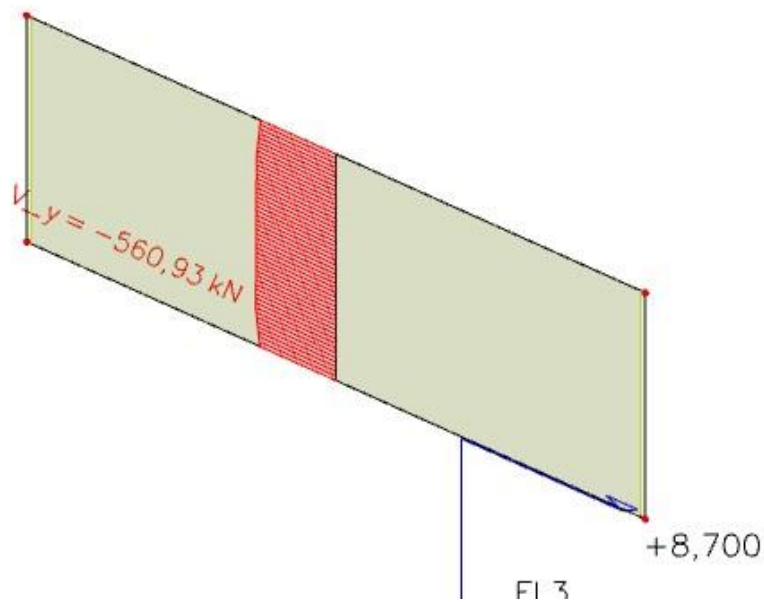
Visina kritične zone :  $h_{cr} = \max(L_w; H_w/6) = \max(760,0\text{cm}; 47,5\text{cm})$

$$h_{cr} \leq (2 \cdot L_w; 2 \cdot h_s) \leq (1520\text{cm}; 580\text{cm})$$

$$h_{cr} = 760 \text{ cm}$$

## Rezultati proračuna:

Proračunska kombinacija:  $G_{SN} S_y : 1,0g + 0,30q + 1,00 S_y$ Slika 7.3. Momenti savijanja  $M_z$  (kNm)Slika 7.4. Uzdužna sila  $N$  (kN)

Slika 7.5. Poprečna sila  $V_y$  (kN)

### 7.2.1. Proračun nosivosti na uzdužnu silu i moment

Proračunske rezne sile :

$$M_{Ed} = 384,26 \text{ kNm}$$

$$N_{Ed} = 346,12 \text{ kN}$$

$$V_{Ed} = 560,93 \text{ kN}$$

$$b = 20 \text{ cm} ; d = 720 \text{ cm}$$

Širina rubnog serklaža:

$$b_{w0} = \min \{0,15l_w; 1,50b_w\} = \min \{114; 30\} = 30,00 \text{ cm}$$

$$M_{Ed} = M_{Ed} + N_{Ed} \cdot \left(d - \frac{h}{2}\right) = 384,26 + 346,12 \cdot \left(7,20 - \frac{7,60}{2}\right) = 1561,07 \text{ kNm}$$

Moment nosivosti jednostruko armiranog presjeka:

$$M_{Rd,lim} = \mu_{Rd,lim} \cdot b \cdot d^2 \cdot f_{cd}$$

$$M_{Rd,lim} = 0,159 \cdot 0,20 \cdot 7,20^2 \cdot 20000 = 32970,24 \text{ kNm/m} > M_{Ed}$$

Potrebna površina uzdužne vlačne armature:

$$\mu_{sd} = \frac{M_{Ed}}{b \cdot d^2 \cdot f_{cd}} = \frac{1561,07 \cdot 100}{20 \cdot 720^2 \cdot 2,0} = 0,0075$$

$$\varepsilon_{s1} = 10\text{‰}; \varepsilon_{c2} = 0,5\text{‰}; \xi = 0,048; \zeta = 0,984$$

$$A_{s1} = \frac{M_{Ed}}{\zeta \cdot d \cdot f_{yd}} - \frac{N_{Ed}}{f_{yd}} = \frac{1561,07 \cdot 100}{0,984 \cdot 720 \cdot 43,48} - \frac{1187,52}{43,48} = -2,89 \text{ cm}^2$$

Potrebna minimalna površina uzdužne vlačne armature u rubovima zida:

$$A_{s1,min} = 0,15\% \cdot b \cdot d = 0,0015 \cdot 20 \cdot 720 = 21,60 \text{ cm}^2$$

**Odabrana armatura: 10 Ø18 ( $A_s = 25,45 \text{ cm}^2$ )**

### 7.2.2. Proračun armature na poprečnu silu

$$V_{Ed} = \varepsilon \cdot V_{Ed}$$

$\varepsilon$ - korekcijski faktor

$$\varepsilon = q \cdot \sqrt{\frac{\gamma_{Rd} \cdot M_{Rd}}{q \cdot M_{Ed}} + 0,1 \cdot \left( \frac{s_e(T_c)}{s_e(T_1)} \right)^2} \leq q$$

Kako gornji izraz mora biti manji od q zbog jednostavnosti uzimamo  $\varepsilon = q = 2,4$

$$V_{Ed} = 2,4 \cdot 560,93 = 1346,23 \text{ kN}$$

C 30/37  $f_{ck} = 30 \text{ MPa}$

$$f_{cd} = \frac{f_{ck}}{1,5} = 20 \text{ MPa}$$

#### Lom tlačne dijagonale u zidu

$$V_{Ed} \leq V_{Rd2}$$

$$V_{Rd2} = \begin{cases} 0,4 \cdot (0,7 - f_{ck} / 200) \cdot f_{cd} \cdot b_{w0} \cdot z & \text{u kritičnoj zoni} \\ 0,5 \cdot (0,7 - f_{ck} / 200) \cdot f_{cd} \cdot b_{w0} \cdot z & \text{van kritične zone} \end{cases}$$

$$V_{Rd2} = \begin{cases} 0,4 \cdot (0,7 - 2,0/200) \cdot 2,0 \cdot 20 \cdot 0,9 \cdot 720 = 7153,92 \text{ kN} \\ 0,5 \cdot (0,7 - 2,0/200) \cdot 2,0 \cdot 20 \cdot 0,9 \cdot 720 = 8942,40 \text{ kN} \end{cases}$$

$$V_{Ed} = 1346,23 \text{ kN} \leq V_{Rd2}(7153,92; 8942,40) \text{ kN}$$

Zid zadovoljava na slom tlačne dijagonale.

#### Lom vlačne dijagonale u zidu

$$V_{Ed} \leq V_{Rd3}$$

Ovisno o koeficijentu smicanja.

Postupak ovisi o koeficijentu  $\alpha_s$ :

$$\alpha_s = M_{Ed} / (V_{Ed} \cdot L_w) = 1561,07 / (1346,23 \cdot 7,60) = 0,15$$

Primjenjuje se slijedeći postupak:

Ako je  $\alpha_s \leq 1,3$  koristi se izraz (i za vertikalnu i horizontalnu armaturu):

$$V_{Ed} \leq V_{Rd3} = \left[ \rho_h \cdot f_{yw,d} (\alpha_s - 0,3) + \rho_v \cdot f_{yw,d} \cdot (1,3 - \alpha_s) \right] \cdot b_{w0} \cdot z + V_{cd}$$

### 7.2.3. Nosivost betona

Ako je  $N_{Ed}$  vlačna:

$$V_{cd}=0 \text{ u kritičnom području}$$

$V_{cd}$  – prema izrazu za poprečnu silu van kritičnog područja

Ako je  $N_{Ed}$  tlačna:

$$V_{cd} = \tau_{Rd} \cdot (1.2 + 40\rho_v) \cdot b_{w0} \cdot z \text{ u kritičnom području}$$

$V_{cd}$  – prema izrazu za poprečnu silu van kritičnog područja

Minimalna armatura:  $A_{z,min} = 0.15\% \cdot d \cdot 100$

$$\text{Zid debljine 20 cm : } A_{s,min} = 0,0015 \cdot 20 \cdot 100 = 3,00 \text{ cm}^2$$

**Odabrano: Q-283 obostrano ( $A_s = 5,66 \text{ cm}^2 / m$ )**

Koeficijent armiranja vertikalnom i horizontalnom armaturom:

$$\rho_v = \rho_h = \frac{A_s}{b \cdot d} = \frac{5,66}{20 \cdot 100} = 0,00283$$

$$V_{wd} = \rho_v \cdot f_{yw,d} \cdot b \cdot 0,8 \cdot d$$

$$V_{wd} = 0,0028 \cdot 43,48 \cdot 20 \cdot 0,8 \cdot 720 = 1402,49 \text{ kN}$$

Nosivost betona i odabrane uzdužne armature:

$$V_{cd} = \tau_{rd} \cdot (1,2 + 40 \cdot \rho_v) \cdot b \cdot 0,9 \cdot d$$

$$V_{cd} = 0,034 \cdot (1,2 + 40 \cdot 0,00283) \cdot 20 \cdot 0,9 \cdot 720 = 578,65 \text{ kN}$$

Ukupna nosivost vlačnih dijagonala hrpta:

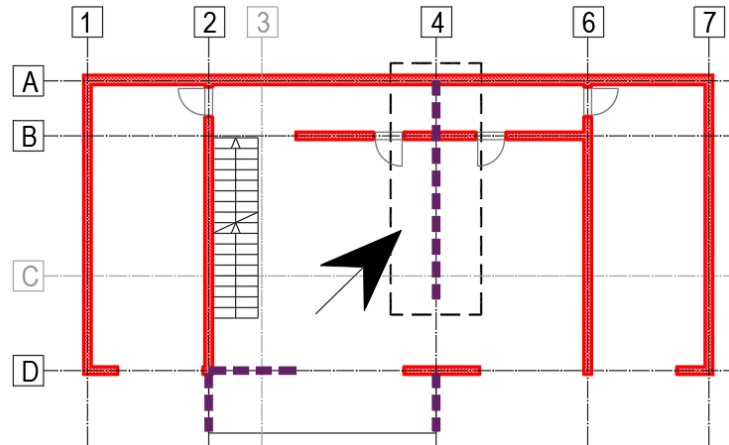
$$V_{Rd3} = V_{cd} + V_{wd} = 1402,49 + 578,65 = 1981,14 \text{ kN}$$

$$V_{Ed} = 1346,23 \text{ kN} < V_{Rd3} = 1981,14 \text{ kN}$$

-Zid zadovoljava na slom vlačne dijagonale.

## 8. DIMENZIONIRANJE VISOKOSTIJIENOG NOSAČA

Dimenzioniranje visokostjenog nosača u osi 4 (b/h = 20/300 cm):

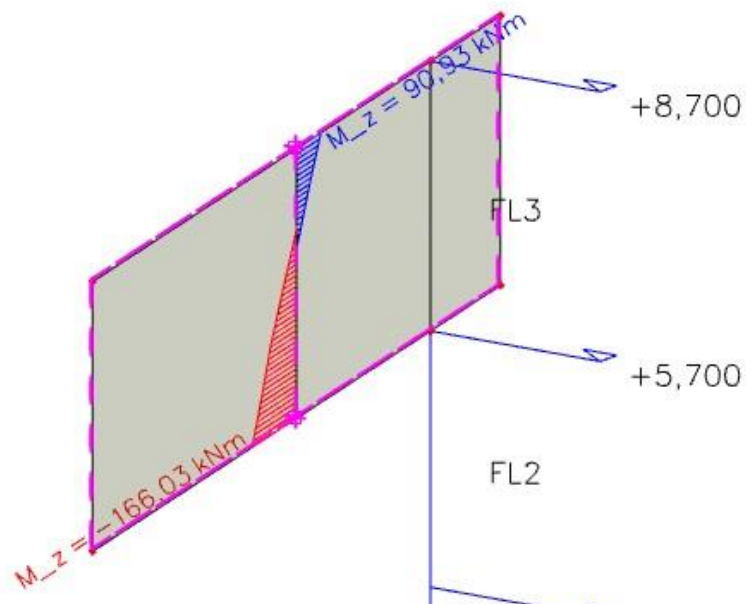


Slika 8.1. Položaj visokostjenog nosača na tlocrtu

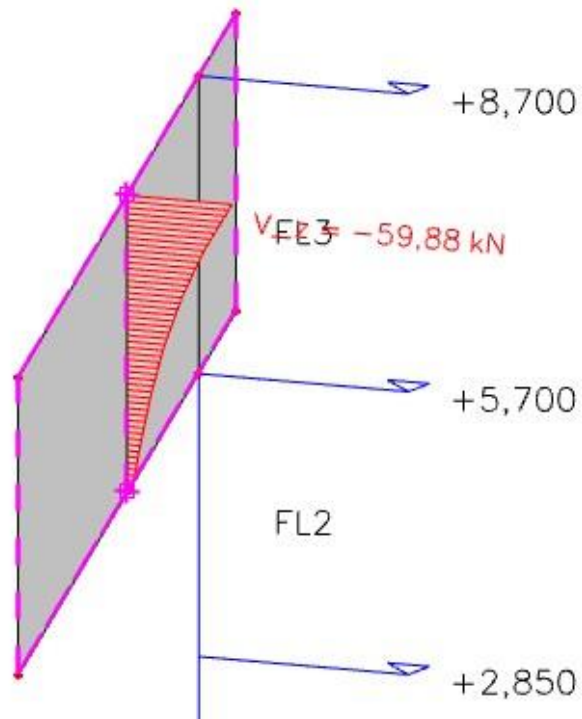
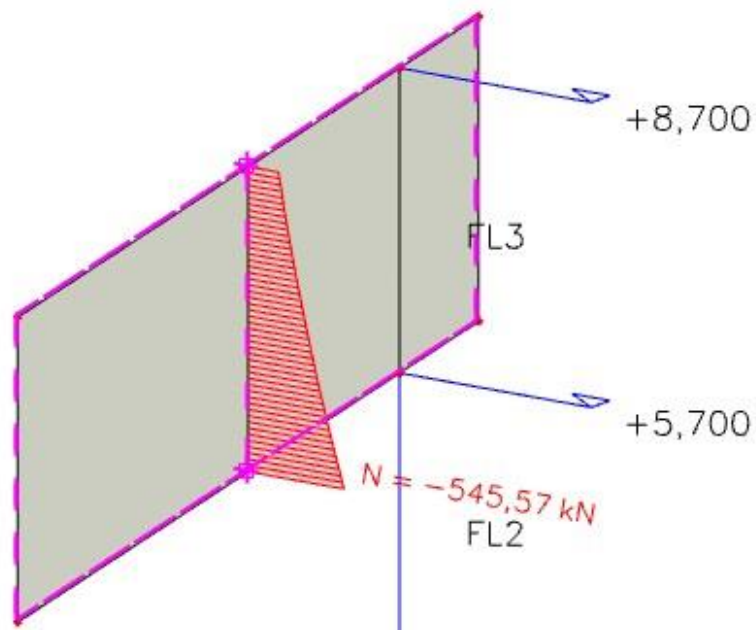
### 8.1. Rezultati proračuna

#### 8.1.1. Visokostijeni nosač promatran kao zid u 3d modelu:

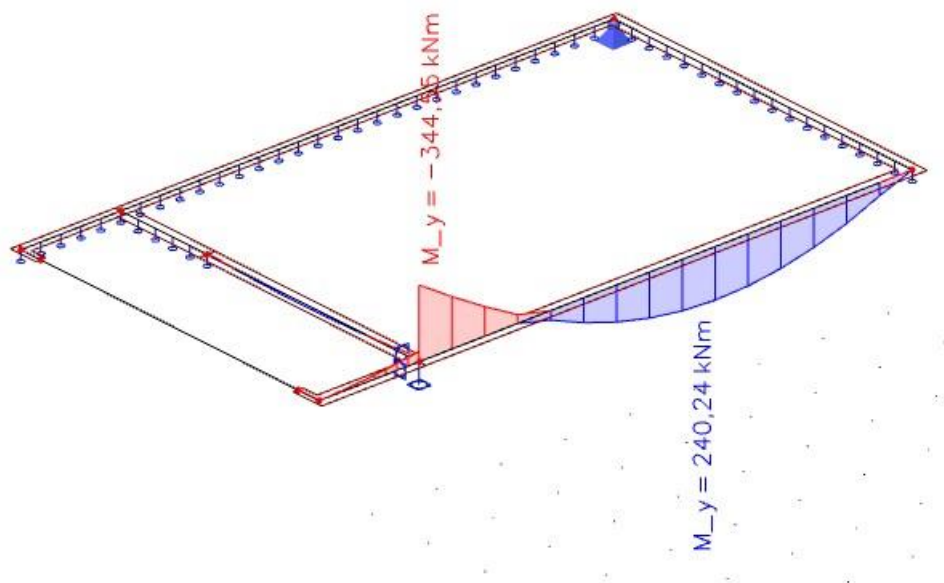
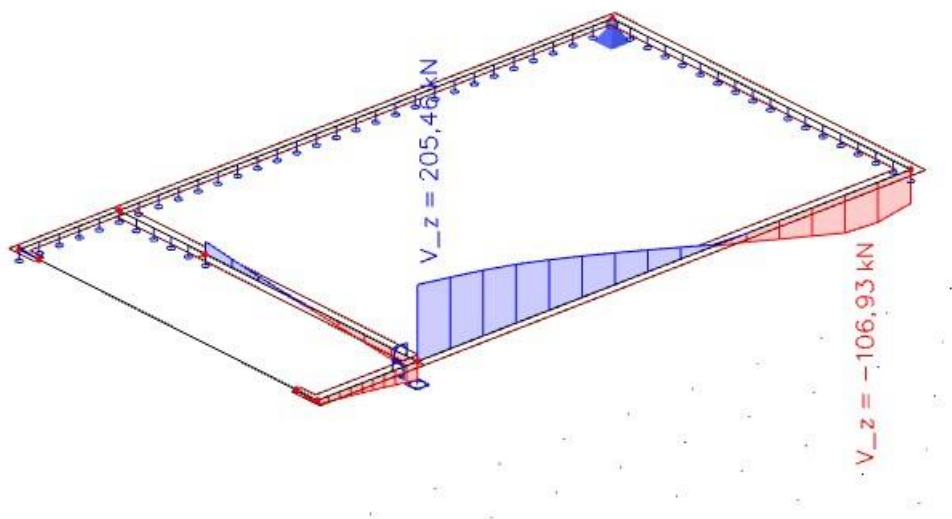
Kombinacija GSN SY (potres)



Slika 8.2. Moment savijanja  $M_z$  (kNm)

Slika 8.3. Poprečna sila  $V_z$  (kN)Slika 8.4. Uzdužna sila  $N$  (kN)

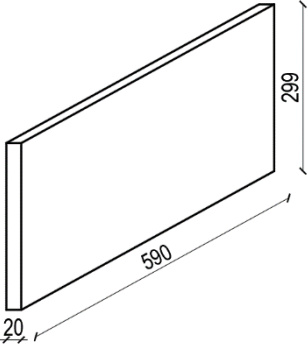
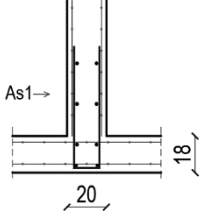
## 8.1.2. Visokostijeni nosač promatran kao greda u 2d modelu ploče:

Slika 8.5. Moment savijanja  $M_y$  (kNm)Slika 8.6. Poprečna sila  $V_z$  (kN)



## 8.2. Dimenzioniranje visokostijenog nosača

- Polje:

|                                                                                                                                                                              |                                                                                                                                                                                                                                                                                                                                                                                                                                                                                                                                                                                                                                                                                                                                                      |                    |                                                                                    |    |          |        |    |                                      |       |    |          |        |    |                       |        |     |                       |      |    |                       |      |   |                       |     |   |                        |        |     |                           |         |     |                       |       |  |                                                                                                                                                                                                                                                                                                                                                                                                                                                                                                                                                                                                                                                                                                                                                           |  |                |  |  |                       |      |                    |                       |       |                    |                              |  |  |          |       |   |          |       |   |          |       |  |          |       |  |                       |      |                 |                       |      |                 |                          |      |
|------------------------------------------------------------------------------------------------------------------------------------------------------------------------------|------------------------------------------------------------------------------------------------------------------------------------------------------------------------------------------------------------------------------------------------------------------------------------------------------------------------------------------------------------------------------------------------------------------------------------------------------------------------------------------------------------------------------------------------------------------------------------------------------------------------------------------------------------------------------------------------------------------------------------------------------|--------------------|------------------------------------------------------------------------------------|----|----------|--------|----|--------------------------------------|-------|----|----------|--------|----|-----------------------|--------|-----|-----------------------|------|----|-----------------------|------|---|-----------------------|-----|---|------------------------|--------|-----|---------------------------|---------|-----|-----------------------|-------|--|-----------------------------------------------------------------------------------------------------------------------------------------------------------------------------------------------------------------------------------------------------------------------------------------------------------------------------------------------------------------------------------------------------------------------------------------------------------------------------------------------------------------------------------------------------------------------------------------------------------------------------------------------------------------------------------------------------------------------------------------------------------|--|----------------|--|--|-----------------------|------|--------------------|-----------------------|-------|--------------------|------------------------------|--|--|----------|-------|---|----------|-------|---|----------|-------|--|----------|-------|--|-----------------------|------|-----------------|-----------------------|------|-----------------|--------------------------|------|
| Uobičajena kombinacija<br><br><b>C 30/37</b><br>$f_{cd}=30/1.5=20.0$<br>MPa<br><b>B 500B</b><br>$f_{yd}=500/1.15=434.$<br>8 MPa<br><br><b><math>M_{Ed}=240,21</math> kNm</b> |                                                                                                                                                                                                                                                                                                                                                                                                                                                                                                                                                                                                                                                                     |                    |  |    |          |        |    |                                      |       |    |          |        |    |                       |        |     |                       |      |    |                       |      |   |                       |     |   |                        |        |     |                           |         |     |                       |       |  |                                                                                                                                                                                                                                                                                                                                                                                                                                                                                                                                                                                                                                                                                                                                                           |  |                |  |  |                       |      |                    |                       |       |                    |                              |  |  |          |       |   |          |       |   |          |       |  |          |       |  |                       |      |                 |                       |      |                 |                          |      |
|                                                                                                                                                                              | <table border="0"> <tr><td><b>b</b></td><td>20,00</td><td>cm</td></tr> <tr><td><b>h</b></td><td>300,00</td><td>cm</td></tr> <tr><td><b>d<sub>1</sub> (d<sub>2</sub>)</b></td><td>51,00</td><td>cm</td></tr> <tr><td><b>d</b></td><td>249,00</td><td>cm</td></tr> <tr><td><b>M<sub>Ed</sub></b></td><td>240,21</td><td>kNm</td></tr> <tr><td><b>N<sub>Ed</sub></b></td><td>0,00</td><td>kN</td></tr> <tr><td><b>ε<sub>s1</sub></b></td><td>10,0</td><td>‰</td></tr> <tr><td><b>ε<sub>c2</sub></b></td><td>0,2</td><td>‰</td></tr> <tr><td><b>M<sub>sds</sub></b></td><td>240,21</td><td>kNm</td></tr> <tr><td><b>M<sub>Rd,lim</sub></b></td><td>3915,50</td><td>kNm</td></tr> <tr><td><b>μ<sub>sd</sub></b></td><td>0,010</td><td></td></tr> </table> | <b>b</b>           | 20,00                                                                              | cm | <b>h</b> | 300,00 | cm | <b>d<sub>1</sub> (d<sub>2</sub>)</b> | 51,00 | cm | <b>d</b> | 249,00 | cm | <b>M<sub>Ed</sub></b> | 240,21 | kNm | <b>N<sub>Ed</sub></b> | 0,00 | kN | <b>ε<sub>s1</sub></b> | 10,0 | ‰ | <b>ε<sub>c2</sub></b> | 0,2 | ‰ | <b>M<sub>sds</sub></b> | 240,21 | kNm | <b>M<sub>Rd,lim</sub></b> | 3915,50 | kNm | <b>μ<sub>sd</sub></b> | 0,010 |  | <table border="0"> <tr><td><b>C 30/37</b></td><td></td><td></td></tr> <tr><td><b>f<sub>cd</sub></b></td><td>2,00</td><td>kN/cm<sup>2</sup></td></tr> <tr><td><b>f<sub>yd</sub></b></td><td>43,48</td><td>kN/cm<sup>2</sup></td></tr> <tr><td colspan="3"><b>Jednostruko armiranje</b></td></tr> <tr><td><b>ω</b></td><td>0,226</td><td>%</td></tr> <tr><td><b>ρ</b></td><td>0,600</td><td>%</td></tr> <tr><td><b>ξ</b></td><td>0,057</td><td></td></tr> <tr><td><b>ζ</b></td><td>0,981</td><td></td></tr> <tr><td><b>A<sub>s1</sub></b></td><td>2,26</td><td>cm<sup>2</sup></td></tr> <tr><td><b>A<sub>s2</sub></b></td><td>0,00</td><td>cm<sup>2</sup></td></tr> <tr><td><b>A<sub>s,min</sub></b></td><td>7,47</td><td>cm<sup>2</sup></td></tr> </table> |  | <b>C 30/37</b> |  |  | <b>f<sub>cd</sub></b> | 2,00 | kN/cm <sup>2</sup> | <b>f<sub>yd</sub></b> | 43,48 | kN/cm <sup>2</sup> | <b>Jednostruko armiranje</b> |  |  | <b>ω</b> | 0,226 | % | <b>ρ</b> | 0,600 | % | <b>ξ</b> | 0,057 |  | <b>ζ</b> | 0,981 |  | <b>A<sub>s1</sub></b> | 2,26 | cm <sup>2</sup> | <b>A<sub>s2</sub></b> | 0,00 | cm <sup>2</sup> | <b>A<sub>s,min</sub></b> | 7,47 |
| <b>b</b>                                                                                                                                                                     | 20,00                                                                                                                                                                                                                                                                                                                                                                                                                                                                                                                                                                                                                                                                                                                                                | cm                 |                                                                                    |    |          |        |    |                                      |       |    |          |        |    |                       |        |     |                       |      |    |                       |      |   |                       |     |   |                        |        |     |                           |         |     |                       |       |  |                                                                                                                                                                                                                                                                                                                                                                                                                                                                                                                                                                                                                                                                                                                                                           |  |                |  |  |                       |      |                    |                       |       |                    |                              |  |  |          |       |   |          |       |   |          |       |  |          |       |  |                       |      |                 |                       |      |                 |                          |      |
| <b>h</b>                                                                                                                                                                     | 300,00                                                                                                                                                                                                                                                                                                                                                                                                                                                                                                                                                                                                                                                                                                                                               | cm                 |                                                                                    |    |          |        |    |                                      |       |    |          |        |    |                       |        |     |                       |      |    |                       |      |   |                       |     |   |                        |        |     |                           |         |     |                       |       |  |                                                                                                                                                                                                                                                                                                                                                                                                                                                                                                                                                                                                                                                                                                                                                           |  |                |  |  |                       |      |                    |                       |       |                    |                              |  |  |          |       |   |          |       |   |          |       |  |          |       |  |                       |      |                 |                       |      |                 |                          |      |
| <b>d<sub>1</sub> (d<sub>2</sub>)</b>                                                                                                                                         | 51,00                                                                                                                                                                                                                                                                                                                                                                                                                                                                                                                                                                                                                                                                                                                                                | cm                 |                                                                                    |    |          |        |    |                                      |       |    |          |        |    |                       |        |     |                       |      |    |                       |      |   |                       |     |   |                        |        |     |                           |         |     |                       |       |  |                                                                                                                                                                                                                                                                                                                                                                                                                                                                                                                                                                                                                                                                                                                                                           |  |                |  |  |                       |      |                    |                       |       |                    |                              |  |  |          |       |   |          |       |   |          |       |  |          |       |  |                       |      |                 |                       |      |                 |                          |      |
| <b>d</b>                                                                                                                                                                     | 249,00                                                                                                                                                                                                                                                                                                                                                                                                                                                                                                                                                                                                                                                                                                                                               | cm                 |                                                                                    |    |          |        |    |                                      |       |    |          |        |    |                       |        |     |                       |      |    |                       |      |   |                       |     |   |                        |        |     |                           |         |     |                       |       |  |                                                                                                                                                                                                                                                                                                                                                                                                                                                                                                                                                                                                                                                                                                                                                           |  |                |  |  |                       |      |                    |                       |       |                    |                              |  |  |          |       |   |          |       |   |          |       |  |          |       |  |                       |      |                 |                       |      |                 |                          |      |
| <b>M<sub>Ed</sub></b>                                                                                                                                                        | 240,21                                                                                                                                                                                                                                                                                                                                                                                                                                                                                                                                                                                                                                                                                                                                               | kNm                |                                                                                    |    |          |        |    |                                      |       |    |          |        |    |                       |        |     |                       |      |    |                       |      |   |                       |     |   |                        |        |     |                           |         |     |                       |       |  |                                                                                                                                                                                                                                                                                                                                                                                                                                                                                                                                                                                                                                                                                                                                                           |  |                |  |  |                       |      |                    |                       |       |                    |                              |  |  |          |       |   |          |       |   |          |       |  |          |       |  |                       |      |                 |                       |      |                 |                          |      |
| <b>N<sub>Ed</sub></b>                                                                                                                                                        | 0,00                                                                                                                                                                                                                                                                                                                                                                                                                                                                                                                                                                                                                                                                                                                                                 | kN                 |                                                                                    |    |          |        |    |                                      |       |    |          |        |    |                       |        |     |                       |      |    |                       |      |   |                       |     |   |                        |        |     |                           |         |     |                       |       |  |                                                                                                                                                                                                                                                                                                                                                                                                                                                                                                                                                                                                                                                                                                                                                           |  |                |  |  |                       |      |                    |                       |       |                    |                              |  |  |          |       |   |          |       |   |          |       |  |          |       |  |                       |      |                 |                       |      |                 |                          |      |
| <b>ε<sub>s1</sub></b>                                                                                                                                                        | 10,0                                                                                                                                                                                                                                                                                                                                                                                                                                                                                                                                                                                                                                                                                                                                                 | ‰                  |                                                                                    |    |          |        |    |                                      |       |    |          |        |    |                       |        |     |                       |      |    |                       |      |   |                       |     |   |                        |        |     |                           |         |     |                       |       |  |                                                                                                                                                                                                                                                                                                                                                                                                                                                                                                                                                                                                                                                                                                                                                           |  |                |  |  |                       |      |                    |                       |       |                    |                              |  |  |          |       |   |          |       |   |          |       |  |          |       |  |                       |      |                 |                       |      |                 |                          |      |
| <b>ε<sub>c2</sub></b>                                                                                                                                                        | 0,2                                                                                                                                                                                                                                                                                                                                                                                                                                                                                                                                                                                                                                                                                                                                                  | ‰                  |                                                                                    |    |          |        |    |                                      |       |    |          |        |    |                       |        |     |                       |      |    |                       |      |   |                       |     |   |                        |        |     |                           |         |     |                       |       |  |                                                                                                                                                                                                                                                                                                                                                                                                                                                                                                                                                                                                                                                                                                                                                           |  |                |  |  |                       |      |                    |                       |       |                    |                              |  |  |          |       |   |          |       |   |          |       |  |          |       |  |                       |      |                 |                       |      |                 |                          |      |
| <b>M<sub>sds</sub></b>                                                                                                                                                       | 240,21                                                                                                                                                                                                                                                                                                                                                                                                                                                                                                                                                                                                                                                                                                                                               | kNm                |                                                                                    |    |          |        |    |                                      |       |    |          |        |    |                       |        |     |                       |      |    |                       |      |   |                       |     |   |                        |        |     |                           |         |     |                       |       |  |                                                                                                                                                                                                                                                                                                                                                                                                                                                                                                                                                                                                                                                                                                                                                           |  |                |  |  |                       |      |                    |                       |       |                    |                              |  |  |          |       |   |          |       |   |          |       |  |          |       |  |                       |      |                 |                       |      |                 |                          |      |
| <b>M<sub>Rd,lim</sub></b>                                                                                                                                                    | 3915,50                                                                                                                                                                                                                                                                                                                                                                                                                                                                                                                                                                                                                                                                                                                                              | kNm                |                                                                                    |    |          |        |    |                                      |       |    |          |        |    |                       |        |     |                       |      |    |                       |      |   |                       |     |   |                        |        |     |                           |         |     |                       |       |  |                                                                                                                                                                                                                                                                                                                                                                                                                                                                                                                                                                                                                                                                                                                                                           |  |                |  |  |                       |      |                    |                       |       |                    |                              |  |  |          |       |   |          |       |   |          |       |  |          |       |  |                       |      |                 |                       |      |                 |                          |      |
| <b>μ<sub>sd</sub></b>                                                                                                                                                        | 0,010                                                                                                                                                                                                                                                                                                                                                                                                                                                                                                                                                                                                                                                                                                                                                |                    |                                                                                    |    |          |        |    |                                      |       |    |          |        |    |                       |        |     |                       |      |    |                       |      |   |                       |     |   |                        |        |     |                           |         |     |                       |       |  |                                                                                                                                                                                                                                                                                                                                                                                                                                                                                                                                                                                                                                                                                                                                                           |  |                |  |  |                       |      |                    |                       |       |                    |                              |  |  |          |       |   |          |       |   |          |       |  |          |       |  |                       |      |                 |                       |      |                 |                          |      |
| <b>C 30/37</b>                                                                                                                                                               |                                                                                                                                                                                                                                                                                                                                                                                                                                                                                                                                                                                                                                                                                                                                                      |                    |                                                                                    |    |          |        |    |                                      |       |    |          |        |    |                       |        |     |                       |      |    |                       |      |   |                       |     |   |                        |        |     |                           |         |     |                       |       |  |                                                                                                                                                                                                                                                                                                                                                                                                                                                                                                                                                                                                                                                                                                                                                           |  |                |  |  |                       |      |                    |                       |       |                    |                              |  |  |          |       |   |          |       |   |          |       |  |          |       |  |                       |      |                 |                       |      |                 |                          |      |
| <b>f<sub>cd</sub></b>                                                                                                                                                        | 2,00                                                                                                                                                                                                                                                                                                                                                                                                                                                                                                                                                                                                                                                                                                                                                 | kN/cm <sup>2</sup> |                                                                                    |    |          |        |    |                                      |       |    |          |        |    |                       |        |     |                       |      |    |                       |      |   |                       |     |   |                        |        |     |                           |         |     |                       |       |  |                                                                                                                                                                                                                                                                                                                                                                                                                                                                                                                                                                                                                                                                                                                                                           |  |                |  |  |                       |      |                    |                       |       |                    |                              |  |  |          |       |   |          |       |   |          |       |  |          |       |  |                       |      |                 |                       |      |                 |                          |      |
| <b>f<sub>yd</sub></b>                                                                                                                                                        | 43,48                                                                                                                                                                                                                                                                                                                                                                                                                                                                                                                                                                                                                                                                                                                                                | kN/cm <sup>2</sup> |                                                                                    |    |          |        |    |                                      |       |    |          |        |    |                       |        |     |                       |      |    |                       |      |   |                       |     |   |                        |        |     |                           |         |     |                       |       |  |                                                                                                                                                                                                                                                                                                                                                                                                                                                                                                                                                                                                                                                                                                                                                           |  |                |  |  |                       |      |                    |                       |       |                    |                              |  |  |          |       |   |          |       |   |          |       |  |          |       |  |                       |      |                 |                       |      |                 |                          |      |
| <b>Jednostruko armiranje</b>                                                                                                                                                 |                                                                                                                                                                                                                                                                                                                                                                                                                                                                                                                                                                                                                                                                                                                                                      |                    |                                                                                    |    |          |        |    |                                      |       |    |          |        |    |                       |        |     |                       |      |    |                       |      |   |                       |     |   |                        |        |     |                           |         |     |                       |       |  |                                                                                                                                                                                                                                                                                                                                                                                                                                                                                                                                                                                                                                                                                                                                                           |  |                |  |  |                       |      |                    |                       |       |                    |                              |  |  |          |       |   |          |       |   |          |       |  |          |       |  |                       |      |                 |                       |      |                 |                          |      |
| <b>ω</b>                                                                                                                                                                     | 0,226                                                                                                                                                                                                                                                                                                                                                                                                                                                                                                                                                                                                                                                                                                                                                | %                  |                                                                                    |    |          |        |    |                                      |       |    |          |        |    |                       |        |     |                       |      |    |                       |      |   |                       |     |   |                        |        |     |                           |         |     |                       |       |  |                                                                                                                                                                                                                                                                                                                                                                                                                                                                                                                                                                                                                                                                                                                                                           |  |                |  |  |                       |      |                    |                       |       |                    |                              |  |  |          |       |   |          |       |   |          |       |  |          |       |  |                       |      |                 |                       |      |                 |                          |      |
| <b>ρ</b>                                                                                                                                                                     | 0,600                                                                                                                                                                                                                                                                                                                                                                                                                                                                                                                                                                                                                                                                                                                                                | %                  |                                                                                    |    |          |        |    |                                      |       |    |          |        |    |                       |        |     |                       |      |    |                       |      |   |                       |     |   |                        |        |     |                           |         |     |                       |       |  |                                                                                                                                                                                                                                                                                                                                                                                                                                                                                                                                                                                                                                                                                                                                                           |  |                |  |  |                       |      |                    |                       |       |                    |                              |  |  |          |       |   |          |       |   |          |       |  |          |       |  |                       |      |                 |                       |      |                 |                          |      |
| <b>ξ</b>                                                                                                                                                                     | 0,057                                                                                                                                                                                                                                                                                                                                                                                                                                                                                                                                                                                                                                                                                                                                                |                    |                                                                                    |    |          |        |    |                                      |       |    |          |        |    |                       |        |     |                       |      |    |                       |      |   |                       |     |   |                        |        |     |                           |         |     |                       |       |  |                                                                                                                                                                                                                                                                                                                                                                                                                                                                                                                                                                                                                                                                                                                                                           |  |                |  |  |                       |      |                    |                       |       |                    |                              |  |  |          |       |   |          |       |   |          |       |  |          |       |  |                       |      |                 |                       |      |                 |                          |      |
| <b>ζ</b>                                                                                                                                                                     | 0,981                                                                                                                                                                                                                                                                                                                                                                                                                                                                                                                                                                                                                                                                                                                                                |                    |                                                                                    |    |          |        |    |                                      |       |    |          |        |    |                       |        |     |                       |      |    |                       |      |   |                       |     |   |                        |        |     |                           |         |     |                       |       |  |                                                                                                                                                                                                                                                                                                                                                                                                                                                                                                                                                                                                                                                                                                                                                           |  |                |  |  |                       |      |                    |                       |       |                    |                              |  |  |          |       |   |          |       |   |          |       |  |          |       |  |                       |      |                 |                       |      |                 |                          |      |
| <b>A<sub>s1</sub></b>                                                                                                                                                        | 2,26                                                                                                                                                                                                                                                                                                                                                                                                                                                                                                                                                                                                                                                                                                                                                 | cm <sup>2</sup>    |                                                                                    |    |          |        |    |                                      |       |    |          |        |    |                       |        |     |                       |      |    |                       |      |   |                       |     |   |                        |        |     |                           |         |     |                       |       |  |                                                                                                                                                                                                                                                                                                                                                                                                                                                                                                                                                                                                                                                                                                                                                           |  |                |  |  |                       |      |                    |                       |       |                    |                              |  |  |          |       |   |          |       |   |          |       |  |          |       |  |                       |      |                 |                       |      |                 |                          |      |
| <b>A<sub>s2</sub></b>                                                                                                                                                        | 0,00                                                                                                                                                                                                                                                                                                                                                                                                                                                                                                                                                                                                                                                                                                                                                 | cm <sup>2</sup>    |                                                                                    |    |          |        |    |                                      |       |    |          |        |    |                       |        |     |                       |      |    |                       |      |   |                       |     |   |                        |        |     |                           |         |     |                       |       |  |                                                                                                                                                                                                                                                                                                                                                                                                                                                                                                                                                                                                                                                                                                                                                           |  |                |  |  |                       |      |                    |                       |       |                    |                              |  |  |          |       |   |          |       |   |          |       |  |          |       |  |                       |      |                 |                       |      |                 |                          |      |
| <b>A<sub>s,min</sub></b>                                                                                                                                                     | 7,47                                                                                                                                                                                                                                                                                                                                                                                                                                                                                                                                                                                                                                                                                                                                                 | cm <sup>2</sup>    |                                                                                    |    |          |        |    |                                      |       |    |          |        |    |                       |        |     |                       |      |    |                       |      |   |                       |     |   |                        |        |     |                           |         |     |                       |       |  |                                                                                                                                                                                                                                                                                                                                                                                                                                                                                                                                                                                                                                                                                                                                                           |  |                |  |  |                       |      |                    |                       |       |                    |                              |  |  |          |       |   |          |       |   |          |       |  |          |       |  |                       |      |                 |                       |      |                 |                          |      |

Odabrana armatura donje zone →  $A_{s1}$ : **4Φ20**( $A_{s1}=12,57$  cm<sup>2</sup>)

Napomena: Glavnu horizontalnu armaturu zidnog nosača treba postaviti na visini 0.15 H, odnosno 0.15 L, kada je  $H > L$ .

**Ležaj:**

Uobičajena kombinacija

**C 30/37**

$f_{cd}=30/1.5=20.0$

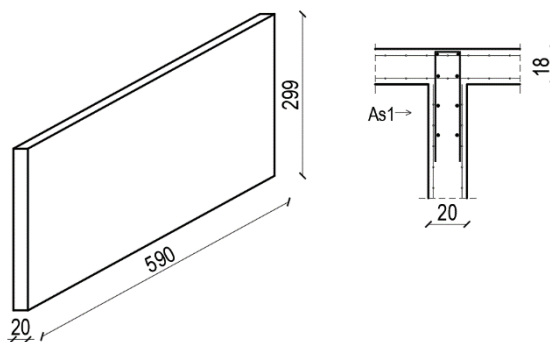
MPa

**B 500B**

$f_{yd}=500/1.15=434.$

8 MPa

$M_{Ed}=344,55 \text{ kNm}$



|                                      |         |     |                              |                        |
|--------------------------------------|---------|-----|------------------------------|------------------------|
| <b>b</b>                             | 20,00   | cm  | <b>C 30/37</b>               |                        |
| <b>h</b>                             | 300,00  | cm  | $f_{cd}$                     | 2,00 $\text{kN/cm}^2$  |
| <b>d<sub>1</sub> (d<sub>2</sub>)</b> | 51,00   | cm  | $f_{yd}$                     | 43,48 $\text{kN/cm}^2$ |
| <b>d</b>                             | 249,00  | cm  | <b>Jednostruko armiranje</b> |                        |
| <b>M<sub>Ed</sub></b>                | 344,55  | kNm | $\omega$                     | 4,225 %                |
| <b>N<sub>Ed</sub></b>                | 0,00    | kN  | $\rho$                       | 0,700 %                |
| <b><math>\epsilon_{s1}</math></b>    | 10,0    | ‰   | $\xi$                        | 0,065                  |
| <b><math>\epsilon_{c2}</math></b>    | 1,1     | ‰   | $\zeta$                      | 0,977                  |
| <b>M<sub>sds</sub></b>               | 855,54  | kNm | <b>A<sub>s1</sub></b>        | 3,26 $\text{cm}^2$     |
| <b>M<sub>Rd,lim</sub></b>            | 3915,50 | kNm | <b>A<sub>s2</sub></b>        | 0,00 $\text{cm}^2$     |
| <b><math>\mu_{sd}</math></b>         | 0,014   |     | <b>A<sub>s,min</sub></b>     | 7,47 $\text{cm}^2$     |

Odabrana armatura gornje zone  $\rightarrow A_{s1}$ : **4 $\Phi$ 16 (A<sub>s1</sub>=8,04 cm<sup>2</sup>)**

Napomena: Glavnu horizontalnu armaturu zidnog nosača treba postaviti na visini 0.15 H, odnosno 0.15 L, kada je H > L.

Minimalna površina armature za zidove :

$$A_{s1,min} = 0,0015 \cdot 100 \cdot 17 = 2,55 \text{ cm}^2$$

**Odabrana armatura : obostrano Q-283 (A<sub>s</sub> = 5, 66 cm<sup>2</sup> /m)**

**Dimenzioniranje na poprečnu silu:**

|                                                                                                                            |                 |        |                         |                                     |                                     |                         |
|----------------------------------------------------------------------------------------------------------------------------|-----------------|--------|-------------------------|-------------------------------------|-------------------------------------|-------------------------|
| Uobičajena kombinacija<br><br><b><math>V_{Ed}=205,46\text{kN}</math></b><br><br>$A_{sl} = 4\emptyset16 = 8,04\text{ cm}^2$ | $b_w$           | 20,00  | cm                      | $f_{ck}$                            | 30,00                               | MPa                     |
|                                                                                                                            | $h$             | 300,00 | cm                      | $f_{cd}$                            | 2,00                                | $\text{kN}/\text{cm}^2$ |
|                                                                                                                            | $d_1 (d_2)$     | 51,00  | cm                      | $f_{yd}, f_{yw,d}$                  | 43,48                               | $\text{kN}/\text{cm}^2$ |
|                                                                                                                            | $d$             | 249,00 | cm                      | $\rho_{min}$                        | 0,0011                              |                         |
|                                                                                                                            | $A_{sl}$        | 8,04   | $\text{cm}^2$           | $m$                                 | 2                                   |                         |
|                                                                                                                            | $V_{Ed,max}$    | 205,46 | kN                      | $V_{Ed,max}/V_{rd,max}$             | 0,08                                |                         |
|                                                                                                                            | $N_{sd}$        | 0,00   | kN                      | $s_{w,max}$                         | 30,0                                | cm                      |
|                                                                                                                            | $k$             | 1,28   |                         | $A_{sw,min}$                        | 0,330                               | $\text{cm}^2$           |
|                                                                                                                            | $\rho_l$        | 0,0016 |                         | $A_{sw,od}$                         | 0,50                                | $\text{cm}^2$           |
|                                                                                                                            | $v_{min}$       | 0,28   |                         | <b>Minimalna poprečna armatura:</b> |                                     |                         |
|                                                                                                                            | $\sigma_{cp}$   | 0,00   | $\text{kN}/\text{cm}^2$ | Odabrano:                           | <b><math>\emptyset8 / 30</math></b> |                         |
|                                                                                                                            | $V_{Rd,c}$      | 129,8  | kN                      | $V_{wd}$                            | 326,52                              | kN                      |
|                                                                                                                            | $V_{Rd,c,min}$  | 138,8  | kN                      |                                     |                                     |                         |
|                                                                                                                            | $V_{Rd,c,mjer}$ | 138,8  | kN                      |                                     |                                     |                         |
|                                                                                                                            | $v$             | 0,528  |                         |                                     |                                     |                         |
| $V_{Rd,max}$                                                                                                               | 2629,4          | kN     |                         |                                     |                                     |                         |

Odabrana poprečna armatura  $\emptyset8/30\text{ cm}$

## 9. PRORAČUN TEMELJNIH PLOČA

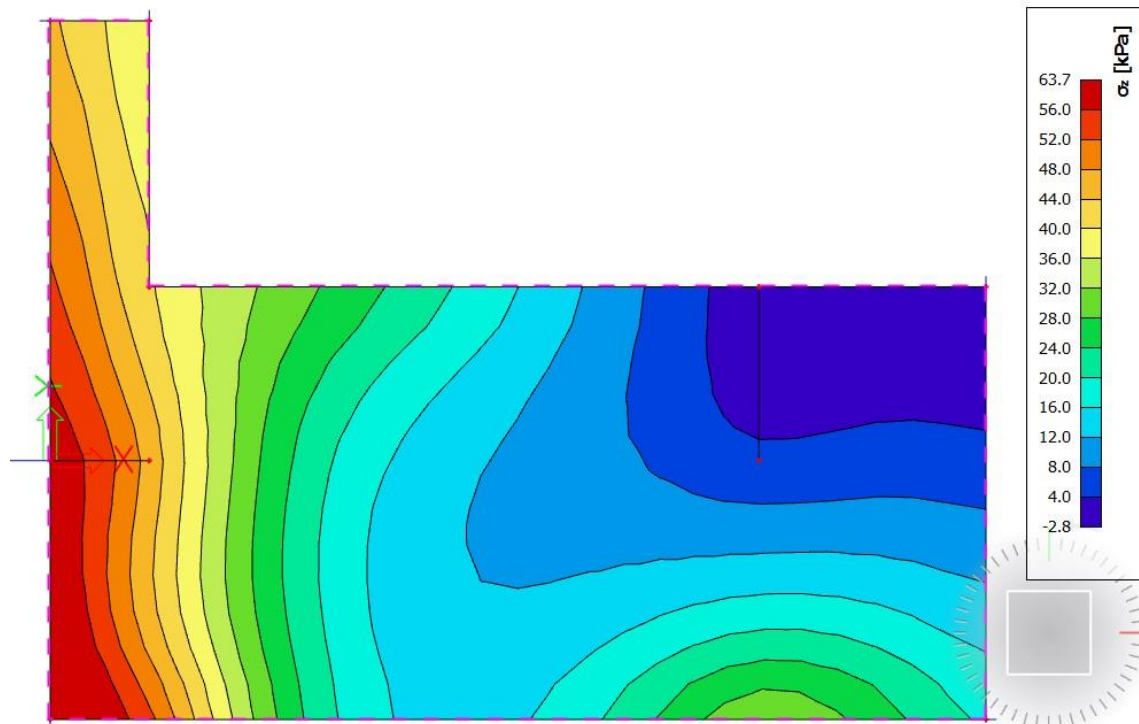
### 9.1. Rezultati proračuna temeljne ploče 1

#### 9.1.1. Kontaktna naprezanja

Koriste se rezultati od kratkotrajnog djelovanja i radne kombinacije opterećenja.

#### TEMELJNA PLOČA 1

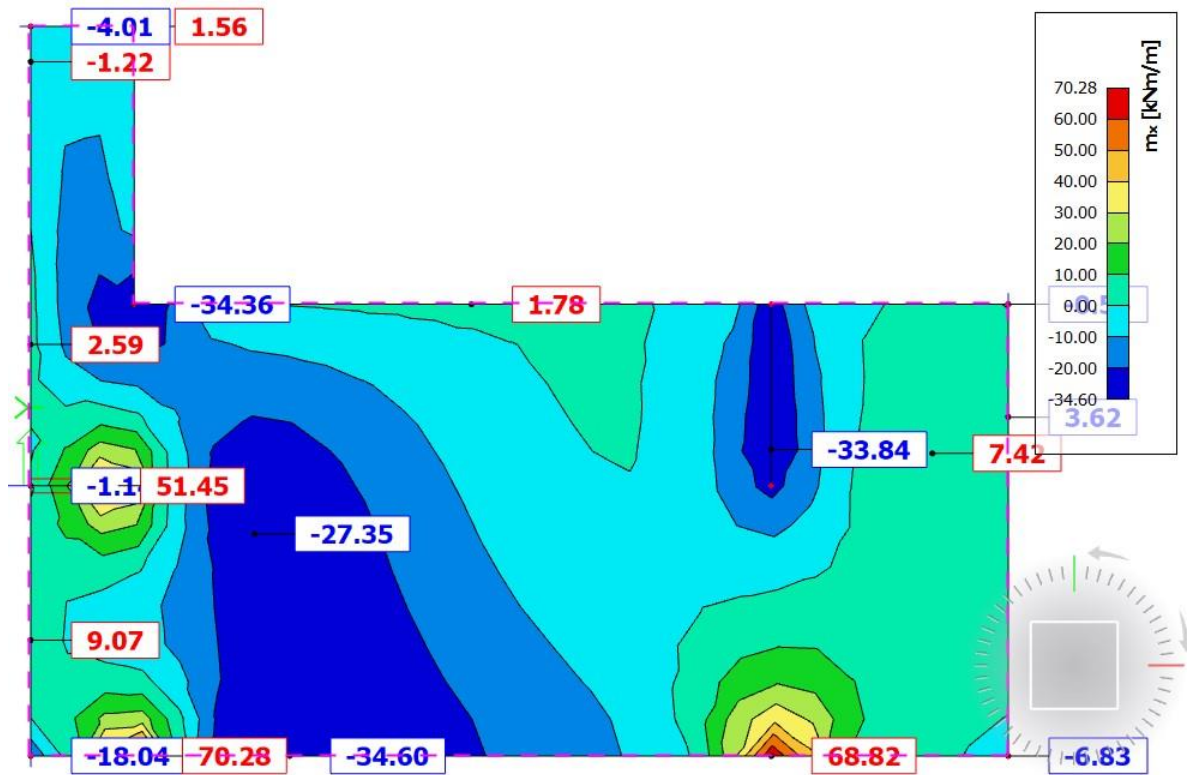
GSU : 1,0 g + 1,0 Dg +1,0 q



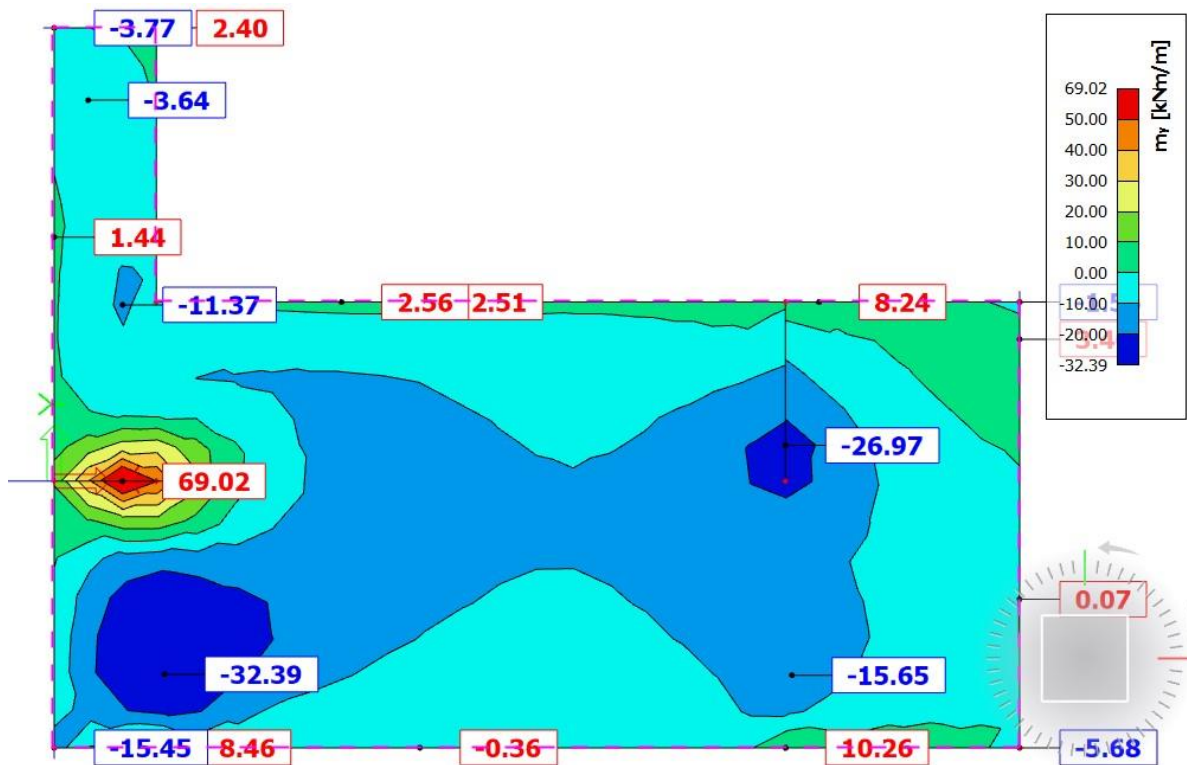
Slika 9.1. Kontaktna naprezanja temeljne ploče 1

Maksimalna naprezanja u tlu manja su od dopuštenih 500 kPa.

9.1.2. Rezultati proračuna



Slika 9.2. Momenti savijanja  $m_x$  (kNm/m) temeljne ploče 1



Slika 9.3. Momenti savijanja  $m_y$  (kNm/m) temeljne ploče 1

**9.1.3. Postupak dimenzioniranja:**

$$C\ 30/37 \quad f_{cd} = \frac{f_{ck}}{\gamma_c} = \frac{30}{1,5} = 20\ MPa; \quad f_{cd} = 2,0 \frac{kN}{cm^2}$$

$$B\ 500\ B \quad f_{yd} = \frac{f_{yk}}{\gamma_c} = \frac{500}{1,5} = 434,78\ MPa; \quad f_{yd} = 43,5 \frac{kN}{cm^2}$$

$$b = 100\text{cm}, \quad h = 40\text{cm}, \quad d = 35\text{cm}$$

$$A_{s1,min} = 0,15\% \cdot b \cdot d = 0,0015 \cdot 100 \cdot 35 = 5,25\text{cm}^2 \quad \text{odabrano minimalno Q-636}$$

$$GSN\ 2: 1,35 \cdot (G + G_{dod}) + 1,5 \cdot G_q$$

Gornja zona temeljne ploče 1:

$$M_{Ed,max} = 34,60\text{ kNm}$$

$$\mu_{Ed} = \frac{M_{Ed}}{bd^2 f_{cd}} = \frac{34,60 \cdot 100}{100 \cdot 35^2 \cdot 2,0} = 0,014$$

$$\text{Za } \varepsilon_{s1} = 10\text{‰}, \quad \varepsilon_{c2} = 0,7\text{‰}, \quad \zeta = 0,977 \quad \xi = 0,065$$

$$A_{s1} = \frac{M_{Ed}}{\zeta \cdot d \cdot f_{yd}} = \frac{34,60 \cdot 100}{0,977 \cdot 35 \cdot 43,5} = 2,33\text{cm}^2$$

**Odabrana armatura: Q -636**

Donja zona temeljne ploče 1:

$$M_{Ed,max} = 70,28\text{ kNm}$$

$$\mu_{Ed} = \frac{M_{Ed}}{bd^2 f_{cd}} = \frac{70,28 \cdot 100}{100 \cdot 35^2 \cdot 2,0} = 0,028$$

$$\text{Za } \varepsilon_{s1} = 10\text{‰}, \quad \varepsilon_{c2} = 1,00\text{‰}, \quad \zeta = 0,968 \quad \xi = 0,091$$

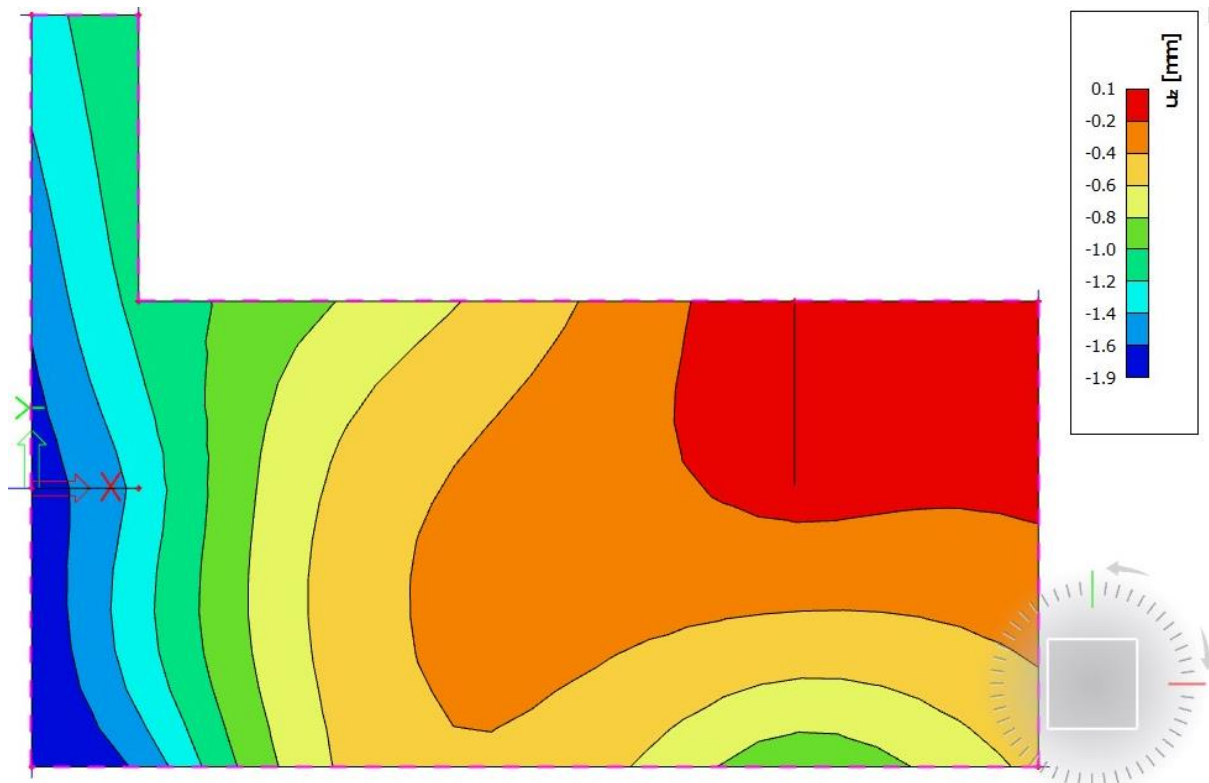
$$A_{s1} = \frac{M_{Ed}}{\zeta \cdot d \cdot f_{yd}} = \frac{70,28 \cdot 100}{0,968 \cdot 35 \cdot 43,5} = 4,68\text{cm}^2$$

**Odabrana armatura: Q -636**

#### 9.1.4. Kontrola graničnog stanja deformacija

Mjerodavni kratkotrajni progibi u ploči su dobiveni kroz numerički model. Koriste se rezultati od kratkotrajnog djelovanja i radne kombinacije opterećenja

GSU : 1,0 g + 1,0 Dg +1,0 q



Slika 9.4. Prikaz progiba uz (mm) temeljne ploče 1

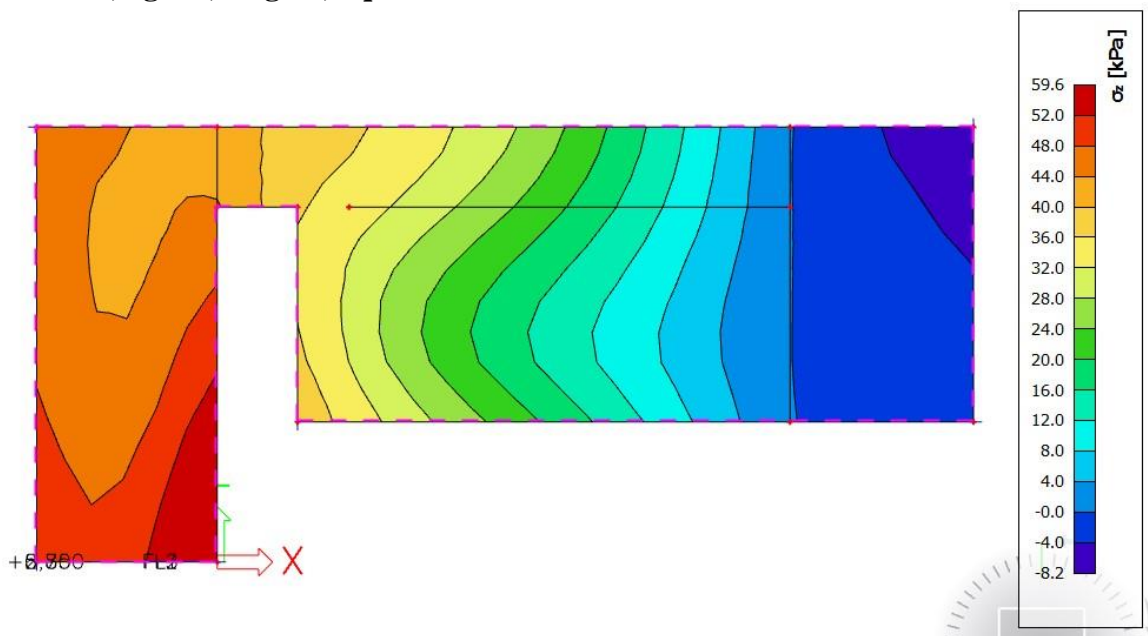
Granični progib :  $v_{lim} = L / 250 = 13200 / 250 = 44 \text{ mm} > 1,90 \text{ mm}$

Progibi temeljne ploče zadovoljavaju !

## 9.2. Rezultati proračuna temeljne ploče 2

### 9.2.1. Kontaktna napreznja

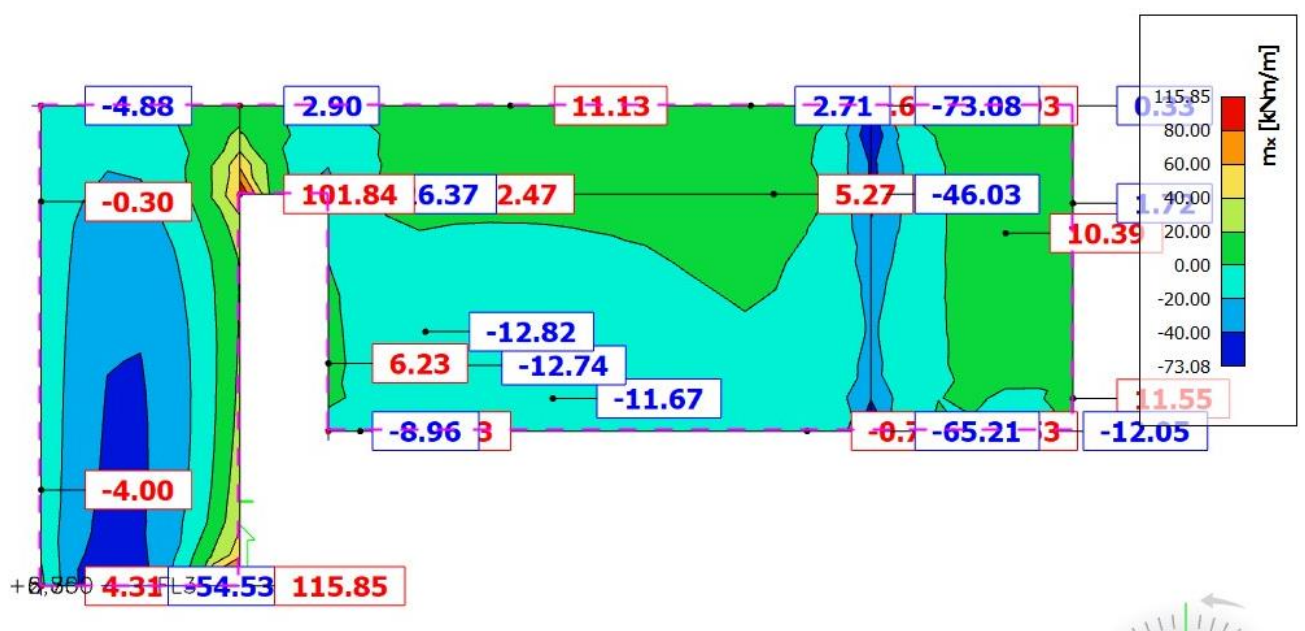
Koriste se rezultati od kratkotrajnog djelovanja i radne kombinacije opterećenja  
 GSU : 1,0 g + 1,0 Dg +1,0 q



Slika 9.5. Kontaktna napreznja temeljne ploče 2

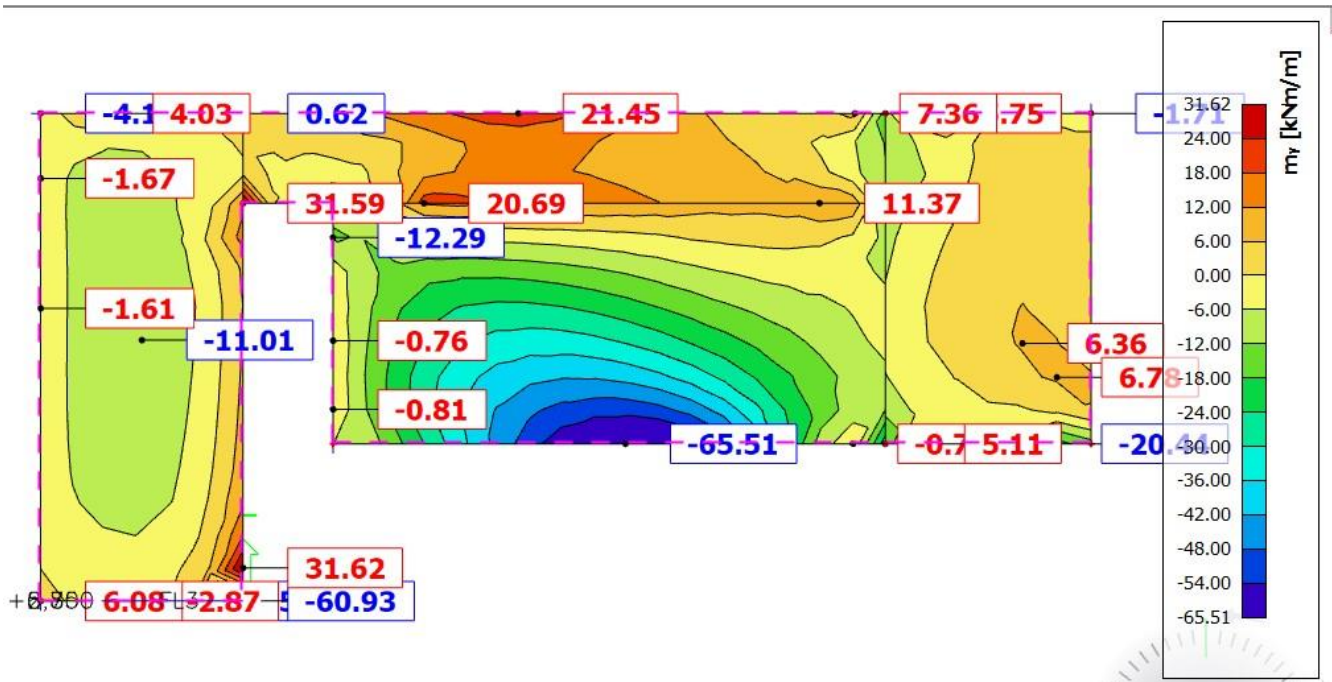
Maksimalna napreznja u tlu manja su od dopuštenih 500 kPa.

### 9.2.2. Rezultati proračuna



Slika 9.6. Momenti savijanja  $m_x$  (kNm/m) temeljne ploče 2



Slika 9.7. Momenti savijanja  $m_y$  (kNm/m) temeljne ploče 2

### 9.2.3. Postupak dimenzioniranja:

$$C\ 30/37 \quad f_{cd} = \frac{f_{ck}}{\gamma_c} = \frac{30}{1,5} = 20\ MPa; \quad f_{cd} = 2,0 \frac{kN}{cm^2}$$

$$B\ 500\ B \quad f_{yd} = \frac{f_{yk}}{\gamma_c} = \frac{500}{1,5} = 434,78\ MPa; \quad f_{yd} = 43,5 \frac{kN}{cm^2}$$

$$b = 100\ cm, \quad h = 40\ cm, \quad d = 35\ cm$$

$$A_{s1,min} = 0,15\% \cdot b \cdot d = 0,0015 \cdot 100 \cdot 35 = 5,25\ cm^2 \quad \text{odabrano minimalno Q-636}$$

$$GSN\ 2: 1,35 \cdot (G + G_{dod}) + 1,5 \cdot G_q$$

Gornja zona temeljne ploče 2:

$$M_{Ed,max} = 73,08\ kNm$$

$$\mu_{Ed} = \frac{M_{Ed}}{bd^2 f_{cd}} = \frac{73,08 \cdot 100}{100 \cdot 35^2 \cdot 2,0} = 0,0298$$

$$\text{Za } \varepsilon_{s1} = 10\text{‰}, \quad \varepsilon_{c2} = 1,0\text{‰}, \quad \zeta = 0,968 \quad \xi = 0,091$$

$$A_{s1} = \frac{M_{Ed}}{\zeta \cdot d \cdot f_{yd}} = \frac{73,08 \cdot 100}{0,968 \cdot 35 \cdot 43,5} = 4,96\ cm^2$$

**Odabrana armatura: Q - 636**

Donja zona temeljne ploče 1:

$$M_{Ed,max} = 115,85 \cdot (1/3) = 38,61 \text{ kNm}$$

$$\mu_{Ed} = \frac{M_{Ed}}{bd^2 f_{cd}} = \frac{38,61 \cdot 100}{100 \cdot 35^2 \cdot 2,0} = 0,016$$

$$\text{Za } \varepsilon_{s1} = 10\text{‰}, \quad \varepsilon_{c2} = 0,7\text{‰}, \quad \zeta = 0,977 \quad \xi = 0,065$$

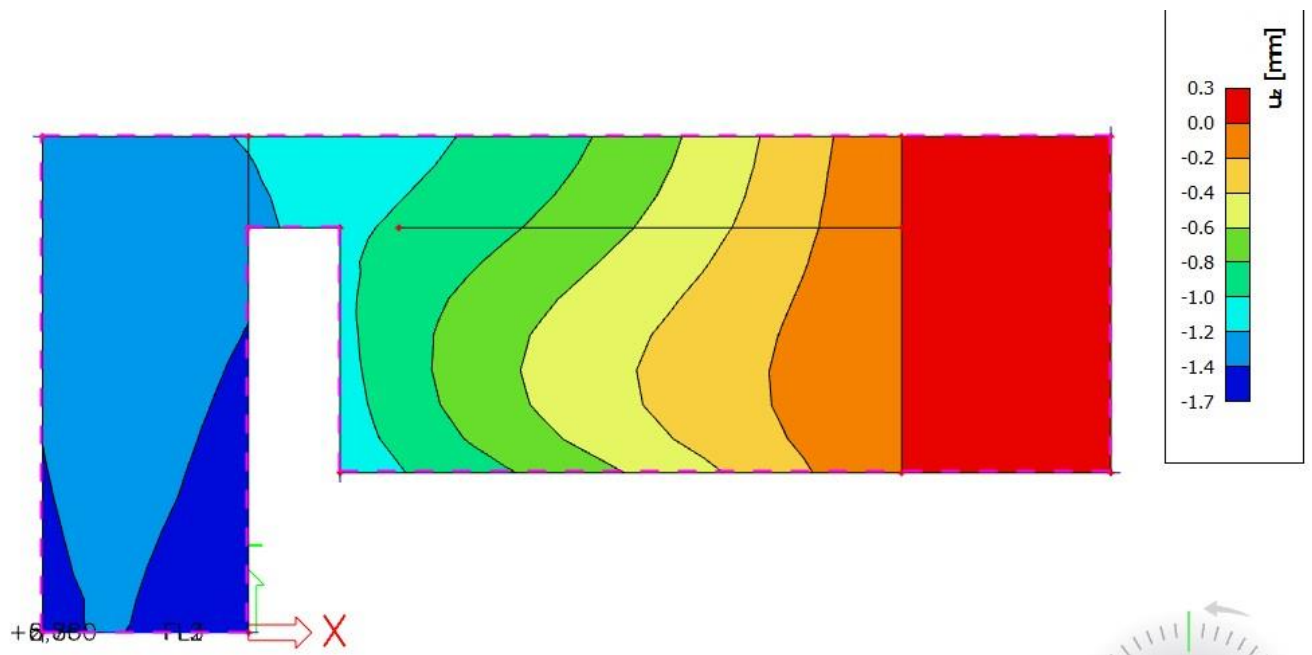
$$A_{S1} = \frac{M_{Ed}}{\zeta \cdot d \cdot f_{yd}} = \frac{38,61 \cdot 100}{0,977 \cdot 35 \cdot 43,5} = 2,60 \text{ cm}^2$$

### Odabrana armatura: Q -636

#### 9.2.4. Kontrola graničnog stanja deformacija

Mjerodavni kratkotrajni progibi u ploči su dobiveni kroz numerički model. Koriste se rezultati od kratkotrajnog djelovanja i radne kombinacije opterećenja

$$\text{GSU} : 1,0 g + 1,0 Dg + 1,0 q$$



Slika 9.7. Prikaz progiba  $U_z$  (mm) temeljne ploče 2

$$\text{Granični progib} : v_{lim} = L / 250 = 1320 / 250 = 44 \text{ mm} > 1,70 \text{ mm}$$

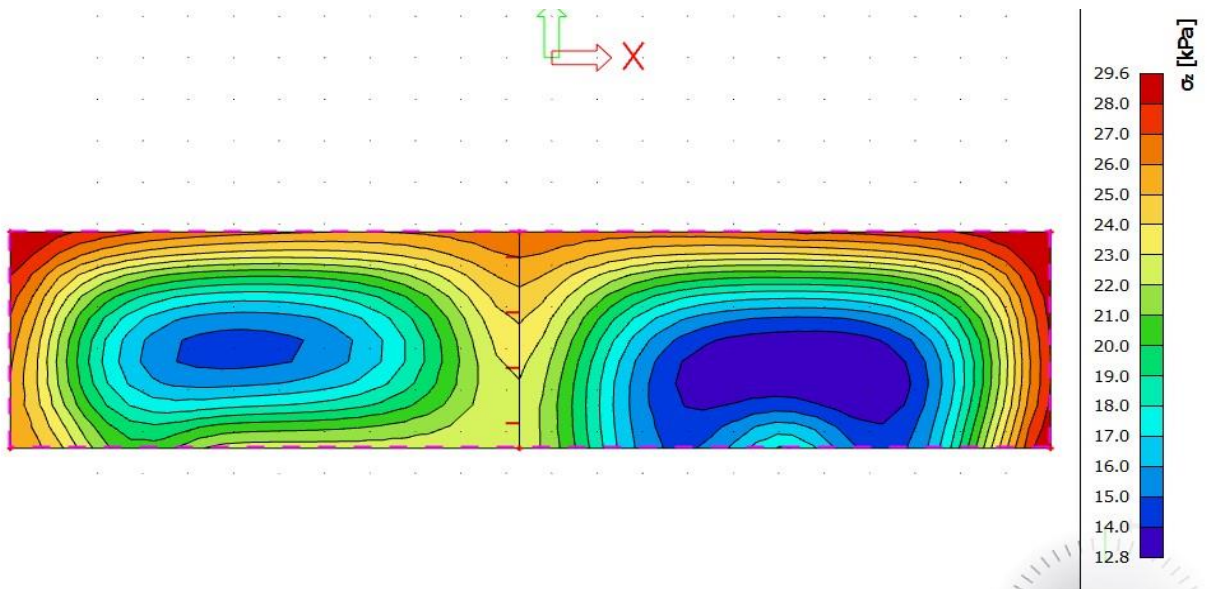
Progibi temeljne ploče zadovoljavaju !

### 9.3. Rezultati proračuna temeljne ploče 3 (pomoćni objekt)

#### 9.3.1. Kontaktna naprezanja

Koriste se rezultati od kratkotrajnog djelovanja i radne kombinacije opterećenja

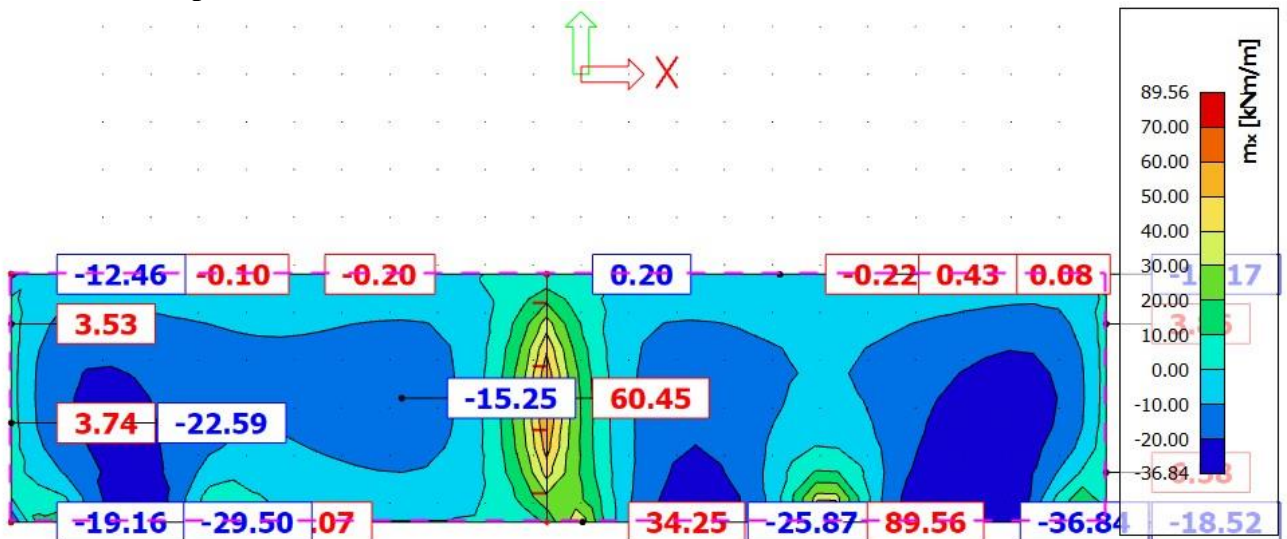
GSU : 1,0 g + 1,0 Dg +1,0 q



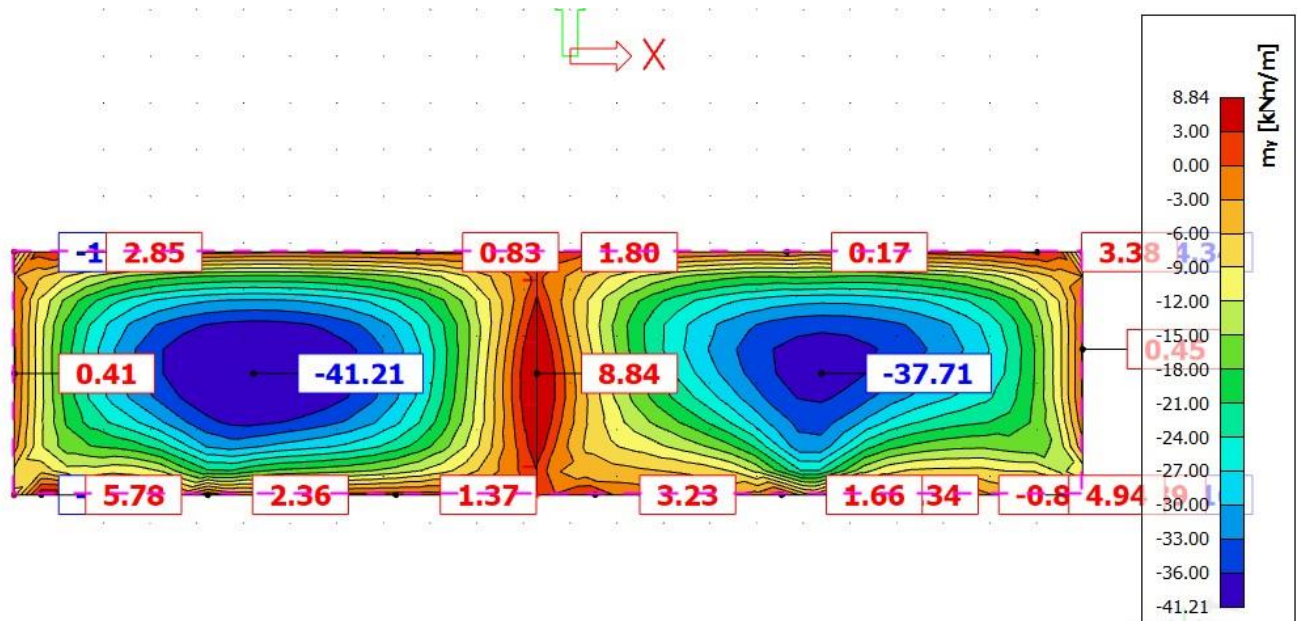
Slika 9.8. Kontaktna naprezanja temeljne ploče 2

Maksimalna naprezanja u tlu manja su od dopuštenih 500 kPa.

#### 9.3.2. Rezultati proračuna



Slika 9.9. Momenti savijanja  $m_x$  (kNm/m) temeljne ploče

Slika 9.10. Momenti savijanja  $m_y$  ( $\text{kNm/m}$ ) temeljne ploče 3

### 9.3.3. Postupak dimenzioniranja:

$$C\ 30/37 \quad f_{cd} = \frac{f_{ck}}{\gamma_c} = \frac{30}{1,5} = 20\ \text{MPa}; \quad f_{cd} = 2,0\ \frac{\text{kN}}{\text{cm}^2}$$

$$B\ 500\ B \quad f_{yd} = \frac{f_{yk}}{\gamma_c} = \frac{500}{1,5} = 434,78\ \text{MPa}; \quad f_{yd} = 43,5\ \frac{\text{kN}}{\text{cm}^2}$$

$$b = 100\text{cm}, \quad h = 40\text{cm}, \quad d = 35\text{cm}$$

$$A_{s1, \min} = 0,15\% \cdot b \cdot d = 0,0015 \cdot 100 \cdot 35 = 4,55\text{cm}^2 \quad \text{odabrano minimalno Q-636}$$

$$\text{GSN 2: } 1,35 \cdot (G + G_{dod}) + 1,5 \cdot G_q$$

Gornja zona temeljne ploče 3:

$$M_{Ed, \max} = 41,21\ \text{kNm}$$

$$\mu_{Ed} = \frac{M_{Ed}}{bd^2 f_{cd}} = \frac{41,21 \cdot 100}{100 \cdot 35^2 \cdot 2,0} = 0,0168$$

$$\text{Za } \varepsilon_{s1} = 10\text{‰}, \quad \varepsilon_{c2} = 0,7\text{‰}, \quad \zeta = 0,977 \quad \xi = 0,065$$

$$A_{s1} = \frac{M_{Ed}}{\zeta \cdot d \cdot f_{yd}} = \frac{41,21 \cdot 100}{0,977 \cdot 35 \cdot 43,5} = 2,77\text{cm}^2$$

**Odabrana armatura: Q -636**

Donja zona temeljne ploče 3:

$$M_{Ed,max} = 89,56 \text{ kNm}$$

$$\mu_{Ed} = \frac{M_{Ed}}{bd^2 f_{cd}} = \frac{89,56 \cdot 100}{100 \cdot 35^2 \cdot 2,0} = 0,037$$

$$\text{Za } \varepsilon_{s1} = 10\text{‰}, \quad \varepsilon_{c2} = 1,2 \text{‰}, \quad \zeta = 0,962 \quad \xi = 0,107$$

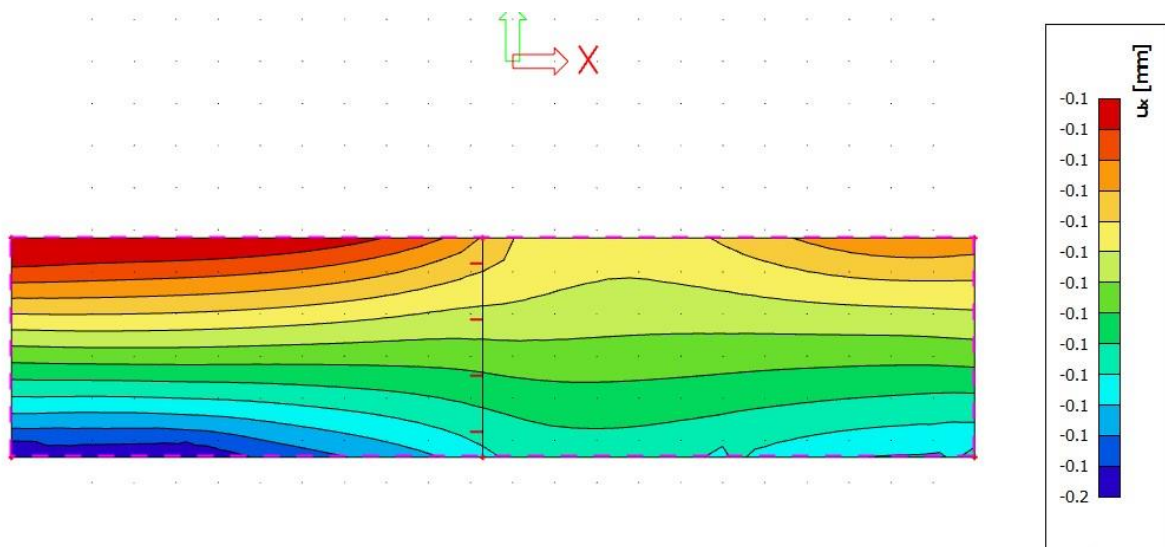
$$A_{s1} = \frac{M_{Ed}}{\zeta \cdot d \cdot f_{yd}} = \frac{29,85 \cdot 100}{0,962 \cdot 35 \cdot 43,5} = 2,03 \text{ cm}^2$$

### Odabrana armatura: Q -636

#### 9.3.4. Kontrola graničnog stanja deformacija

Mjerodavni kratkotrajni progibi u ploči su dobiveni kroz numerički model. Koriste se rezultati od kratkotrajnog djelovanja i radne kombinacije opterećenja

$$\text{GSU : } 1,0 \text{ g} + 1,0 \text{ Dg} + 1,0 \text{ q}$$



Slika 9.11. Prikaz progiba  $U_z$  (mm) temeljne ploče 3

$$\text{Granični progib : } v_{lim} = L / 250 = 22900 / 250 = 91,6 \text{ mm} > 0,2 \text{ mm}$$

Progibi temeljne ploče zadovoljavaju !

## 10. PRORAČUN BAZENA

Tlak nasipa na zidove bazena zadan je preko parametara tla:

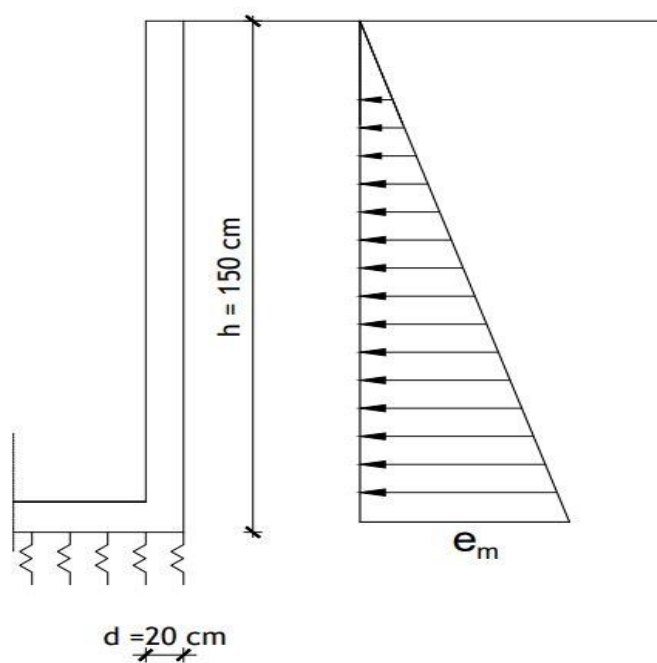
$$\gamma = 20,0 \text{ kN/m}^3$$

$$h = 1.50 \text{ m} - \text{visina zida}$$

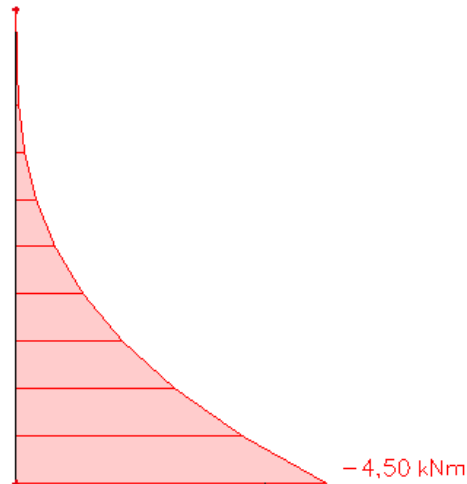
$$k_a \approx 0,40 - \text{koeficijent aktivnog tlaka}$$

$$\rho_{\text{zasip}} = \gamma \cdot h \cdot b \cdot K_A - \text{horizontalni tlak zasipa}$$

$$q_{\text{zasip}} = 20.0 \cdot 1.50 \cdot 1,0 \cdot 0,40 = 12.0 - \text{pokretno opterećenje}$$



Slika 9.1. Djelovanje opterećenja zasipa na zid bazena



Slika 9.2. Dijagram momenta savijanja  $M_y$  na djelovanje opterećenja od zasipa

### 10.1. Dimenzioniranje

Računski moment savijanja:

$$M_{Ed} = 1.5 \cdot 4.50 = 6.75 \text{ kNm}$$

Bezdimenzionalni koeficijent momenta savijanja:

$$\mu_{Ed} = \frac{M_{Ed}}{bd^2 f_{cd}} = \frac{6.75 \cdot 100}{100 \cdot 20^2 \cdot 2.0} = 0.0084$$

Očitano:  $\varepsilon_{s1} = 10\text{‰}$ ,  $\varepsilon_{c2} = 2.0\text{‰}$ ,  $\zeta = 0.938$ ,  $\xi = 0.167$

$$A_{s1} = \frac{M_{Ed}}{\zeta \cdot d \cdot f_{yd}} = \frac{6.75 \cdot 100}{0.938 \cdot 20 \cdot 43.48} = 0.83 \text{ cm}^2$$

Minimalna površina armature:

$$A_{s1,min} = 0,0015 \cdot b \cdot d = 0,0015 \cdot 20 \cdot 100 = 3.0 \text{ cm}^2$$

**Odabrana armatura: Q 335 ( $A_s = 3.35 \text{ cm}^2$ )**

Napomena: Ploču i zidove bazena obostrano armirati mrežom Q 335.

## **11. GRAFIČKI PRILOZI**

- 11.1. Situacija
- 11.2. Tlocrt temeljne ploče 1
- 11.3. Tlocrt temeljne ploče 2
- 11.4. Tlocrt temeljne ploče pomoćnog objekta
- 11.5. Tlocrt suterena
- 11.6. Tlocrt prizemlja
- 11.7. Tlocrt 1. kata
- 11.8. Tlocrt krova
- 11.9. Tlocrt pomoćnog objekta
- 11.10. Tlocrt krova pomoćnog objekta
- 11.11. Presjek A-A
- 11.12. Presjek B-B
- 11.13. Južno pročelje
- 11.14. Sjeverno pročelje
- 11.15. Istočno pročelje
- 11.16. Zapadno pročelje



## 12. ARMATURNI NACRTI

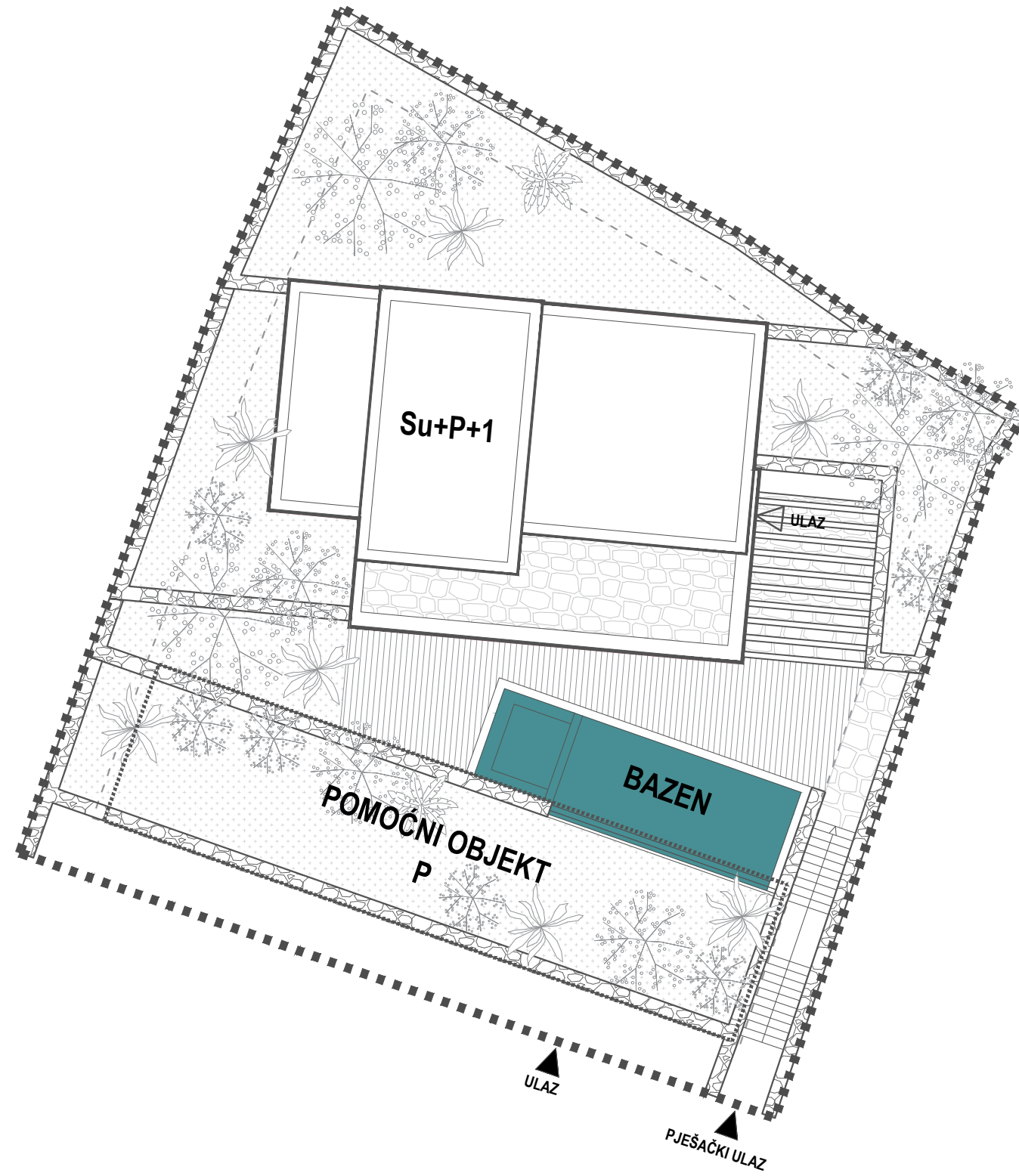
- 12.1 Armatura ankera temelja (temeljna ploča 1)
- 12.2. Armatura ankera temelja (temeljna ploča 2)
- 12.3. Armatura ankera temelja (temeljna ploča 3)
- 12.4. Plan armature temeljne ploče 1 – donja zona
- 12.5. Plan armature temeljne ploče 1 – gornja zona
- 12.6. Plan armature temeljne ploče 3 (pomoćni object) – donja zona
- 12.7. Plan armature temeljne ploče 3 (pomoćni object) – gornja zona
- 12.8. Plan armature ploče POZ 100 – donja zona
- 12.9. Plan armature ploče POZ 100 – donja zona (šipkasta armatura)
- 12.10. Plan armature ploče POZ 200 – gornja zona
- 12.11. Plan armature ploče POZ 200 – donja zona
- 12.12. Plan armature ploče POZ 200 – donja zona (šipkasta armatura)
- 12.13. Plan armature ploče POZ 200 – gornja zona
- 12.14. Plan armature ploče POZ 300 – donja zona
- 12.15. Plan armature ploče POZ 300 – donja zona (šipkasta armatura)
- 12.16. Plan armature ploče POZ 300 – gornja zona
- 12.17. Plan armature ploče pomoćnog objekta – donja zona
- 12.18. Plan armature ploče pomoćnog objekta – donja zona (šipkasta armatura)
- 12.19. Plan armature ploče pomoćnog objekta – gornja zona
- 12.20. Plan armature grede G 301
- 12.21. Plan armature grede G 202
- 12.22. Plan armature grede G 101
- 12.23. Plan armature grede pomoćnog objekta
- 12.24. Plan armature stubišta
- 12.25. Plan armature zida Z1
- 12.26. Plan armature zida Z2
- 12.27. Plan armature visokostijenog nosača
- 12.28. Plan armature bazena

### 13. LITERATURA

- [1] A. Harapin; J. Radnić; N. Grgić.; M. Smilović Zulim.; M. Sunara.; A. Buzov; I. Banović: *Osnove betonskih konstrukcija, usklađeno s: HRN EN 1992-1-1:2013/A1:2015; Fakultet građevinarstva, arhitekture i geodezije, Sveučilište u Splitu, Split, 2023*
- [2] I. Tomičić: *Betonske konstrukcije – treće izmijenjeno i dopunjeno izdanje, Zagreb, 1996.*
- [3] *EN 1990:2008 Eurokod – osnove projektiranja konstrukcija (EN 1990:2008 + A1:2005 + AC:2008 )*
- [4] *EN 1991: Eurokod 1 – Djelovanja na konstrukcije (EN 1991:2002 ▪ EN 1992-1-1:2008 Eurokod 2 – Projektiranje betonskih konstrukcija – Dio 1- 1: Opća pravila i pravila za zgrade (EN 1992-1-1:2004 + AC:2008)*
- [5] *EN 1998:2008 Eurokod 8 – Projektiranje konstrukcija otpornih na potres – 1. dio: Opća pravila, potresna djelovanja i pravila za zgrade (EN 1998-1:2004)*

*Korišteni računalni programi:*

1. *AutoCad 2020.*
2. *Scia Engineer 22.0*
3. *Microsoft Word*
4. *Microsoft Excel*



**SVEUČILIŠTE U SPLITU**  
FAKULTET GRAĐEVINARSTVA,  
ARHITEKTURE I GEODEZIJE

**UNIVERSITY OF SPLIT**  
FACULTY OF CIVIL ENGINEERING,  
ARCHITECTURE AND GEODESY

DIPLOMSKI RAD

PROGRAM:  
PROJEKT AB STAMBENE ZGRADE U KRILU JESENICE

STUDENT:  
ANTEA MATAS

MENTOR:  
Doc. dr. sc. Marina Sunara

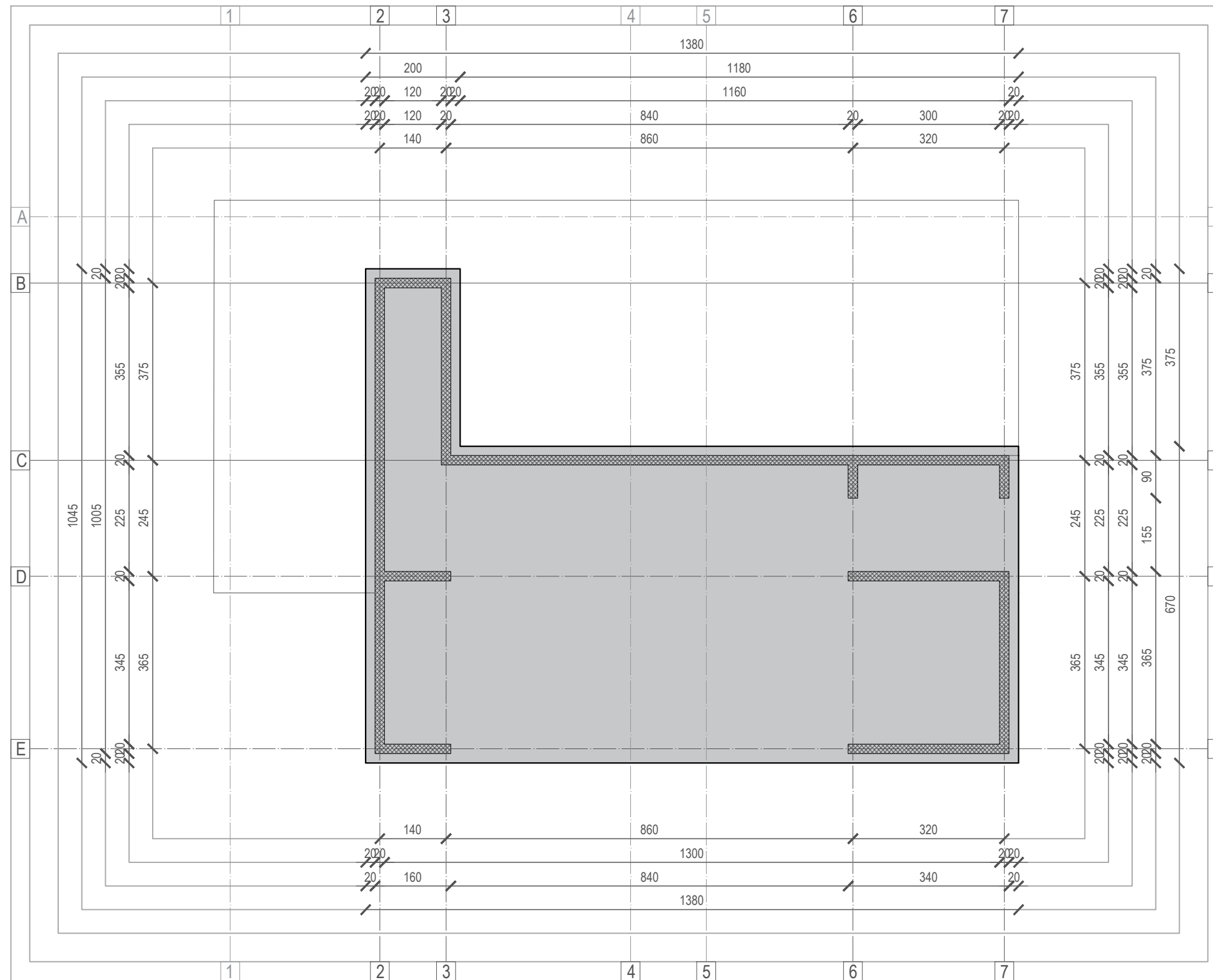
SADRŽAJ  
SITUACIJA

MJERILO  
1:200

DATUM  
2022./2023.

PRILOG  
11.1.

TLOCRT TEMELJNE PLOČE 1  
MJ 1:100



**SVEUČILIŠTE U SPLITU**  
**FAKULTET GRAĐEVINARSTVA,**  
**ARHITEKTURE I GEODEZIJE**

**UNIVERSITY OF SPLIT**  
**FACULTY OF CIVIL ENGINEERING,**  
**ARCHITECTURE AND GEODESY**

DIPLOMSKI RAD

PROGRAM:  
 PROJEKT AB STAMBENE ZGRADE U KRILU JESENICE

STUDENT:  
 ANTEA MATAS

MENTOR:  
 Doc. dr. sc. Marina Sunara

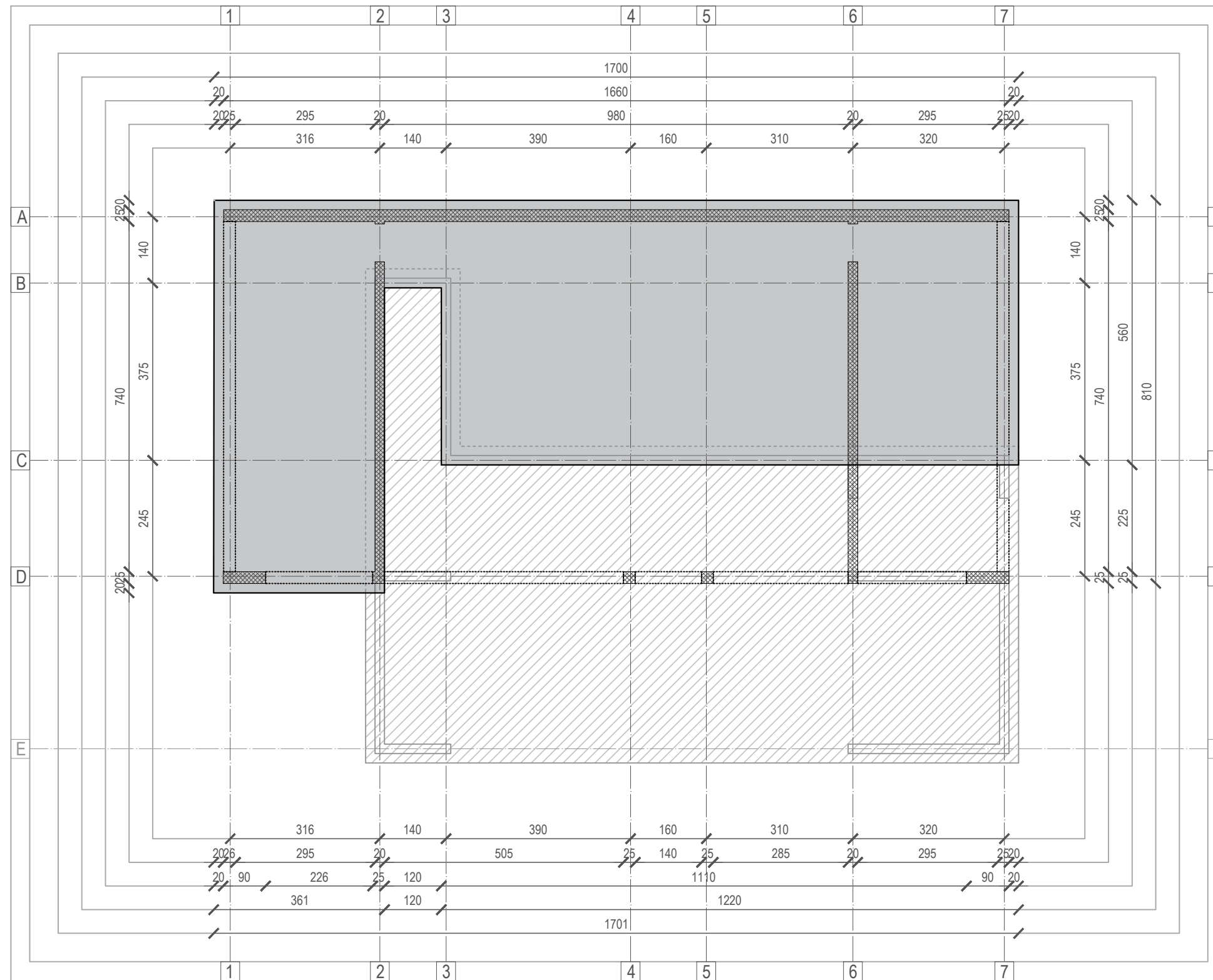
SADRŽAJ  
 TLOCRT TEMELJA

MJERILO  
 1:100

DATUM  
 2022./2023.

PRILOG  
 11.2.

TLOCRT TEMELJNE PLOČE 2  
MJ 1:100



**SVEUČILIŠTE U SPLITU**  
**FAKULTET GRAĐEVINARSTVA,**  
**ARHITEKTURE I GEODEZIJE**

**UNIVERSITY OF SPLIT**  
**FACULTY OF CIVIL ENGINEERING,**  
**ARCHITECTURE AND GEODESY**

DIPLOMSKI RAD

PROGRAM:  
 PROJEKT AB STAMBENE ZGRADE U KRILU JESENICE

STUDENT:  
 ANTEA MATAS

MENTOR:  
 Doc. dr. sc. Marina Sunara

SADRŽAJ  
 TLOCRT TEMELJA

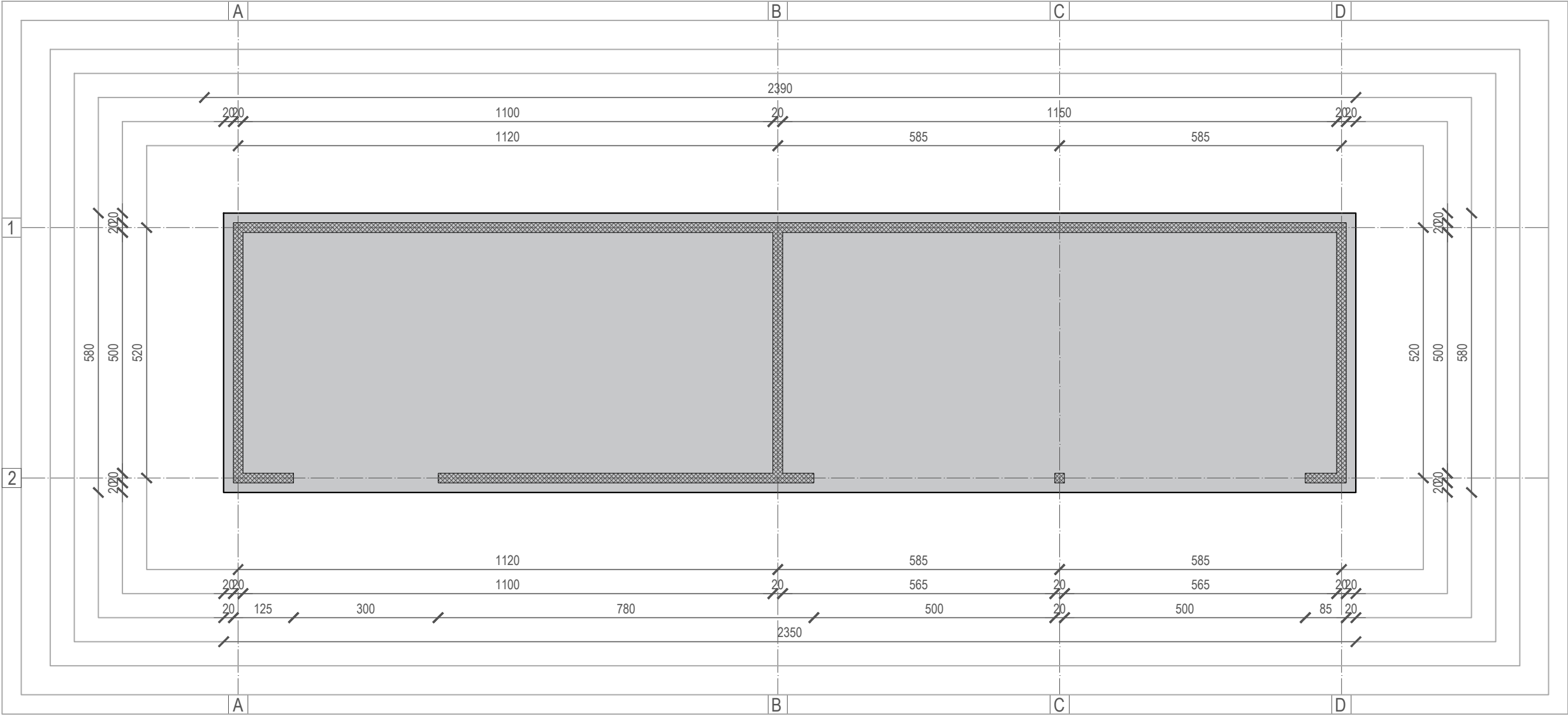
MJERILO  
 1:100

DATUM  
 2022./2023.

PRILOG  
 11.3.

# TLOCRT TEMELJNE PLOČE POMOĆNOG OBJEKTA

## MJ 1:100



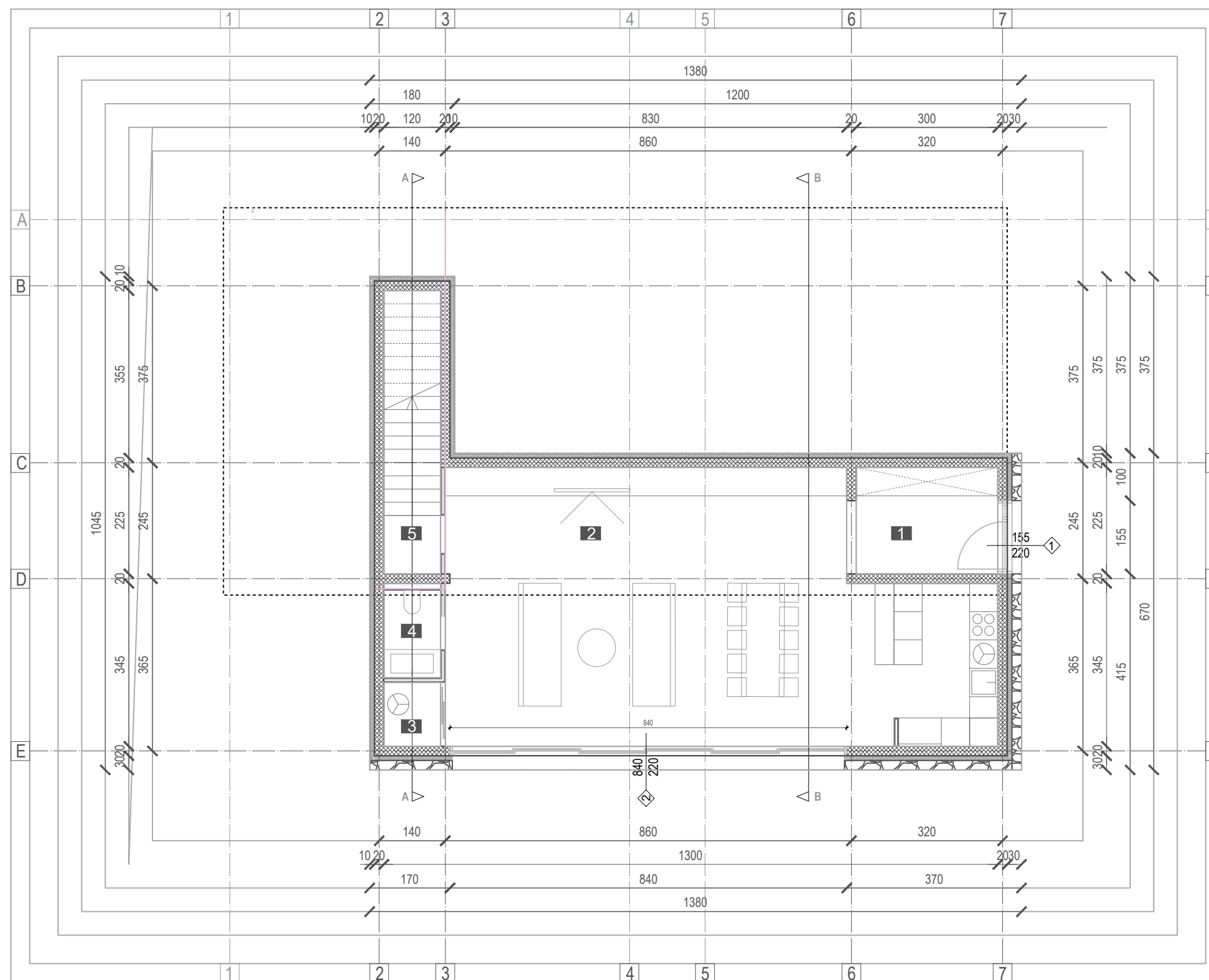
**SVEUČILIŠTE U SPLITU**  
**FAKULTET GRAĐEVINARSTVA,**  
**ARHITEKTURE I GEODEZIJE**

**UNIVERSITY OF SPLIT**  
**FACULTY OF CIVIL ENGINEERING,**  
**ARCHITECTURE AND GEODESY**

|                                                         |  |                                       |       |
|---------------------------------------------------------|--|---------------------------------------|-------|
| DIPLOMSKI RAD                                           |  |                                       |       |
| PROGRAM:<br>PROJEKT AB STAMBENE ZGRADE U KRILU JESENICE |  |                                       |       |
| STUDENT:<br>ANTEA MATAS                                 |  | MENTOR:<br>Doc. dr. sc. Marina Sunara |       |
| SADRŽAJ<br>TLOCRT TEMELJA – POMOĆNI OBJEKT              |  | MJERILO                               | 1:100 |
| DATUM<br>2022./2023.                                    |  | PRILOG                                | 11.4. |

# TLOCRT SUTERENA

## MJ 1:100



**SVEUČILIŠTE U SPLITU**  
**FAKULTET GRAĐEVINARSTVA,**  
**ARHITEKTURE I GEODEZIJE**

**UNIVERSITY OF SPLIT**  
**FACULTY OF CIVIL ENGINEERING,**  
**ARCHITECTURE AND GEODESY**

DIPLOMSKI RAD

PROGRAM:  
 PROJEKT AB STAMBENE ZGRADE U KRILU JESENICE

STUDENT:  
 ANTEA MATAS

MENTOR:  
 Doc. dr. sc. Marina Sunara

SADRŽAJ  
 TLOCRT SUTERENA

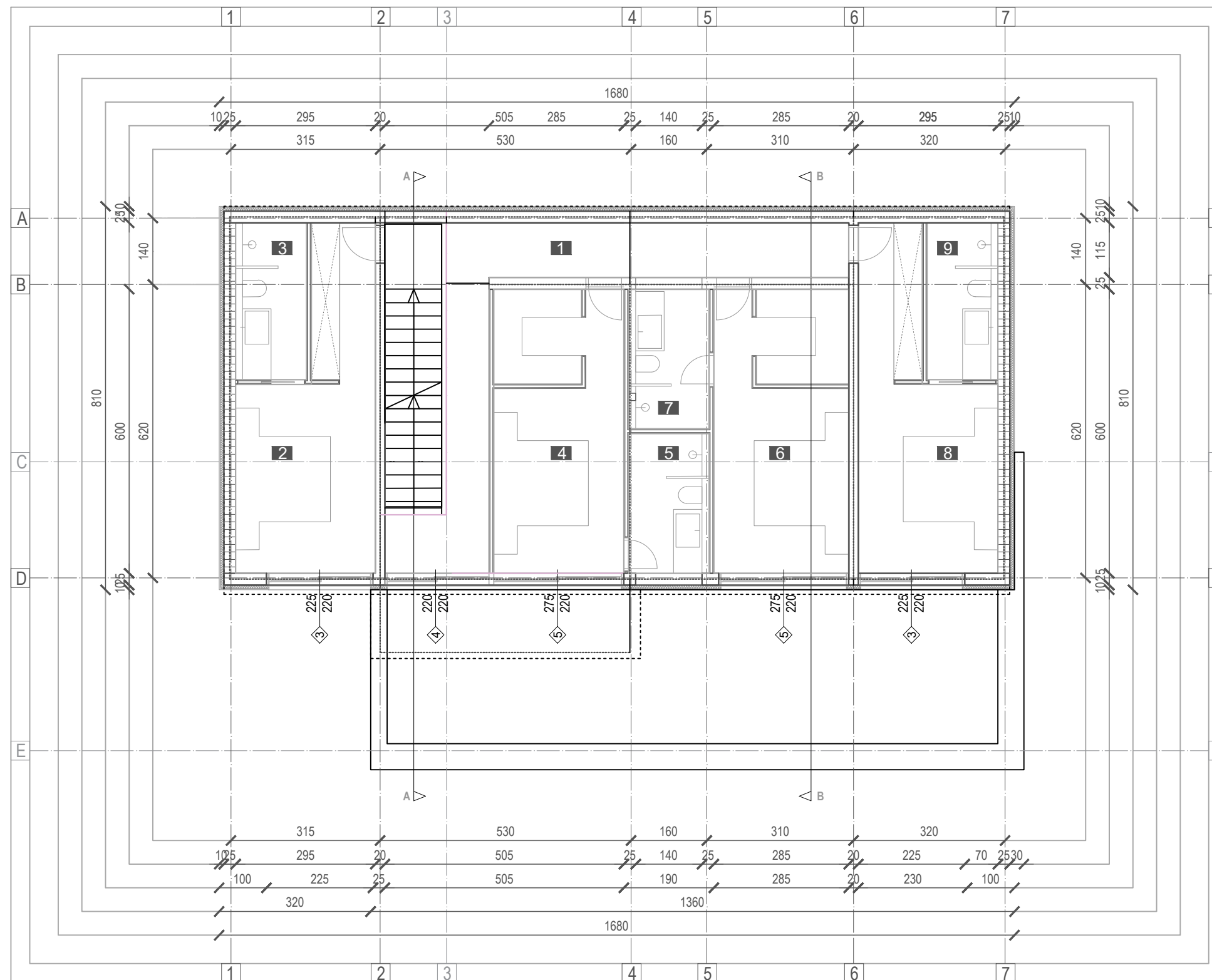
MJERILO  
 1:100


DATUM  
 2022./2023.

PRILOG  
 11.5.

# TLOCRT PRIZEMLJA

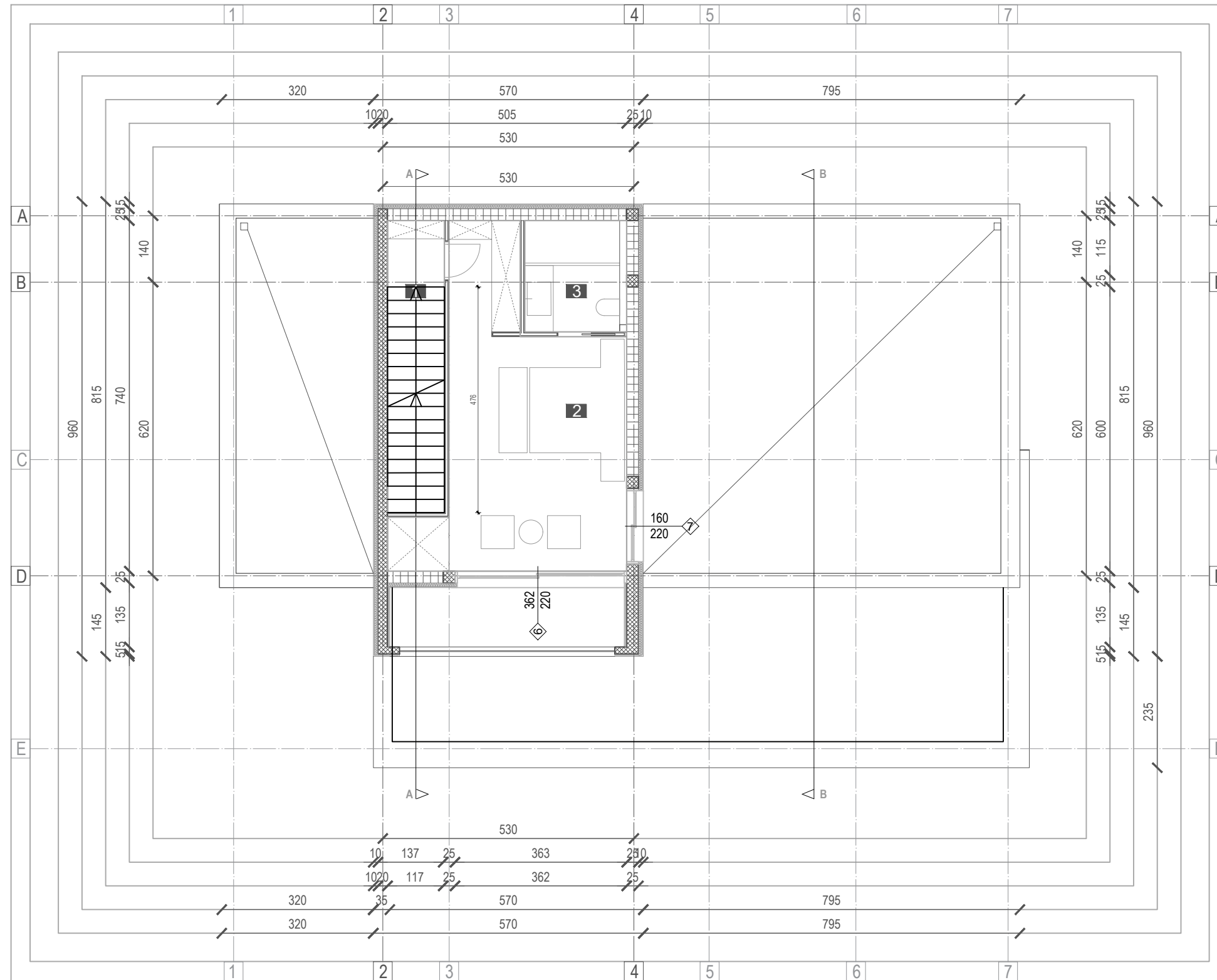
## MJ 1:100



|                                                                                                                                                                                                                                                                                                                    |                                                         |                  |                            |
|--------------------------------------------------------------------------------------------------------------------------------------------------------------------------------------------------------------------------------------------------------------------------------------------------------------------|---------------------------------------------------------|------------------|----------------------------|
|  <p><b>SVEUČILIŠTE U SPLITU</b><br/> <b>FAKULTET GRAĐEVINARSTVA,</b><br/> <b>ARHITEKTURE I GEODEZIJE</b></p> <p><b>UNIVERSITY OF SPLIT</b><br/> <b>FACULTY OF CIVIL ENGINEERING,</b><br/> <b>ARCHITECTURE AND GEODESY</b></p> | DIPLOMSKI RAD                                           |                  |                            |
|                                                                                                                                                                                                                                                                                                                    | PROGRAM:<br>PROJEKT AB STAMBENE ZGRADE U KRILU JESENICE |                  |                            |
|                                                                                                                                                                                                                                                                                                                    | STUDENT:<br>ANTEA MATAS                                 | MENTOR:          | Doc. dr. sc. Marina Sunara |
|                                                                                                                                                                                                                                                                                                                    | SADRŽAJ<br>TLOCRT PRIZEMLJA                             | MJERILO<br>1:100 |                            |
|                                                                                                                                                                                                                                                                                                                    | DATUM<br>2022./2023.                                    | PRILOG<br>11.6.  |                            |



TLOCRT 1. KATA  
MJ 1:100



**SVEUČILIŠTE U SPLITU**  
**FAKULTET GRAĐEVINARSTVA,**  
**ARHITEKTURE I GEODEZIJE**

**UNIVERSITY OF SPLIT**  
**FACULTY OF CIVIL ENGINEERING,**  
**ARCHITECTURE AND GEODESY**

DIPLOMSKI RAD

PROGRAM:  
 PROJEKT AB STAMBENE ZGRADE U KRILU JESENICE

STUDENT:  
 ANTEA MATAS

MENTOR:  
 Doc. dr. sc. Marina Sunara

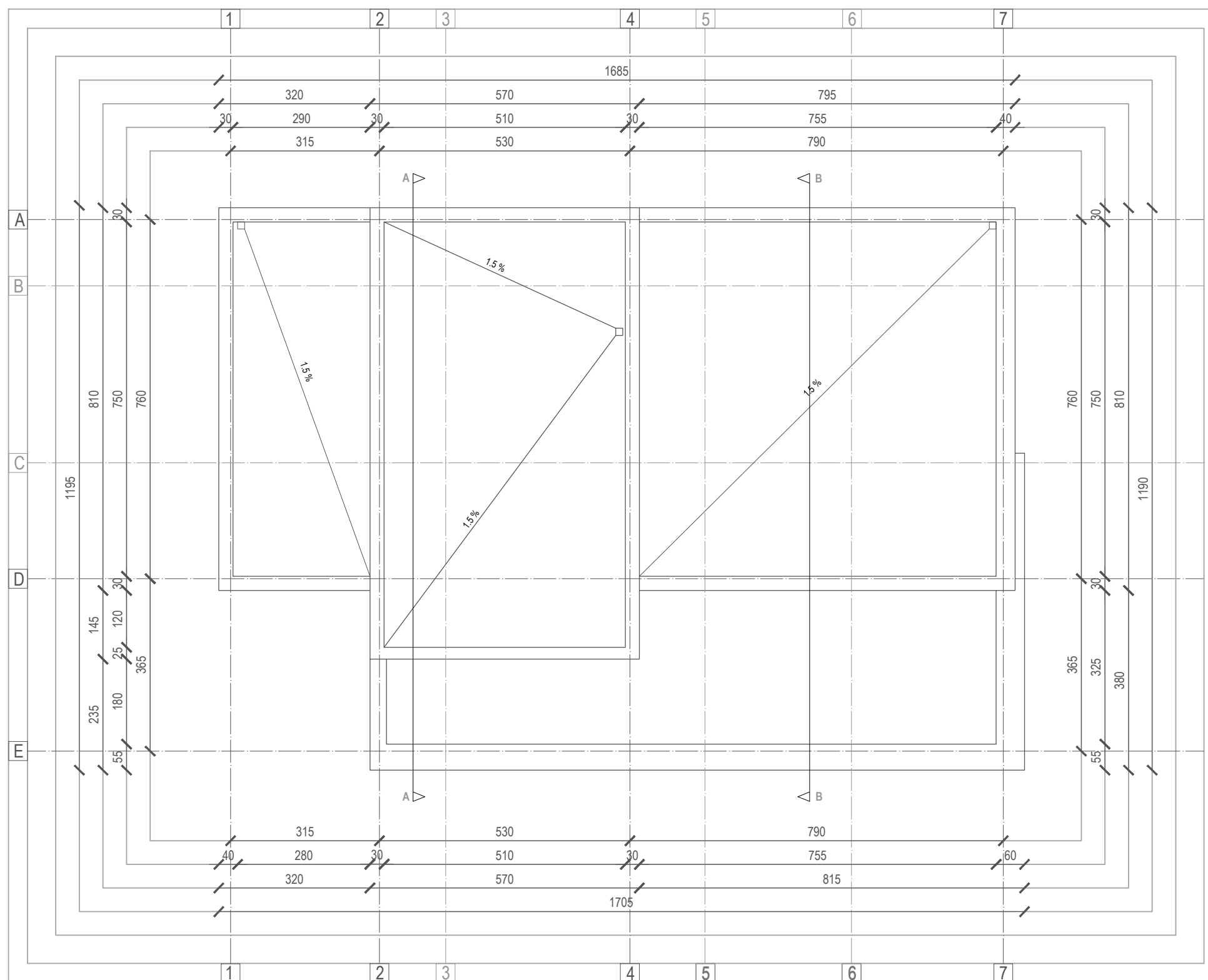
SADRŽAJ  
 TLOCRT 1. KATA

MJERILO  
 1:100

DATUM  
 2022./2023.

PRILOG  
 11.7.

# TLOCRT KROVA MJ 1:100



**SVEUČILIŠTE U SPLITU**  
**FAKULTET GRAĐEVINARSTVA,**  
**ARHITEKTURE I GEODEZIJE**

**UNIVERSITY OF SPLIT**  
**FACULTY OF CIVIL ENGINEERING,**  
**ARCHITECTURE AND GEODESY**

DIPLOMSKI RAD

PROGRAM:  
 PROJEKT AB STAMBENE ZGRADE U KRILU JESENICE

STUDENT:  
 ANTEA MATAS

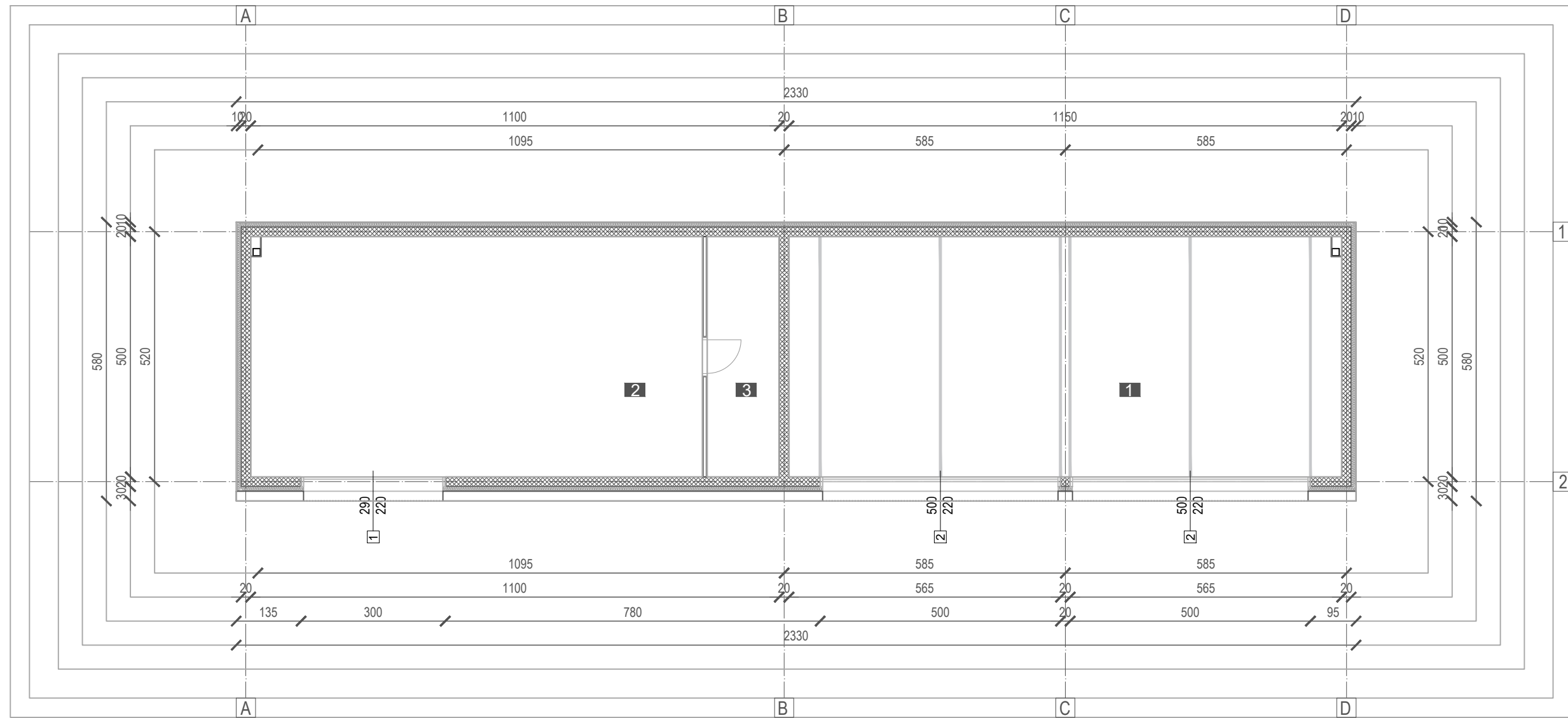
MENTOR:  
 Doc. dr. sc. Marina Sunara

SADRŽAJ  
 TLOCRT KROVA  
 MJERILO 1:100

DATUM 2022./2023.  
 PRILOG 11.8.

# TLOCRT POMOĆNOG OBJEKTA

## MJ 1:100



**SVEUČILIŠTE U SPLITU**  
**FAKULTET GRAĐEVINARSTVA,**  
**ARHITEKTURE I GEODEZIJE**

**UNIVERSITY OF SPLIT**  
**FACULTY OF CIVIL ENGINEERING,**  
**ARCHITECTURE AND GEODESY**

DIPLOMSKI RAD

PROGRAM:  
 PROJEKT AB STAMBENE ZGRADE U KRILU JESENICE

STUDENT:  
 ANTEA MATAS

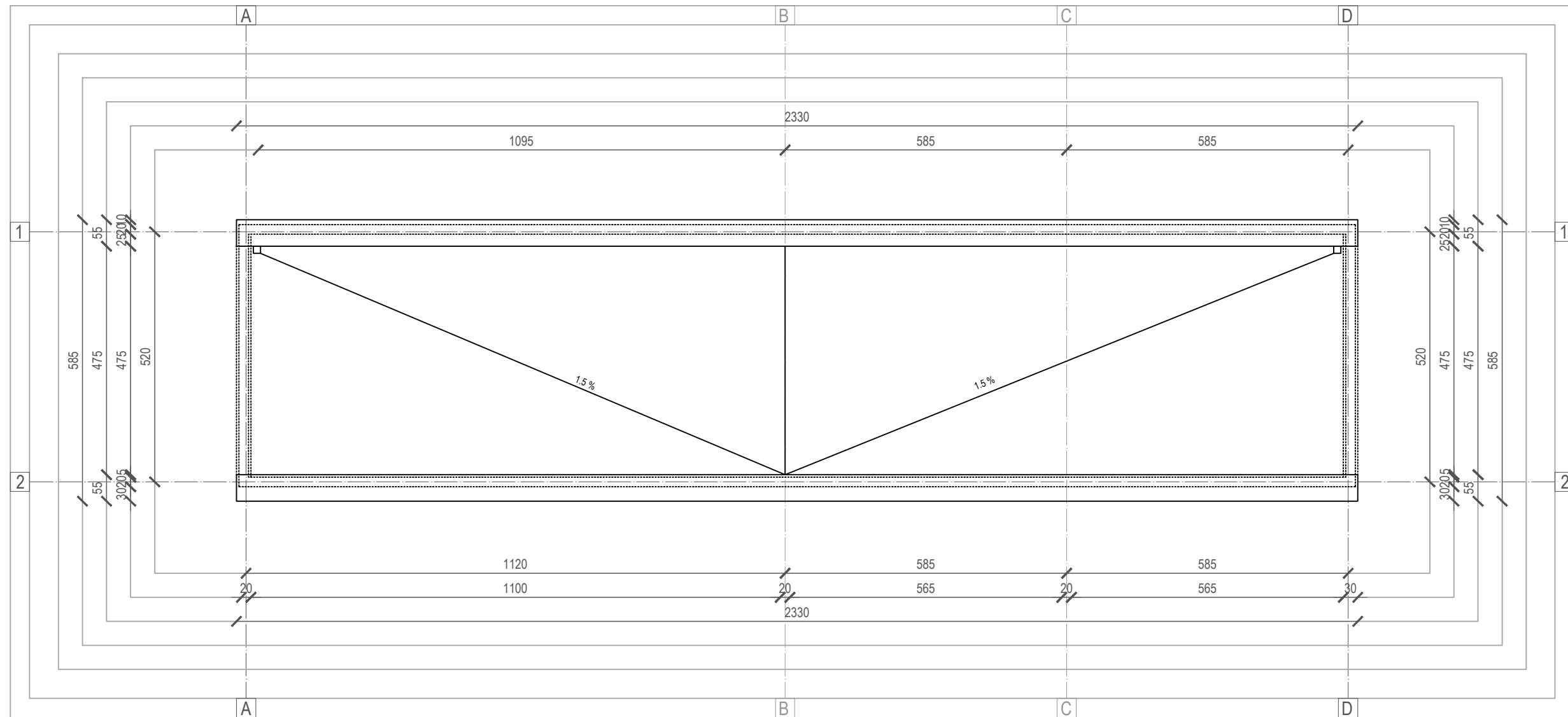
MENTOR:  
 Doc. dr. sc. Marina Sunara

SADRŽAJ  
 TLOCRT POMOĆNOG OBJEKTA MJERILO 1:100

DATUM 2022./2023. PRILOG 11.9.

# TLOCRT KROVA POMOĆNOG OBJEKTA

## MJ 1:100

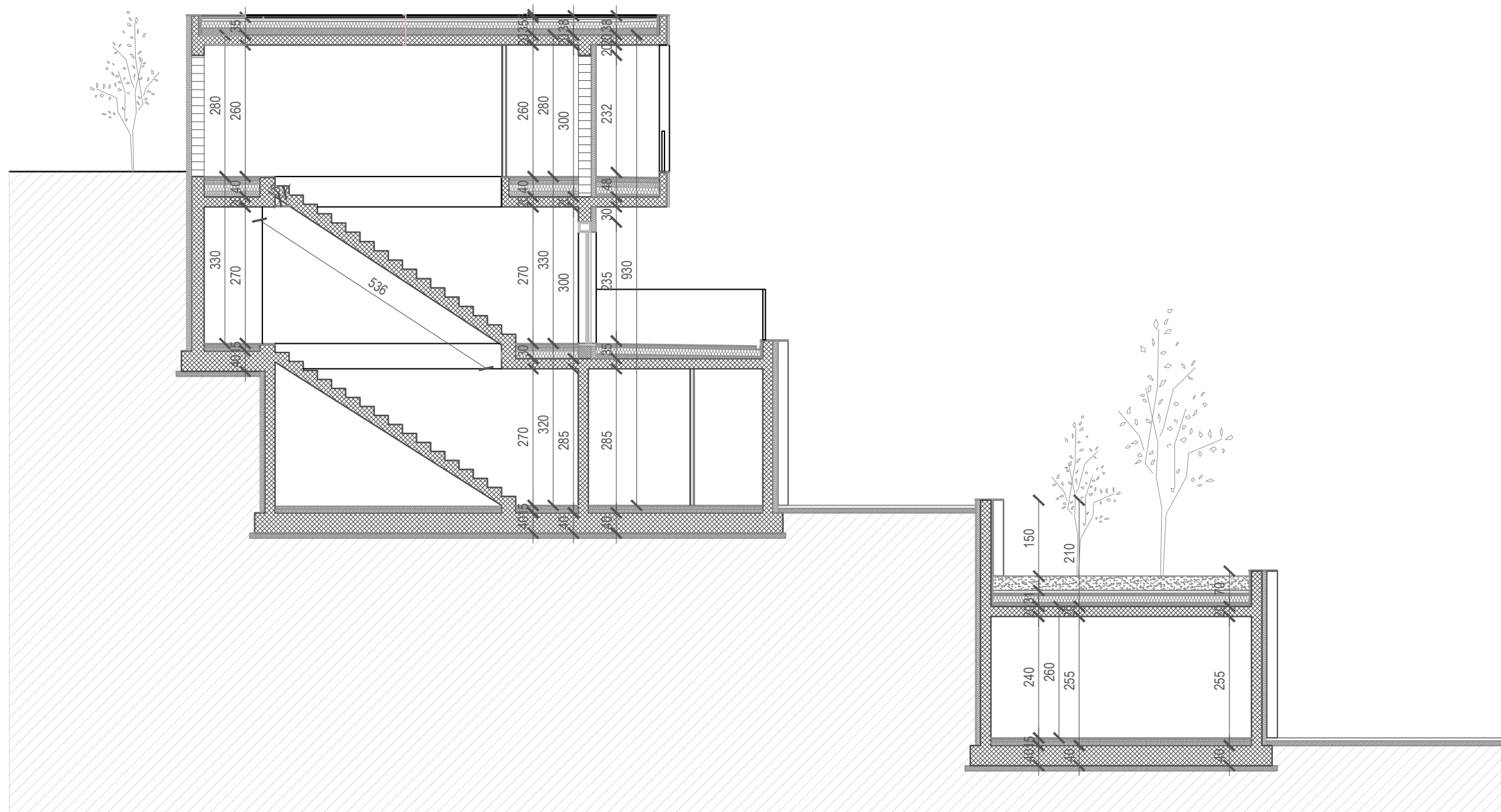


**SVEUČILIŠTE U SPLITU**  
**FAKULTET GRAĐEVINARSTVA,**  
**ARHITEKTURE I GEODEZIJE**

**UNIVERSITY OF SPLIT**  
**FACULTY OF CIVIL ENGINEERING,**  
**ARCHITECTURE AND GEODESY**

|                                                         |                         |         |                            |
|---------------------------------------------------------|-------------------------|---------|----------------------------|
| DIPLOMSKI RAD                                           |                         |         |                            |
| PROGRAM:<br>PROJEKT AB STAMBENE ZGRADE U KRILU JESENICE |                         |         |                            |
| STUDENT:                                                | ANTEA MATAS             | MENTOR: | Doc. dr. sc. Marina Sunara |
| SADRŽAJ                                                 | TLOCRT POMOĆNOG OBJEKTA | MJERILO | 1:100                      |
| DATUM                                                   | 2022./2023.             | PRILOG  | 11.10.                     |

PRESJEK A-A  
MJ 1:100

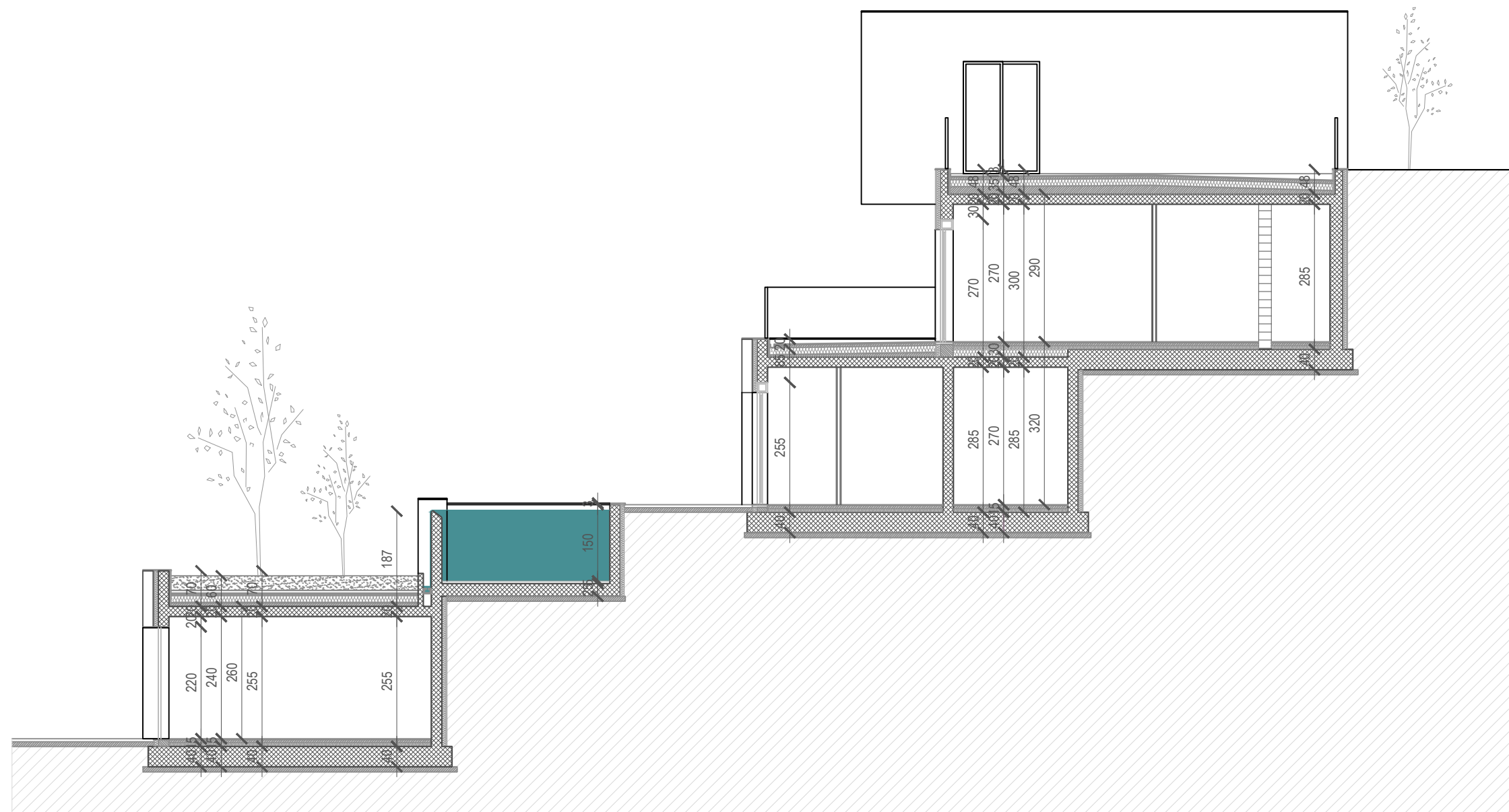


**SVEUČILIŠTE U SPLITU**  
**FAKULTET GRAĐEVINARSTVA,**  
**ARHITEKTURE I GEODEZIJE**

**UNIVERSITY OF SPLIT**  
**FACULTY OF CIVIL ENGINEERING,**  
**ARCHITECTURE AND GEODESY**

|                                                         |                                       |  |  |
|---------------------------------------------------------|---------------------------------------|--|--|
| DIPLOMSKI RAD                                           |                                       |  |  |
| PROGRAM:<br>PROJEKT AB STAMBENE ZGRADE U KRILU JESENICE |                                       |  |  |
| STUDENT:<br>ANTEA MATAS                                 | MENTOR:<br>Doc. dr. sc. Marina Sunara |  |  |
| SADRŽAJ<br>PRESJEK A-A                                  | MJERILO<br>1:100                      |  |  |
| DATUM<br>2022./2023.                                    | PRILOG<br>11.11.                      |  |  |

PRESJEK B-B  
MJ 1:100

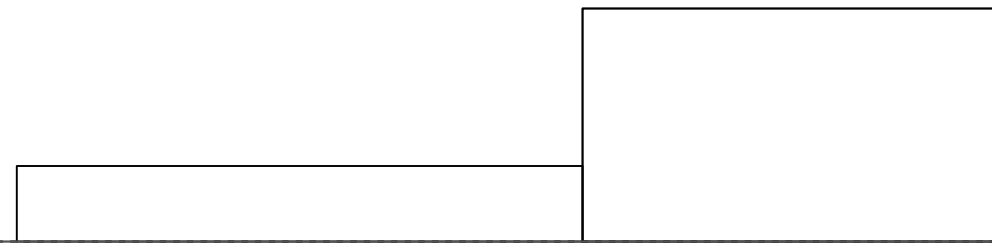


**SVEUČILIŠTE U SPLITU**  
**FAKULTET GRAĐEVINARSTVA,**  
**ARHITEKTURE I GEODEZIJE**

**UNIVERSITY OF SPLIT**  
**FACULTY OF CIVIL ENGINEERING,**  
**ARCHITECTURE AND GEODESY**

|                                                         |             |         |                            |
|---------------------------------------------------------|-------------|---------|----------------------------|
| DIPLOMSKI RAD                                           |             |         |                            |
| PROGRAM:<br>PROJEKT AB STAMBENE ZGRADE U KRILU JESENICE |             |         |                            |
| STUDENT:                                                | ANTEA MATAS | MENTOR: | Doc. dr. sc. Marina Sunara |
| SADRŽAJ                                                 | PRESJEK B-B | MJERILO | 1:100                      |
| DATUM                                                   | 2022./2023. | PRILOG  | 11.12.                     |

SJEVERNO PROČELJE  
MJ 1:100



**SVEUČILIŠTE U SPLITU**  
FAKULTET GRAĐEVINARSTVA,  
ARHITEKTURE I GEODEZIJE

**UNIVERSITY OF SPLIT**  
FACULTY OF CIVIL ENGINEERING,  
ARCHITECTURE AND GEODESY

DIPLOMSKI RAD

PROGRAM:  
PROJEKT AB STAMBENE ZGRADE U KRILU JESENICE

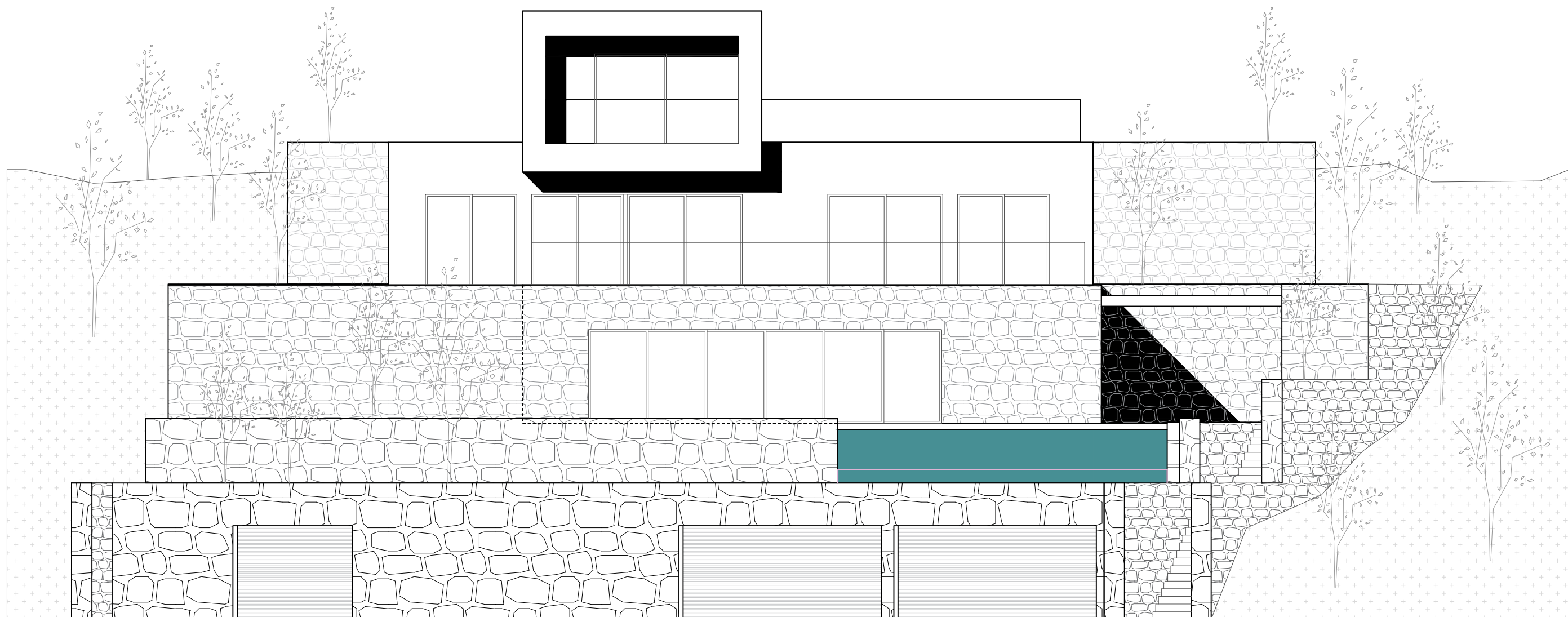
STUDENT:  
ANTEA MATAS

MENTOR:  
Doc. dr. sc. Marina Sunara

SADRŽAJ  
SJEVERNO PROČELJE MJERILO 1:100

DATUM 2022./2023. PRILOG 11.13.

JUŽNO PROČELJE  
MJ 1:100



**SVEUČILIŠTE U SPLITU**  
FAKULTET GRAĐEVINARSTVA,  
ARHITEKTURE I GEODEZIJE

**UNIVERSITY OF SPLIT**  
FACULTY OF CIVIL ENGINEERING,  
ARCHITECTURE AND GEODESY

DIPLOMSKI RAD

PROGRAM:  
PROJEKT AB STAMBENE ZGRADE U KRILU JESENICE

STUDENT:  
ANTEA MATAS

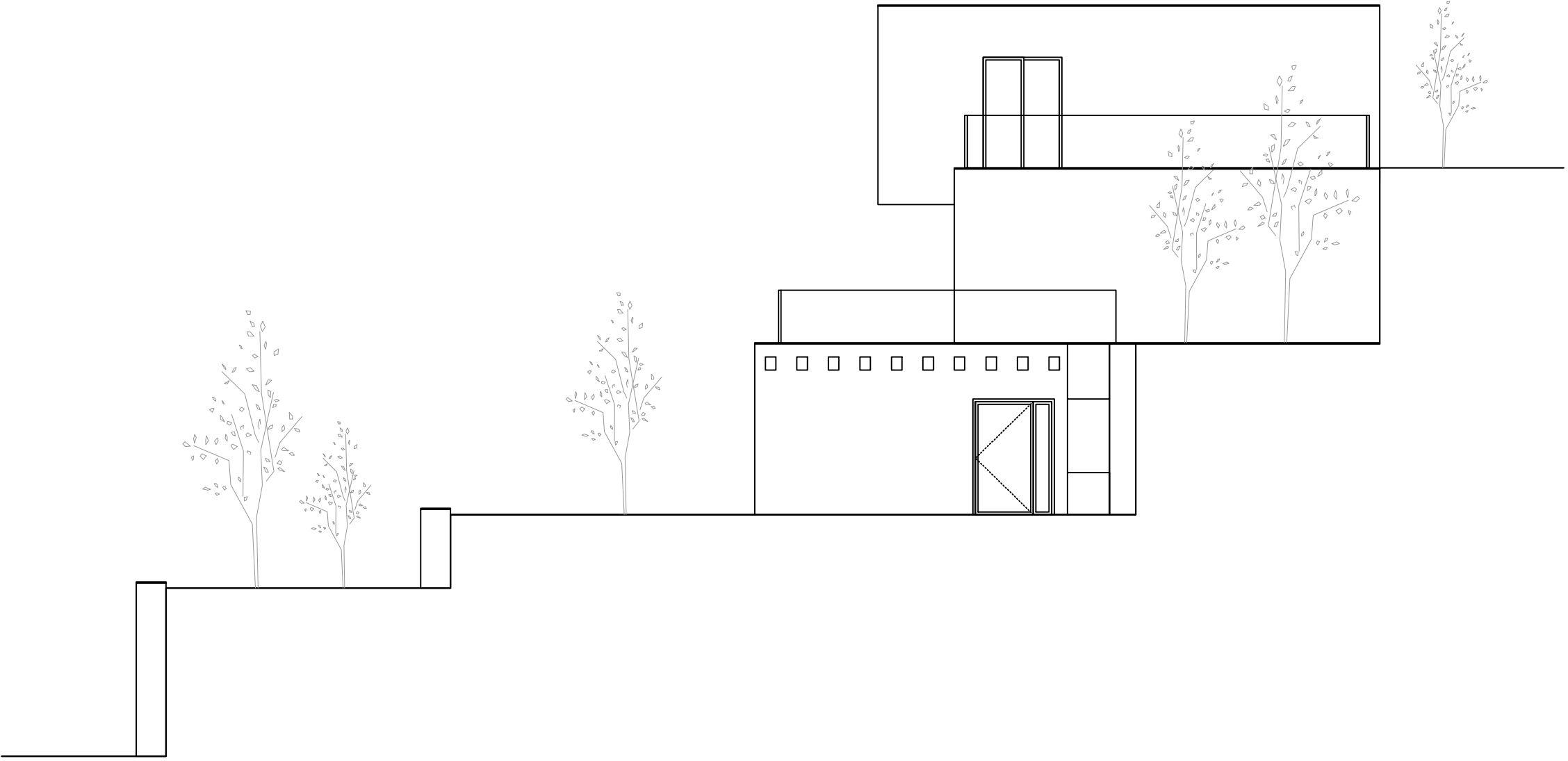
MENTOR:  
Doc. dr. sc. Marina Sunara


SADRŽAJ  
JUŽNO PROČELJE  
MJERILO 1:100

DATUM 2022./2023. PRILOG 11.14.

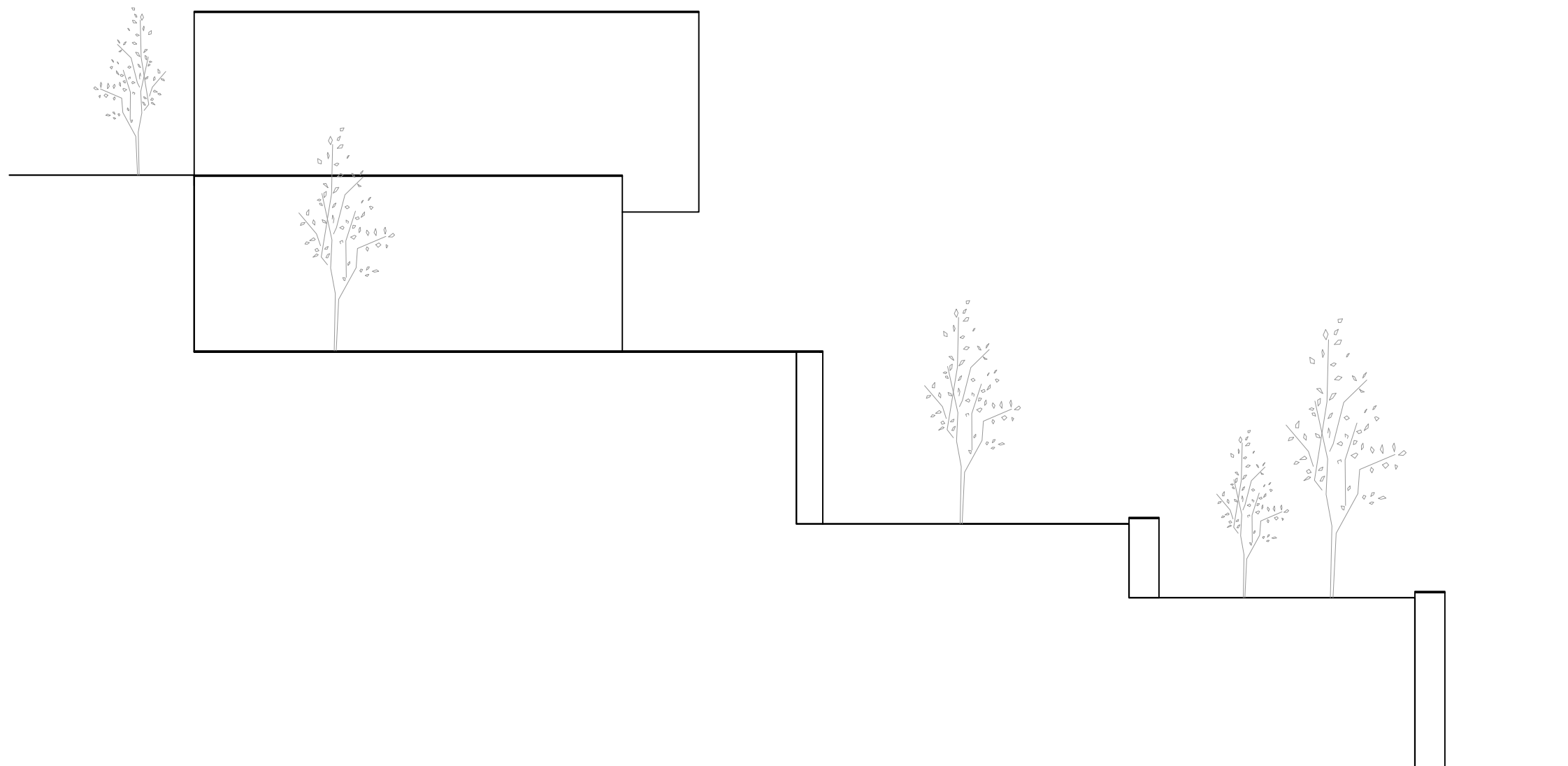



ISTOČNO PROČELJE  
MJ 1:100



|                                                                                                                                                                                                                                                                                                                    |                                                         |         |                            |
|--------------------------------------------------------------------------------------------------------------------------------------------------------------------------------------------------------------------------------------------------------------------------------------------------------------------|---------------------------------------------------------|---------|----------------------------|
|  <p><b>SVEUČILIŠTE U SPLITU</b><br/> <b>FAKULTET GRAĐEVINARSTVA,</b><br/> <b>ARHITEKTURE I GEODEZIJE</b></p> <p><b>UNIVERSITY OF SPLIT</b><br/> <b>FACULTY OF CIVIL ENGINEERING,</b><br/> <b>ARCHITECTURE AND GEODESY</b></p> | DIPLOMSKI RAD                                           |         |                            |
|                                                                                                                                                                                                                                                                                                                    | PROGRAM:<br>PROJEKT AB STAMBENE ZGRADE U KRILU JESENICE |         |                            |
|                                                                                                                                                                                                                                                                                                                    | STUDENT:<br>ANTEA MATAS                                 | MENTOR: | Doc. dr. sc. Marina Sunara |
|                                                                                                                                                                                                                                                                                                                    | SADRŽAJ<br>ISTOČNO PROČELJE                             | MJERILO | 1:100                      |
|                                                                                                                                                                                                                                                                                                                    | DATUM<br>2022./2023.                                    | PRILOG  | 11.15.                     |

ZAPADNO PROČELJE  
MJ 1:100



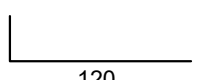
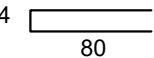
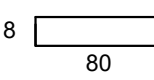
|                                                                                                                                                                                                                                                                            |                                                         |                                       |  |
|----------------------------------------------------------------------------------------------------------------------------------------------------------------------------------------------------------------------------------------------------------------------------|---------------------------------------------------------|---------------------------------------|--|
| <br><b>SVEUČILIŠTE U SPLITU</b><br>FAKULTET GRAĐEVINARSTVA,<br>ARHITEKTURE I GEODEZIJE<br><br><b>UNIVERSITY OF SPLIT</b><br>FACULTY OF CIVIL ENGINEERING,<br>ARCHITECTURE AND GEODESY | DIPLOMSKI RAD                                           |                                       |  |
|                                                                                                                                                                                                                                                                            | PROGRAM:<br>PROJEKT AB STAMBENE ZGRADE U KRILU JESENICE |                                       |  |
|                                                                                                                                                                                                                                                                            | STUDENT:<br>ANTEA MATAS                                 | MENTOR:<br>Doc. dr. sc. Marina Sunara |  |
|                                                                                                                                                                                                                                                                            | SADRŽAJ<br>ZAPADNO PROČELJE                             | MJERILO<br>1:100                      |  |
| DATUM<br>2022./2023.                                                                                                                                                                                                                                                       | PRILOG<br>11.16.                                        |                                       |  |

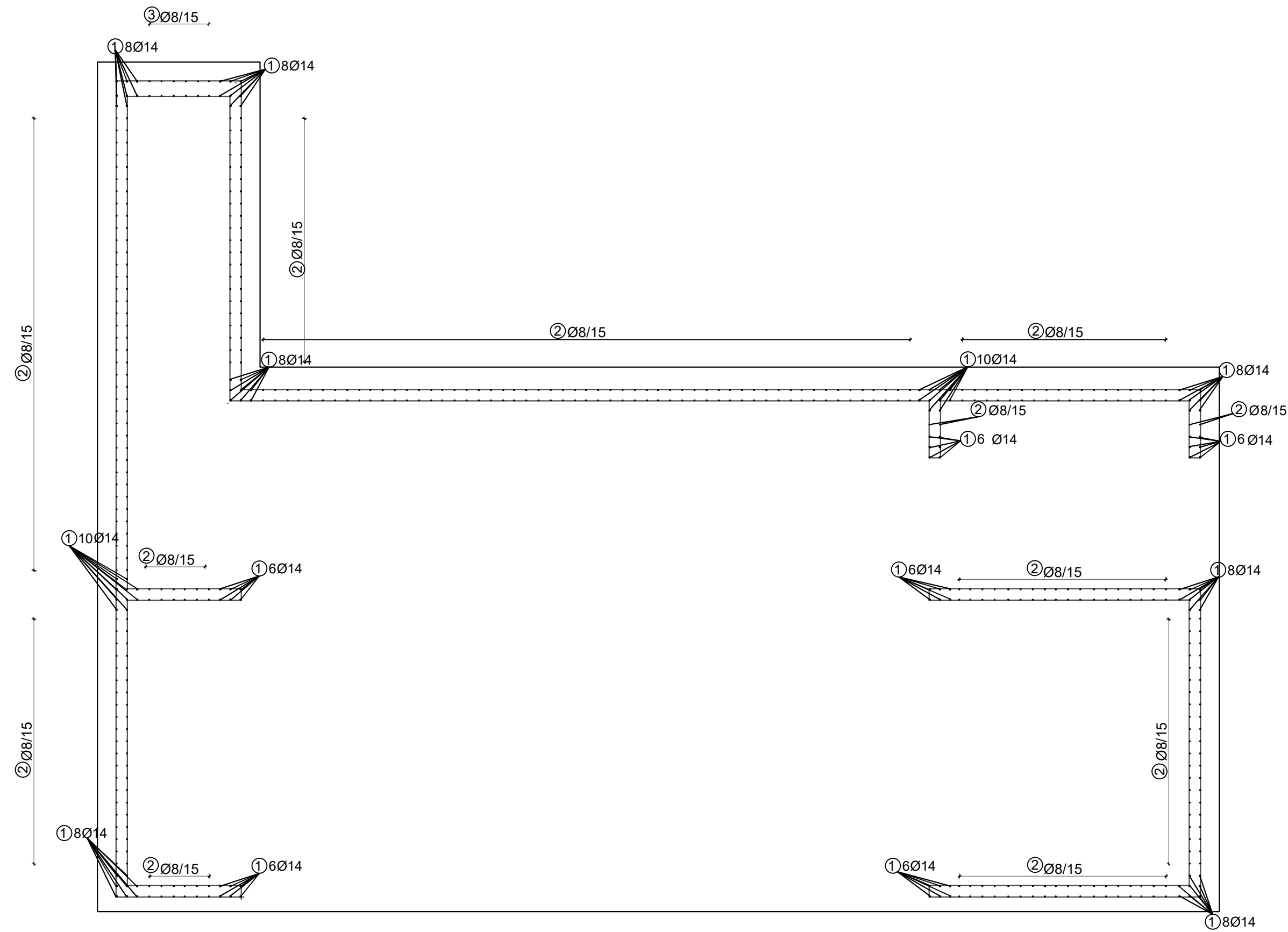
# PLAN ARMATURE ANKERA TEMELJA


## TEMELJNA PLOČA 1

### MJ 1:50

Šipke - specifikacija

| PLAN ARMATURE ANKERA TEMELJA |                                                                                            |    |         |         |               |          |
|------------------------------|--------------------------------------------------------------------------------------------|----|---------|---------|---------------|----------|
| POZ                          | oblik i mjere [cm]                                                                         | Ø  | lg [cm] | n [kom] | jed.t. [kg/m] | TEŽ [kg] |
| 1                            | 30  120 | 14 | 150     | 106     | 1,25          | 330,33   |
| 2                            | 14  80  | 8  | 174     | 252     | 0,395         | 173,20   |
| 3                            | 18  80  | 8  | 178     | 6       | 0,395         | 4,21     |
| Ukupno                       |                                                                                            |    |         |         | 507,75 kg     |          |

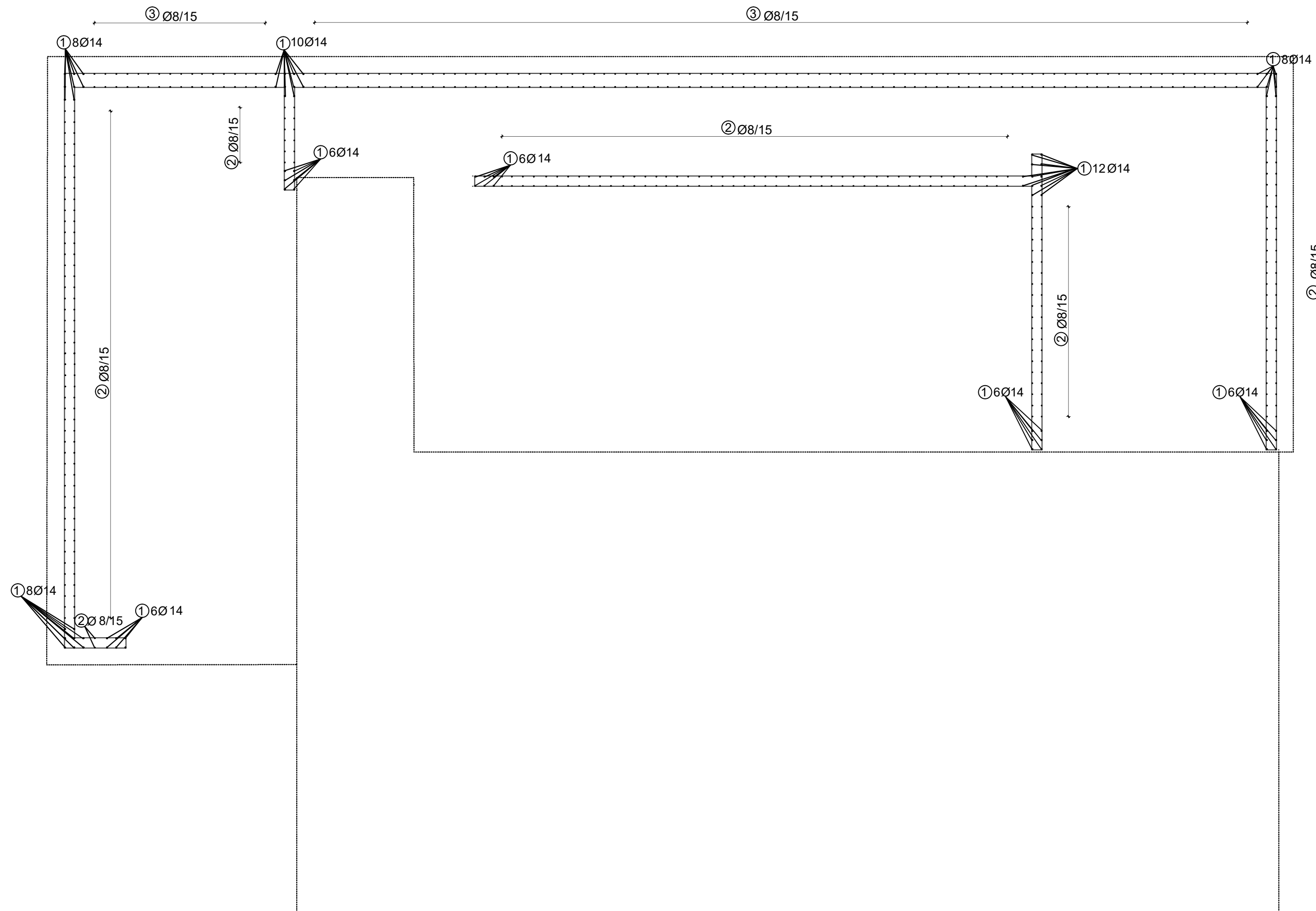


|                                                                                                                                                                                                                                                                                                                    |                                                         |                                       |  |
|--------------------------------------------------------------------------------------------------------------------------------------------------------------------------------------------------------------------------------------------------------------------------------------------------------------------|---------------------------------------------------------|---------------------------------------|--|
|  <p><b>SVEUČILIŠTE U SPLITU</b><br/> <b>FAKULTET GRAĐEVINARSTVA,</b><br/> <b>ARHITEKTURE I GEODEZIJE</b></p> <p><b>UNIVERSITY OF SPLIT</b><br/> <b>FACULTY OF CIVIL ENGINEERING,</b><br/> <b>ARCHITECTURE AND GEODESY</b></p> | DIPLOMSKI RAD                                           |                                       |  |
|                                                                                                                                                                                                                                                                                                                    | PROGRAM:<br>PROJEKT AB STAMBENE ZGRADE U KRILU JESENICE |                                       |  |
|                                                                                                                                                                                                                                                                                                                    | STUDENT:<br>ANTEA MATAS                                 | MENTOR:<br>Doc. dr. sc. Marina Sunara |  |
|                                                                                                                                                                                                                                                                                                                    | SADRŽAJ:<br>PLAN ARMATURE ANKERA TEMELJA                | MJERILO:<br>1:50                      |  |
| DATUM:<br>2022./2023.                                                                                                                                                                                                                                                                                              | PRILOG:<br>12.1.                                        |                                       |  |

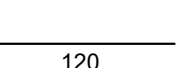
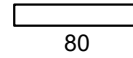
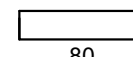
# PLAN ARMATURE ANKERA TEMELJA

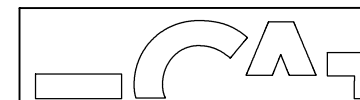
## TEMELJNA PLOČA 2

### MJ 1:50



Šipke - specifikacija

| PLAN ARMATURE ANKERA TEMELJA |                                                                                            |    |         |         |               |        |
|------------------------------|--------------------------------------------------------------------------------------------|----|---------|---------|---------------|--------|
| POZ                          | oblik i mjere [cm]                                                                         | Ø  | lg [cm] | n [kom] | jed.t. [kg/m] | TEŽ kg |
| 1                            | 30  120 | 14 | 150     | 76      | 1,25          | 142,5  |
| 2                            | 14  80  | 8  | 174     | 194     | 0,395         | 133,34 |
| 3                            | 18  80  | 8  | 178     | 112     | 0,395         | 78,75  |
| Ukupno                       |                                                                                            |    |         |         | 354,59 kg     |        |



**SVEUČILIŠTE U SPLITU**  
**FAKULTET GRAĐEVINARSTVA,**  
**ARHITEKTURE I GEODEZIJE**  
**UNIVERSITY OF SPLIT**  
**FACULTY OF CIVIL ENGINEERING,**  
**ARCHITECTURE AND GEODESY**

DIPLOMSKI RAD

PROGRAM:  
 PROJEKT AB STAMBENE ZGRADE U KRILU JESENICE

STUDENT:  
 ANTEA MATAS

MENTOR:  
 Doc. dr. sc. Marina Sunara

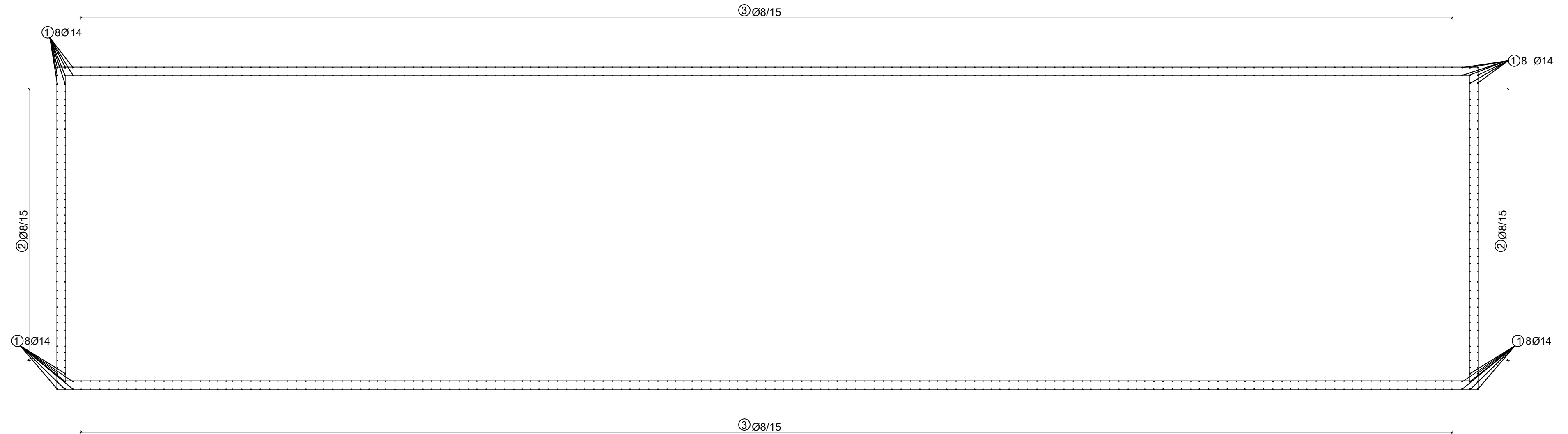
SADRŽAJ  
 PLAN ARMATURE ANKERA TEMELJA

MJERILO  
 1:50

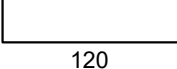
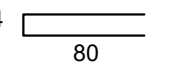
DATUM  
 2022./2023.


PRILOG  
 12.2.

PLAN ARMATURE ANKERA TEMELJA  
 TEMELJNA PLOČA 3  
 MJ 1:50

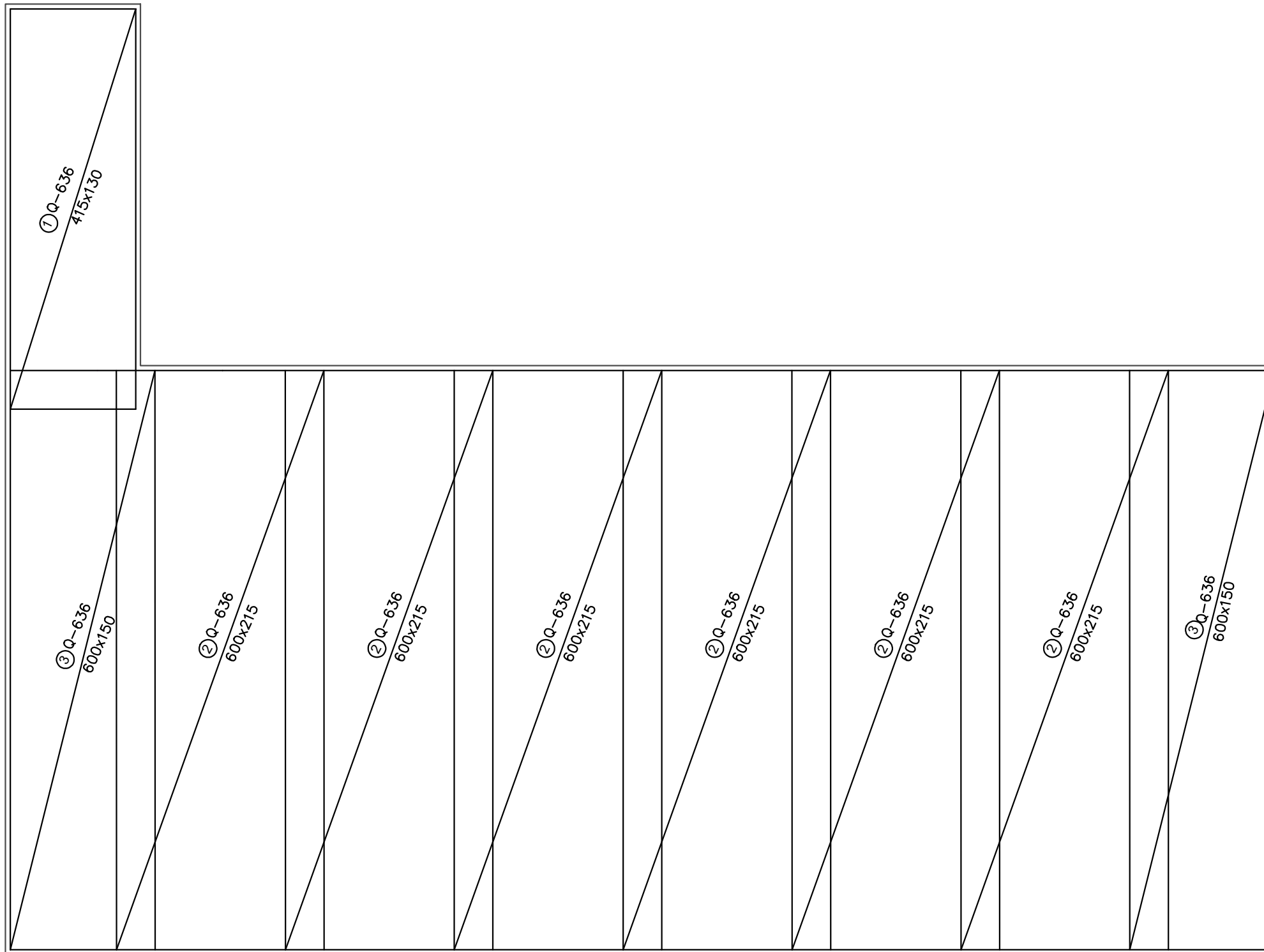


Šipke - specifikacija

| PLAN ARMATURE ANKERA TEMELJA |                                                                                              |    |         |         |               |        |
|------------------------------|----------------------------------------------------------------------------------------------|----|---------|---------|---------------|--------|
| POZ                          | oblik i mjere [cm]                                                                           | Ø  | lg [cm] | n [kom] | jed.t. [kg/m] | TEŽ kg |
| 1                            | 30  120 | 14 | 150     | 32      | 1,25          | 60,00  |
| 2                            | 14  80  | 8  | 174     | 398     | 0,395         | 273,55 |
| Ukupno                       |                                                                                              |    |         |         | 333,55 kg     |        |

|                                                                                                                                                                                                                                                          |                                                         |                                       |  |
|----------------------------------------------------------------------------------------------------------------------------------------------------------------------------------------------------------------------------------------------------------|---------------------------------------------------------|---------------------------------------|--|
| <br>SVEUČILIŠTE U SPLITU<br>FAKULTET GRAĐEVINARSTVA,<br>ARHITEKTURE I GEODEZIJE<br>UNIVERSITY OF SPLIT<br>FACULTY OF CIVIL ENGINEERING,<br>ARCHITECTURE AND GEODESY | DIPLOMSKI RAD                                           |                                       |  |
|                                                                                                                                                                                                                                                          | PROGRAM:<br>PROJEKT AB STAMBENE ZGRADE U KRILU JESENICE |                                       |  |
|                                                                                                                                                                                                                                                          | STUDENT:<br>ANTEA MATAS                                 | MENTOR:<br>Doc. dr. sc. Marina Sunara |  |
|                                                                                                                                                                                                                                                          | SADRŽAJ:<br>PLAN ARMATURE ANKERA TEMELJA                | MJERILO:<br>1:50                      |  |
|                                                                                                                                                                                                                                                          | DATUM:<br>2022./2023.                                   | PRILOG:<br>12.3.                      |  |

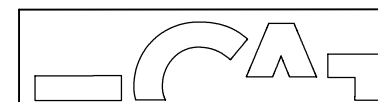
# PLAN ARMATURE TEMELJNE PLOČE 1 - DONJA ZONA MJ 1:50



Mreže - specifikacija

| ARM. TEMELJNE PLOČE 1 , DONJA ZONA |       |        |        |   |                               |                    |
|------------------------------------|-------|--------|--------|---|-------------------------------|--------------------|
| Poz                                | Ozn   | B [cm] | L [cm] | n | Jed. tež [kg/m <sup>2</sup> ] | Ukupna težina [kg] |
| 1                                  | Q-636 | 415    | 130    | 1 | 10,08                         | 54,38              |
| 2                                  | Q-636 | 600    | 215    | 6 | 10,08                         | 130,03             |
| 3                                  | Q-636 | 600    | 150    | 2 | 10,08                         | 181,44             |
| Ukupno                             |       |        |        |   |                               | 365,85 kg          |

Napomena: Preklopi mreža u oba smjera iznose 40 cm.  
Minimalni zaštitni sloj za temeljne ploče iznosi 5 cm.



**SVEUČILIŠTE U SPLITU**  
FAKULTET GRAĐEVINARSTVA,  
ARHITEKTURE I GEODEZIJE

**UNIVERSITY OF SPLIT**  
FACULTY OF CIVIL ENGINEERING,  
ARCHITECTURE AND GEODESY

DIPLOMSKI RAD

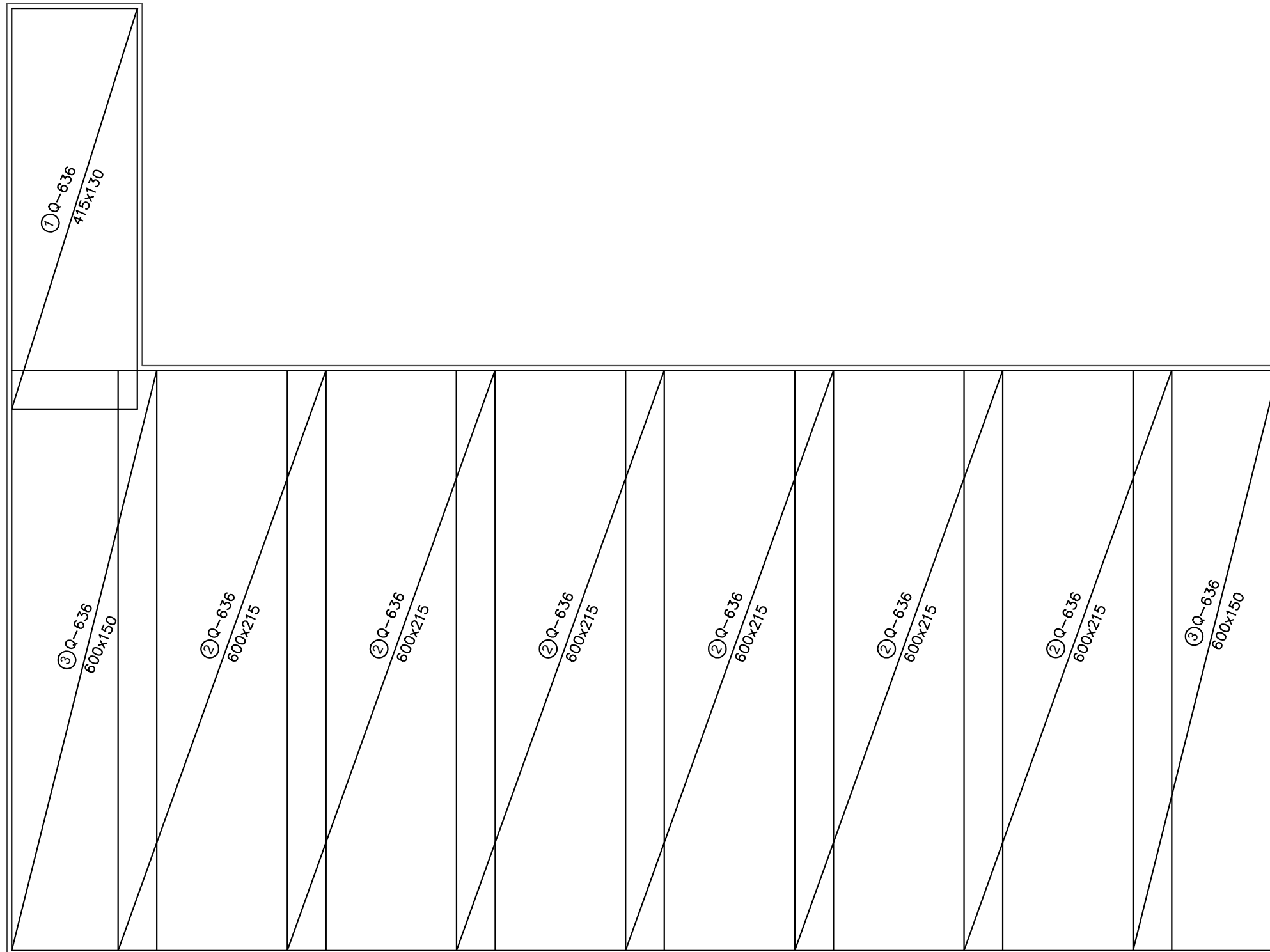
PROGRAM:  
PROJEKT AB STAMBENE ZGRADE U KRILU JESENICE

|                                |         |                            |
|--------------------------------|---------|----------------------------|
| STUDENT:<br><b>ANTEA MATAS</b> | MENTOR: | Doc. dr. sc. Marina Sunara |
|--------------------------------|---------|----------------------------|

|                                      |         |       |
|--------------------------------------|---------|-------|
| SADRŽAJ<br>PLAN ARMATURE TEM.PLOČE 1 | MJERILO | 1: 50 |
|--------------------------------------|---------|-------|

|                      |        |       |
|----------------------|--------|-------|
| DATUM<br>2022./2023. | PRILOG | 12.4. |
|----------------------|--------|-------|

# PLAN ARMATURE TEMELJNE PLOČE 1 - GORNJA ZONA MJ 1:50

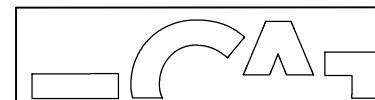


Mreže - specifikacija

| ARM. TEMELJNE PLOČE 1 , GORNJA ZONA |       |        |        |   |                               |                    |
|-------------------------------------|-------|--------|--------|---|-------------------------------|--------------------|
| Poz                                 | Ozn   | B [cm] | L [cm] | n | Jed. tež [kg/m <sup>2</sup> ] | Ukupna težina [kg] |
| 1                                   | Q-636 | 415    | 130    | 1 | 10,08                         | 54,38              |
| 2                                   | Q-636 | 600    | 215    | 6 | 10,08                         | 130,03             |
| 3                                   | Q-636 | 600    | 150    | 2 | 10,08                         | 181,44             |
| Ukupno                              |       |        |        |   |                               | 365,85 kg          |

Napomena: Preklopi mreža u oba smjera iznose 40 cm.

Minimalni zaštitni sloj za temeljne ploče iznosi 5 cm.



**SVEUČILIŠTE U SPLITU**  
**FAKULTET GRAĐEVINARSTVA,**  
**ARHITEKTURE I GEODEZIJE**

**UNIVERSITY OF SPLIT**  
**FACULTY OF CIVIL ENGINEERING,**  
**ARCHITECTURE AND GEODESY**

DIPLOMSKI RAD

PROGRAM:  
 PROJEKT KONSTRUKCIJE STAMBENE ZGRADE U KRILU JESENICE

STUDENT:  
 ANTEA MATAS

MENTOR:  
 Doc. dr. sc. Marina Sunara

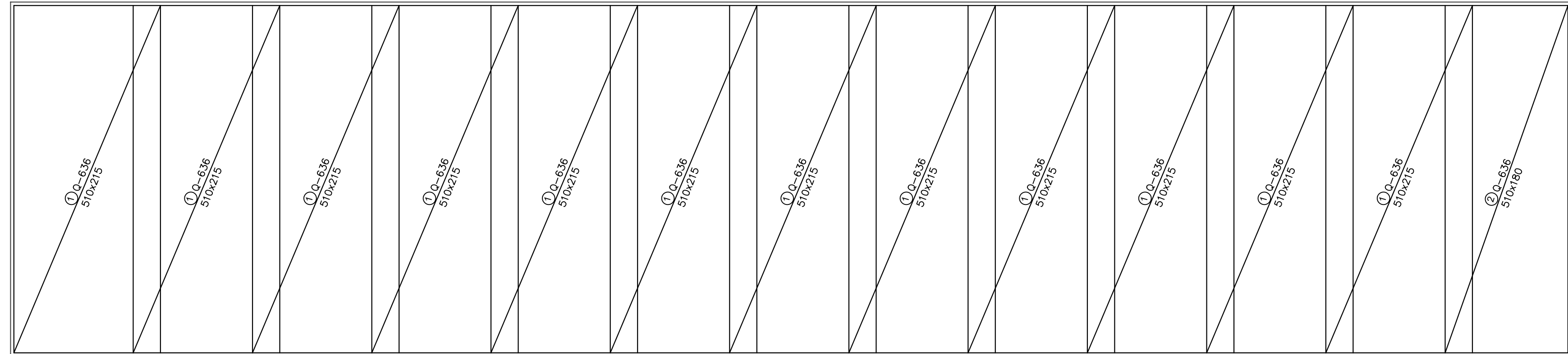
SADRŽAJ  
 PLAN ARMATURE TEM.PLOČE 1

MJERILO  
 1:50

DATUM  
 2022./2023.

PRILOG  
 12.5.

PLAN ARMATURE TEMELJNE PLOČE 3 (POMOĆNI OBJEKT)- DONJA ZONA  
MJ 1:50




Mreže - specifikacija

| ARM. TEM. PLOČE 3 , DONJA ZONA |       |        |        |    |                               |                    |
|--------------------------------|-------|--------|--------|----|-------------------------------|--------------------|
| Poz                            | Ozn   | B [cm] | L [cm] | n  | Jed. tež [kg/m <sup>2</sup> ] | Ukupna težina [kg] |
| 1                              | Q-636 | 510    | 215    | 12 | 10,08                         | 1326,33            |
| 2                              | Q-636 | 510    | 180    | 1  | 10,08                         | 92,53              |
| Ukupno                         |       |        |        |    |                               | 1418,86 kg         |

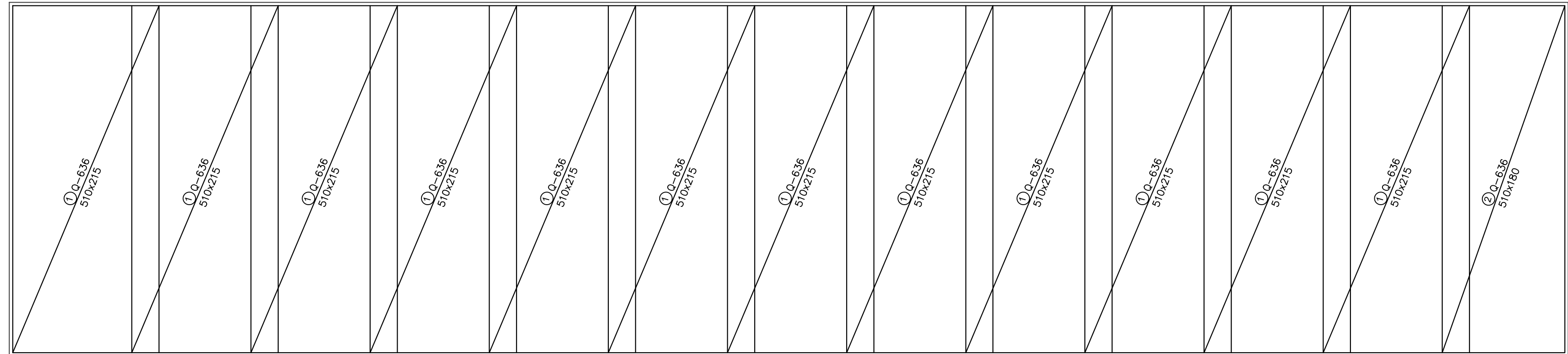
Napomena: Preklopi mreža u oba smjera iznose 40 cm.

Minimalni zaštitni sloj za temeljne ploče iznosi 5 cm.

|                                                                                                                                                                                                                                                                                    |                                                                   |         |                            |
|------------------------------------------------------------------------------------------------------------------------------------------------------------------------------------------------------------------------------------------------------------------------------------|-------------------------------------------------------------------|---------|----------------------------|
|  <p><b>SVEUČILIŠTE U SPLITU</b><br/>FAKULTET GRAĐEVINARSTVA,<br/>ARHITEKTURE I GEODEZIJE</p> <p><b>UNIVERSITY OF SPLIT</b><br/>FACULTY OF CIVIL ENGINEERING,<br/>ARCHITECTURE AND GEODESY</p> | DIPLOMSKI RAD                                                     |         |                            |
|                                                                                                                                                                                                                                                                                    | PROGRAM:<br>PROJEKT KONSTRUKCIJE STAMBENE ZGRADE U KRILU JESENICE |         |                            |
|                                                                                                                                                                                                                                                                                    | STUDENT:<br>ANTEA MATAS                                           | MENTOR: | Doc. dr. sc. Marina Sunara |
|                                                                                                                                                                                                                                                                                    | SADRŽAJ<br>PLAN ARMATURE TEM.PLOČE 3                              | MJERILO | 1:50                       |
|                                                                                                                                                                                                                                                                                    | DATUM<br>2022./2023.                                              | PRILOG  | 12.6.                      |




PLAN ARMATURE TEMELJNE PLOČE 3 (POMOĆNI OBJEKT) - GORNJA ZONA  
MJ 1:50



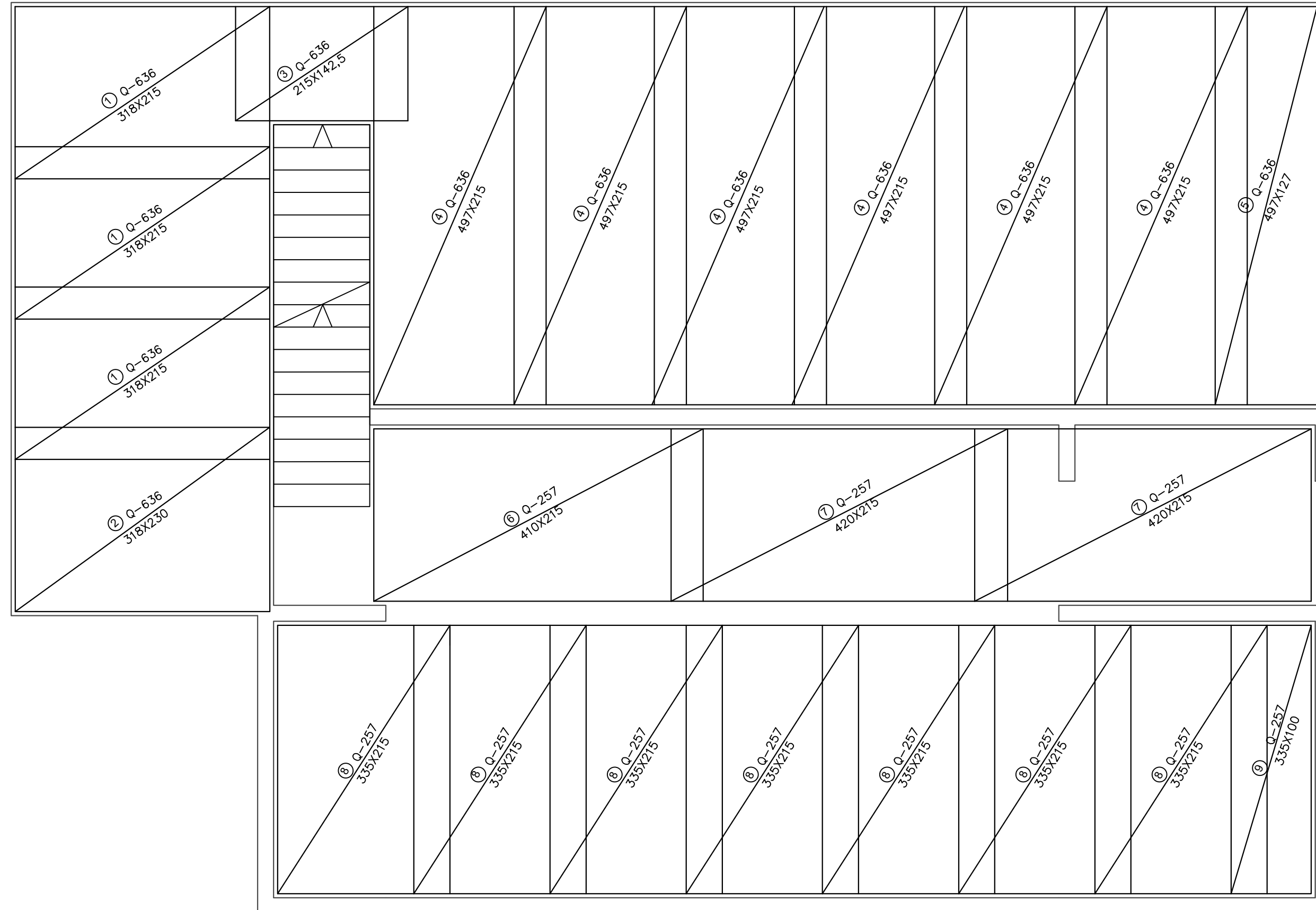
Mreže - specifikacija

| ARM. TEM. PLOČE 3 , GORNJA ZONA |       |        |        |    |                               |                    |
|---------------------------------|-------|--------|--------|----|-------------------------------|--------------------|
| Poz                             | Ozn   | B [cm] | L [cm] | n  | Jed. tež [kg/m <sup>2</sup> ] | Ukupna težina [kg] |
| 1                               | Q-636 | 510    | 215    | 12 | 10,08                         | 1326,33            |
| 2                               | Q-636 | 510    | 180    | 1  | 10,08                         | 92,53              |
| Ukupno                          |       |        |        |    |                               | 1418,86 kg         |

Napomena: Preklopi mreža u oba smjera iznose 40 cm.  
Minimalni zaštitni sloj za temeljne ploče iznosi 5 cm.

|                                                                                                                                                                                                                                                                                    |                                                                   |                                       |  |
|------------------------------------------------------------------------------------------------------------------------------------------------------------------------------------------------------------------------------------------------------------------------------------|-------------------------------------------------------------------|---------------------------------------|--|
|  <p><b>SVEUČILIŠTE U SPLITU</b><br/>FAKULTET GRAĐEVINARSTVA,<br/>ARHITEKTURE I GEODEZIJE</p> <p><b>UNIVERSITY OF SPLIT</b><br/>FACULTY OF CIVIL ENGINEERING,<br/>ARCHITECTURE AND GEODESY</p> | DIPLOMSKI RAD                                                     |                                       |  |
|                                                                                                                                                                                                                                                                                    | PROGRAM:<br>PROJEKT KONSTRUKCIJE STAMBENE ZGRADE U KRILU JESENICE |                                       |  |
|                                                                                                                                                                                                                                                                                    | STUDENT:<br>ANTEA MATAS                                           | MENTOR:<br>Doc. dr. sc. Marina Sunara |  |
|                                                                                                                                                                                                                                                                                    | SADRŽAJ:<br>PLAN ARMATURE TEM.PLOČE 3                             | MJERILO:<br>1:50                      |  |
| DATUM:<br>2022./2023.                                                                                                                                                                                                                                                              |                                                                   | PRILOG:<br>12.7.                      |  |


# PLAN ARMATURE PLOČE POZICIJE 100 -DONJA ZONA MJ 1:50



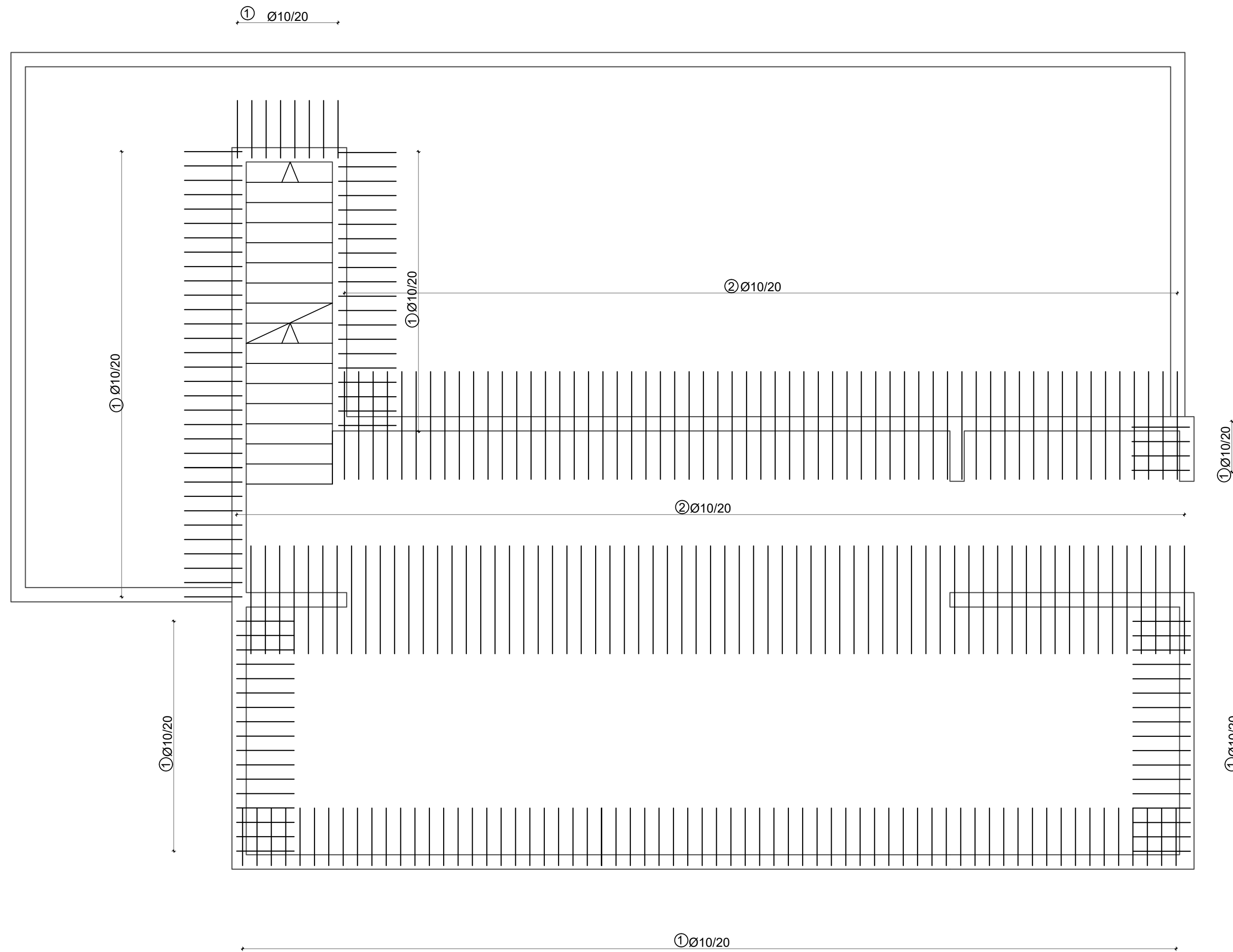
Mreže - specifikacija

| ARM. PLOČE POZ.100 ,DONJA ZONA |       |        |        |   |                               |                    |
|--------------------------------|-------|--------|--------|---|-------------------------------|--------------------|
| Poz                            | Ozn   | B [cm] | L [cm] | n | Jed. tež [kg/m <sup>2</sup> ] | Ukupna težina [kg] |
| 1                              | Q-636 | 318    | 215    | 3 | 10,08                         | 206,75             |
| 2                              | Q-636 | 318    | 230    | 1 | 10,08                         | 73,73              |
| 3                              | Q-636 | 215    | 142,5  | 1 | 10,08                         | 30,99              |
| 4                              | Q-636 | 497    | 215    | 6 | 10,08                         | 646,26             |
| 5                              | Q-636 | 497    | 127    | 1 | 10,08                         | 63,62              |
| 6                              | Q-257 | 410    | 215    | 1 | 4,16                          | 36,67              |
| 7                              | Q-257 | 420    | 215    | 2 | 4,16                          | 37,56              |
| 8                              | Q-257 | 335    | 215    | 7 | 4,16                          | 209,74             |
| 9                              | Q-257 | 335    | 100    | 1 | 4,16                          | 13,94              |
| Ukupno                         |       |        |        |   |                               | 1319,26 kg         |

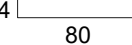
Napomena: Preklopi mreža u oba smjera iznose 40 cm.  
Minimalni zaštitni sloj za međukatne ploče iznosi 5 cm.


|                                                                                                                                                                                                                                                                                    |               |                                                       |                                    |
|------------------------------------------------------------------------------------------------------------------------------------------------------------------------------------------------------------------------------------------------------------------------------------|---------------|-------------------------------------------------------|------------------------------------|
|  <p><b>SVEUČILIŠTE U SPLITU</b><br/>FAKULTET GRAĐEVINARSTVA,<br/>ARHITEKTURE I GEODEZIJE</p> <p><b>UNIVERSITY OF SPLIT</b><br/>FACULTY OF CIVIL ENGINEERING,<br/>ARCHITECTURE AND GEODESY</p> | DIPLOMSKI RAD |                                                       |                                    |
|                                                                                                                                                                                                                                                                                    | PROGRAM:      | PROJEKT KONSTRUKCIJE STAMBENE ZGRADE U KRILU JESENICE |                                    |
|                                                                                                                                                                                                                                                                                    | STUDENT:      | ANTEA MATAS                                           | MENTOR: Doc. dr. sc. Marina Sunara |
|                                                                                                                                                                                                                                                                                    | SADRŽAJ:      | PLAN ARMATURE PLOČE POZ.100                           | MJERILO: 1:50                      |
| DATUM:                                                                                                                                                                                                                                                                             | 2022./2023.   | PRILOG: 12.8.                                         |                                    |

# PLAN ARMATURE PLOČE POZICIJE 100 -DONJA ZONA MJ 1:50

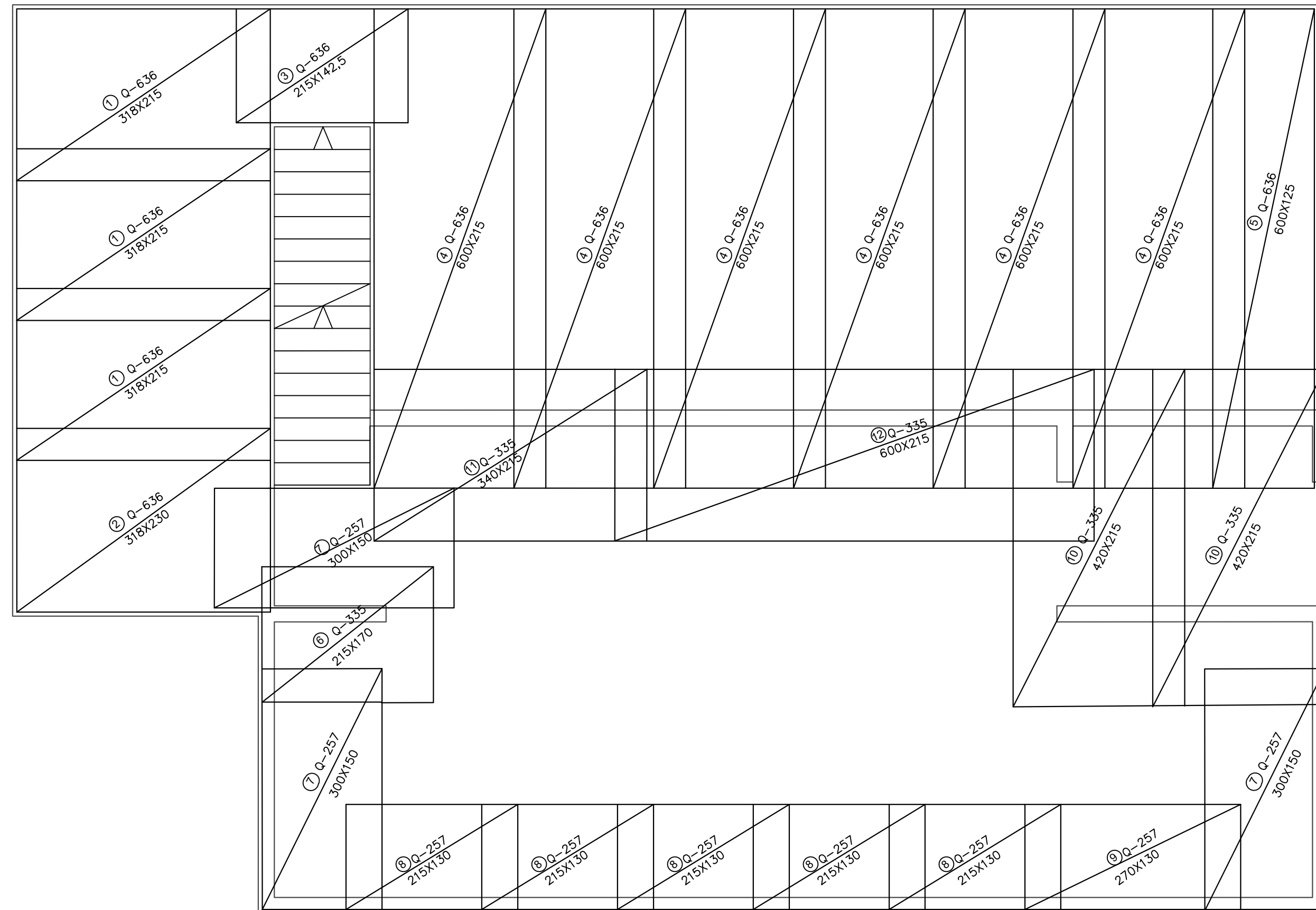


Šipke - specifikacija

| ARM. PLOČE POZ-100 , DONJA ZONA |                                                                                                    |    |         |         |               |           |
|---------------------------------|----------------------------------------------------------------------------------------------------|----|---------|---------|---------------|-----------|
| POZ                             | oblik i mjere [cm]                                                                                 | Ø  | lg [cm] | n [kom] | jed.t. [kg/m] | TEŽ kg    |
| 1                               | 80<br>14 <br>80 | 10 | 174     | 220     | 0,649         | 248,44    |
| 2                               | 150                                                                                                | 10 | 150     | 260     | 0,649         | 253,11    |
| Ukupno                          |                                                                                                    |    |         |         |               | 501,55 kg |

|                                                                                                                                                                                                                                                                            |                                                                   |                                       |
|----------------------------------------------------------------------------------------------------------------------------------------------------------------------------------------------------------------------------------------------------------------------------|-------------------------------------------------------------------|---------------------------------------|
| <br><b>SVEUČILIŠTE U SPLITU</b><br>FAKULTET GRAĐEVINARSTVA,<br>ARHITEKTURE I GEODEZIJE<br><br><b>UNIVERSITY OF SPLIT</b><br>FACULTY OF CIVIL ENGINEERING,<br>ARCHITECTURE AND GEODESY | DIPLOMSKI RAD                                                     |                                       |
|                                                                                                                                                                                                                                                                            | PROGRAM:<br>PROJEKT KONSTRUKCIJE STAMBENE ZGRADE U KRILU JESENICE |                                       |
|                                                                                                                                                                                                                                                                            | STUDENT:<br>ANTEA MATAS                                           | MENTOR:<br>Doc. dr. sc. Marina Sunara |
|                                                                                                                                                                                                                                                                            | SADRŽAJ:<br>PLAN ARMATURE PLOČE POZ.100                           | MJERILO<br>1:50                       |
| DATUM<br>2022./2023.                                                                                                                                                                                                                                                       |                                                                   | PRILOG<br>12.9.                       |

# PLAN ARMATURE PLOČE POZICIJE 100 -GORNJA ZONA MJ 1:50




Mreže - specifikacija

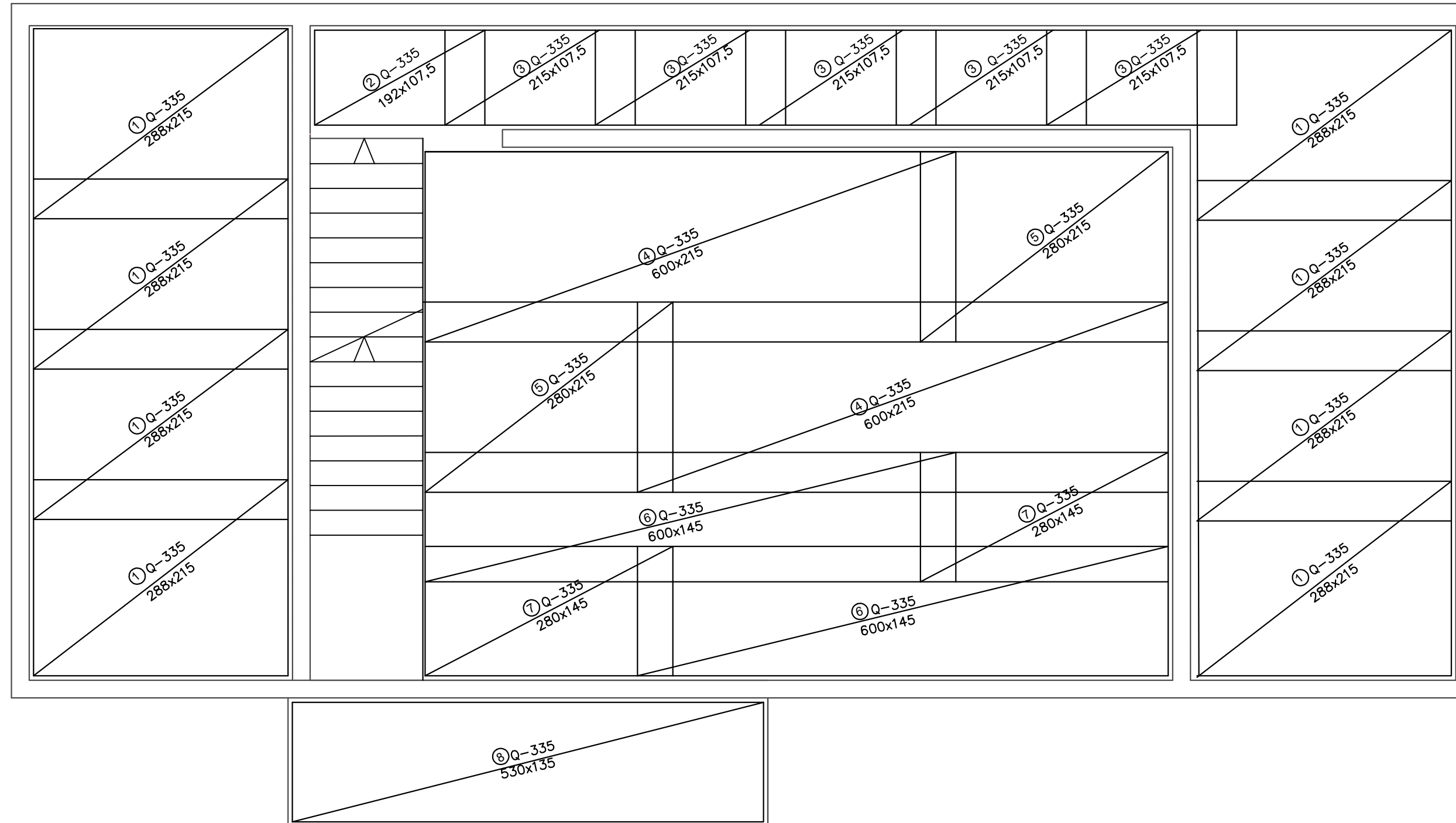
| ARM. PLOČE POZ.100 ,GORNJA ZONA |       |        |        |   |                               |                    |
|---------------------------------|-------|--------|--------|---|-------------------------------|--------------------|
| Poz                             | Ozn   | B [cm] | L [cm] | n | Jed. tež [kg/m <sup>2</sup> ] | Ukupna težina [kg] |
| 1                               | Q-636 | 318    | 215    | 3 | 10,08                         | 206,75             |
| 2                               | Q-636 | 318    | 230    | 1 | 10,08                         | 73,73              |
| 3                               | Q-636 | 215    | 142,5  | 1 | 10,08                         | 30,99              |
| 4                               | Q-636 | 600    | 215    | 6 | 10,08                         | 646,26             |
| 5                               | Q-636 | 600    | 125    | 1 | 10,08                         | 63,62              |
| 6                               | Q-335 | 215    | 170    | 1 | 5,45                          | 13,89              |
| 7                               | Q-257 | 300    | 150    | 3 | 4,16                          | 53,64              |
| 8                               | Q-257 | 215    | 130    | 5 | 4,16                          | 59,48              |
| 9                               | Q-257 | 270    | 130    | 1 | 4,16                          | 85,15              |
| 10                              | Q-335 | 420    | 215    | 2 | 5,45                          | 60,03              |
| 11                              | Q-335 | 340    | 215    | 1 | 5,45                          | 39,84              |
| 12                              | Q-335 | 600    | 215    | 1 | 5,45                          | 14,94              |
| Ukupno                          |       |        |        |   |                               | 1344,69 kg         |

Napomena: Preklopi mreža u oba smjera iznose 40 cm.

Minimalni zaštitni sloj za međukatne i temeljne ploče iznosi 5 cm.

|                                                                                                                                                                                                                                                                                    |                             |                                                       |
|------------------------------------------------------------------------------------------------------------------------------------------------------------------------------------------------------------------------------------------------------------------------------------|-----------------------------|-------------------------------------------------------|
|  <p><b>SVEUČILIŠTE U SPLITU</b><br/>FAKULTET GRAĐEVINARSTVA,<br/>ARHITEKTURE I GEODEZIJE</p> <p><b>UNIVERSITY OF SPLIT</b><br/>FACULTY OF CIVIL ENGINEERING,<br/>ARCHITECTURE AND GEODESY</p> | DIPLOMSKI RAD               |                                                       |
|                                                                                                                                                                                                                                                                                    | PROGRAM:                    | PROJEKT KONSTRUKCIJE STAMBENE ZGRADE U KRILU JESENICE |
|                                                                                                                                                                                                                                                                                    | STUDENT:                    | ANTEA MATAS                                           |
|                                                                                                                                                                                                                                                                                    | MENTOR:                     | Doc. dr. sc. Marina Sunara                            |
| SADRŽAJ:                                                                                                                                                                                                                                                                           | PLAN ARMATURE PLOČE POZ.100 | MJERILO: 1:50                                         |
| DATUM:                                                                                                                                                                                                                                                                             | 2022./2023.                 | PRILOG: 12.10.                                        |

PLAN ARMATURE PLOČE POZICIJE 200 -DONJA ZONA  
MJ 1:50




Mreže - specifikacija

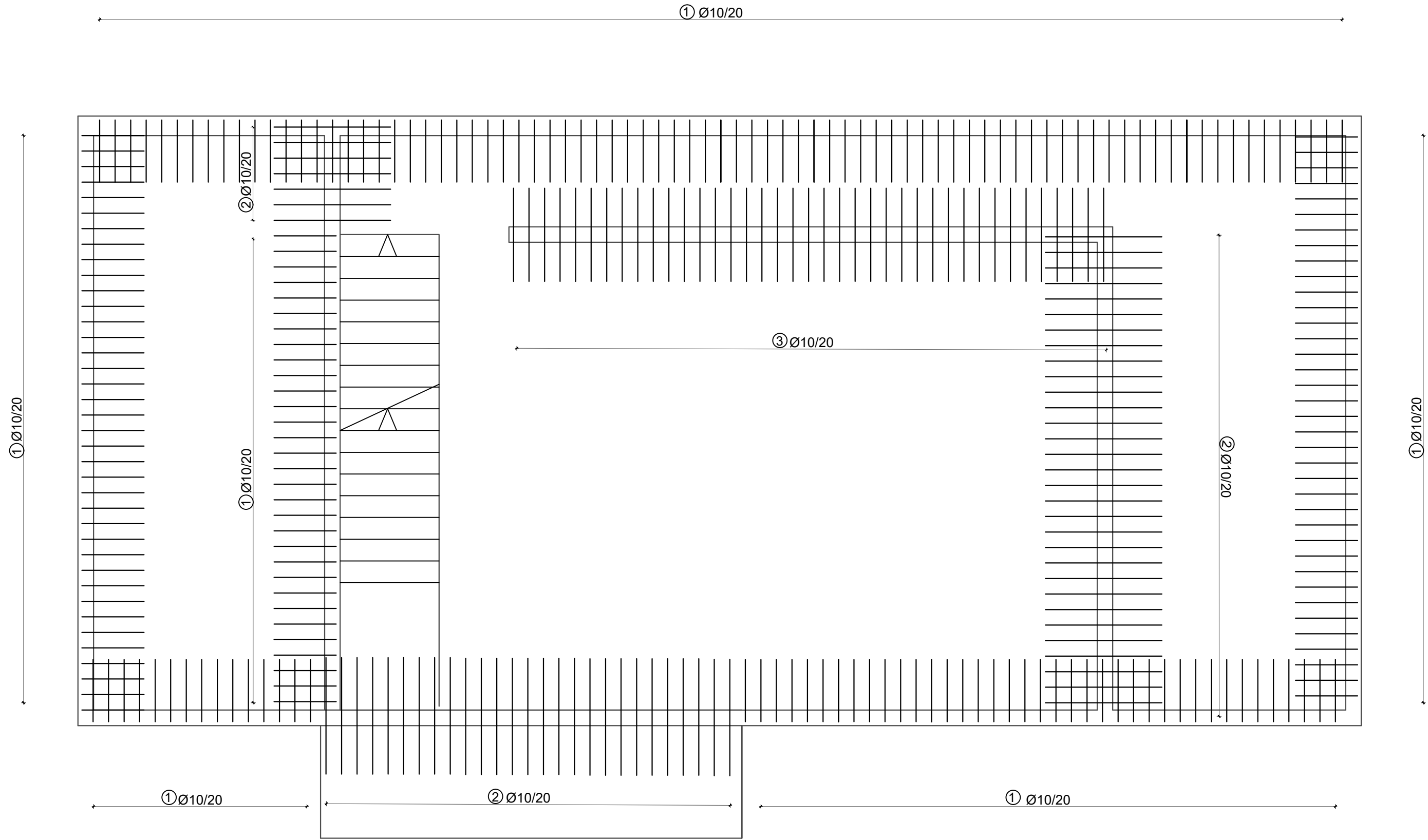
| ARM. PLOČE POZ 200 , DONJA ZONA |       |        |        |   |                               |                    |
|---------------------------------|-------|--------|--------|---|-------------------------------|--------------------|
| Poz                             | Ozn   | B [cm] | L [cm] | n | Jed. tež [kg/m <sup>2</sup> ] | Ukupna težina [kg] |
| 1                               | Q-335 | 288    | 215    | 8 | 5,45                          | 269,97             |
| 2                               | Q-335 | 192    | 107,5  | 1 | 5,45                          | 11,51              |
| 3                               | Q-335 | 215    | 107,5  | 5 | 5,45                          | 60,28              |
| 4                               | Q-335 | 600    | 215    | 2 | 5,45                          | 140,61             |
| 5                               | Q-335 | 280    | 215    | 2 | 5,45                          | 65,62              |
| 6                               | Q-335 | 600    | 145    | 2 | 5,45                          | 94,83              |
| 7                               | Q-335 | 280    | 145    | 2 | 5,45                          | 44,25              |
| 8                               | Q-335 | 530    | 135    | 1 | 5,45                          | 38,99              |
| Ukupno                          |       |        |        |   |                               | 726,06 kg          |

Napomena: Preklopi mreža u oba smjera iznose 40 cm.

Minimalni zaštitni sloj za međukatne ploče iznosi 5 cm.

|                                                                                                                                                                                                                                                                                    |                                                                   |                                       |  |
|------------------------------------------------------------------------------------------------------------------------------------------------------------------------------------------------------------------------------------------------------------------------------------|-------------------------------------------------------------------|---------------------------------------|--|
|  <p><b>SVEUČILIŠTE U SPLITU</b><br/>FAKULTET GRAĐEVINARSTVA,<br/>ARHITEKTURE I GEODEZIJE</p> <p><b>UNIVERSITY OF SPLIT</b><br/>FACULTY OF CIVIL ENGINEERING,<br/>ARCHITECTURE AND GEODESY</p> | DIPLOMSKI RAD                                                     |                                       |  |
|                                                                                                                                                                                                                                                                                    | PROGRAM:<br>PROJEKT KONSTRUKCIJE STAMBENE ZGRADE U KRILU JESENICE |                                       |  |
|                                                                                                                                                                                                                                                                                    | STUDENT:<br>ANTEA MATAS                                           | MENTOR:<br>Doc. dr. sc. Marina Sunara |  |
|                                                                                                                                                                                                                                                                                    | SADRŽAJ:<br>PLAN ARMATURE PLOČE POZ.200                           | MJERILO:<br>1:50                      |  |
| DATUM:<br>2022./2023.                                                                                                                                                                                                                                                              | PRILOG:<br>12.11.                                                 |                                       |  |

PLAN ARMATURE PLOČE POZICIJE 200 -DONJA ZONA  
MJ 1:50

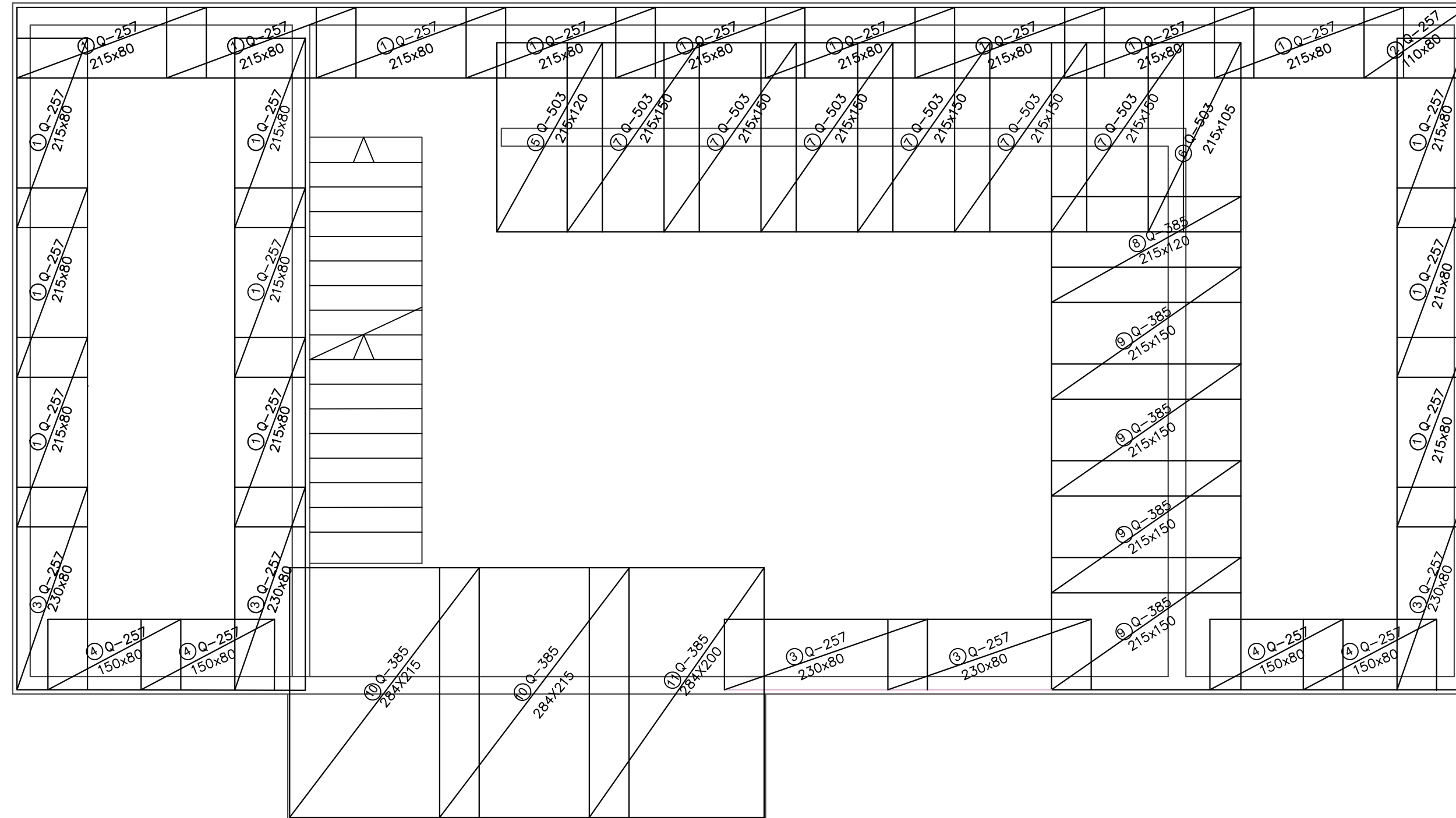


Šipke - specifikacija

| ARM. PLOČE POZ-200 , DONJA ZONA |                    |    |         |         |               |           |
|---------------------------------|--------------------|----|---------|---------|---------------|-----------|
| POZ                             | oblik i mjere [cm] | Ø  | lg [cm] | n [kom] | jed.t. [kg/m] | TEŽ kg    |
| 1                               | 80<br>14  80       | 10 | 174     | 268     | 0,65          | 289,54    |
| 2                               | 150                | 10 | 150     | 78      | 0,65          | 76,05     |
| 3                               | 120                | 10 | 120     | 50      | 0,65          | 39,00     |
| Ukupno                          |                    |    |         |         |               | 405,00 kg |

|                                                                                                                                                                                              |                                                                   |                                       |
|----------------------------------------------------------------------------------------------------------------------------------------------------------------------------------------------|-------------------------------------------------------------------|---------------------------------------|
| <p><b>SVEUČILIŠTE U SPLITU</b><br/>FAKULTET GRAĐEVINARSTVA,<br/>ARHITEKTURE I GEODEZIJE</p> <p><b>UNIVERSITY OF SPLIT</b><br/>FACULTY OF CIVIL ENGINEERING,<br/>ARCHITECTURE AND GEODESY</p> | DIPLOMSKI RAD                                                     |                                       |
|                                                                                                                                                                                              | PROGRAM:<br>PROJEKT KONSTRUKCIJE STAMBENE ZGRADE U KRILU JESENICE |                                       |
|                                                                                                                                                                                              | STUDENT:<br>ANTEA MATAS                                           | MENTOR:<br>Doc. dr. sc. Marina Sunara |
|                                                                                                                                                                                              | SADRŽAJ:<br>PLAN ARMATURE PLOČE POZ.200                           | MJERILO<br>1:50                       |
| DATUM<br>2022./2023.                                                                                                                                                                         |                                                                   | PRILOG<br>12.12.                      |

# PLAN ARMATURE PLOČE POZICIJE 200 -GORNJA ZONA MJ 1:50




Mreže - specifikacija

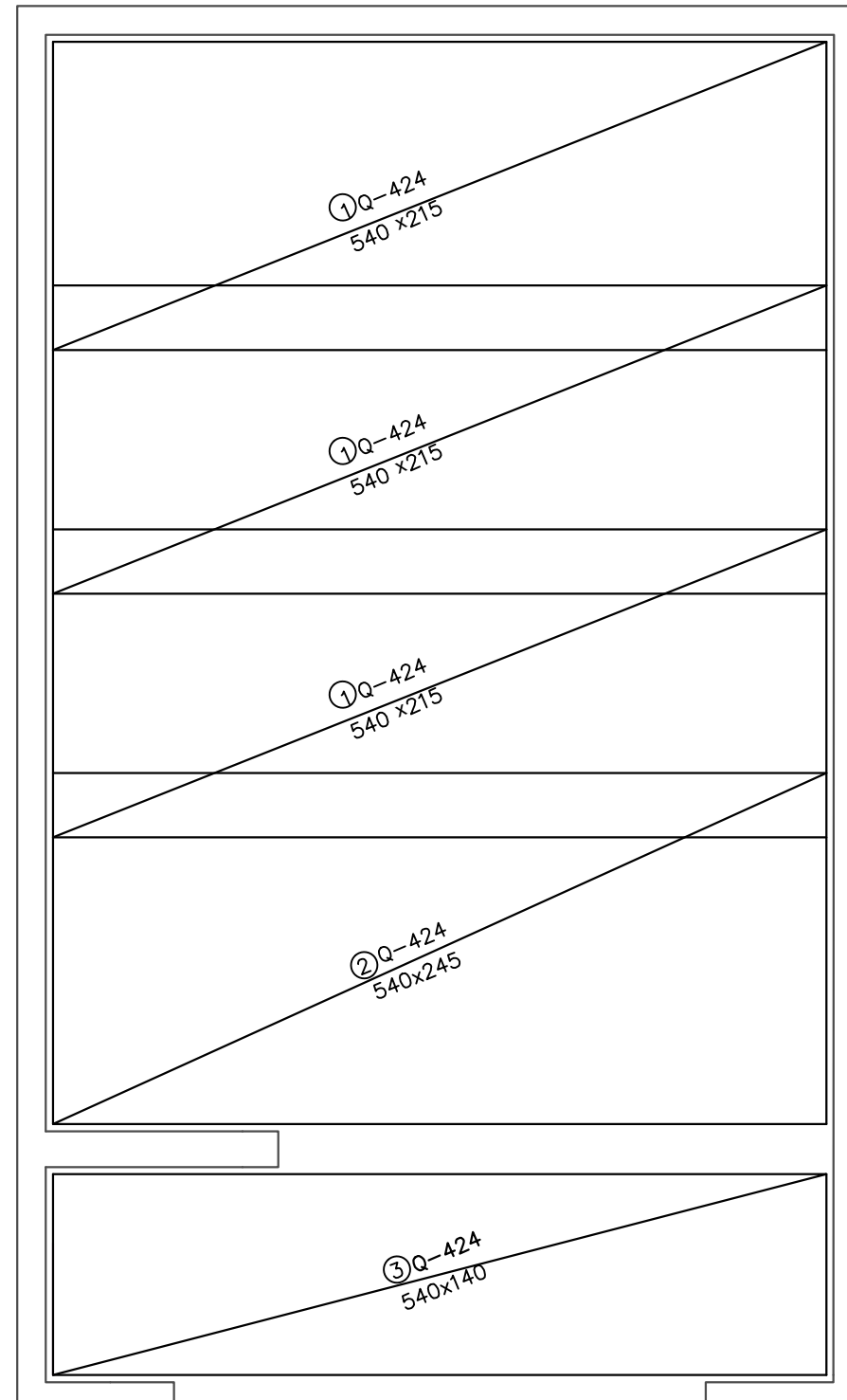
| ARM. PLOČE POZ 200 , GORNJA ZONA |       |        |        |    |                               |                    |
|----------------------------------|-------|--------|--------|----|-------------------------------|--------------------|
| Poz                              | Ozn   | B [cm] | L [cm] | n  | Jed. tež [kg/m <sup>2</sup> ] | Ukupna težina [kg] |
| 1                                | Q-257 | 215    | 80     | 18 | 4,16                          | 128,79             |
| 2                                | Q-257 | 110    | 80     | 1  | 4,16                          | 3,66               |
| 3                                | Q-257 | 230    | 80     | 5  | 4,16                          | 38,27              |
| 4                                | Q-257 | 150    | 80     | 4  | 4,16                          | 19,97              |
| 5                                | Q-503 | 215    | 120    | 1  | 8,03                          | 20,72              |
| 6                                | Q-503 | 215    | 105    | 1  | 8,03                          | 18,13              |
| 7                                | Q-503 | 215    | 150    | 6  | 8,03                          | 155,38             |
| 8                                | Q-385 | 215    | 120    | 1  | 6,10                          | 15,74              |
| 9                                | Q-385 | 215    | 150    | 4  | 6,10                          | 78,69              |
| 10                               | Q-385 | 284    | 215    | 2  | 6,10                          | 74,49              |
| 11                               | Q-385 | 284    | 200    | 1  | 6,10                          | 34,65              |
| Ukupno                           |       |        |        |    |                               | 588,49 kg          |

Napomena: Preklopi mreža u oba smjera iznose 40 cm.

Minimalni zaštitni sloj za međukatne ploče iznosi 5 cm.

|                                                                                                                                                                                                                                                                                    |               |                                                       |                                    |
|------------------------------------------------------------------------------------------------------------------------------------------------------------------------------------------------------------------------------------------------------------------------------------|---------------|-------------------------------------------------------|------------------------------------|
|  <p><b>SVEUČILIŠTE U SPLITU</b><br/>FAKULTET GRAĐEVINARSTVA,<br/>ARHITEKTURE I GEODEZIJE</p> <p><b>UNIVERSITY OF SPLIT</b><br/>FACULTY OF CIVIL ENGINEERING,<br/>ARCHITECTURE AND GEODESY</p> | DIPLOMSKI RAD |                                                       |                                    |
|                                                                                                                                                                                                                                                                                    | PROGRAM:      | PROJEKT KONSTRUKCIJE STAMBENE ZGRADE U KRILU JESENICE |                                    |
|                                                                                                                                                                                                                                                                                    | STUDENT:      | ANTEA MATAS                                           | MENTOR: Doc. dr. sc. Marina Sunara |
|                                                                                                                                                                                                                                                                                    | SADRŽAJ:      | PLAN ARMATURE PLOČE POZ.200                           | MJERILO: 1:50                      |
| DATUM:                                                                                                                                                                                                                                                                             | 2022./2023.   | PRILOG: 12.13.                                        |                                    |

# PLAN ARMATURE PLOČE POZICIJE 300 -DONJA ZONA MJ 1:50



## Mreže - specifikacija

| ARM. PLOČE POZ 300 , DONJA ZONA |       |        |        |   |                               |                    |
|---------------------------------|-------|--------|--------|---|-------------------------------|--------------------|
| Poz                             | Ozn   | B [cm] | L [cm] | n | Jed. tež [kg/m <sup>2</sup> ] | Ukupna težina [kg] |
| 1                               | Q-424 | 540    | 215    | 3 | 6,81                          | 237,19             |
| 2                               | Q-424 | 540    | 245    | 1 | 6,81                          | 90,09              |
| 3                               | Q-424 | 540    | 140    | 1 | 6,81                          | 51,48              |
| Ukupno                          |       |        |        |   |                               | 378,76             |

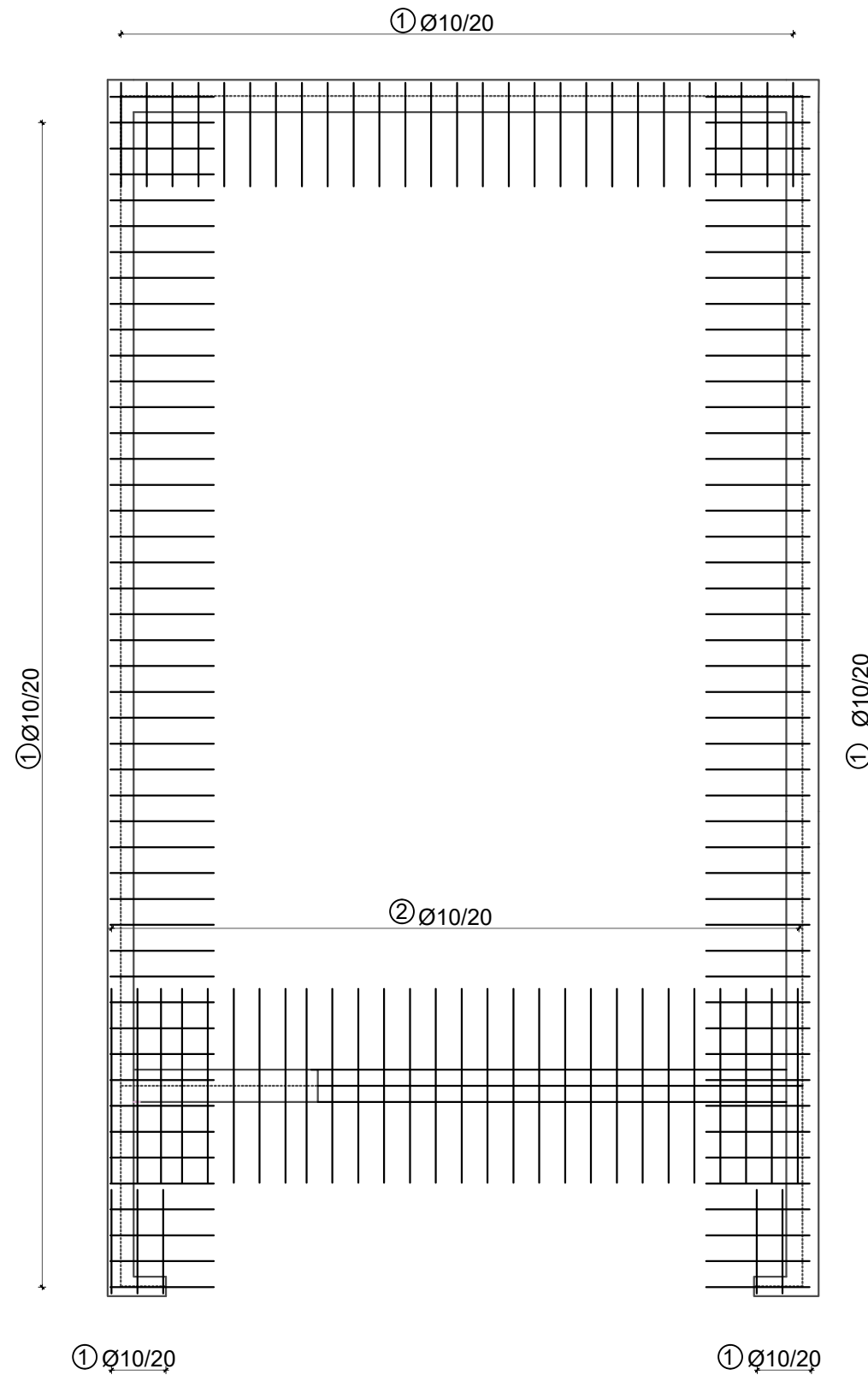
Napomena: Preklopi mreža u oba smjera iznose 40 cm.  
Minimalni zaštitni sloj za međukatne ploče iznosi 5 cm.

| DIPLOMSKI RAD                                                     |  |                                       |  |
|-------------------------------------------------------------------|--|---------------------------------------|--|
| PROGRAM:<br>PROJEKT KONSTRUKCIJE STAMBENE ZGRADE U KRILU JESENICE |  |                                       |  |
| STUDENT:<br>ANTEA MATAS                                           |  | MENTOR:<br>Doc. dr. sc. Marina Sunara |  |
| SADRŽAJ<br>PLAN ARMATURE PLOČE POZ.300                            |  | MJEILO<br>1:50                        |  |
| DATUM<br>2022./2023.                                              |  | PRILOG<br>12.14.                      |  |

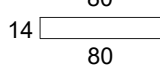
  
**SVEUČILIŠTE U SPLITU**  
**FAKULTET GRAĐEVINARSTVA,**  
**ARHITEKTURE I GEODEZIJE**  
**UNIVERSITY OF SPLIT**  
**FACULTY OF CIVIL ENGINEERING,**  
**ARCHITECTURE AND GEODESY**

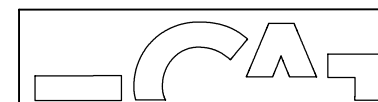


# PLAN ARMATURE PLOČE POZICIJE 300 -DONJA ZONA MJ 1:50



Šipke - specifikacija

| ARM. PLOČE POZ-300 , DONJA ZONA |                                                                                                 |    |         |         |               |           |
|---------------------------------|-------------------------------------------------------------------------------------------------|----|---------|---------|---------------|-----------|
| POZ                             | oblik i mjere [cm]                                                                              | Ø  | lg [cm] | n [kom] | jed.t. [kg/m] | TEŽ kg    |
| 1                               | 80<br>14  80 | 10 | 174     | 142     | 0,65          | 160,6     |
| 2                               | 150                                                                                             | 10 | 150     | 28      | 0,65          | 27,3      |
| Ukupno                          |                                                                                                 |    |         |         |               | 187,90 kg |



**SVEUČILIŠTE U SPLITU**  
FAKULTET GRAĐEVINARSTVA,  
ARHITEKTURE I GEODEZIJE

**UNIVERSITY OF SPLIT**  
FACULTY OF CIVIL ENGINEERING,  
ARCHITECTURE AND GEODESY

DIPLOMSKI RAD

PROGRAM:  
PROJEKT KONSTRUKCIJE STAMBENE ZGRADE U KRILU JESENICE

STUDENT:  
ANTEA MATAS

MENTOR:  
Doc. dr. sc. Marina Sunara

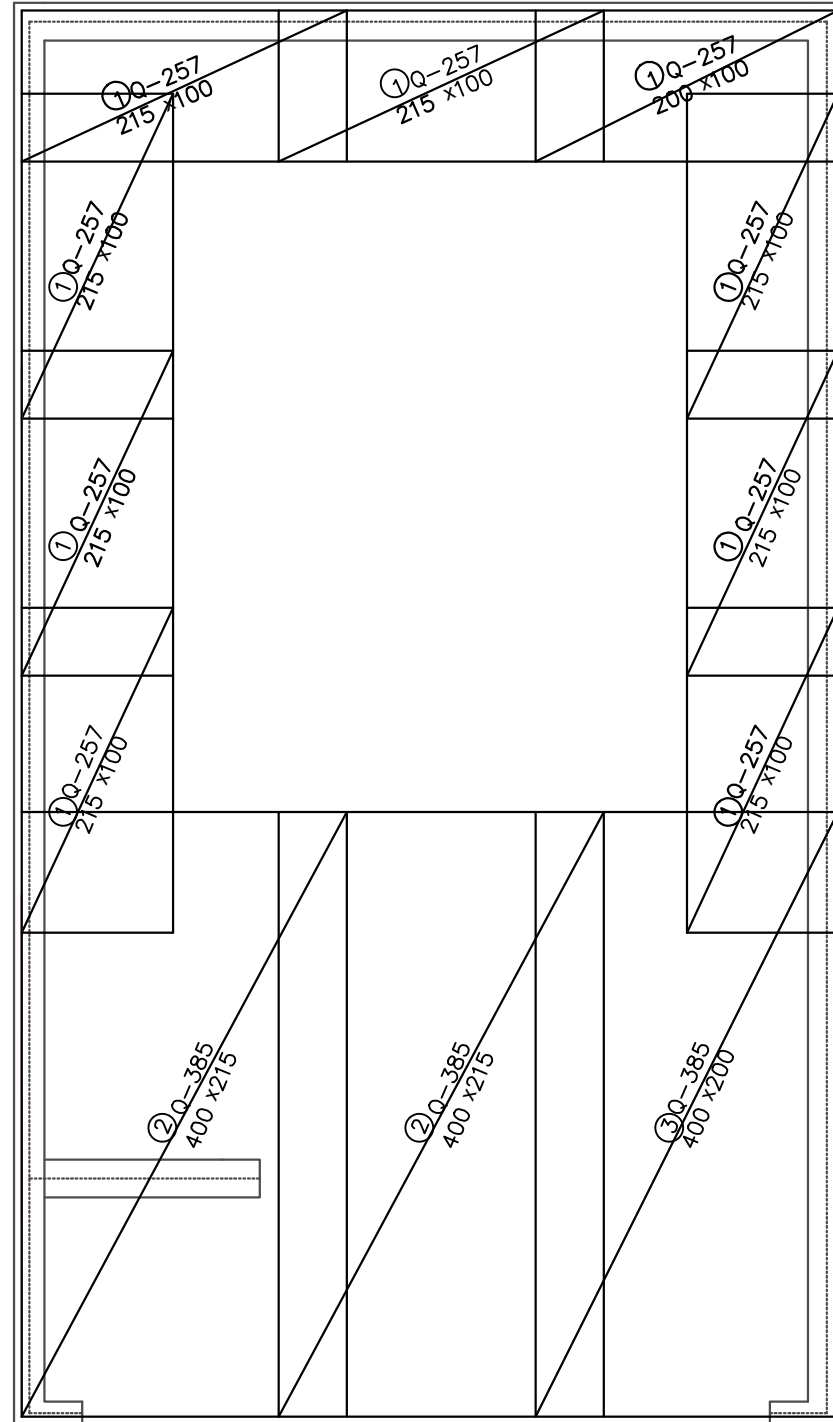
SADRŽAJ  
PLAN ARMATURE PLOČE POZ.300

MJERILO  
1:50

DATUM  
2022./2023.

PRILOG  
12.15.

# PLAN ARMATURE PLOČE POZICIJE 300 -GORNJA ZONA MJ 1:50

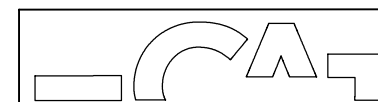


## Mreže - specifikacija

| ARM. PLOČE POZ 300 , GORNJA ZONA |       |        |        |   |                               |                    |
|----------------------------------|-------|--------|--------|---|-------------------------------|--------------------|
| Poz                              | Ozn   | B [cm] | L [cm] | n | Jed. tež [kg/m <sup>2</sup> ] | Ukupna težina [kg] |
| 1                                | Q-257 | 215    | 100    | 9 | 4,16                          | 80,50              |
| 2                                | Q-385 | 400    | 215    | 2 | 6,10                          | 104,92             |
| 3                                | Q-385 | 400    | 200    | 1 | 6,10                          | 48,8               |
| Ukupno                           |       |        |        |   |                               | 234,22 kg          |

Napomena: Preklopi mreža u oba smjera iznose 40 cm.

Minimalni zaštitni sloj za međukatne ploče iznosi 5 cm.



**SVEUČILIŠTE U SPLITU**  
FAKULTET GRAĐEVINARSTVA,  
ARHITEKTURE I GEODEZIJE

**UNIVERSITY OF SPLIT**  
FACULTY OF CIVIL ENGINEERING,  
ARCHITECTURE AND GEODESY

## DIPLOMSKI RAD

PROGRAM:  
PROJEKT KONSTRUKCIJE STAMBENE ZGRADE U KRILU JESENICE

STUDENT:  
ANTEA MATAS

MENTOR:  
Doc. dr. sc. Marina Sunara

SADRŽAJ  
PLAN ARMATURE PLOČE POZ.300

MJERILO  
1:50

DATUM  
2022./2023.

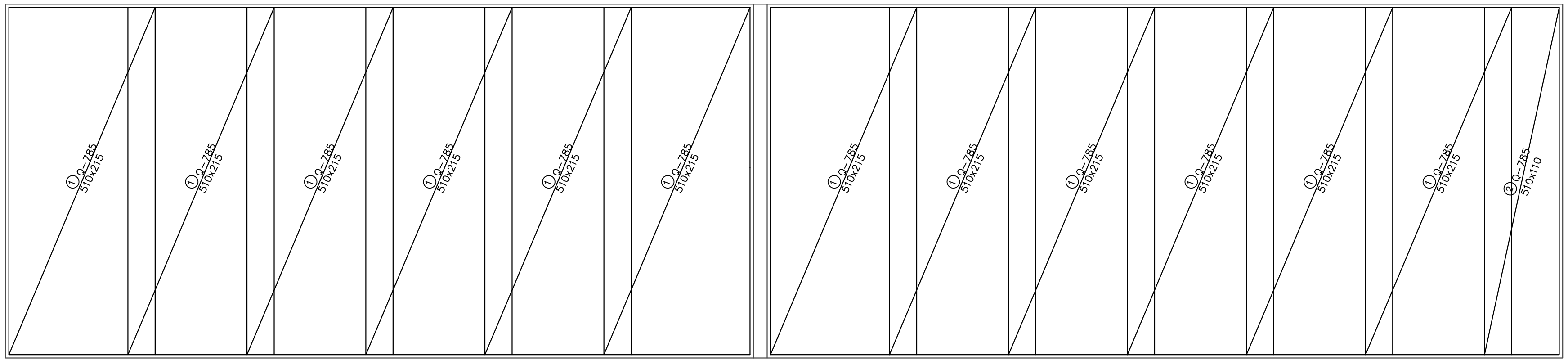
PRILOG  
12.16.


# PLAN ARMATURE PLOČE POMOĆNOG OBJEKTA -DONJA ZONA MJ 1:50

Mreže - specifikacija

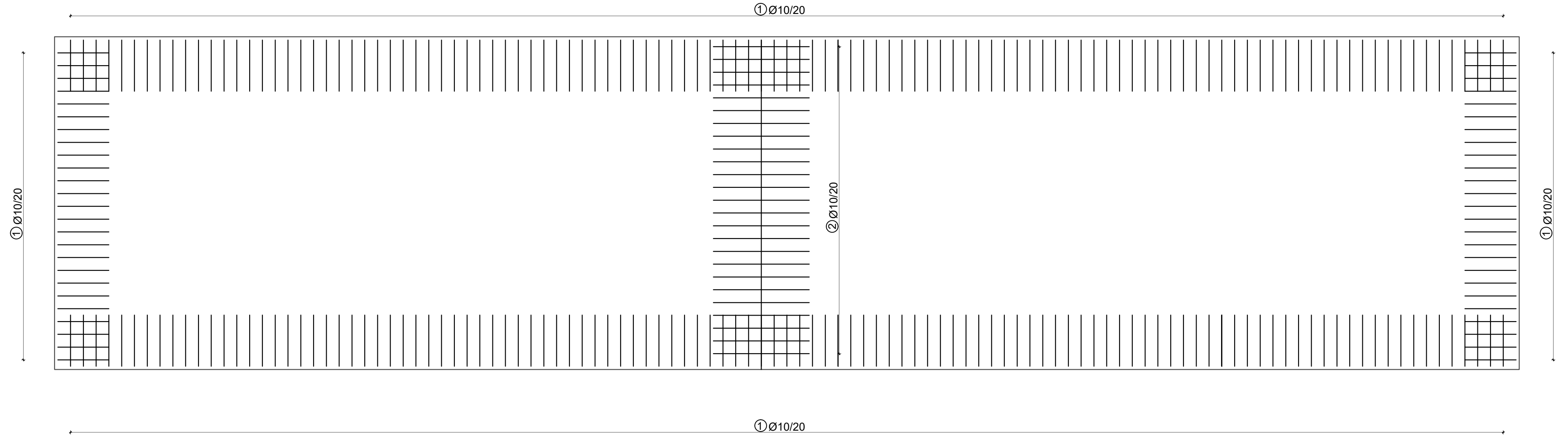
| ARM. PLOČE POM.OBJEKTA , DONJA ZONA |       |        |        |    |                               |                    |
|-------------------------------------|-------|--------|--------|----|-------------------------------|--------------------|
| Poz                                 | Ozn   | B [cm] | L [cm] | n  | Jed. tež [kg/m <sup>2</sup> ] | Ukupna težina [kg] |
| 1                                   | Q-785 | 510    | 215    | 12 | 12,46                         | 1639,49            |
| 2                                   | Q-785 | 510    | 110    | 1  | 12,46                         | 69,90              |
| Ukupno                              |       |        |        |    |                               | 1709,39 kg         |

Napomena: Preklopi mreža u oba smjera iznose 40 cm.  
Minimalni zaštitni sloj za međukatne ploče iznosi 5 cm.



|                                                                                                                                                                                                                                                                            |                                                                   |          |                            |
|----------------------------------------------------------------------------------------------------------------------------------------------------------------------------------------------------------------------------------------------------------------------------|-------------------------------------------------------------------|----------|----------------------------|
| <br><b>SVEUČILIŠTE U SPLITU</b><br>FAKULTET GRAĐEVINARSTVA,<br>ARHITEKTURE I GEODEZIJE<br><br><b>UNIVERSITY OF SPLIT</b><br>FACULTY OF CIVIL ENGINEERING,<br>ARCHITECTURE AND GEODESY | DIPLOMSKI RAD                                                     |          |                            |
|                                                                                                                                                                                                                                                                            | PROGRAM:<br>PROJEKT KONSTRUKCIJE STAMBENE ZGRADE U KRILU JESENICE |          |                            |
|                                                                                                                                                                                                                                                                            | STUDENT:<br>ANTEA MATAS                                           | MENTOR:  | Doc. dr. sc. Marina Sunara |
|                                                                                                                                                                                                                                                                            | SADRŽAJ:<br>PLAN ARMATURE PLOČE POM.OBJEKTA                       | MJERILO: | 1: 50                      |
| DATUM:                                                                                                                                                                                                                                                                     | 2022./2023.                                                       | PRILOG:  | 12.17.                     |

PLAN ARMATURE PLOČE POMOĆNOG OBJEKTA -DONJA ZONA  
MJ 1:50

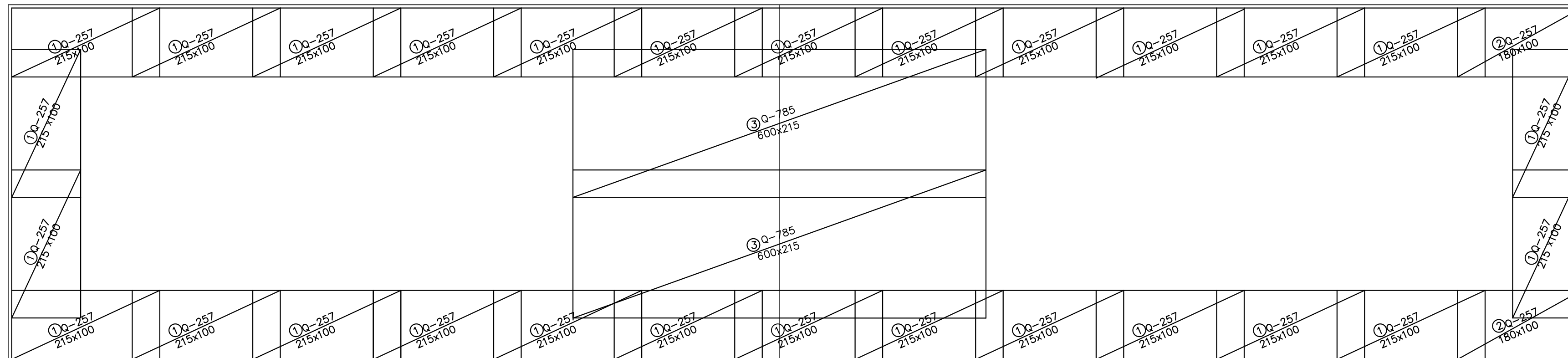


Šipke - specifikacija

| ARM. PLOČE POM.OBJEKT , DONJA ZONA |                                          |    |         |         |               |           |
|------------------------------------|------------------------------------------|----|---------|---------|---------------|-----------|
| POZ                                | oblik i mjere [cm]                       | Ø  | lg [cm] | n [kom] | jed.t. [kg/m] | TEŽ kg    |
| 1                                  | <div style="text-align: center;"> </div> | 10 | 174     | 336     | 0,65          | 380,0     |
| 2                                  | <div style="text-align: center;"> </div> | 10 | 150     | 25      | 0,65          | 24,38     |
| Ukupno                             |                                          |    |         |         |               | 404,38 kg |

|                                                                                                                                                                                              |                                                                   |          |                            |
|----------------------------------------------------------------------------------------------------------------------------------------------------------------------------------------------|-------------------------------------------------------------------|----------|----------------------------|
| <p><b>SVEUČILIŠTE U SPLITU</b><br/>FAKULTET GRAĐEVINARSTVA,<br/>ARHITEKTURE I GEODEZIJE</p> <p><b>UNIVERSITY OF SPLIT</b><br/>FACULTY OF CIVIL ENGINEERING,<br/>ARCHITECTURE AND GEODESY</p> | DIPLOMSKI RAD                                                     |          |                            |
|                                                                                                                                                                                              | PROGRAM:<br>PROJEKT KONSTRUKCIJE STAMBENE ZGRADE U KRILU JESENICE |          |                            |
|                                                                                                                                                                                              | STUDENT:<br>ANTEA MATAS                                           | MENTOR:  | Doc. dr. sc. Marina Sunara |
|                                                                                                                                                                                              | SADRŽAJ:<br>PLAN ARMATURE PLOČE POM.OBJEKTA                       | MJERILO: | 1:50                       |
| DATUM:<br>2022./2023.                                                                                                                                                                        |                                                                   | PRILOG:  | 12.18.                     |

PLAN ARMATURE PLOČE POMOĆNOG OBJEKTA -GORNJA ZONA  
MJ 1:50



Mreže - specifikacija

| ARM. PLOČE POM.OBJEKTA , GORNJA ZONA |       |        |        |    |                               |                    |
|--------------------------------------|-------|--------|--------|----|-------------------------------|--------------------|
| Poz                                  | Ozn   | B [cm] | L [cm] | n  | Jed. tež [kg/m <sup>2</sup> ] | Ukupna težina [kg] |
| 1                                    | Q-257 | 215    | 100    | 29 | 4,16                          | 259,38             |
| 2                                    | Q-257 | 180    | 100    | 2  | 4,16                          | 14,98              |
| 3                                    | Q-785 | 600    | 215    | 2  | 12,46                         | 321,47             |
| Ukupno                               |       |        |        |    |                               | 595,83             |

Napomena: Preklopi mreža u oba smjera iznose 40 cm.

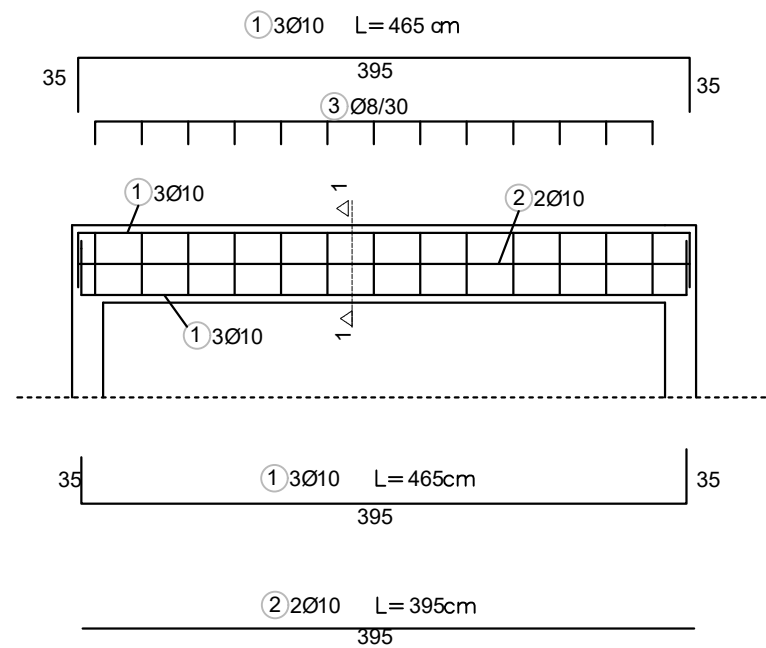
Minimalni zaštitni sloj za međukatne ploče iznosi 5 cm.

| DIPLOMSKI RAD                                                     |                                       |  |  |
|-------------------------------------------------------------------|---------------------------------------|--|--|
| PROGRAM:<br>PROJEKT KONSTRUKCIJE STAMBENE ZGRADE U KRILU JESENICE |                                       |  |  |
| STUDENT:<br>ANTEA MATAS                                           | MENTOR:<br>Doc. dr. sc. Marina Sunara |  |  |
| SADRŽAJ<br>PLAN ARMATURE PLOČE POM.OBJEKTA                        | MJERILO<br>1:50                       |  |  |
| DATUM<br>2022./2023.                                              | PRILOG<br>12.19.                      |  |  |

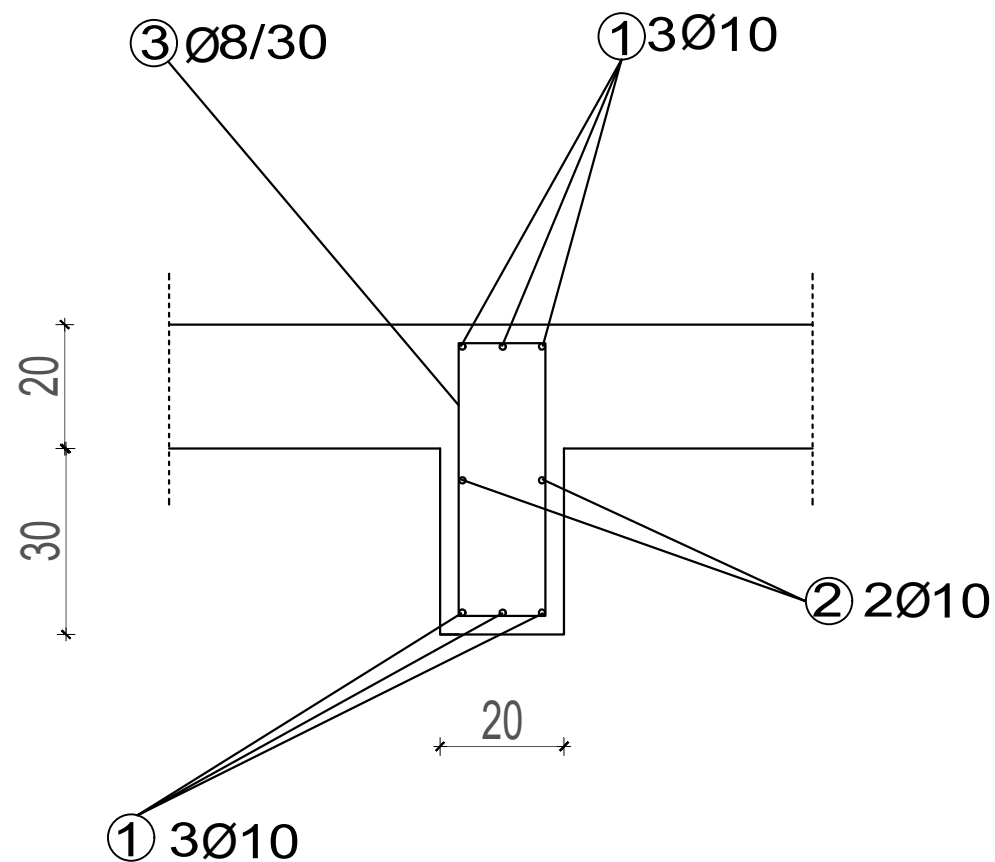


SVEUČILIŠTE U SPLITU  
FAKULTET GRAĐEVINARSTVA,  
ARHITEKTURE I GEODEZIJE  
UNIVERSITY OF SPLIT  
FACULTY OF CIVIL ENGINEERING,  
ARCHITECTURE AND GEODESY

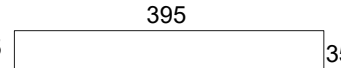
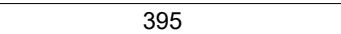
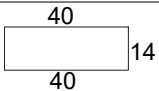
# ARMATURA GREDE 301 MJ 1:100



PRESJEK 1-1  
MJ 1:25



## Šipke - specifikacija

| ARMATURE GREDE POZ.301 |                                                                                           |    |         |         |               |        |
|------------------------|-------------------------------------------------------------------------------------------|----|---------|---------|---------------|--------|
| POZ                    | oblik i mjere [cm]                                                                        | Ø  | lg [cm] | n [kom] | jed.t. [kg/m] | TEŽ kg |
| 1                      | 35  35 | 10 | 465     | 6       | 0,649         | 18,11  |
| 2                      |        | 10 | 395     | 2       | 0,649         | 5,13   |
| 3                      |        | 8  | 108     | 13      | 0,41          | 6,18   |
| Ukupno                 |                                                                                           |    |         |         |               | 29,42  |

Minimalni zaštitni sloj za grede iznosi 4 cm.

| DIPLOMSKI RAD                                                     |  |                                       |  |
|-------------------------------------------------------------------|--|---------------------------------------|--|
| PROGRAM:<br>PROJEKT KONSTRUKCIJE STAMBENE ZGRADE U KRILU JESENICE |  |                                       |  |
| STUDENT:<br>ANTEA MATAS                                           |  | MENTOR:<br>Doc. dr. sc. Marina Sunara |  |
| SADRŽAJ<br>ARMATURA GREDE 301                                     |  | MJEILO<br>1:100                       |  |
| DATUM<br>2022./2023.                                              |  | PRILOG<br>12.20.                      |  |

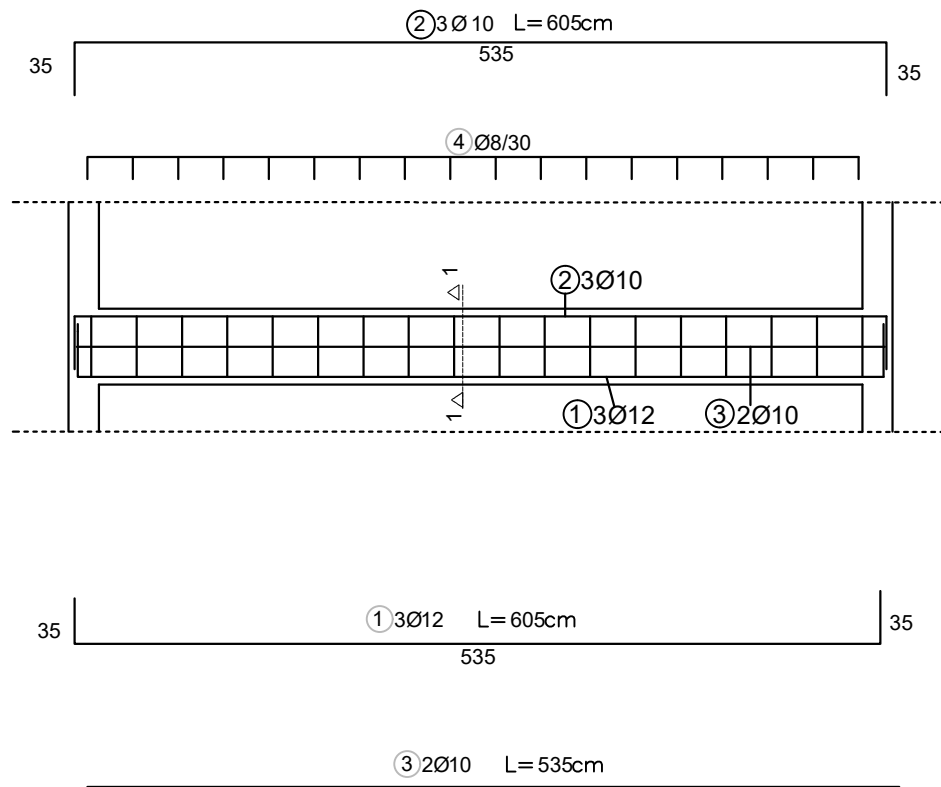


SVEUČILIŠTE U SPLITU  
FAKULTET GRAĐEVINARSTVA,  
ARHITEKTURE I GEODEZIJE

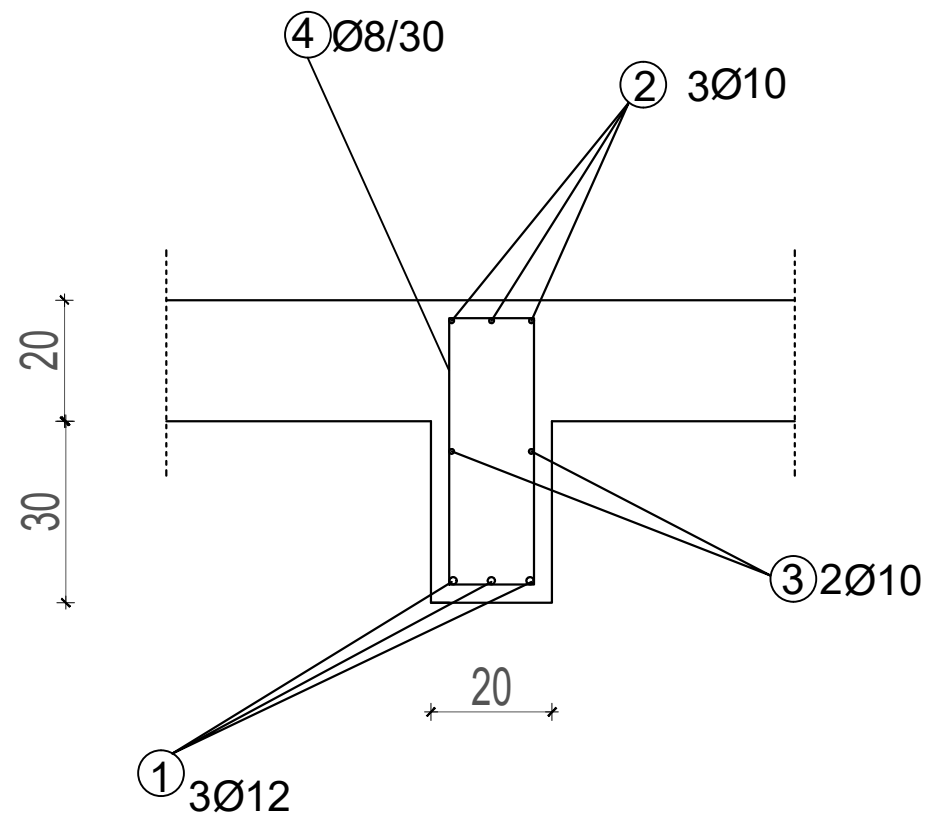
UNIVERSITY OF SPLIT  
FACULTY OF CIVIL ENGINEERING,  
ARCHITECTURE AND GEODESY

# ARMATURA GREDE 202

MJ 1:100




PRESJEK 1-1  
MJ 1:25



Šipke - specifikacija

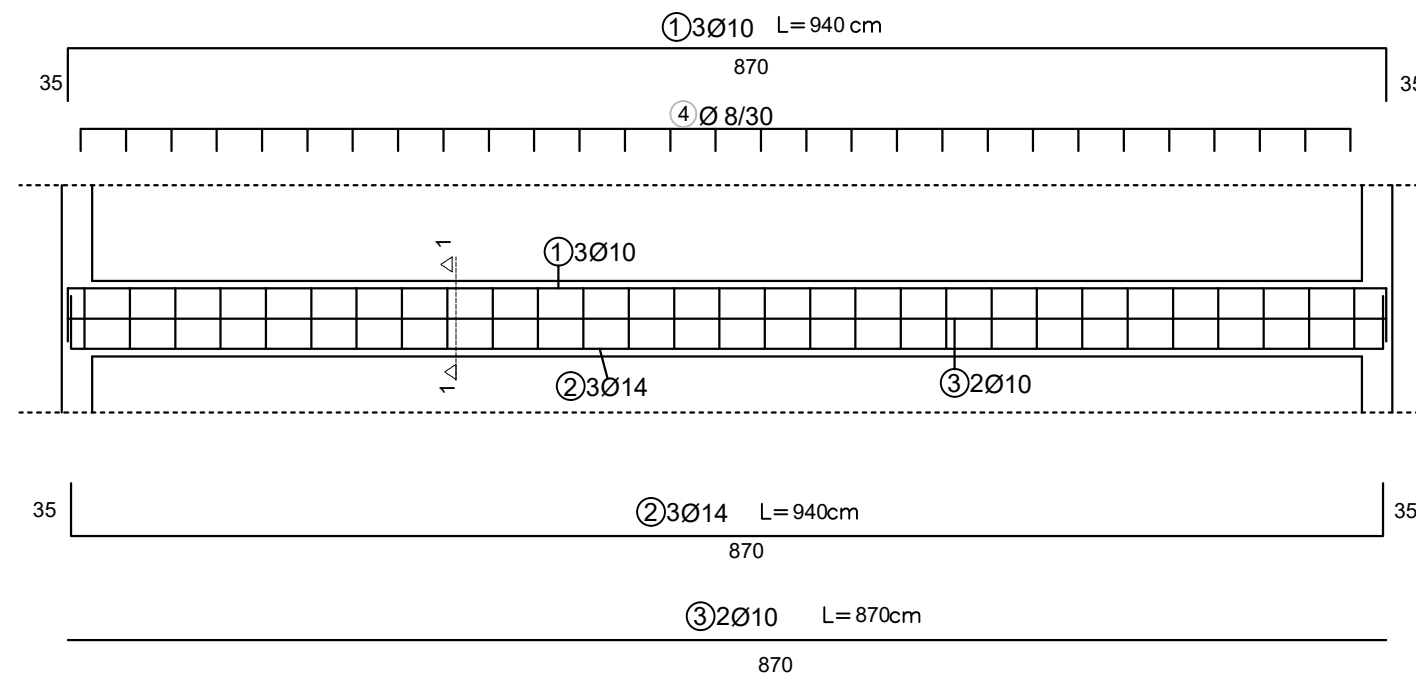
| ARMATURE GREDE POZ.202 |                                                                                                         |    |         |         |               |        |
|------------------------|---------------------------------------------------------------------------------------------------------|----|---------|---------|---------------|--------|
| POZ                    | oblik i mjere [cm]                                                                                      | Ø  | lg [cm] | n [kom] | jed.t. [kg/m] | TEŽ kg |
| 1                      | 35 <span style="display: inline-block; width: 150px; height: 15px; border: 1px solid black;"></span> 35 | 12 | 605     | 3       | 0,920         | 16,70  |
| 2                      | 35 <span style="display: inline-block; width: 150px; height: 15px; border: 1px solid black;"></span> 35 | 10 | 605     | 3       | 0,649         | 11,78  |
| 3                      | <span style="display: inline-block; width: 150px; height: 15px; border: 1px solid black;"></span>       | 10 | 535     | 2       | 0,649         | 6,94   |
| 4                      | 14 <span style="display: inline-block; width: 30px; height: 20px; border: 1px solid black;"></span> 14  | 8  | 108     | 18      | 0,41          | 8,56   |
| Ukupno                 |                                                                                                         |    |         |         |               | 43,98  |

Minimalni zaštitni sloj za grede iznosi 4 cm.

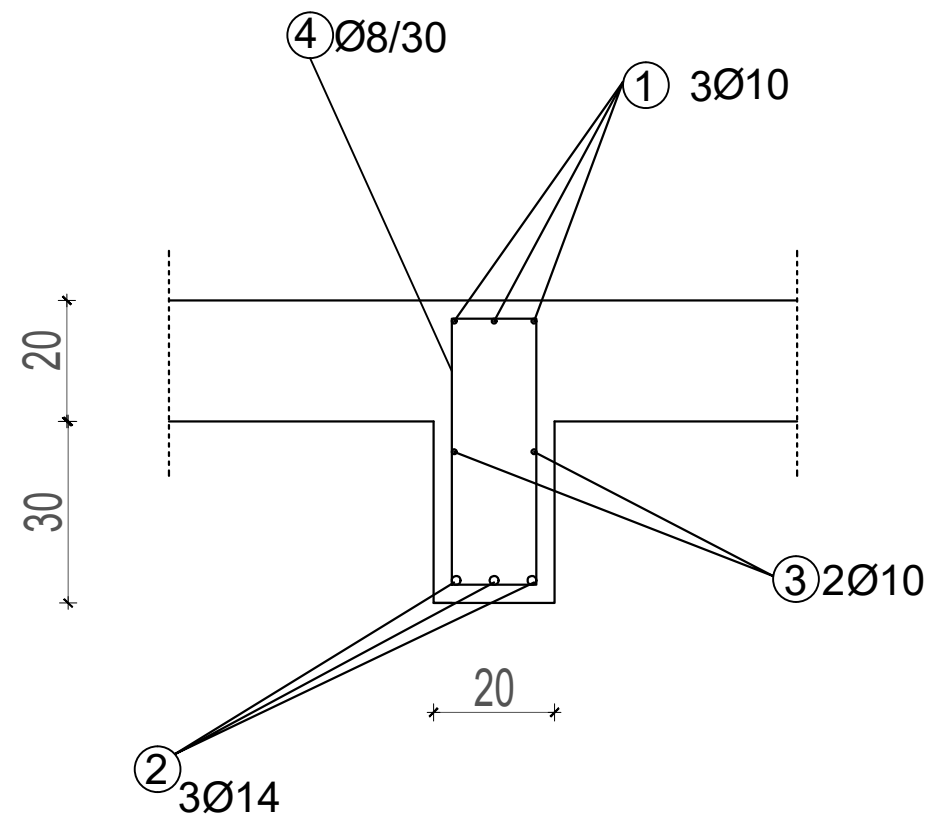
|                                                                                                                                                                                                                                                                            |                                                                   |                                       |                      |
|----------------------------------------------------------------------------------------------------------------------------------------------------------------------------------------------------------------------------------------------------------------------------|-------------------------------------------------------------------|---------------------------------------|----------------------|
| <br><b>SVEUČILIŠTE U SPLITU</b><br>FAKULTET GRAĐEVINARSTVA,<br>ARHITEKTURE I GEODEZIJE<br><br><b>UNIVERSITY OF SPLIT</b><br>FACULTY OF CIVIL ENGINEERING,<br>ARCHITECTURE AND GEODESY | DIPLOMSKI RAD                                                     |                                       |                      |
|                                                                                                                                                                                                                                                                            | PROGRAM:<br>PROJEKT KONSTRUKCIJE STAMBENE ZGRADE U KRILU JESENICE |                                       |                      |
|                                                                                                                                                                                                                                                                            | STUDENT:<br><b>ANTEA MATAS</b>                                    | MENTOR:<br>Doc. dr. sc. Marina Sunara |                      |
|                                                                                                                                                                                                                                                                            | SADRŽAJ<br>ARMATURA GREDE 202                                     | MJERILO<br>1:100                      | DATUM<br>2022./2023. |

# ARMATURA GREDE 101

MJ 1:100



PRESJEK 1-1  
MJ 1:25



Šipke - specifikacija

| ARMATURE GREDE POZ.101 |                    |    |         |         |               |        |
|------------------------|--------------------|----|---------|---------|---------------|--------|
| POZ                    | oblik i mjere [cm] | Ø  | lg [cm] | n [kom] | jed.t. [kg/m] | TEŽ kg |
| 1                      | 35 870 35          | 10 | 940     | 3       | 0,649         | 18,30  |
| 2                      | 35 870 35          | 14 | 940     | 3       | 1,250         | 35,25  |
| 3                      | 870                | 10 | 870     | 2       | 0,649         | 11,29  |
| 4                      | 14 40 14 40        | 8  | 108     | 29      | 0,41          | 12,84  |
| Ukupno                 |                    |    |         |         |               | 77,68  |

Minimalni zaštitni sloj za grede iznosi 4 cm.



SVEUČILIŠTE U SPLITU  
FAKULTET GRAĐEVINARSTVA,  
ARHITEKTURE I GEODEZIJE

UNIVERSITY OF SPLIT  
FACULTY OF CIVIL ENGINEERING,  
ARCHITECTURE AND GEODESY

DIPLOMSKI RAD

PROGRAM:  
PROJEKT KONSTRUKCIJE STAMBENE ZGRADE U KRILU JESENICE

STUDENT:  
ANTEA MATAS

MENTOR:  
Doc. dr. sc. Marina Sunara

SADRŽAJ  
ARMATURA GREDE 101

MJERILO  
1:100

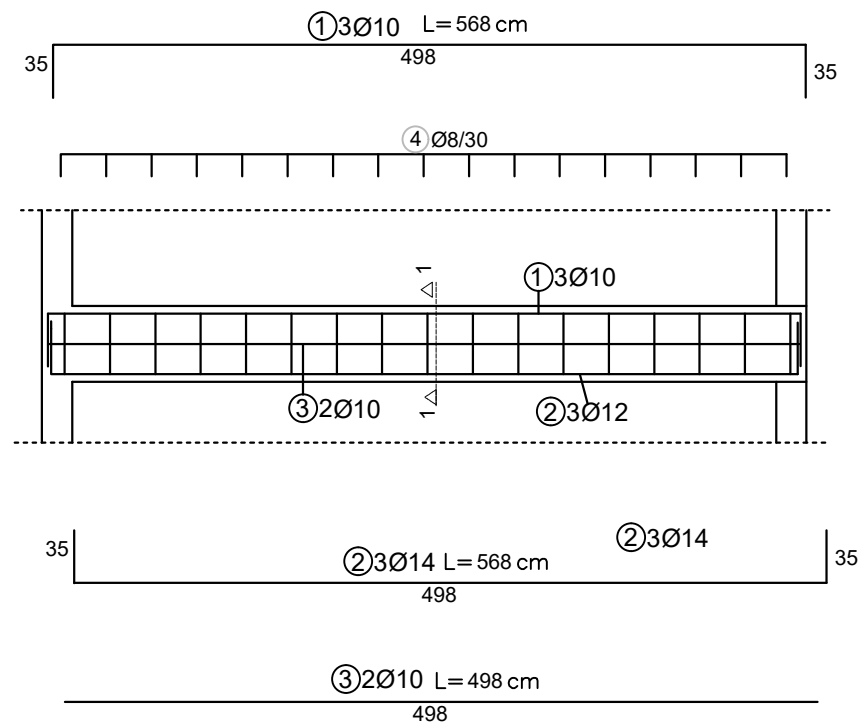
DATUM  
2022./2023.

PRILOG  
12.22.

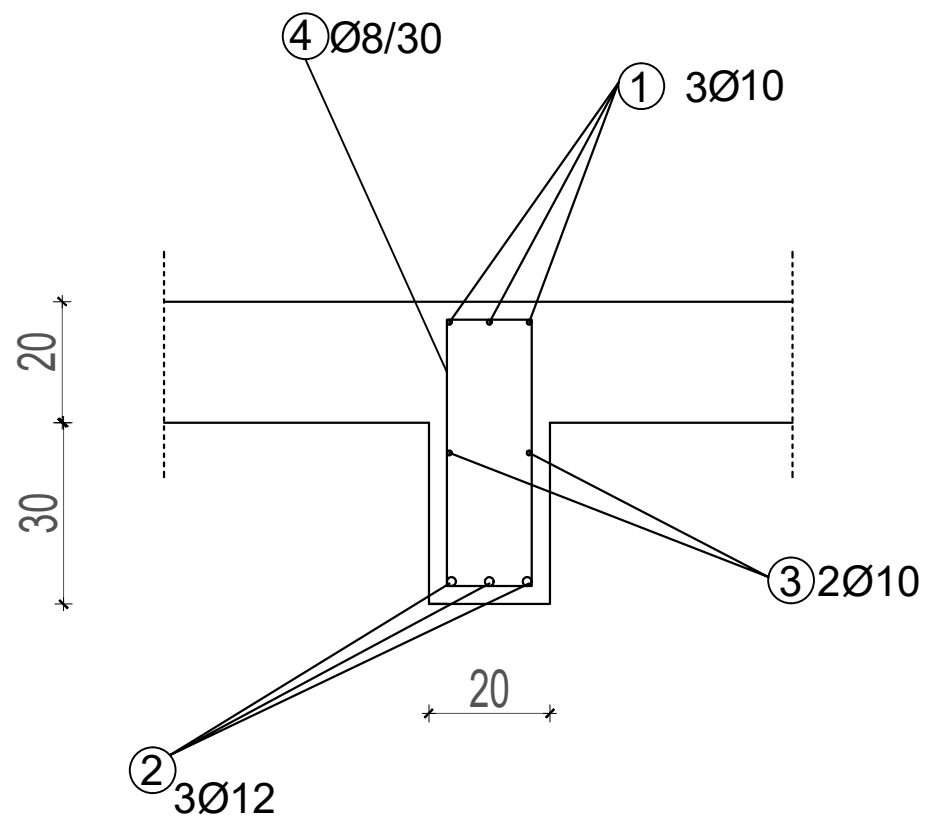


# ARMATURA GREDE POMOĆNOG OBJEKTA

MJ 1:100




PRESJEK 1-1  
MJ 1:25



Šipke - specifikacija

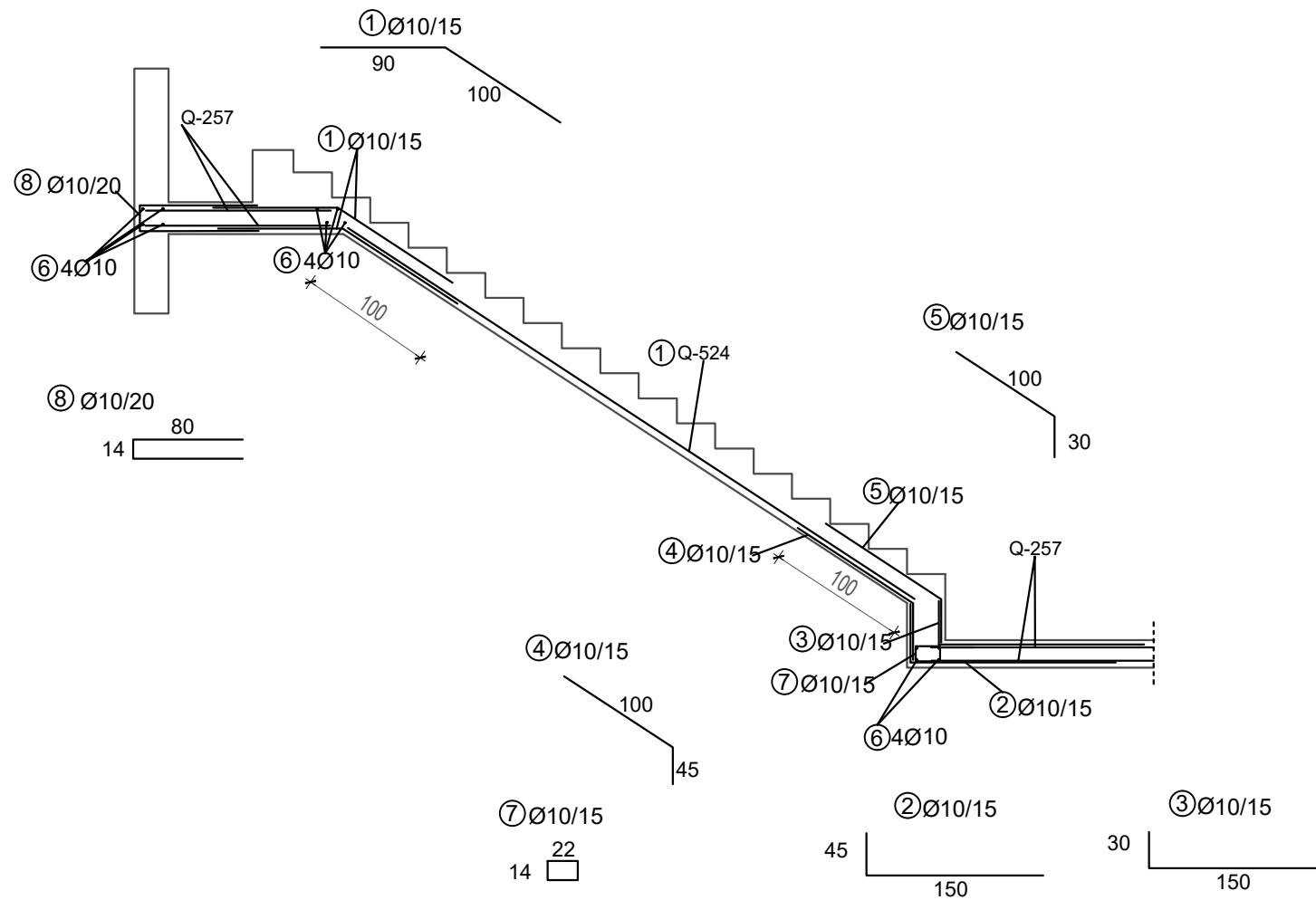
| ARMATURE GREDE POZ.101 |                    |    |         |         |               |        |
|------------------------|--------------------|----|---------|---------|---------------|--------|
| POZ                    | oblik i mjere [cm] | Ø  | lg [cm] | n [kom] | jed.t. [kg/m] | TEŽ kg |
| 1                      | 35   498   35      | 10 | 568     | 3       | 0,649         | 11,06  |
| 2                      | 35   498   35      | 12 | 568     | 3       | 0,920         | 15,68  |
| 3                      | 498                | 10 | 498     | 2       | 0,649         | 6,46   |
| 4                      | 14   40x40   14    | 8  | 108     | 17      | 0,41          | 7,52   |
| Ukupno                 |                    |    |         |         |               | 40,72  |

Minimalni zaštitni sloj za grede iznosi 4 cm.

|                                                                                                                                                                                                                                                                            |                                                                   |                                       |  |
|----------------------------------------------------------------------------------------------------------------------------------------------------------------------------------------------------------------------------------------------------------------------------|-------------------------------------------------------------------|---------------------------------------|--|
| <br><b>SVEUČILIŠTE U SPLITU</b><br>FAKULTET GRAĐEVINARSTVA,<br>ARHITEKTURE I GEODEZIJE<br><br><b>UNIVERSITY OF SPLIT</b><br>FACULTY OF CIVIL ENGINEERING,<br>ARCHITECTURE AND GEODESY | DIPLOMSKI RAD                                                     |                                       |  |
|                                                                                                                                                                                                                                                                            | PROGRAM:<br>PROJEKT KONSTRUKCIJE STAMBENE ZGRADE U KRILU JESENICE |                                       |  |
|                                                                                                                                                                                                                                                                            | STUDENT:<br><b>ANTEA MATAS</b>                                    | MENTOR:<br>Doc. dr. sc. Marina Sunara |  |
|                                                                                                                                                                                                                                                                            | SADRŽAJ<br>ARMATURA GREDE 202                                     | MJERILO<br>1:100                      |  |
|                                                                                                                                                                                                                                                                            | DATUM<br>2022./2023.                                              | PRILOG<br>12.23.                      |  |

# PLAN ARMATURE STUBIŠTA

MJ 1:100



Šipke - specifikacija

| PLAN ARMATURE STUBIŠTA |                    |    |         |         |               |          |
|------------------------|--------------------|----|---------|---------|---------------|----------|
| POZ                    | oblik i mjere [cm] | Ø  | lg [cm] | n [kom] | jed.t. [kg/m] | TEŽ kg   |
| 1                      |                    | 10 | 190     | 16      | 0,649         | 19,76    |
| 2                      |                    | 10 | 195     | 8       | 0,649         | 10,12    |
| 3                      |                    | 10 | 180     | 8       | 0,649         | 9,36     |
| 4                      |                    | 10 | 145     | 8       | 0,649         | 19,76    |
| 5                      |                    | 10 | 130     | 8       | 0,649         | 7,54     |
| 6                      |                    | 10 | 120     | 12      | 0,649         | 9,36     |
| 7                      |                    | 10 | 72      | 8       | 0,649         | 3,75     |
| 8                      |                    | 10 | 188     | 8       | 0,649         | 9,78     |
| Ukupno                 |                    |    |         |         |               | 89,43 kg |

Mreže - specifikacija

| ARM. STUBIŠTA |       |        |        |   |                               |                    |
|---------------|-------|--------|--------|---|-------------------------------|--------------------|
| Poz           | Ozn   | B [cm] | L [cm] | n | Jed. tež [kg/m <sup>2</sup> ] | Ukupna težina [kg] |
| 1             | Q-636 | 120    | 495    | 1 | 10,08                         | 59,88              |
| Ukupno        |       |        |        |   |                               | 59,88 kg           |



SVEUČILIŠTE U SPLITU  
FAKULTET GRAĐEVINARSTVA,  
ARHITEKTURE I GEODEZIJE

UNIVERSITY OF SPLIT  
FACULTY OF CIVIL ENGINEERING,  
ARCHITECTURE AND GEODESY

DIPLOMSKI RAD

PROGRAM:  
PROJEKT KONSTRUKCIJE STAMBENE ZGRADE U KRILU JESENICE

STUDENT:  
ANTEA MATAS

MENTOR:  
Doc. dr. sc. Marina Sunara

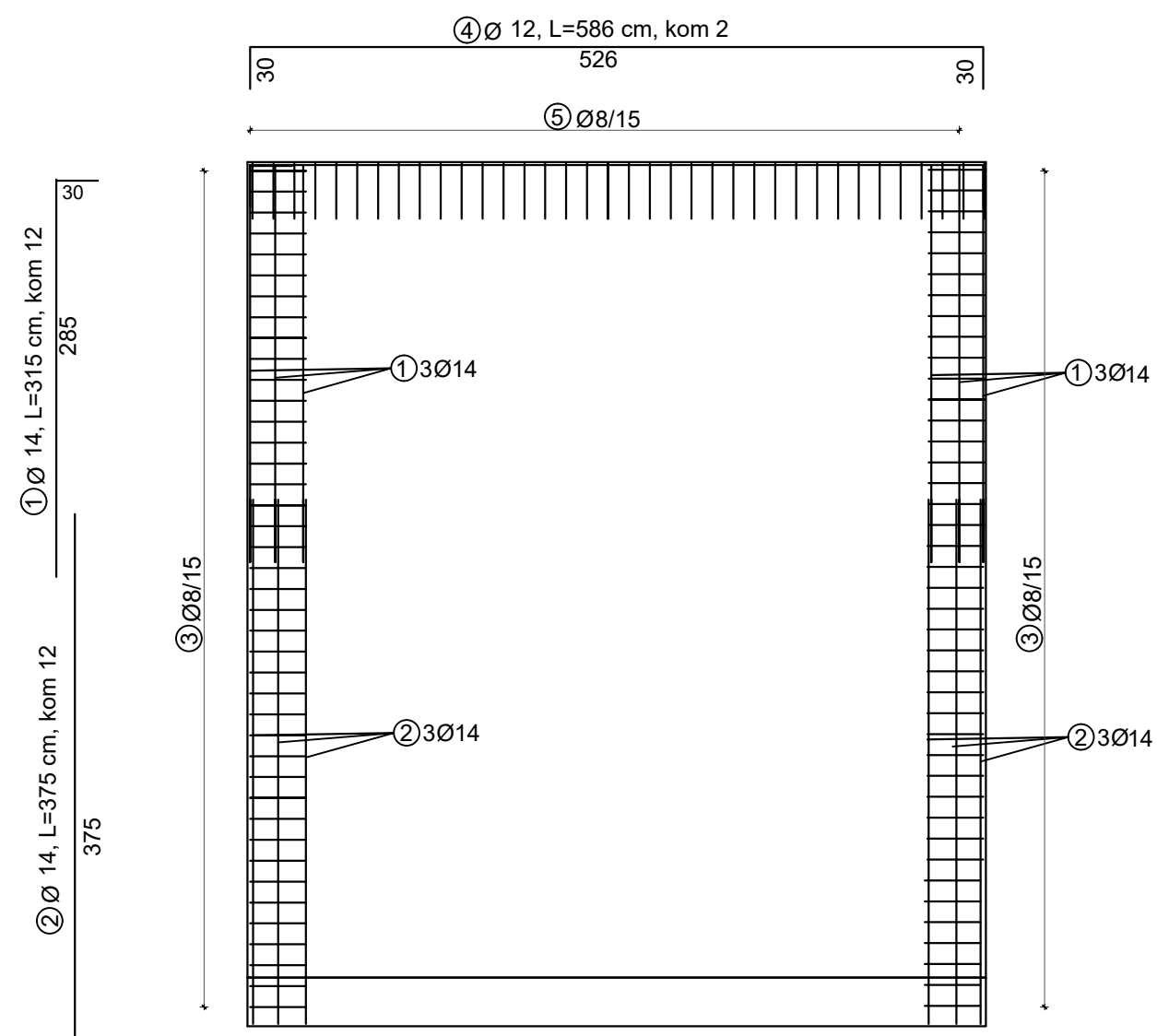
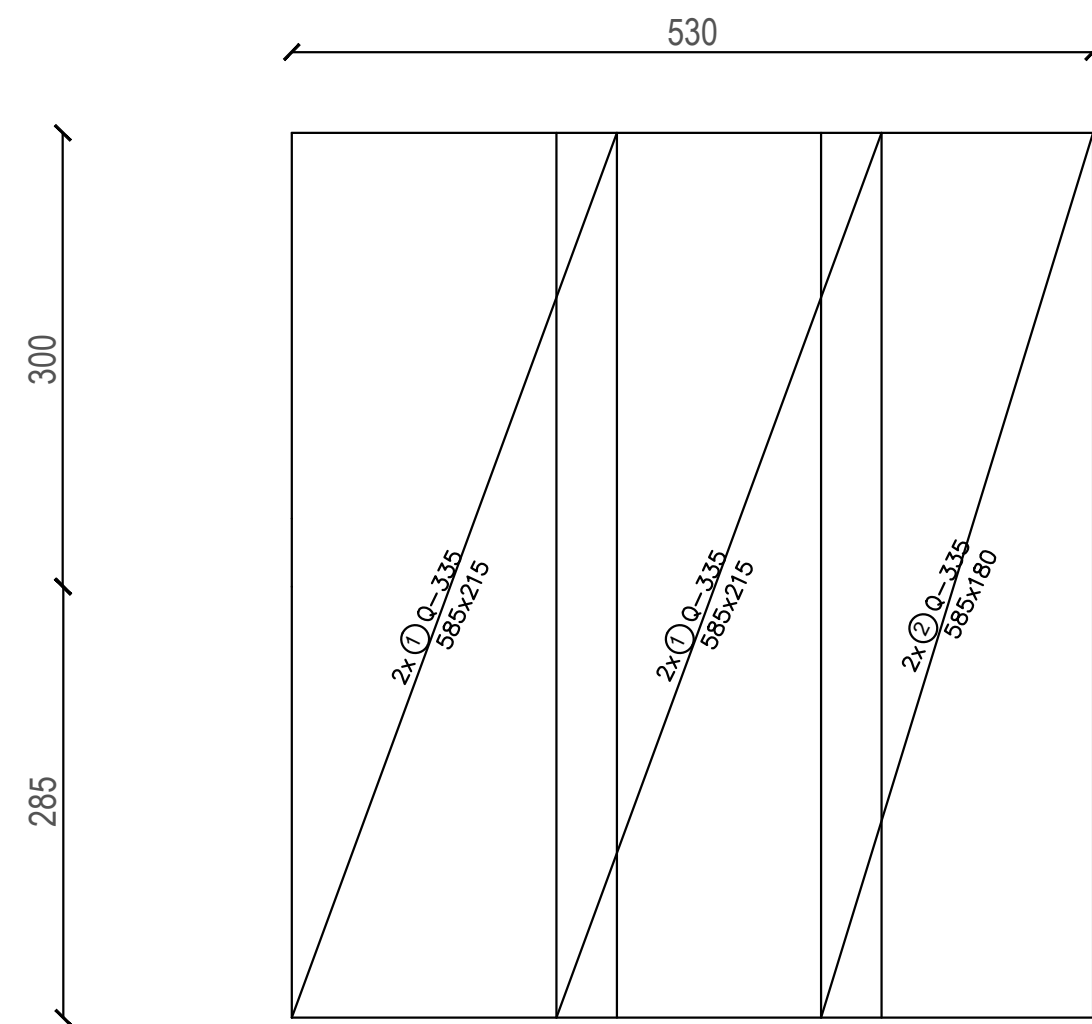
SADRŽAJ  
PLAN ARMATURE STUBIŠTA

MJERILO  
1:100

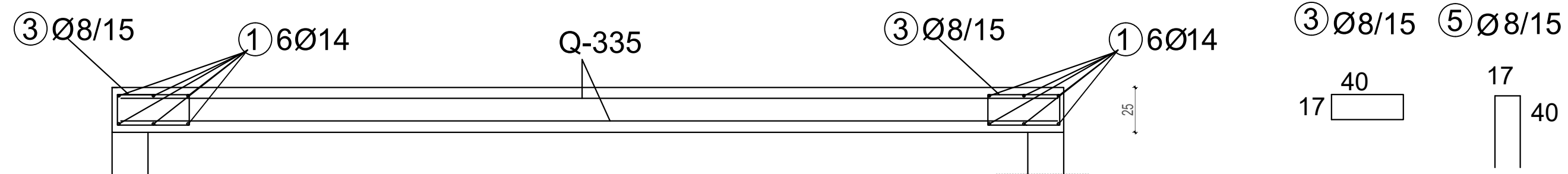
DATUM  
2022./2023.

PRILOG  
12.24.

# PLAN ARMATURE ZIDA Z1 MJ 1:50



DETALJ  
MJ 1:25



## Mreže - specifikacija

| PLAN ARMATURE ZIDA Z1 |       |        |        |   |                               |                    |
|-----------------------|-------|--------|--------|---|-------------------------------|--------------------|
| Poz                   | Ozn   | B [cm] | L [cm] | n | Jed. tež [kg/m <sup>2</sup> ] | Ukupna težina [kg] |
| 1                     | Q-335 | 585    | 215    | 4 | 5,45                          | 274,17             |
| 2                     | Q-335 | 585    | 180    | 2 | 5,45                          | 114,78             |
| Ukupno                |       |        |        |   |                               | 388,96 kg          |

Napomena: Preklopi mreža u oba smjera iznose 40 cm.  
Minimalni zaštitni sloj za zidove iznosi 3 cm.

## Šipke - specifikacija

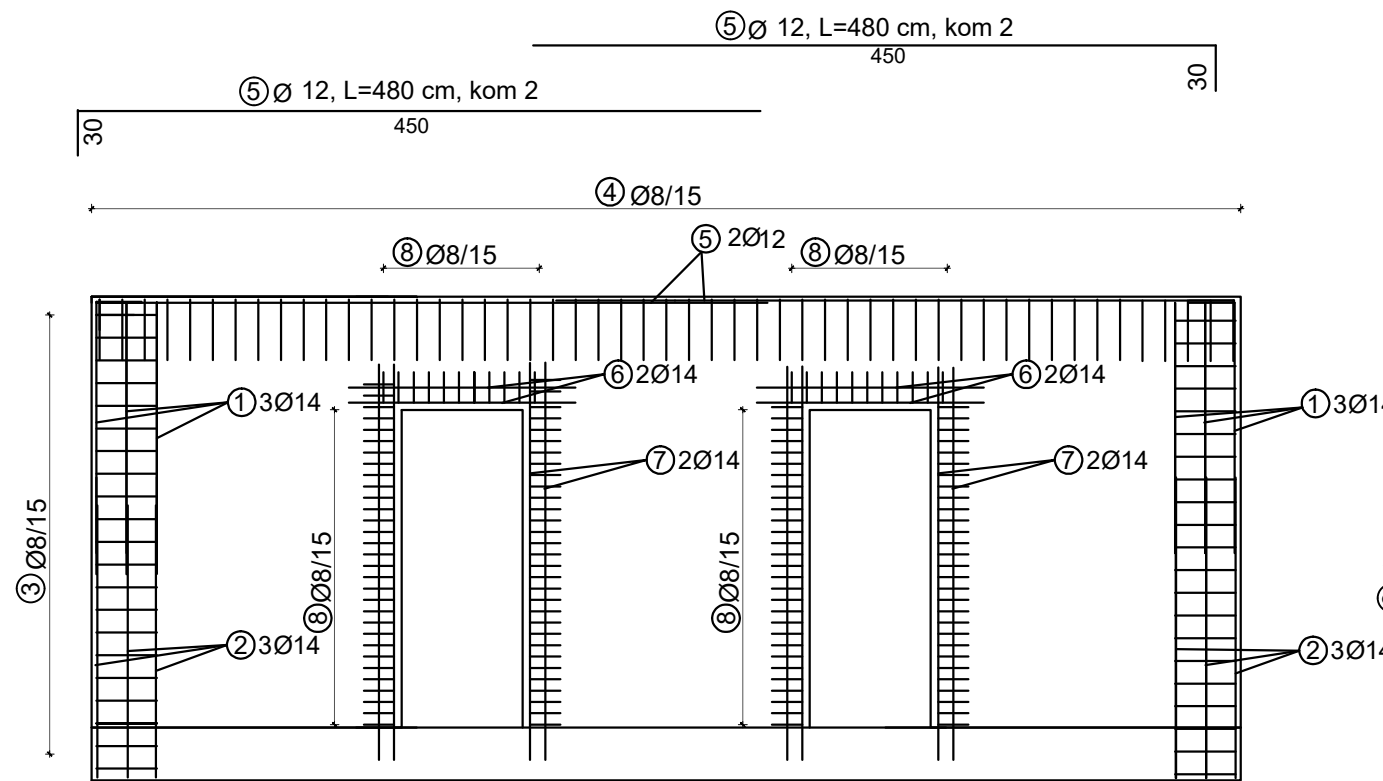
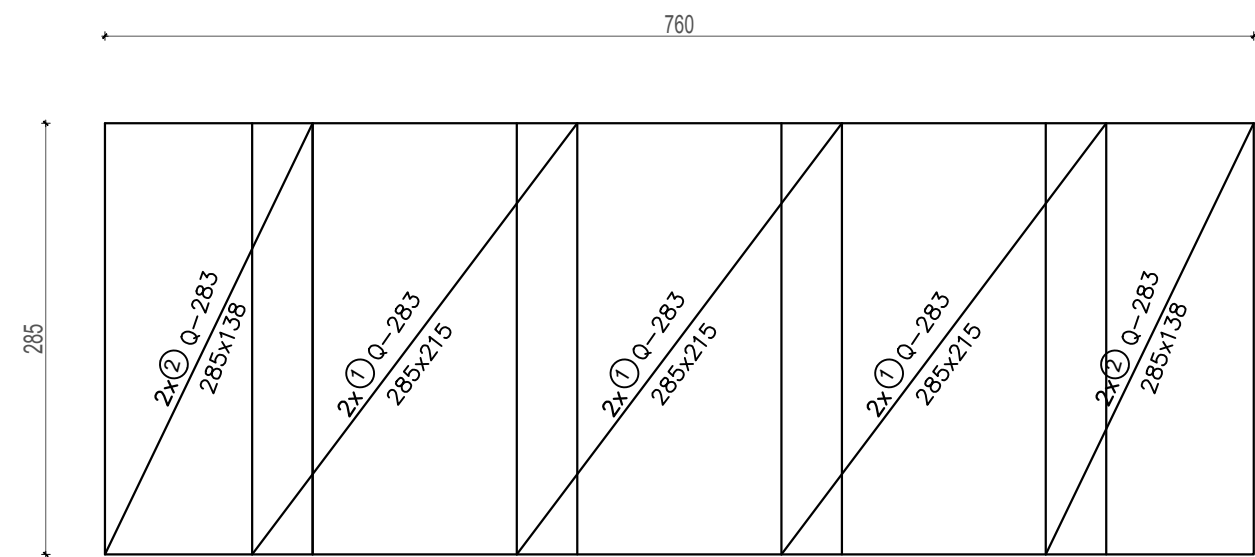
| PLAN ARMATURE ZIDA Z1 |                    |    |         |         |               |           |
|-----------------------|--------------------|----|---------|---------|---------------|-----------|
| POZ                   | oblik i mjere [cm] | Ø  | lg [cm] | n [kom] | jed.t. [kg/m] | TEŽ kg    |
| 1                     | 30   285           | 14 | 315     | 12      | 1,25          | 47,25     |
| 2                     | 375                | 14 | 375     | 12      | 1,25          | 56,25     |
| 3                     | 17   40   17       | 8  | 114     | 82      | 0,41          | 38,32     |
| 4                     | 30   526   30      | 12 | 586     | 2       | 0,92          | 10,78     |
| 5                     | 17   40   40       | 8  | 97      | 35      | 0,41          | 13,91     |
| Ukupno                |                    |    |         |         |               | 166,51 kg |



**SVEUČILIŠTE U SPLITU**  
FAKULTET GRAĐEVINARSTVA,  
ARHITEKTURE I GEODEZIJE  
**UNIVERSITY OF SPLIT**  
FACULTY OF CIVIL ENGINEERING,  
ARCHITECTURE AND GEODESY

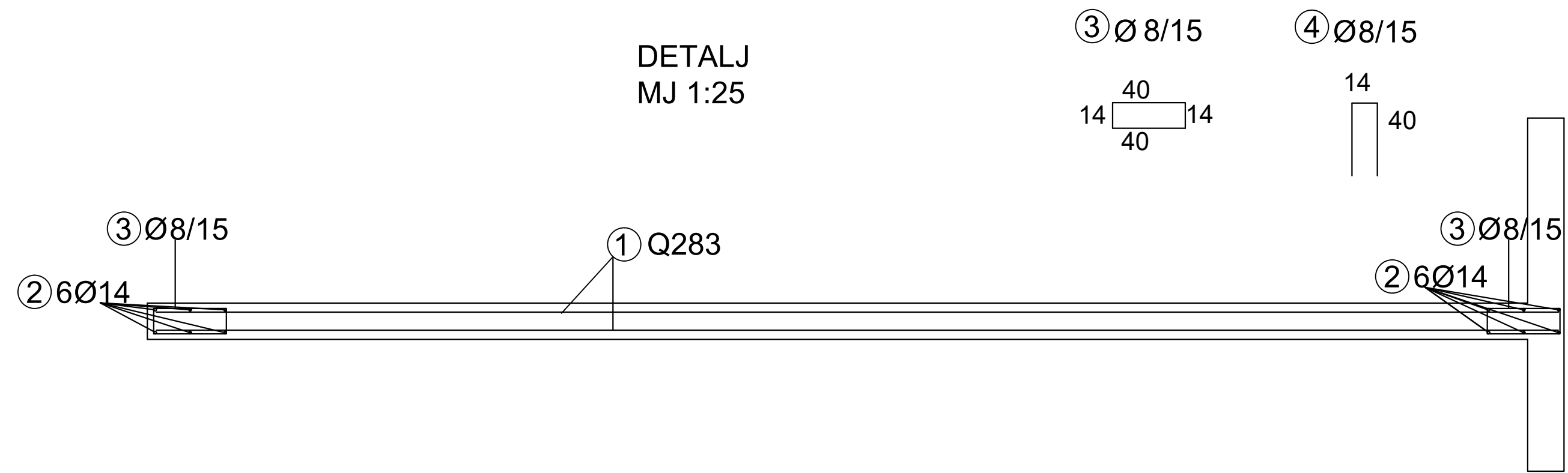
| DIPLOMSKI RAD |                                                       |          |                            |
|---------------|-------------------------------------------------------|----------|----------------------------|
| PROGRAM:      | PROJEKT KONSTRUKCIJE STAMBENE ZGRADE U KRILU JESENICE |          |                            |
| STUDENT:      | ANTEA MATAS                                           | MENTOR:  | Doc. dr. sc. Marina Sunara |
| SADRŽAJ:      | PLAN ARMATURE ZIDA Z1                                 | MJERILO: | 1:50                       |
| DATUM:        | 2022./2023.                                           | PRILOG:  | 12.25.                     |

# PLAN ARMATURE ZIDA Z2 MJ 1:50



① Ø 14, L=210 cm, kom 12  
② 14, L=210 cm, kom 12

DETALJ  
MJ 1:25




### Mreže - specifikacija

| ARMATURA ZIDA Z2 |       |        |        |   |                               |                    |
|------------------|-------|--------|--------|---|-------------------------------|--------------------|
| Poz              | Ozn   | B [cm] | L [cm] | n | Jed. tež [kg/m <sup>2</sup> ] | Ukupna težina [kg] |
| 1                | Q-283 | 285    | 215    | 6 | 4,48                          | 177,58             |
| 2                | Q-283 | 285    | 138    | 4 | 4,48                          | 64,70              |
| Ukupno           |       |        |        |   |                               | 242,28 kg          |

Napomena: Preklopi mreža u oba smjera iznose 40 cm.  
Minimalni zaštitni sloj za zidove iznosi 3 cm.

### Šipke - specifikacija

| ARMATURA ZIDA Z2 |                    |    |         |         |               |           |
|------------------|--------------------|----|---------|---------|---------------|-----------|
| POZ              | oblik i mjere [cm] | Ø  | lg [cm] | n [kom] | jed.t. [kg/m] | TEŽ kg    |
| 1                | 30   180           | 14 | 210     | 12      | 1,25          | 31,50     |
| 2                | 180                | 14 | 180     | 12      | 1,25          | 27,00     |
| 3                | 14   40   14       | 8  | 108     | 42      | 0,41          | 18,60     |
| 4                | 14   40   40       | 8  | 94      | 52      | 0,41          | 20,04     |
| 5                | 30   450           | 12 | 480     | 4       | 0,92          | 17,66     |
| 6                | 150                | 14 | 150     | 4       | 1,25          | 7,50      |
| 7                | 262                | 14 | 262     | 8       | 1,25          | 26,20     |
| 8                | 14   20            | 8  | 78      | 160     | 0,41          | 45,92     |
| Ukupno           |                    |    |         |         |               | 194,42 kg |

|                                                                                                                                                                                                                                                                            |                                                                   |                                       |                       |
|----------------------------------------------------------------------------------------------------------------------------------------------------------------------------------------------------------------------------------------------------------------------------|-------------------------------------------------------------------|---------------------------------------|-----------------------|
| <br><b>SVEUČILIŠTE U SPLITU</b><br>FAKULTET GRAĐEVINARSTVA,<br>ARHITEKTURE I GEODEZIJE<br><br><b>UNIVERSITY OF SPLIT</b><br>FACULTY OF CIVIL ENGINEERING,<br>ARCHITECTURE AND GEODESY | DIPLOMSKI RAD                                                     |                                       |                       |
|                                                                                                                                                                                                                                                                            | PROGRAM:<br>PROJEKT KONSTRUKCIJE STAMBENE ZGRADE U KRILU JESENICE |                                       |                       |
|                                                                                                                                                                                                                                                                            | STUDENT:<br>ANTEA MATAS                                           | MENTOR:<br>Doc. dr. sc. Marina Sunara |                       |
|                                                                                                                                                                                                                                                                            | SADRŽAJ:<br>PLAN ARMATURE ZIDA Z2                                 | MJERILO:<br>1:50                      | DATUM:<br>2022./2023. |

# PLAN ARMATURE VISOKOSTIJIENOG NOSAČA MJ 1:50

Mreže - specifikacija

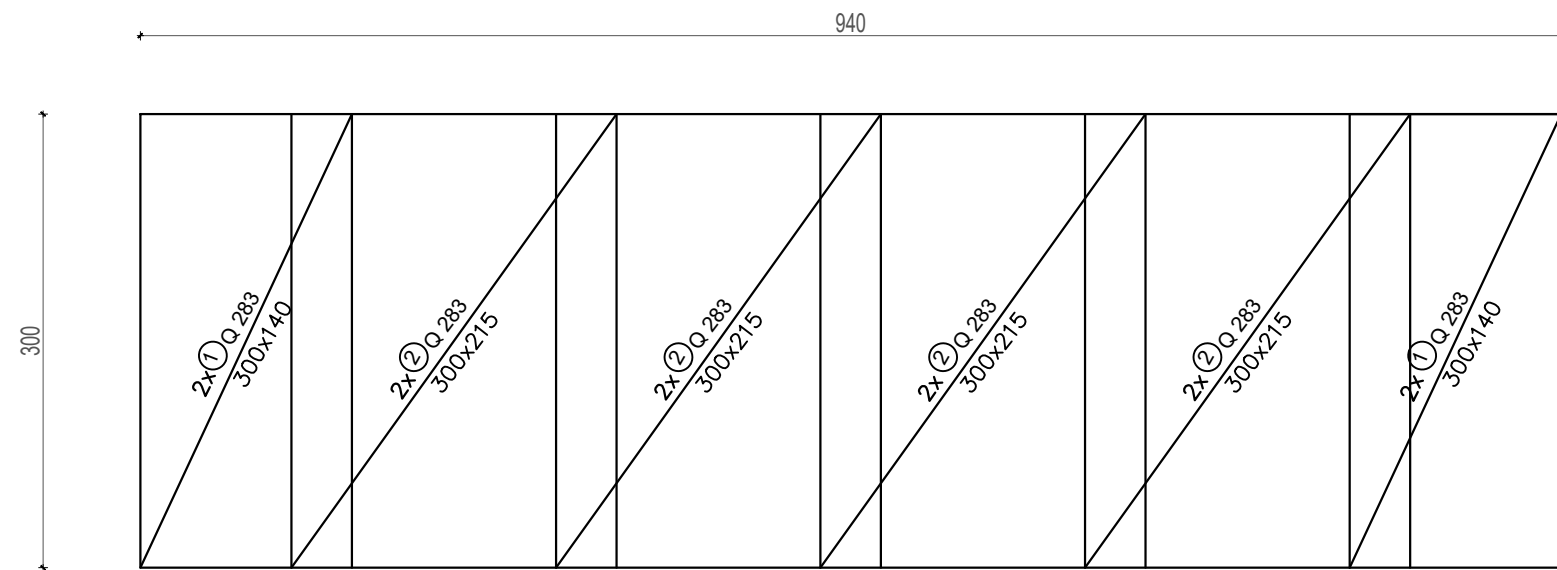
| ARMATURA VISOKOSTIJIENOG NOSAČA |       |        |        |   |                               |                    |
|---------------------------------|-------|--------|--------|---|-------------------------------|--------------------|
| Poz                             | Ozn   | B [cm] | L [cm] | n | Jed. tež [kg/m <sup>2</sup> ] | Ukupna težina [kg] |
| 1                               | Q-283 | 300    | 140    | 4 | 4,48                          | 75,26              |
| 2                               | Q-283 | 300    | 215    | 8 | 4,48                          | 231,17             |
| Ukupno                          |       |        |        |   |                               | 306,43 kg          |

Napomena: Preklopi mreža u oba smjera iznose 40 cm.

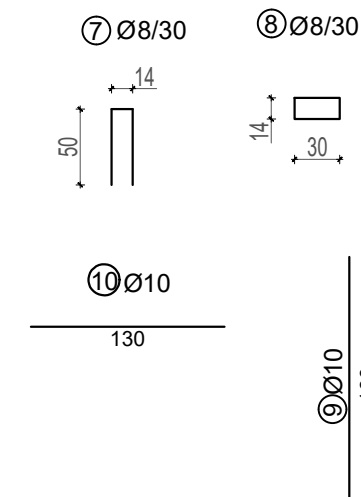
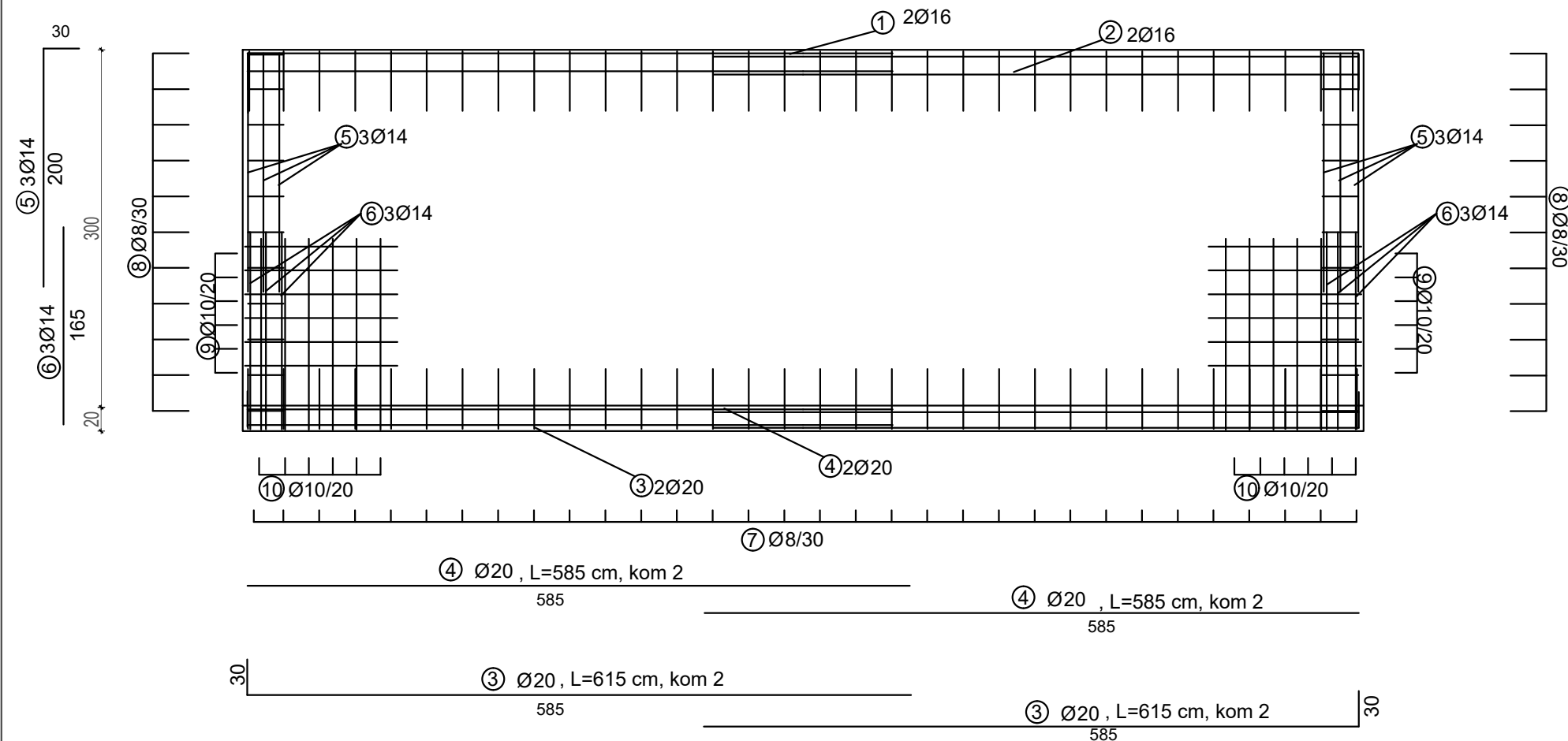
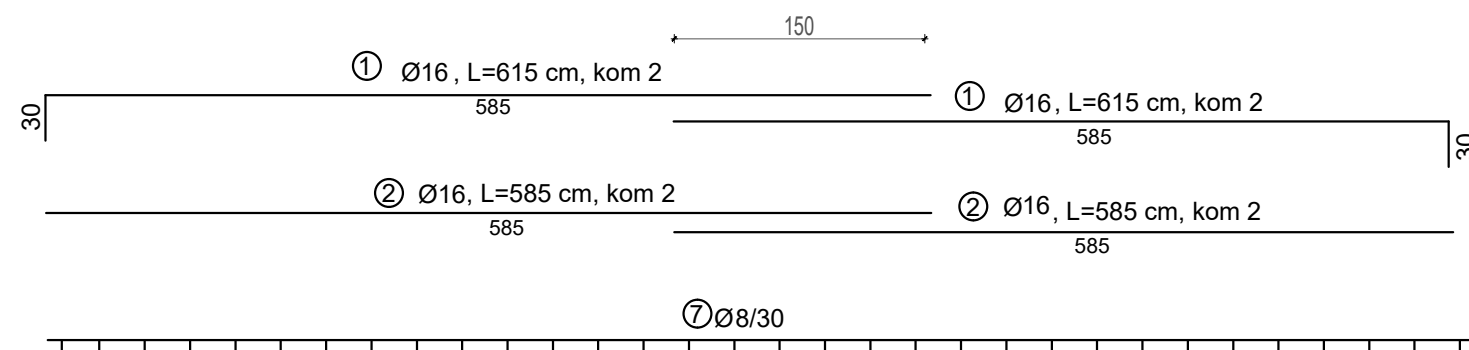
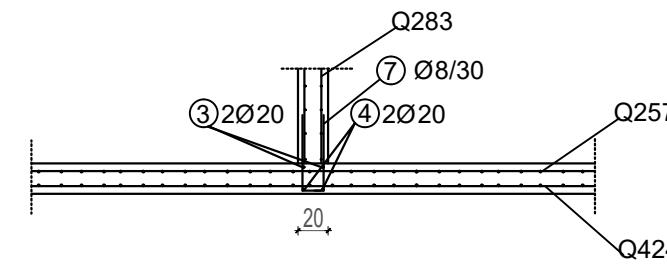
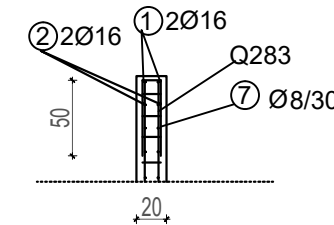
Minimalni zaštitni sloj za zidove iznosi 3 cm.

Šipke - specifikacija

| ARM. VISOKOSTIJIENOG NOSAČA |                    |    |         |         |               |           |
|-----------------------------|--------------------|----|---------|---------|---------------|-----------|
| POZ                         | oblik i mjere [cm] | Ø  | lg [cm] | n [kom] | jed.t. [kg/m] | TEŽ kg    |
| 1                           | 30   585           | 16 | 615     | 4       | 1,64          | 40,34     |
| 2                           | 585                | 16 | 585     | 4       | 1,64          | 38,38     |
| 3                           | 30   585           | 20 | 615     | 4       | 2,45          | 60,27     |
| 4                           | 585                | 20 | 585     | 4       | 2,45          | 57,33     |
| 5                           | 30   200           | 14 | 230     | 12      | 1,25          | 34,50     |
| 6                           | 165                | 14 | 150     | 12      | 1,25          | 22,50     |
| 7                           | 14   50            | 8  | 262     | 64      | 0,41          | 68,75     |
| 8                           | 14   30   14       | 8  | 78      | 22      | 0,41          | 7,04      |
| 9                           | 160                | 10 | 160     | 24      | 0,65          | 24,96     |
| 10                          | 130                | 10 | 130     | 28      | 0,65          | 23,66     |
| Ukupno                      |                    |    |         |         |               | 377,73 kg |



## DETALJ



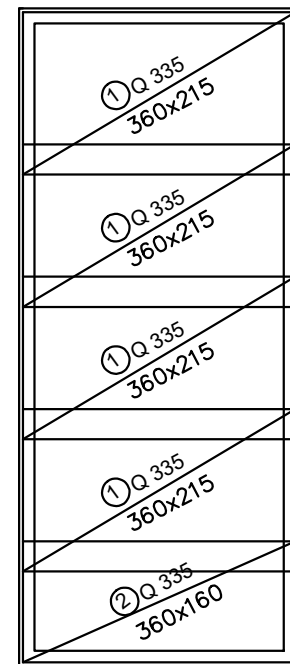
| DIPLOMSKI RAD                                                     |                                       |
|-------------------------------------------------------------------|---------------------------------------|
| PROGRAM:<br>PROJEKT KONSTRUKCIJE STAMBENE ZGRADE U KRILU JESENICE |                                       |
| STUDENT:<br>ANTEA MATAS                                           | MENTOR:<br>Doc. dr. sc. Marina Sunara |
| SADRŽAJ<br>PLAN ARM. VISOKOSTIJIENOG NOSAČA                       | MJERILO<br>1:50                       |
| DATUM<br>2022./2023.                                              | PRILOG<br>12.27.                      |

**SVEUČILIŠTE U SPLITU**  
FAKULTET GRAĐEVINARSTVA,  
ARHITEKTURE I GEODEZIJE

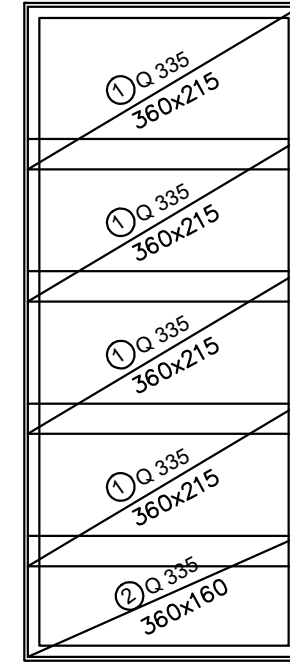
**UNIVERSITY OF SPLIT**  
FACULTY OF CIVIL ENGINEERING,  
ARCHITECTURE AND GEODESY

# PLAN ARMATURE BAZENA MJ 1:100

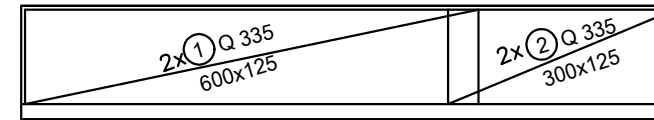
DONJA ZONA



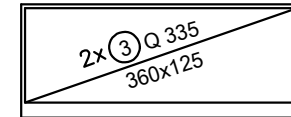
GORNJA ZONA



ARMATURA ZIDA Z1



ARMATURA ZIDA Z2



Mreže - specifikacija

| ARMATURA PLOČE BAZENA - DONJA ZONA |       |        |        |   |                               |                    |
|------------------------------------|-------|--------|--------|---|-------------------------------|--------------------|
| Poz                                | Ozn   | B [cm] | L [cm] | n | Jed. tež [kg/m <sup>2</sup> ] | Ukupna težina [kg] |
| 1                                  | Q-335 | 360    | 215    | 4 | 5,45                          | 168,73             |
| 2                                  | Q-335 | 360    | 160    | 1 | 5,45                          | 18,75              |
| Ukupno                             |       |        |        |   |                               | 187,48 kg          |

Mreže - specifikacija

| ARMATURA PLOČE BAZENA - GORNJA ZONA |       |        |        |   |                               |                    |
|-------------------------------------|-------|--------|--------|---|-------------------------------|--------------------|
| Poz                                 | Ozn   | B [cm] | L [cm] | n | Jed. tež [kg/m <sup>2</sup> ] | Ukupna težina [kg] |
| 1                                   | Q-335 | 360    | 215    | 4 | 5,45                          | 168,73             |
| 2                                   | Q-335 | 360    | 160    | 1 | 5,45                          | 18,75              |
| Ukupno                              |       |        |        |   |                               | 187,48 kg          |

Mreže - specifikacija

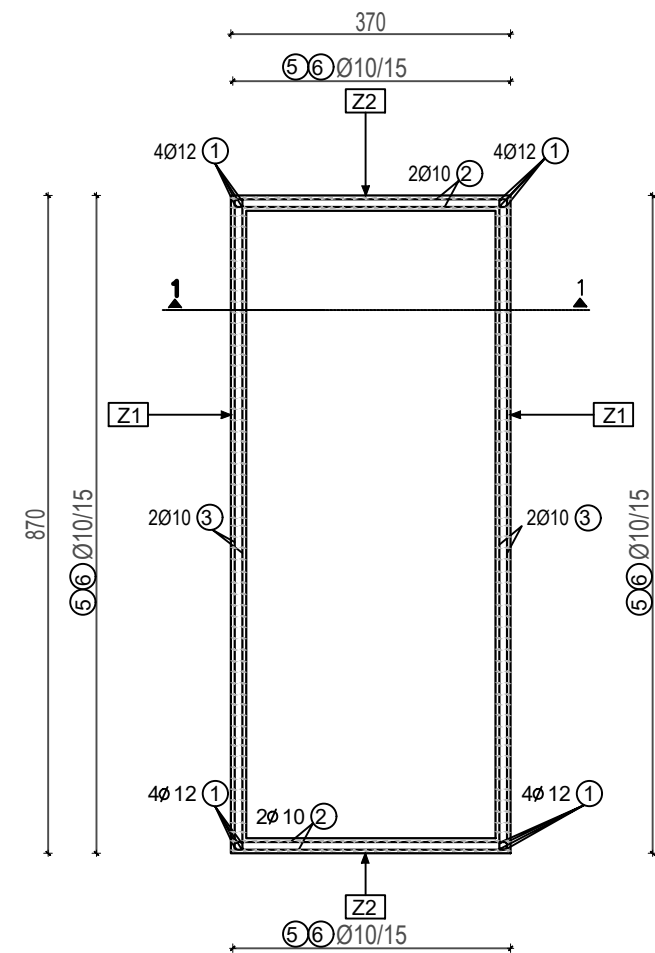
| ARMATURA ZIDOVA BAZENA |       |        |        |   |                               |                    |
|------------------------|-------|--------|--------|---|-------------------------------|--------------------|
| Poz                    | Ozn   | B [cm] | L [cm] | n | Jed. tež [kg/m <sup>2</sup> ] | Ukupna težina [kg] |
| 1                      | Q-335 | 600    | 125    | 4 | 5,45                          | 234,35             |
| 2                      | Q-335 | 300    | 125    | 4 | 5,45                          | 43,60              |
| 3                      | Q-335 | 360    | 125    | 4 | 5,45                          | 109,00             |
| Ukupno                 |       |        |        |   |                               | 386,95 kg          |

Šipke - specifikacija

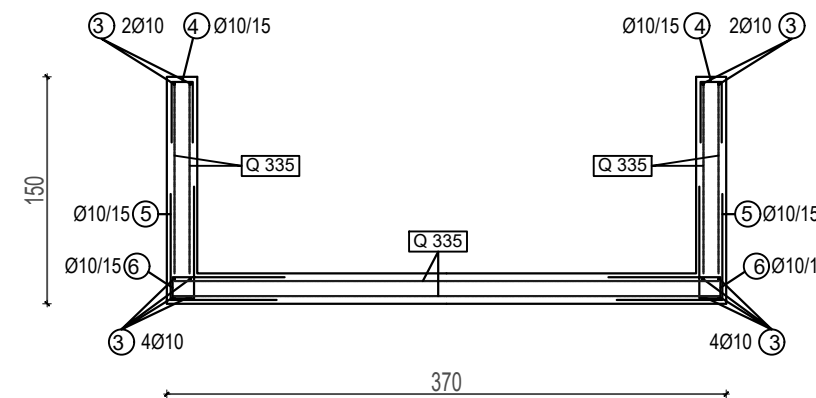
| ARM. VISOKOSTIJENOG NOSAČA |                    |    |         |         |               |           |
|----------------------------|--------------------|----|---------|---------|---------------|-----------|
| POZ                        | oblik i mjere [cm] | Ø  | lg [cm] | n [kom] | jed.t. [kg/m] | TEŽ kg    |
| 1                          | 30   150           | 12 | 180     | 16      | 1,64          | 40,34     |
| 2                          | 360                | 10 | 360     | 6       | 1,64          | 38,38     |
| 3                          | 850                | 10 | 850     | 6       | 2,45          | 60,27     |
| 4                          | 14   40   40       | 10 | 94      | 192     | 2,45          | 57,33     |
| 5                          | 75   75            | 10 | 150     | 192     | 1,25          | 34,50     |
| 6                          | 14   60   14   14  | 10 | 176     | 192     | 1,25          | 22,50     |
| Ukupno                     |                    |    |         |         |               | 377,73 kg |

Napomena: Preklopi mreža u oba smjera iznose 40 cm.

TLOCRT BAZENA



PRESJEK 1-1  
MJ 1:50



| DIPLOMSKI RAD                                                               |                       |                                                                                  |                   |
|-----------------------------------------------------------------------------|-----------------------|----------------------------------------------------------------------------------|-------------------|
| PROGRAM:<br>PROJEKT KONSTRUKCIJE STAMBENE ZGRADE U KRILU JESENICE           |                       | MENTOR:<br>Doc. dr. sc. Marina Sunara                                            |                   |
| STUDENT:<br>ANTEA MATAS                                                     | MJEILO:<br>1:100      |                                                                                  | PRILOG:<br>12.28. |
| SADRZAJ:<br>PLAN ARMATURE BAZENA                                            | DATUM:<br>2022./2023. |                                                                                  |                   |
| SVEUČILIŠTE U SPLITU<br>FAKULTET GRAĐEVINARSTVA,<br>ARHITEKTURE I GEODEZIJE |                       | UNIVERSITY OF SPLIT<br>FACULTY OF CIVIL ENGINEERING,<br>ARCHITECTURE AND GEODESY |                   |